

# UNIVERSIDADE FEDERAL DO CEARÁ CENTRO DE TECNOLOGIA DEPARTAMENTO DE ENGENHARIA ELÉTRICA PROGRAMA DE PÓS-GRADUAÇÃO EM ENGENHARIA ELÉTRICA

JÉSSICA SANTOS GUIMARÃES

SISTEMA DE CONVERSÃO DE ENERGIA EÓLICA INTERLIGADO À REDE

# JÉSSICA SANTOS GUIMARÃES

SISTEMA DE CONVERSÃO DE ENERGIA EÓLICA INTERLIGADO À REDE

Dissertação apresentada ao Curso de Mestrado em Engenharia Elétrica do Departamento de Engenharia Elétrica da Universidade Federal do Ceará como parte dos requisitos para obtenção do título de Mestre em Engenharia Elétrica. Área de Concentração: Eletrônica de Potência e Fontes de Energias Renováveis.

Orientador: Prof. Dr. Demercil de Souza Oliveira Júnior.

Dados Internacionais de Catalogação na Publicação Universidade Federal do Ceará Biblioteca de Pós-Graduação em Engenharia - BPGE

## G978s Guimarães, Jéssica Santos.

Sistema de conversão de energia eólica interligado à rede / Jéssica Santos Guimarães. -2016.  $167\,\mathrm{f.:il.}$  color., enc. ;  $30\,\mathrm{cm.}$ 

Dissertação (mestrado) – Universidade Federal do Ceará, Centro de Tecnologia, Departamento de Engenharia Elétrica, Programa de Pós-Graduação em Engenharia Elétrica, Fortaleza, 2016. Área de Concentração: Eletrônica de Potência e Fontes de Energias Renováveis. Orientação: Prof. Dr. Demercil de Souza Oliveira Júnior.

1. Engenharia elétrica. 2. Conversores rotativos. 3. Energia eólica. Título.

# JÉSSICA SANTOS GUIMARÃES

# SISTEMA DE CONVERSÃO DE ENERGIA EÓLICA INTERLIGADO À REDE

Dissertação apresentada ao Curso de Mestrado em Engenharia Elétrica do Departamento de Engenharia Elétrica da Universidade Federal do Ceará como parte dos requisitos para obtenção do título de Mestre em Engenharia Elétrica. Área de Concentração: Eletrônica de Potência e Fontes de Energias Renováveis.

Aprovada em: 26/02/2016.

#### BANCA EXAMINADORA

Prof. Dr. Demercil de Souza Oliveira Júnior (Orientador) Universidade Federal do Ceará (UFC)

Universidade Federal do Ceará (UFC)

Prof. Dr. Paulo Alexandre Q. Rocha,

Universidade Federal do Ceará (UFC)

Prof. Dr. Paulo Peixoto Praça Universidade Federal do Ceará (UFC)

Prof. Dr. -Ing/Tobias Rafael Fernandes Neto Universidade Federal do Ceará (UFC)

A Deus.

Aos meus pais, professores, participantes da minha formação técnica e amigos.

#### **AGRADECIMENTOS**

Aos meus pais que nunca sequer reclamaram o fato de ter na minha casa a minha oficina. Me apoiaram em todos os momentos.

À Universidade Federal do Ceará (UFC), que me acolheu por todos estes anos nos quais andei ocupando seus laboratórios e salas de aula.

Ao Prof. Dr. Demercil de Oliveira, pela excelente orientação na qual foi transmitida boa parte do conhecimento o qual estarei a carregar pelos dias que se seguem.

Aos colegas de profissão que por inúmeras vezes me cederam preciosos intervalos de tempo compartilhando conhecimentos.

Aos participantes da banca examinadora e a todos os professores que me receberam em suas salas, emprestaram livros, compartilharam conhecimento, forneceram materiais diversos e sempre demonstraram que desejam que eu tenha uma carreira profissional brilhante.

Aos técnicos da UFC a partir dos quais pude ter a oportunidade de adquirir conhecimentos práticos, muitos deles apresentados ao longo deste trabalho.

Ao Grupo de Processamento de Energia e Controle (GPEC), ao Conselho Nacional de Desenvolvimento Científico e Tecnológico (CNPq), à fundação CAPES e às empresas (ENERSUD e Gram-Eollic) que fomentaram esta pesquisa.

A todos os meus amigos pelas valiosas colaborações, sugestões e, acima de tudo, incentivo.

"A coragem para desafiar dificuldades é uma prática diária, assim como a opção pela evolução é uma escolha histórica." (Capitão-de-Mar-e-Guerra Luiz Augusto Oliveira de Freitas)

**RESUMO** 

Este trabalho apresenta o desenvolvimento de um sistema de conversão de energia eólica

(WECS - Wind Energy Conversion System) com gerador síncrono de imã permanente (PMSG

- Permanent Magnet Synchronous Generator) operando com velocidade variável.

O circuito de processamento de energia é dividido em dois estágios. No estágio AC-DC, uma

topologia boost bridgeless trifásica unidirecional absorve a energia fornecida pelo gerador e

injeta no link DC. Neste conversor, a técnica de autocontrole permite a extração de corrente

com baixa taxa de distorção harmônica (THD - Total Harmonic Distortion) e alto fator de

potência. Além disso, um algoritmo de rastreamento do máximo ponto de potência (MPPT -

Maximum Power Point Tracking) determina a velocidade de rotação do gerador que irá garantir

o ponto adequado de operação. Este modo de operação é mantido enquanto a potência

disponível for menor que a potência nominal do conversor. Caso contrário, o algoritmo de

MPPT é desabilitado e uma malha de controle de potência mecânica garante a condição nominal

de potência. No estágio de conversão DC-AC, um inversor trifásico ponte completa, cujo

controle é baseado na teoria das potências instantâneas, provê energia à rede elétrica cumprindo

com as exigências normativas.

Uma análise teórica completa é apresentada assim como os resultados de simulação

considerando o protótipo com a potência nominal de 6 kW equivalente a turbina eólica

utilizada. Resultados experimentais satisfatórios são apresentados para uma potência de 3 kW:

o rendimento do sistema completo é superior a 90%; a corrente que circula no gerador apresenta

THD de aproximadamente 2,6% e fator de potência de 0,942; e a corrente injetada na rede

elétrica possui THD de 1,639% e fator de potência de 0,994.

Palayras-chave: WECS. PMSG. MPPT. Autocontrole. PLL.

#### **ABSTRACT**

This master thesis presents the development of a Wind Energy Conversion System (WECS) with Permanent Magnet Synchronous Generator (PMSG) operating at variable speed. The energy processing circuit is divided into two stages. In the AC-DC stage, an unidirectional three-phase bridgeless boost topology absorbs the energy supplied by the generator and injects it into the DC link. In this converter, the self-control technique allows the current extraction with low THD and high power factor. Furthermore, a - Maximum Power Point Tracking (MPPT) determines the rotational speed of the generator that will ensure the proper operating point. This mode of operation is maintained while the available power remains lower than the converter rated power. Otherwise, the MPPT algorithm is disabled and a mechanical power control loop ensures the rated power condition. On the DC-AC conversion stage, a three-phase full-bridge inverter, whose control is based on the theory of instantaneous power, provides energy to the grid complying with regulatory requirements. A complete theoretical analysis is presented as well as the simulation results considering the prototype with a rated power of 6 kW equivalent of wind turbine used. Satisfactory experimental results are shown to an output of 3 kW: the efficiency of the total system is above 90%; the current through the generator has a THD of about 2.6% with a power factor of 0.942; moreover, the current injected into the grid has a THD of about 1.639% and a power factor of 0.994.

Keywords: WECS. PMSG. MPPT. Self-control. PLL.

# LISTA DE ILUSTRAÇÕES

Figura 1.1- Evolução da capacidade instalada de fonte eólica no Brasil	25
Figura 1.2- Estatísticas globais apresentando o crescimento da indústria de energia eólica	26
Figura 1.3- Evolução da capacidade instalada por fonte de geração no Brasil	27
Figura 2.1 - Componentes de um WECS.	30
Figura 2.2 - Estrutura do comportamento aerodinâmico na pá.	31
Figura 2.3 - Performance do coeficiente de potência para vários tipos de turbina compara	ıdo
com o valor ideal.	33
Figura 2.4 - Controle de potência ativo por meio da variação do ângulo de passo	34
Figura 2.5 - Comportamento aerodinâmico das forças atuantes na pá em operação normal e	no
estol com ângulo de passo e velocidade de rotação fixos	35
Figura 2.6 - Comportamento do ângulo de passo em turbina com controle por estol ativo	35
Figura 2.7 - Topologias de WECS operando em velocidade constante	38
Figura 2.8 - Topologia back-to-back com VSCs utilizada em WECSs	40
Figura 2.9 - Topologia back-to-back com CSCs.	40
Figura 2.10 - Topologia back-to-back com VSCs em paralelo e link DC único	40
Figura 2.11 - Topologia back-to-back com VSCs em paralelo e links DC individuais	40
Figura 2.12 - Topologia de WECS com retificador passivo, <i>boost</i> e VSI	41
Figura 2.13 - Topologia de WECS com retificador passivo, <i>buck</i> e CSI	41
Figura 2.14 - Topologia de WECS com retificador semi-controlado e VSI.	42
Figura 2.15 - Topologia do WECS proposto	43
Figura 2.16 - Detalhe do mecanismo responsável pelo estol ativo.	44
Figura 2.17 - Imagem de satélite do local da instalação do aerogerador	45
Figura 2.18 - Imagem do aerogerador VERNE555 no local de instalação	45
Figura 2.19 - Curva do coeficiente de potência para vários ângulos de passo	46
Figura 2.20 - Curva de potência mecânica gerada pela turbina eólica no WECS proposto	em
função da velocidade do vento.	48
Figura 2.21 - Curvas de potência para várias velocidades do vento e curva almejada pelo MPI	PT
	50
Figura 2.22 - Curvas de torque para várias velocidades do vento e curva almejada pelo MPI	PΤ
	51
Figura 2.23 - Sistema mecânico acoplado.	51

Figura 2.24 - Curvas de potência para diferentes técnicas de limitação de potência52
Figura 2.25 - Esquema da malha de controle de limitação de potência
Figura 3.1 - Esquema do retificador boost bridgeless trifásico54
Figura 3.2 - Etapas de operação do retificador boost bridgeless monofásico56
Figura 3.3 - Principais formas de onda do retificador boost bridgeless
Figura 3.4 - Circuito equivalente de uma fase do retificador operando com autocontrole 57
Figura 3.5 - Comportamento da moduladora do retificador boost bridgeless com correção do
fator de potência
Figura 3.6 - Diagrama detalhado da malha de controle de limitação de potência62
Figura 3.7 – Representação da técnica de autocontrole
Figura 4.1 - Topologia do inversor
Figura 4.2 - Circuito equivalente do inversor
Figura 4.3 - Representação gráfica da transformada de Park e Clarke
Figura 4.4 - Circuito equivalente do conversor completo
Figura 4.5 – Diagrama de blocos das malhas de controle presentes no inversor
Figura 4.6 - Arquitetura do sistema de controle proposto
Figura 4.7 - Formas de onda decorrentes da modulação PWM senoidal
Figura 4.8 - Diagrama de blocos do q-PLL75
Figura 5.1 – Esquema do bloco de geração da curva $C_p(\lambda,\beta)$
Figura 5.2 - Curva do coeficiente de potência em função da velocidade específica para $\beta$ =0.77
Figura 5.3 - Esquema de simulação que emula turbina eólica
Figura 5.4 - Representação do sistema elétrico que emula o sistema mecânico exposto78
Figura 5.5 - Curvas previstas de potência da turbina VERNE 555 em função da velocidade
angular79
Figura 5.6 - Curvas previstas de torque da turbina VERNE 555 em função da velocidade
angular79
Figura 5.7 - Esquema de geração das tensões induzidas no gerador
Figura 5.8 - Esquema dos circuitos equivalentes de cada fase do gerador
Figura 5.9 - Esquema dos circuitos de geração do torque resistente imposto pelo gerador81
Figura 5.10 - Estrutura do conversor boost bridgeless definido no software PSIM82
Figura 5.11 - Estrutura utilizada no software PSIM para realizar o controle do retificador 83
Figura 5.12 - Esquema de simulação dos sensores e filtros de correntes aplicados nos terminais
do gerador83

Figura 5.13 - Esquema de simulação dos sensores e filtros de tensão alternada aplicados nos
terminais do gerador
Figura 5.14 - Esquema de simulação do sensor e do filtro de tensão contínua aplicado no link
DC84
Figura 5.15 – Estrutura do inversor definido no <i>software</i> PSIM
Figura 5.16 - Esquema de simulação dos sensores e filtros de correntes aplicados nos terminais
do inversor86
Figura 5.17 - Esquema de simulação do sensor e filtro de tensão contínua aplicado no link DC.
86
Figura 5.18 - Esquema de simulação dos sensores e filtros de tensão alternada aplicados nos
terminais da rede elétrica
Figura 5.19 - Estrutura utilizada no <i>software</i> PSIM para realizar o controle do inversor87
Figura 5.20 - Encapsulamento, esquema de ligação e princípio de operação do sensor ACS 712
utilizado.
Figura 5.21 - Diagrama de bode do filtro utilizado na leitura das correntes que circulam no
gerador90
Figura 5.22 - Diagrama de bode do filtro utilizado na leitura das tensões do gerador91
Figura 5.23 - Diagrama de bode do filtro utilizado na leitura da tensão do link DC e enviada ao
controle do retificador
Figura 5.24 - Esquema de ligação do sensor de corrente do inversor com seu filtro93
Figura 5.25 - Diagrama de bode do filtro de segunda ordem utilizado na leitura das correntes
que circulam no inversor95
Figura 5.26 - Diagrama de bode do filtro de segunda ordem utilizado na leitura das tensões da
rede97
Figura 5.27 - Diagrama de bode do filtro de segunda ordem utilizado na leitura da tensão do
link DC e enviada ao controle do inversor.
Figura 5.28 - Esquema de ligação interna do driver MC33152
Figura 5.29 - Driver SEMIKRON SKHI 22BR101
Figura 5.30 - Microcontrolador dsPIC 30F4011102
Figura 5.31 - Comportamento das variáveis do dsPIC utilizadas para detecção de frequência.
Figura 5.32 - Kit de desenvolvimento LAUNCHXL-F28377S
Figura 5.33 - Esquema de ligação do kit de desenvolvimento LAUNCHXL-F28377S 105

Figura 5.34 - Diagrama de blocos do sistema realimentado com malha de corrente no tempo
contínuo
Figura $5.35$ – Lugar das raízes de $FTLA_{sci}(s)$
Figura 5.36 – Lugar das raízes de $FTLA_{cci}(s)$
Figura 5.37 - Diagrama de bode das funções de transferência de laço aberto sem e com
compensador de corrente
Figura 5.38 - Diagrama de blocos do sistema realimentado com malha de corrente no tempo
contínuo.
Figura 5.39 - Diagrama de blocos simplificado do sistema realimentado com malha de tensão
no tempo contínuo
Figura $5.40$ – Lugar das raízes de $FTLA_{scv}(s)$
Figura 5.41 – Lugar das raízes de $FTLA_{ccv}(s)$
Figura 5.42 - Diagrama de bode das funções de transferência de laço aberto sem e com
compensador de tensão114
Figura 5.43 - Resposta do algoritmo de MPPT116
Figura 5.44 - Corrente e tensão no gerador para um degrau na velocidade do vento de 8 m/s
para 10 m/s116
Figura 5.45 - Resposta dinâmica da malha de velocidade angular117
Figura 5.46 - Limitação da potência mecânica para um degrau na velocidade do vento de 20
m/s para 25 m/s118
Figura 5.47 - Controle da potência mecânica para um perfil de vento entre 8 m/s e 25 m/s. 118
Figura 5.48 - Comportamento dinâmico da malha de corrente do inversor119
Figura 5.49 - Detalhe das correntes no inversor para uma potência de saída de 6 kW120
Figura 5.50 - Comportamento dinâmico da malha de tensão do inversor120
Figura 5.51 - Comportamento do q-PLL em regime permanente para $f = 60$ Hz121
Figura 5.52 - Comportamento do q-PLL para um degrau de frequência de 40 Hz para 80 Hz em
= <i>1s</i> 121
Figura 6.1 - Protótipo experimental122
Figura 6.2 - Vista superior do layout do protótipo experimental
Figura 6.3 – Estrutura do filtro utilizado na leitura de valores médios123
Figura 6.4 - Formas de onda do ângulo $\theta_{pll}$ (1 - 1 $V/div$ - 5 $ms$ ) e da tensão de fase da rede (2 -
100 V/div - 5 ms) para situação de regime permanente

Figura 6.5 - Formas de onda do ângulo $\theta_{pll}$ (1 - 1 $V/div$ - 20 $ms$ ) e da tensão de fase da rede (2 -			
100 V/div - 20 ms) para situação de religamento da rede no pico positivo de tensão			
Figura 6.6 - Formas de onda do ângulo $\theta_{pll}$ (1 - 1 $V/div$ - 5 $ms$ ) e da tensão de fase da rede (2 -			
100 V/div - 5 ms) para situação de religamento da rede no pico negativo de tensão			
Figura 6.7 - Formas de onda do ângulo $\theta_{pll}$ (1 - 1 $V/div$ - 10 $ms$ ) e da tensão de fase da rede (2 -			
100 V/div – 10 ms) para situação de degrau na frequência de 45 Hz para 85 Hz125			
Figura 6.8 - Formas de onda das correntes no inversor (5 $A/div$ - 5 $ms$ ) que validam a atuação			
da malha de controle da corrente no inversor com $i_{d\_ref} = 0$ e $i_{q\_ref} = 9,09  A_{rms}$ 126			
Figura $6.9$ - Formas de onda das correntes injetadas na rede $(5 \text{ A/div} - 5 \text{ ms})$ que validam a			
atuação da malha de controle da corrente no inversor com $i_{d\_ref} = 0$ e $i_{q\_ref} = 9,09$ $A_{rms}$ 126			
Figura 6.10 - Formas de onda da corrente no inversor (1 - 5 $A/div$ - 5 $ms$ ) em fase com a tensão			
da rede (2 - 100 V/div - 5 ms)			
Figura 6.11 - Formas de onda da corrente no inversor (1 - $10A/div$ - $100ms$ ) e da tensão no link			
DC (2 - 100 V/div - 100 ms)			
Figura 6.12 - Formas de onda das correntes no gerador (5 $A/div$ - 5 $ms$ ) que validam a estratégia			
de autocontrole			
Figura 6.13 - Formas de onda da tensão induzida (1 - $200 \ V/div$ - $5 \ ms$ ) e da corrente no gerador			
(1 - 10 A/div - 100 ms)			
Figura 6.14 - Curvas de rendimento dos estágios retificador, inversor e do sistema completo			
com $V_{dc} = 400 \text{ V}.$ 129			
LISTA DE TABELAS			
Tabela 2.1– Características WECS proposto			
Tabela 2.2– Características da Turbina VERNE555			
Tabela 2.3 – Coeficientes que determinam a curva do coeficiente de potência			

### LISTA DE ABREVIATURAS E SIGLAS

ABEEólica Associação Brasileira de Energia Eólica

AC Alternating Current

ACL Ambiente de Contratação Livre

ACR Ambiente de Contratação Regulada

A/D Analógico-Digital

AET Autorização Especial de Transporte

ANEEL Agência Nacional de Energia Elétrica

ANPC Active Neutral Point Clamped

BNDES Banco Nacional de Desenvolvimento

CEPEL Centro de Pesquisas de Energia Elétrica

CNPq Conselho Nacional de Desenvolvimento Científico e Tecnológico

COELCE Companhia Energética do Ceará

CONFAZ Conselho Nacional de Política Fazendária

CPU Central Processing Unit

CSC Current Source Converter

CSI Current Source Inverter

CSR Current Source Rectifier

DC Direct Current

DFIG Doubly-fed Induction Generator

DSC Digital Signal Controller

DSP Digital Signal Processor

EIA Estudos de Impacto Ambiental

EMI Electromagnetic interference

EPE Empresa de Pesquisa Energética

FC Flying Capacitor

FPU Floating Point Unit

GPEC Grupo de Processamento de Energia e Controle

GWEC Global Wind Energy Council

IEC International Electrotechnical Commission

IEEE Institute of Electrical and Electronic Engineers

IGBT Insulated Gate Bipolar Transistor

I/O Input/Output

LER Leilão de Energia Reserva

LFA Leilão de Fontes Alternativas

MIPS Millions of Instructions Per Second

MMA Ministério do Meio Ambiente

MME Ministério de Minas e Energia

MPPT Maximum Power Point Tracking

MSPS Million Sample Per Second

NPC Neutral Point Clamped

OSIG OptiSlip Induction Generator

PBT Peso Bruto Total

PCH Pequenas Centrais Hidrelétricas

PI Proporcional Integral

PLL Phase Locked Loop

PMSG Permanent Magnet Synchronous Generator

PRODIST Procedimentos de Distribuição

Proinfa Programa de Incentivo às Fontes Alternativas de Energia Elétrica

PWM Pulse Width Modulation

P&D Pesquisa e Desenvolvimento

REIDI Regime Especial de Incentivos para o Desenvolvimento da Infraestrutura

RIMA Relatório de Impacto Ambiental

SCIG Squirrel Cage Induction Generator

SiC Silicon Carbide

THD Total Harmonic Distortion

TMU Trigonometric Math Unit

TSR Tip Speed Ratio

UFC Universidade Federal do Ceará

VSC Voltage Source Converter

VSI Voltage Source Inverter

VSR Voltage Source Rectifier

WECS Wind Energy Conversion System

WRIG Wound Rotor Induction Generator

WRSG Wound Rotor Synchronous Generator

# LISTA DE SÍMBOLOS

A Área do plano de rotação das pás [m²]

aux Variável auxiliar que conta ocorrências de interrupções do timer do dsPIC

 $C_1$  Coeficiente da curva  $C_p(\lambda,\beta)$ 

 $C_2$  Coeficiente da curva  $C_p(\lambda,\beta)$ 

 $C_3$  Coeficiente da curva  $C_p(\lambda,\beta)$ 

 $C_4$  Coeficiente da curva  $C_p(\lambda,\beta)$ 

Coeficiente da curva  $C_p(\lambda,\beta)$ 

Capacitor do link DC [F]

 $C_i(s)$  Função de transferência do controlador de corrente

 $C_{pll}(s)$  Função de transferência do controlador do PLL

 $C_{Pmec(s)}$  Função de transferência do controlador da malha de potência mecânica

 $C_{\nu}(s)$  Função de transferência do controlador de tensão

 $C_{\omega}(s)$  Função de transferência do controlador da malha de velocidade angular

 $C_p(\lambda,\beta)$  Coeficiente de potência

 $C_{p,Betz}$  Limite de Betz (Coeficiente de potência máximo teórico)

 $C_{p,m\acute{a}x}$  Coeficiente de potência máximo desejado

d(t) Função de modulação (razão cíclica)

*d'(t)* Função de modulação (razão cíclica complementar)

 $D_{l,i}$  Diodos da *i*-ésima fase do retificador *boost bridgeless* 

 $D_{2,i}$  Diodos da *i*-ésima fase do retificador *boost bridgeless* 

 $D_a, D_b, D_c$  Funções de modulação do inversor

 $D_d, D_q$  Componentes de Park das funções de modulação do inversor

dga,dgb,dgc Moduladoras do retificador bridgeless

d'max Valor máximo da razão cíclica complementar

 $d_{min}$  Valor mínimo da razão cíclica

 $(E_a, E_b, E_c)$  Sinais dos sensores de tensão do gerador [V]

 $E_c$  Energia cinética de uma massa de ar [J]

 $E_i(t)$  Tensão induzida na *i*-ésima fase do gerador [V]

 $E_{i,pico}$  Valor de pico da tensão  $E_i(t)$  [V]

 $\vec{F}$  Resultante das forças de arrasto e sustentação [N]

f Frequência da rede elétrica [Hz]

famostragem Frequência de amostragem [Hz]

 $\vec{F}_a$  Força axial [N]

 $f_c$  Frequência de corte dos filtros de tensão e corrente [Hz]

 $f_{ci}$  Frequência de cruzamento da malha de corrente do inversor [Hz]

 $f_{cv}$  Frequência de cruzamento da malha de tensão do inversor [Hz]

 $f_{cy}$  Frequência de operação do microcontrolador [Hz]

 $f_g$  Frequência da tensão gerada no aerogerador [Hz]

 $\vec{F}_m$  Força motriz [N]

 $F_m(s)$  Função de transferência do modulador PWM

 $f_{mod}$  Frequência das moduladoras [Hz]

 $\vec{F}_n$  Força de sustentação [N]

 $f_{PWM}$  Frequência do PWM [Hz]

*f*<sub>port</sub> Frequência da portadora [Hz]

 $\vec{F}_r$  Força de arrasto [N]

*f*<sub>s</sub> Frequência de chaveamento [Hz]

FTLA<sub>cci</sub>(s) Função de transferência de laço aberto com compensador de corrente

FTLA<sub>sci</sub>(s) Função de transferência de laço aberto sem compensador de corrente

FTLA<sub>ccv</sub>(s) Função de transferência de laço aberto com compensador de tensão

FTLA<sub>scv</sub>(s) Função de transferência de laço aberto sem compensador de tensão

Ganho do sensor LEM utilizado na leitura de corrente do inversor

Ganho do sensor de tensão alternada do gerador

Ganho do sensor de corrente do inversor

*G<sub>sensor, Vdc,i</sub>* Ganho do sensor de tensão contínua do lado do inversor

Ganho do sensor de tensão contínua do lado do retificador

Ganho do sensor de tensão alternada da rede

 $H_{A/D}$  Ganho do conversor A/D

 $H_e(s)$  Função transferência que modela o efeito da comutação

 $H_i$  Ganho de realimentação da malha de corrente

 $H_{Pmec}$  Ganho de realimentação da malha de controle de potência mecânica

 $H_{sensor,ia}(s)$  Função de transferência do filtro das correntes do inversor

 $H_{sensor,va}(s)$  Função de transferência do filtro das tensões da rede

*H<sub>sensor,Vdc,i</sub>(s)* Função de transferência do filtro de tensão do lado do inversor

 $H_{\nu}$  Ganho de realimentação da malha de tensão

 $H_{\omega}$  Ganho de realimentação da malha de velocidade angular

 $i_a, i_b, i_c$  Correntes no inversor [A]

 $\vec{i_a}, \vec{i_b}, \vec{i_c}$  Sinais dos sensores de corrente do inversor [V]

 $i_{d\_ref}$  Referência da corrente de eixo direto [A]

 $i_{dc}$  Corrente que circula no capacitor do link DC [A]

 $i_d, i_q, i_0$  Componentes de Park das correntes no inversor [A]

 $I_{DxyMED}$  Corrente média dos diodos do retificador (x = 1,2 e y = a,b,c) [A]

 $I_{DxyRMS}$  Corrente eficaz dos diodos do retificador (x = 1,2 e y = a,b,c) [A]

 $i_i$  Corrente que entra no link DC [A]

*i*<sub>o</sub> Corrente que sai do link DC [A]

 $i_{q\_ref}$  Referência da corrente de eixo em quadratura [A]

 $i_{\alpha}, i_{\beta}, i_0$  Componentes de Clarke das correntes no inversor [A]

 $\hat{I}_{ga}, \hat{I}_{gb}, \hat{I}_{gc}$  Sinais dos sensores de corrente do retificador [V]

 $I_{gi}(t)$  Correntes na *i*-ésima fase do gerador [A]

 $I_{gi,pico}$  Valor de pico da corrente  $I_{gi}(t)$  [A]

I<sub>SxMED</sub> Corrente média dos interruptores do inversor (i = 1, 2, ..., 6) [A]

 $I_{SxRMS}$  Corrente eficaz dos interruptores do inversor (i = 1, 2, ..., 6) [A]

Corrente média dos diodos em anti-paralelo dos interruptores do inversor

 $I_{Sx\_DMED}$  (i = 1, 2, ..., 6)

Corrente eficaz dos diodos em anti-paralelo dos interruptores do inversor

 $I_{Sx\_DRMS}$  (i = 1, 2, ..., 6) [A]

Corrente média dos diodos em anti-paralelo dos interruptores do retificador

 $I_{Sxy\_DMED}$  (x = 1, 2 e y = a,b,c) [A]

Corrente eficaz dos diodos em anti-paralelo dos interruptores do retificador

 $I_{Sxy\_DRMS}$  (x = 1, 2 e y = a,b,c) [A]

I<sub>SxyMED</sub> Corrente média dos interruptores do retificador (x = 1,2 e y = a,b,c)

 $I_{SxyRMS}$  Corrente eficaz dos interruptores do retificador (x = 1,2 e y = a,b,c)

 $J_r$  Momento de inércia do rotor eólico [kg.m<sup>2</sup>]

 $J_g$  Momento de inércia do gerador elétrico [kg.m<sup>2</sup>]

*k*<sub>i</sub> Ganho do autocontrole

 $k_{i(mppt)}$  Ganho do autocontrole gerado pelo algoritmo de MPPT

 $k_{i(Pnominal)}$  Ganho do autocontrole gerado pelo algoritmo de limitação de potência

 $k_{\delta timo}$  Constante que define ponto ótimo de extração de potência

 $k_p$  Ganho proporcional do controlador do tipo PI

 $k_{\omega}$  Constante característica do gerador que relaciona  $E_{i,pico}/\omega$  [V/rad.s<sup>-1</sup>]

 $L_a, L_b, L_c$  Indutâncias de filtro da rede [H]

 $L_{gi}$  Índutância síncrona da *i*-ésima fase do gerador [H]

m Massa de ar [kg]

 $m_{a,i}$  Índice de modulação de amplitude do inversor  $m_{a,r}$  Índice de modulação de amplitude do retificador

MF Margem de fase [°]

 $m_{f,i}$  Índice de modulação de frequência do inversor  $m_{f,r}$  Índice de modulação de frequência do retificador

mod Ganho do modulador PWMp Número de pólos do gerador

Potência ativa injetada na rede elétrica [W]  $P_{3\phi}$  Potência elétrica fornecida pelo gerador [W]

 $P_{mec}$  Potência mecânica convertida a partir da potência cinética [W]

 $P_{mec,Betz}$  Máxima potência mecânica teórica que pode ser extraída do vento [W]

 $P_{mec,m\acute{a}x}$  Máxima potência mecânica que pode ser extraída do vento [W]

 $P_{nominal}$  Potência nominal do WECS [W]  $P_{v}$  Potência disponível no vento [W]

Q Potência reativa injetada na rede elétrica [Var]

*q'* Potencia imaginária fictícia

*q*<sub>ref</sub> Potência imaginária de referência

R Raio das pás [m]

 $R_{gi}$  Resistência do enrolamento da *i*-ésima fase do gerador  $[\Omega]$ 

 $R_{g,r}$  Resistor de gatilho dos interruptores do retificador [ $\Omega$ ]

 $r_{La}, r_{Lb}, r_{Lc}$  Resistências intrínsecas dos indutores  $L_a, L_b, L_c$  [ $\Omega$ ]

 $R_{pd,r}$  Resistor de *pull-down* dos interruptores do retificador  $[\Omega]$ 

 $R_{sh}$  Ganho do sensor de corrente alocado nos terminais do retificador

 $S_{I,i}$  Interruptores da *i*-ésima fase do retificador boost bridgeless (i = a,b,c)

 $S_{2,i}$  Interruptores da *i*-ésima fase do retificador *boost bridgeless* (i = a,b,c)

 $S_i$  Interruptores do inversor trifásico (i = 1,2,...,6)

T Período de chaveamento [s]

 $T_i$  Constante de integração do controlador tipo PI

 $T_g$  Torque mecânico resistente imposto pelo gerador [N.m]

 $T_{mec}$  Torque mecânico gerado pela turbina [N.m]

 $T_{\alpha\beta0}$  Matriz transformada de Clarke

 $T_{dq0}$  Matriz transformada de Park

 $\vec{v}$  Componente do vento resultante [m/s]

 $v_a, v_b, v_c$  Tensões de fase da rede elétrica [V]

 $(v_a, v_b, v_c)$  Sinais dos sensores de tensão da rede [V]

 $v_d, v_q, v_0$  Componentes de Park das tensões de fase da rede [V]

 $V_{dc}$  Tensão no link DC [V]

 $V_{dc,i}$  Sinal do sensor de tensão do link DC do lado do inversor [V]

 $V_{dc,r}$  Sinal do sensor de tensão do link DC do lado do retificador [V]

 $V_{dc\_ref}$  Referência de tensão no link DC [V]

 $vg_{SI,i}$  Sinais de comando dos interruptores  $S_{I,i}$ 

 $vg_{S2,i}$  Sinais de comando dos interruptores  $S_{2,i}$ 

 $V_{gi}(t)$  Tensão nos terminais do gerador [V]

 $v_{La}, v_{Lb}, v_{Lc}$  Tensões sobre os indutores de filtros de conexão com a rede [V]

 $\hat{V}_{
m mod}$  Valor de pico das moduladoras do inversor [V]

 $V_{o,acs}$  Tensão de saída do sensor de corrente do retificador [V]

 $V_p$  Valor de pico da tensão de fase da rede elétrica [V]

 $\hat{V}_{port}$  Valor de pico da portadora [V]

V<sub>portadora</sub> Sinal da portadora [V]

 $V_{pk}$  Valor de pico-a-pico da portadora [V]

 $v_{sa}, v_{sb}, v_{sc}$  Tensões moduladas no inversor [V]

 $\vec{v}_t$  Componente do vento na direção oposta ao movimento das pás [m/s]

 $\vec{v}_{wonto}$  Componente de do vento incidente [m/s]

 $v_{\alpha}, v_{\beta}, v_0$  Componentes de Clarke das tensões de fase da rede [V]

*x* Coeficiente da curva  $C_p(\lambda,\beta)$ 

α Ângulo de ataque [°]

β Ângulo de passo da pá [°]

△ Período da interrupção gerada pelo *timer* do microcontrolador dsPIC [s]

 $\Delta t_1$  Intervalo de tempo de etapa de operação do retificador [s]

 $\Delta t_2$  Intervalo de tempo de etapa de operação do retificador [s]

 $\Delta t_3$  Intervalo de tempo de etapa de operação do retificador [s]

 $\Delta t_4$  Intervalo de tempo de etapa de operação do retificador [s]

 $\eta_i$  Rendimento do inversor [%]

 $\eta_r$  Rendimento do retificador [%]

 $\theta$  Ângulo de fase da rede elétrica [rad]

 $\theta_{pll}$  Ângulo de fase fornecido pelo PLL [rad]

λ Velocidade específica (*Tip-Speed-Ratio*)

λ<sub>ótimo</sub> Velocidade específica ótima

Fator de amortecimento de um sistema de segunda ordem

ω Velocidade angular de rotação das pás [rad/s]

 $\omega_n$  Frequência natural de um sistema de segunda ordem [rad/s]

*ω*<sub>operação</sub> Ponto quiescente de operação de velocidade angular [rad/s]

 $\omega_{pll}$  Frequência da rede elétrica [rad/s]

 $\omega_{ref}$  Valor de referência da velocidade angular [rad/s]

 $\omega_{rpm}$  Velocidade angular de rotação das pás [rpm]

 $\rho$  Densidade do ar [kg/m<sup>3</sup>]

 $\Phi_{l,i}$  Ângulo de defasagem entre a corrente e tensão no inversor [rad]

 $\Phi_{2,i}$  Ângulo de defasagem entre a moduladora e a tensão no inversor [rad]

 $\Phi_{l,r}$  Ângulo de defasagem entre a corrente e tensão no gerador [rad]

 $\Phi_{2,r}$  Ângulo de defasagem entre a moduladora e a tensão no gerador [rad]

# SUMÁRIO

1	INTR	ODUÇÃO	24
	1.1	Estrutura do trabalho	28
2	PRIN	CÍPIOS DA CONVERSÃO DE ENERGIA EÓLICA	30
	2.1	Turbinas eólicas	30
	2.1.1	Princípio de funcionamento aerodinâmico	31
	2.1.2	Classificação das turbinas	32
	2.2	Geradores	36
	2.3	Conversores	39
	2.4	WECS proposto	43
	2.4.1	Aerogerador utilizado	
	2.4.2	Conversores e estratégias de controle	46
	2.4.3	Controle da potência extraída do vento	48
	2.4.3.	l Rastreamento do máximo ponto de potência	49
	2.4.3.2	2 Limitação da potência mecânica	52
3	ESTÁGIO RETIFICADOR		
	3.1	Etapas de operação e formas de onda	54
	3.2	Modelagem e controle	57
	3.3	Controle da potência processada pelo retificador	59
	3.3.1	Malha de MPPT	60
	3.3.2	Malha de limitação de potência	62
	3.3.3	Transição entre as regiões de operação	64
4	ESTÁ	GIO INVERSOR	
	4.1	Modelagem	67
	4.2	Estratégia de controle	<b>7</b> 1
	4.2.1	Esquema de modulação	72
	4.2.2	Algoritmo de rastreamento do ângulo de fase	75
5	PROJETO, SIMULAÇÃO E IMPLEMENTAÇÃO DO WECS		
	5.1	Modelo de simulação	76
	5.1.1	Modelo de simulação da turbina eólica	
	5.1.2	Modelo do gerador elétrico	80
	5.1.3	Modelo de simulação do retificador boost bridgeless	82

	5.1.4	Modelo de simulação do inversor trifásico	85
	5.2	Dimensionamento e escolha dos componentes do circuito de potência	88
	5.2.1	Sensores e filtros de tensão e corrente	88
	5.2.1.1	Sensor e filtro de corrente do gerador	88
	5.2.1.2	Sensor e filtro de tensão alternada do gerador	90
	5.2.1.3	Sensor e filtro de tensão contínua do link DC do lado do retificador	91
	5.2.1.4	Sensor e filtro de corrente da rede	92
	5.2.1.5	Sensor e filtro de tensão alternada da rede	95
	5.2.1.6	Sensor e filtro de tensão contínua do link DC do lado do inversor	97
	5.2.2	Semicondutores e drivers	99
	5.3	Projeto dos controladores e escolha dos microcontroladores de sinais	101
	5.3.1	Estágio retificador	101
	5.3.2	Estágio inversor	104
	5.3.2.1	Projeto do controlador de corrente	106
	5.3.2.2	Projeto do controlador de tensão	110
	5.4	Resultados de Simulação	115
6	PROT	ÓTIPO E RESULTADOS EXPERIMENTAIS	122
CC	NCLUS	$ ilde{ id}}}}}}}}}. }$	130
RF	FERÊN	CIAS	132
AP	ÊNDIC	E A - ESTUDO DE PERDAS NO RETIFICADOR	138
AP	ÊNDIC:	E B - ESTUDO DE PERDAS NO INVERSOR	147
ΑP	ÊNDIC	E C - DESENVOLVIMENTO DO PROTÓTIPO EXPERIMENTAL	154

# 1 INTRODUÇÃO

Há milhares de anos atrás já se convertia a energia eólica (energia cinética contida nas massas de ar em movimento) em energia mecânica, a qual era utilizada para bombear água, mover engrenagens ou pás de moinhos, de veleiros, dentre outras aplicações.

Fatos históricos relatam que a geração de energia elétrica a partir de energia eólica se deu em 1887 quando James Blyth (professor escocês), no jardim da sua casa de férias, construiu uma usina para carregar as baterias que iriam iluminar sua casa. Apesar disto, interesses e investimentos só impulsionaram o desenvolvimento desta forma de geração em meados da década de setenta (consequência da crise internacional do petróleo) e oitenta (com o movimento anti-energia nuclear).

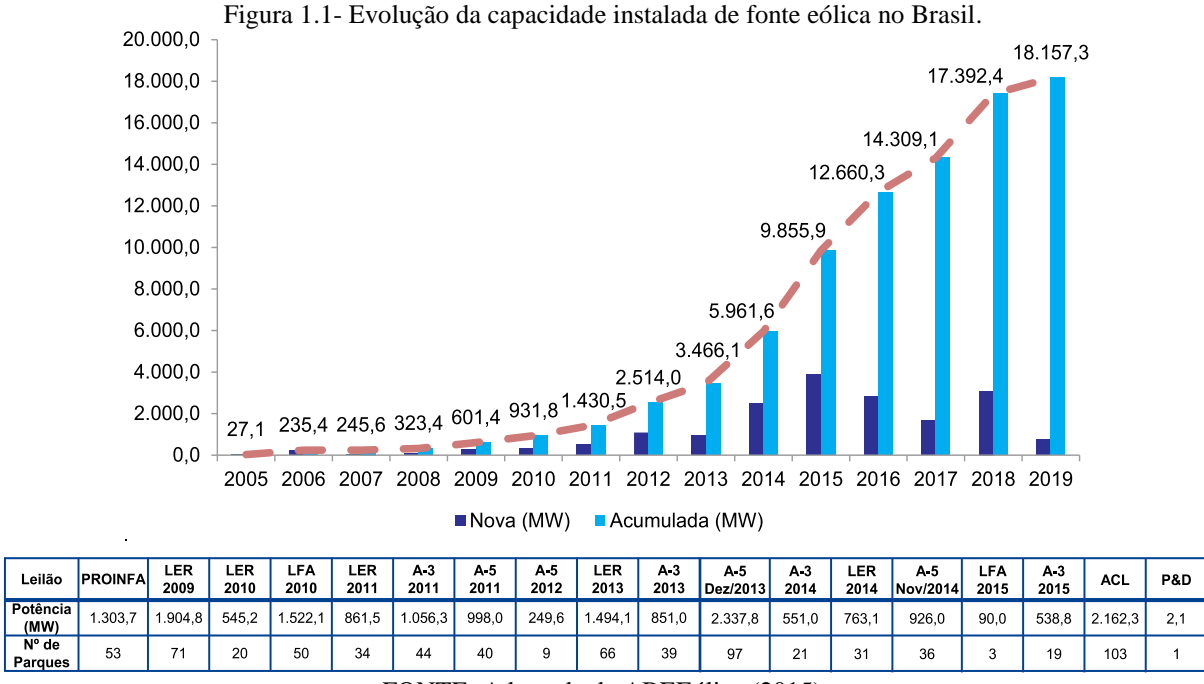
O primeiro aerogerador conectado à rede foi instalado em 1976 na Dinamarca, mas apenas em 1992 foi instalada a primeira usina eólica no Brasil (Fernando de Noronha).

O Programa de Incentivo às Fontes Alternativas de Energia Elétrica (Proinfa) lançado em 2002 pelo governo brasileiro foi responsável pela alavancada nos empreendimentos eólicos com meta de obter 3.299,40 MW de capacidade instalada. Destes, 1.422,92 MW eram destinados a 54 usinas eólicas e o restante para Pequenas Centrais Hidrelétricas (PCHs) e usinas a base de biomassa (MME, 2004). Embora na época, esta fosse a forma de extração mais cara (custo médio de R\$ 356,56 por MWh) e menos desenvolvida, grandes benefícios eram evidentes: diversificação da matriz energética, o que garantia maior segurança no abastecimento (estudos apontaram que a fonte hídrica apresenta complementaridade sazonal com a fonte eólica ou biomassa); geração de empregos diretos e indiretos (estimados em cerca de 150mil); redução da emissão de gases do efeito estufa; e incentivos aos avanços tecnológicos e industriais (o programa exigia uma nacionalização mínima de 90% dos equipamentos e serviços). Em 2006, Osório, usina instalada no Rio Grande do Sul, foi a primeira do programa a entrar em operação com capacidade de 50 MW.

A Figura 1.1 retrata a evolução da capacidade instalada de 2005 até o ano atual de 2015 e inclui no gráfico a projeção até 2019, demarcando a quantidade de potência que foi e vai sendo adicionada a cada ano. Estão inclusos neste levantamento usinas concedidas a partir do Proinfa, dos Ambientes de Contratação Livre (ACL) e Regulado (ACR) e de programas de Pesquisa & Desenvolvimento (P&D).

Embora tenha sido o Proinfa o marco inicial, o grande catalisador foi o primeiro Leilão de Energia Reserva exclusivo para fonte eólica (2º LER, realizado em 2009) no qual foi

incentivada a competição por eficiência e preço. Foram vendidos 1.904,8 MW em 71 usinas e o preço chegou a R\$ 148,39/MWh (EPE, 2009). Nos demais leilões (principal instrumento de expansão do sistema elétrico), não se exigiu mais a fonte exclusivamente eólica e sim incentivava a competição entre as diversas fontes de geração, mas a fonte eólica continuou garantindo seu sucesso de contratação. Dentre eles estão os Leilões de Fontes Alternativas (LFA) e os que contratam energia elétrica proveniente de empreendimentos de geração realizados com 5 anos (Leilões A-5), 3 anos (Leilões A-3) e 1 ano (Leilões A-1) de antecedência do início do suprimento. Os valores de capacidade de potência instalada referente apenas à fonte eólica para cada leilão pode ser verificado na Figura 1.1.



FONTE: Adaptada de ABEEólica (2015).

Em 2012, o Banco Nacional de Desenvolvimento (BNDES), maior financiador de projetos eólicos, estabeleceu seis marcos que deveriam ser atingidos entre janeiro de 2013 e janeiro de 2016 (BNDES, 2012) os quais têm como objetivo aumentar gradativamente o conteúdo local dos aerogeradores (no que diz respeito à torre, à pá, ao cubo e à "nacelle"). Com estas medidas, o custo de produção aumentou porém de forma aceitável tanto que, em 2013, em recorde, foram contratados 4.682,1 MW.

Fruto dos ótimos números de contratações em leilões, em 2014, o Brasil adiciona uma capacidade instalada de 2,472 GW e passa a estar entre os 10 maiores produtores de energia

elétrica a partir da energia dos ventos conforme pode ser visto no gráfico, Figura 1.2, apresentado pelo Conselho Mundial de Energia Eólica (GWEC - *Global Wind Energy Council*).

Capacidade Instalada Adicional (Janeiro - Dezembro 2014) Capacidade Instalada Total (Janeiro - Dezembro 2014) PR China PR China Turquia Brasil Franca Resto do Resto do ltália Mundo Suécia Mundn Reino França Unido Canadá Canadá Unido Índia Índia Brasil Espanha Estados Unidos Estados \*Projetos totalmente comissionados mas, Unidos Alemanha em alguns casos, não interligados à rede. Alemanha País GW GW % 45.1 PR China 114,609 31.0 PR China 23.196 Alemanha 5,279 10,2 Estados Unidos 65,879 17,8 Estados Unidos 4,854 39,165 10,6 9,4 Alemanha Brasil\* 2,472 4,8 Espanha 22,987 6,2 Índia 22.465 6,1 India 2.315 4,5 Canadá 1,1871 3,6 Reino Unido 12,440 3,4 1,736 3,4 9,694 2,6 Reino Unido Canadá 2,5 1,050 2,0 França 9,285 Suécia 2,3 França 1.042 2,0 Itália 8,663 0,804 Brasil\* 5,939 Turquia 1,6 1,6 Resto do Mundo 6,852 13,3 Resto do Mundo 58,473 15,8 44,620 84,2 Total entre os 10 87 Total entre os 10 311,124 Total Mundial 100 Total Mundial 369,597 100 51.473

Figura 1.2- Estatísticas globais apresentando o crescimento da indústria de energia eólica.

FONTE: Adaptada de GWEC (2014).

Durante o ano de 2015, o Brasil adicionou 2,754 GW de capacidade instalada e se manteve entre os 10 maiores produtores totalizando 8,715 GW, equivalente a 2% da produção mundial (GWEC, 2015).

O planejamento de expansão realizado pela Empresa de Pesquisa Energética (EPE) aponta para uma capacidade instalada, a partir da fonte eólica, de 24 GW, em 2024, o que representará 11,6% da matriz elétrica nacional, Figura 1.3. A viabilização desta projeção se depara com alguns desafios. A deficiência na infraestrutura logística tem encarecido e até inviabilizado projetos. A dificuldade de transporte de equipamentos de grande porte (no que diz respeito ao veículo, ao trabalhador especializado, às vias com suportabilidade do Peso Bruto Total -PBT- dos veículos, a burocracia dos órgãos públicos na emissão da Autorização Especial de Transporte -AET-, etc.), pela estrada ou pela navegação de cabotagem; a dificuldade de se

estabelecer uma cadeia produtiva eficiente local; e a dificuldade enfrentada com o licenciamento ambiental estão entre os maiores problemas a serem solucionados.

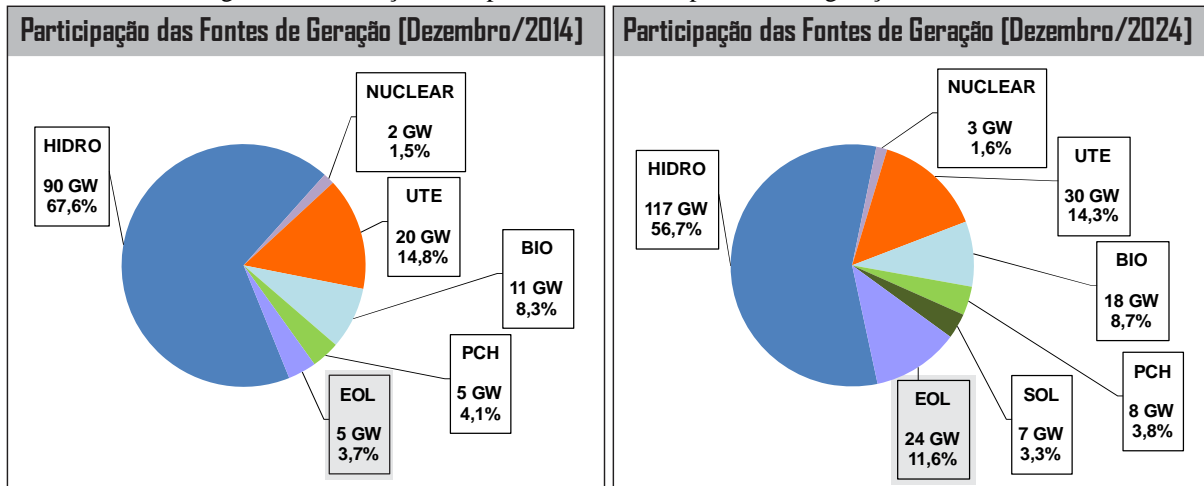


Figura 1.3- Evolução da capacidade instalada por fonte de geração no Brasil.

FONTE: Adaptada de EPE (2015).

Podem ser apresentados alguns exemplos de iniciativa governamental com objetivo de superar este obstáculos:

- O convênio 101/97 realizado pelo Conselho Nacional de Política Fazendária (CONFAZ),
   prorrogado até 2021, que "concede isenção do ICMS nas operações com equipamentos e
   componentes para o aproveitamento das energias solar e eólica [...]" (CONFAZ, 1997);
- O Regime Especial de Incentivos para o Desenvolvimento da Infraestrutura (REIDI), o qual isenta o pagamento do PIS/Cofins em projetos de infraestrutura;
- A Resolução 462/2014 aplicada pelo Conselho Nacional de Meio Ambiente (CONAMA) a
  qual estabelece que "o licenciamento ambiental de empreendimentos eólicos considerados
  de baixo impacto ambiental será realizado mediante procedimento simplificado, dispensada
  a exigência do Estudos de Impacto Ambiental/Relatório de Impacto Ambiental EIA/RIMA"
  (MMA, 2014).

Em 2001, quando foi divulgado o primeiro Atlas do Potencial Eólico Brasileiro pelo Centro de Pesquisas de Energia Elétrica (CEPEL), a estimativa era de 143 GW considerando torres de até 50 m de altura e excluindo desse montante o potencial *off shore*. Atualmente, os estados estão revisando seus mapas eólicos considerando a utilização de torres de mais de 120 m e estima-se um potencial de pelo menos 350 GW (MME, 2014). Além disto, o Brasil é um dos países com maiores fatores de capacidade conforme pode ser verificado nos Boletins Mensais de Geração Eólica emitidos pela Operador Nacional do Sistema (ONS).

Proporcionalmente à evolução de grandes complexos eólicos, apresenta-se um crescimento na geração distribuída (conexão de pequenas centrais geradoras à rede de distribuição) a qual possui vantagem adicional de prover redução no carregamento e perdas no sistema de distribuição e geração (ANEEL, 2014).

É neste contexto emergente e promissor que se fomenta este trabalho. Uma aplicação voltada para a microgeração (central geradora com potência menor ou igual a 100 kW) conectada à rede elétrica. Para tal, adquiriu-se um gerador eólico de 6 kW o qual foi instalado na Universidade Federal do Ceará e se desenvolveu um conversor que viabiliza a injeção da energia extraída do vento à rede priorizando a qualidade e eficiência energética; cumprindo com a exigências normativas internacionais (IEEE *Standard* 1547/2003 e IEC *Standard* 61000-3-2/2014) e locais (NT-010/2012 da Coelce e o PRODIST/Módulo-3/2012 da ANEEL); e buscando sempre a redução de custos.

#### 1.1 Estrutura do trabalho

Este trabalho é composto de 6 capítulos. Neste primeiro capítulo foi apresentada a evolução histórica do tema em estudo a partir da qual pôde ficar clara a motivação do projeto proposto.

No segundo capítulo se desenvolve uma abordagem mais técnica acerca do estado da arte que contempla o aproveitamento de energia eólica (turbinas, geradores e conversores utilizados) para, por fim, apresentar o WECS proposto o qual foi subdividido em dois estágios de conversão.

O capítulo 3 apresenta uma abordagem teórica (princípio de operação, modelagem e estratégias de controle utilizada) do estágio de conversão AC-DC que é representado pelo retificador *boost bridgeless* e o capítulo 4, seguindo a mesma estrutura, apresenta o inversor trifásico ponte completa o qual representa o estágio de conversão DC-AC.

É no capítulo 5 que são apresentados a metodologia de projeto, ou seja, dimensionamento e escolha dos componentes (semicondutores, drivers, etc.), projeto dos controladores, e definição da lógica de programação. Por fim, através do modelo desenvolvido no *software* PSIM<sup>®</sup>, são apresentados os resultados de simulação.

O protótipo experimental desenvolvido assim como os resultados obtidos são apresentados no capítulo 6 os quais validam o estudo proposto.

Logo após, são expostas conclusões que resumem o desfecho do projeto como um todo, expondo assim tanto pontos positivos como possíveis desvantagens de algumas escolhas. Ao final, apresentam-se propostas de trabalhos futuros como forma de dar continuidade ao projeto que segue uma linha de pesquisa tão emergente.

O cálculo dos esforços de corrente nos semicondutores e o estudo de perdas é realizado e detalhadamente descrito conforme pode ser visto nos Apêndice A e Apêndice B.

O Apêndice C apresenta detalhes do desenvolvimento protótipo experimental para o qual foram desenvolvidas placas de circuito impresso com o auxílio do *software* ALTIUM DESIGNER®, o qual apresenta a ferramenta de pré-visualização 3D da montagem em desenvolvimento, facilitando assim uma melhor concepção do que está sendo realizado.

# 2 PRINCÍPIOS DA CONVERSÃO DE ENERGIA EÓLICA

As diferenças de temperatura provocam diferenças de densidade entre os gases atmosféricos de forma que quanto maior a temperatura menor a densidade e pressão do ar. Os gases com menor densidade tendem a ascender e os com maior densidade tendem a fluir próximo a superfície. Este deslocamento de massas de ar define o vento, o qual possui maior velocidade quanto maior for a diferença de pressão entre os gases. A energia cinética  $E_c$  de uma massa de ar m se movendo em velocidade constante  $v_{vento}$  é dada por (PINTO, 2013):

$$E_c = (1/2) \cdot m \cdot v_{vento}^2 \tag{2.1}$$

A conversão da energia eólica em energia elétrica é feita através do acoplamento de uma turbina eólica a um gerador. A turbina eólica converte parte da energia cinética disponível no vento em energia mecânica de eixo; o gerador converte a energia mecânica de eixo em energia elétrica; e um conversor eletrônico processa esta energia e a disponibiliza para a rede elétrica, Figura 2.1.

Turbina Conversor Eletrônico

eólica

V<sub>vento</sub>

Rede
Elétrica

Figura 2.1 - Componentes de um WECS.

#### Fonte: Próprio autor.

#### 2.1 Turbinas eólicas

As turbinas podem ser subdividas quanto à disposição do eixo ao qual estão acopladas as pás, ao número de pás, ao tipo de controle de potência, ao sistema de orientação da turbina, ao tipo de material das pás e da torre, dentre outros fatores.

De modo a poder caracterizar estas classificações, explanar-se-á inicialmente acerca do funcionamento aerodinâmico.

## 2.1.1 Princípio de funcionamento aerodinâmico

O vento de direção  $v_{vento}$  incide sobre as pás fazendo com que estas girem em um plano de rotação demarcando uma área A que depende do raio R das pás. A rotação das pás faz com que surja  $v_t$ , uma componente do vento na direção oposta ao movimento e diretamente proporcional à velocidade angular  $\omega$ , e desta forma tem-se uma componente resultante v.

Como pode ser visto na Figura 2.2, a seção transversal da pá é definida por um aerofólio, estrutura geométrica especial sobre a qual, sob ação do vento resultante v, surgem as forças mecânicas  $F_r$  de arrasto (na direção de v) e  $F_p$  de sustentação.

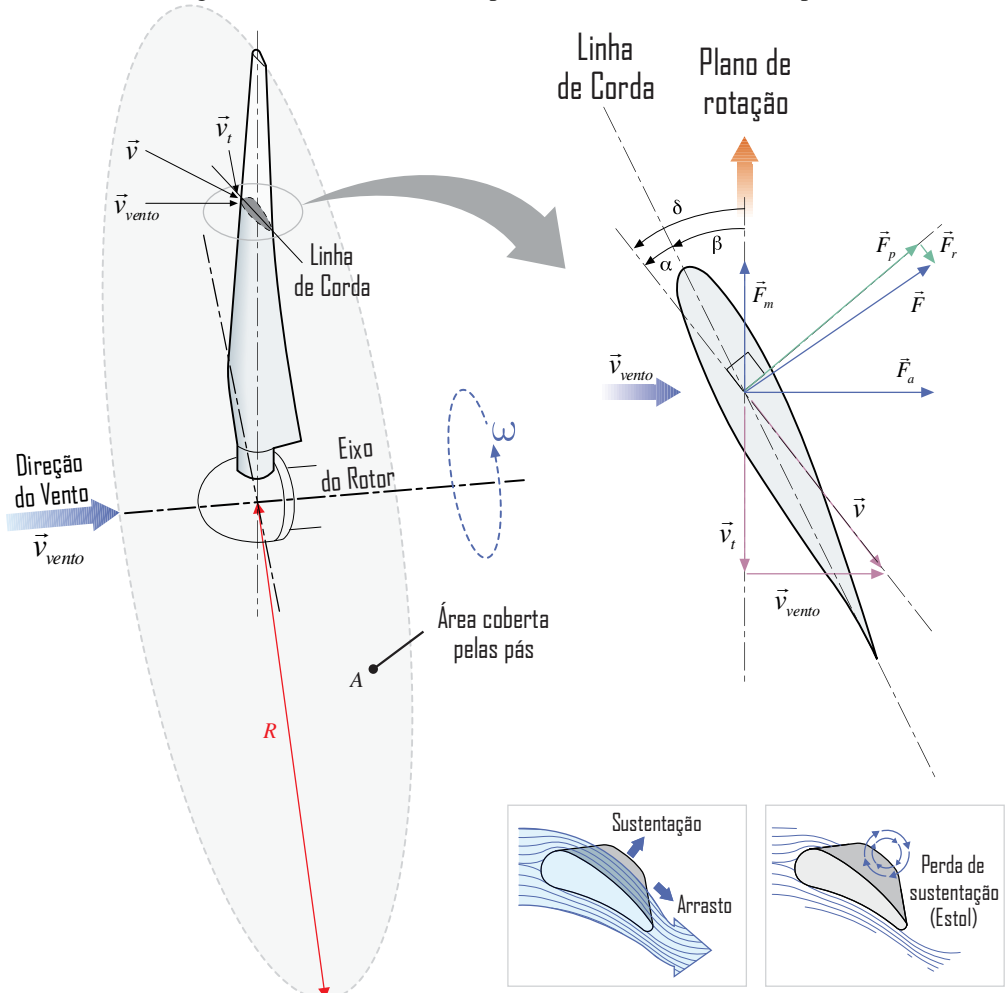


Figura 2.2 - Estrutura do comportamento aerodinâmico na pá.

Fonte: Adaptada de (ABB, 2011).

Decompõe-se a resultante destas duas forças, F, na direção do plano de rotação e obtêm-se  $F_m$  e  $F_a$ .  $F_m$  é a força motriz que gera torque útil fazendo as pás girarem com velocidade angular  $\omega$  e  $F_a$  é a força axial a qual não produz trabalho útil, apenas *stress* ao rotor.

A intensidade destas forças são definidas a partir do ângulo de ataque  $\alpha$  (ângulo estabelecido entre a linha de corda e a direção do vento resultante), do ângulo de passo  $\beta$  (ângulo entre a linha de corda e o plano de rotação) e da velocidade específica da turbina (*Tip-Speed-Ratio* TSR)  $\lambda$  que relaciona a velocidade tangencial da ponta da pá com a velocidade do vento:

$$\lambda = \frac{v_t}{v_{vento}} = \frac{\omega \cdot R}{v_{vento}} \tag{2.2}$$

A partir de tais parâmetros, determina-se o desempenho aerodinâmico da turbina através do coeficiente de potência  $C_p(\lambda,\beta)$  que determina qual a parcela de energia mecânica pode ser obtida a partir da energia eólica, ou seja, sendo a potência disponível no vento  $P_{\nu}$  dada por:

$$P_{v} = (1/2) \cdot \rho \cdot A \cdot v_{vento}^{3} \tag{2.3}$$

Calcula-se a potência mecânica:

$$P_{mec} = C_p(\lambda, \beta) \cdot P_v = \frac{1}{2} \cdot \rho \cdot \pi \cdot R^2 \cdot (v_{vento})^3 \cdot C_p(\lambda, \beta)$$
 (2.4)

Onde  $\rho$  é a densidade do ar dada por 1,225 kg/m³, no nível do mar e a 15 °C.

O torque mecânico gerado pela turbina é função da potência mecânica e da velocidade angular:

$$T_{mec} = \frac{P_{mec}}{\omega} = \frac{1}{2} \cdot \rho \cdot \pi \cdot R^2 \cdot (v_{vento})^3 \cdot \frac{C_p(\lambda, \beta)}{\omega}$$
 (2.5)

## 2.1.2 Classificação das turbinas

Quanto à disposição do eixo de sustentação, existem as turbinas de eixo vertical e as de eixo horizontal. As turbinas Savonius e Darrieus são exemplos de turbina de eixo vertical as quais apresentam baixa eficiência fazendo com que estejam presentes em apenas 1% das instalações (ABB, 2011). As turbinas de eixo horizontal estão consolidadas no mercado principalmente devido ao desenvolvimento tecnológico aplicado às pás. Estas podem ser do tipo *downwind* ou *upwind* se o vendo incide por trás da turbina (na nacele) ou na parte frontal, respectivamente. Além disto, podem possuir número variado de pás.

A Figura 2.3 contempla um estudo comparativo entre tipos de turbina correlacionando o coeficiente de potência  $C_p(\lambda,\beta)$  com a velocidade específica  $\lambda$  para um ângulo de passo  $\beta$  fixo. Como pode ser visto, a turbina de três pás alcança maior coeficiente de potência quando comparado com o coeficiente de potência máximo ideal, ou simplesmente limite de Betz (físico alemão pioneiro no estudo de turbinas eólicas), dado por  $C_{p,Betz} = 0,593$ . Além disso, estas turbinas de três pás operam com velocidade específica menor quando comparada às turbinas de uma ou duas pás. Em outras palavras, turbinas com número menor de pás operam com maior velocidade específica, ou seja, maior velocidade angular, o que pode ser atraente visto que reduz a relação da caixa de engrenagem, mas quanto maior a velocidade na ponta do eixo maiores são as perdas e ruído aerodinâmico (ANAYA-LARA et al., 2009). Estes são alguns dos fatos que justificam a maior utilização das turbinas de três pás.

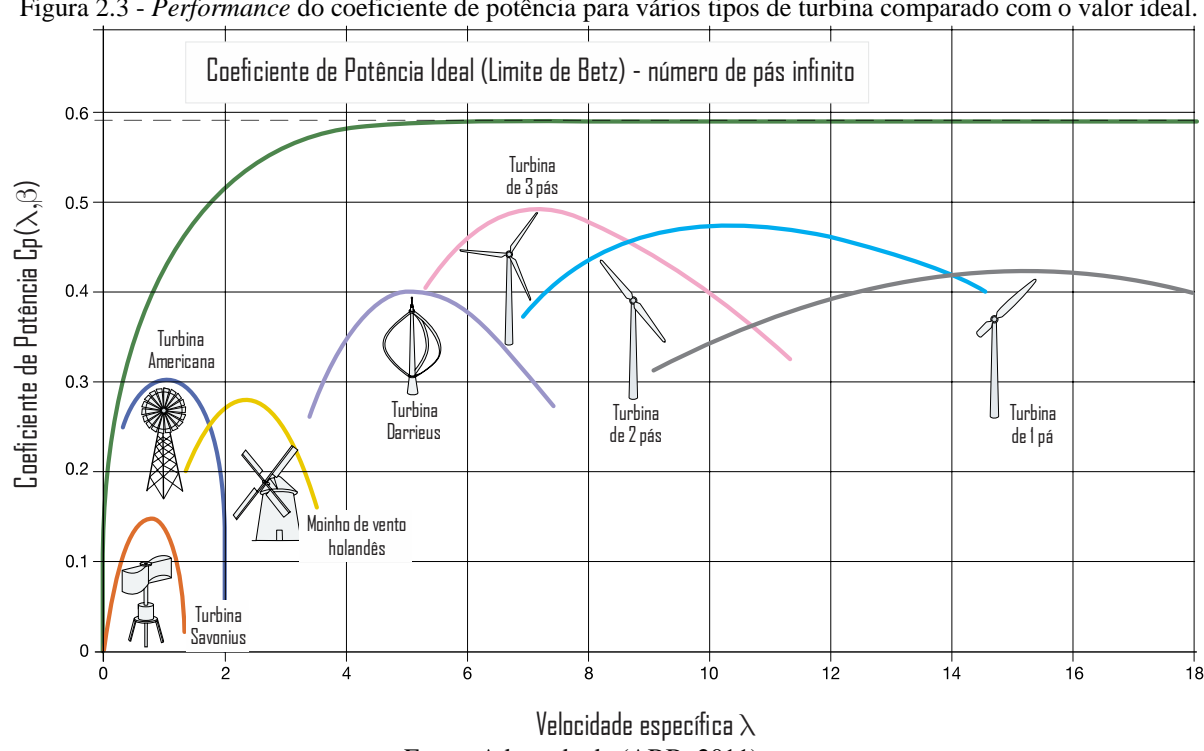


Figura 2.3 - Performance do coeficiente de potência para vários tipos de turbina comparado com o valor ideal.

Fonte: Adaptada de (ABB, 2011).

Quando a velocidade do vento ultrapassa o valor nominal para o qual foi construída a turbina, é necessário limitar a potência produzida pela turbina. Existem dois tipos de controle de limitação de potência em uma turbina eólica: embandeiramento (pitch) e estol (stall).

No controle por pitch, por meio de mecanismos hidráulicos ou elétricos, é possível girar a pá em torno do seu eixo variando o ângulo de passo  $\beta$  de modo a controlar a extração de potência para todas as velocidades do vento. A Figura 2.4 evidencia a diferença entre as curvas de potência quando mantido o ângulo de passo constante ( $\beta$ =0) ou variável. Assim, considerando que a velocidade de rotação da turbina é mantida constante, quando a velocidade do vento passa a ser maior do que a nominal (aproximadamente 12 m/s), é necessário aumentar o ângulo de passo, ou seja, reduzir as forças aerodinâmicas que atuam na pá, para limitar a potência no valor nominal. Esta é a aplicação mais importante do controle por *pitch* (BURTON et al., 2011) mas, apesar de ser a técnica de controle mais precisa e robusta, o custo e a necessidade de maior manutenção devido ao servomecanismo são desvantagens que inviabilizam sua utilização em sistemas de pequeno porte.

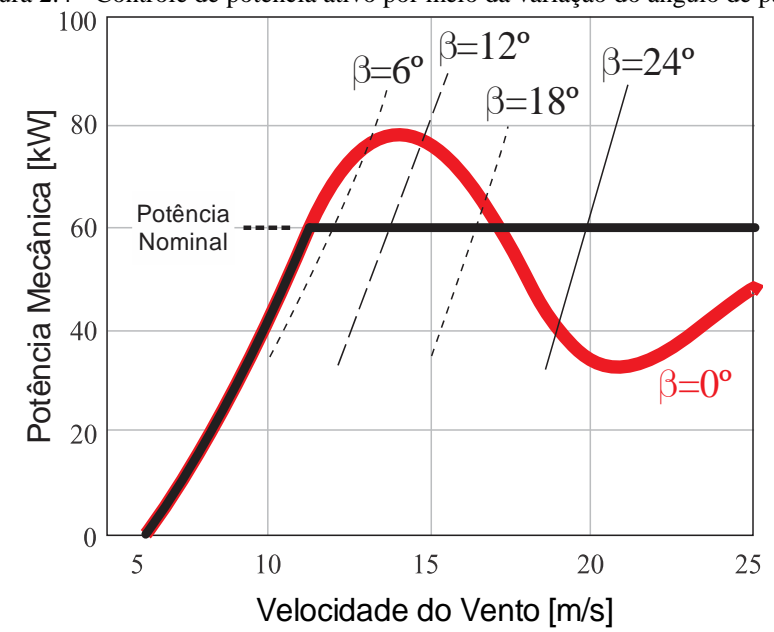


Figura 2.4 - Controle de potência ativo por meio da variação do ângulo de passo.

Fonte: Adaptada de BURTON et al. (2011).

Define-se o estol quando o ar descola da pá (detalhe na Figura 2.5) reduzindo a força de sustentação, componente responsável pela força motriz que gera torque útil. O controle por estol pode ser classificado como passivo ou ativo (quando ele é induzido variando o ângulo de passo ou a velocidade de rotação).

O controle por estol passivo é a forma de controle mais simples, visto que as pás são mantidas fixas com o ângulo de passo escolhido de forma que a turbina alcance a potência nominal em uma velocidade de vento desejada. Quando a velocidade do vento aumenta e a velocidade de rotação da turbina permanece constante, a componente do vento resultante aumenta causando acréscimo no ângulo de ataque, gerando a perda de sustentação e um decréscimo da potência mecânica extraída conforme pode ser visto na Figura 2.5.

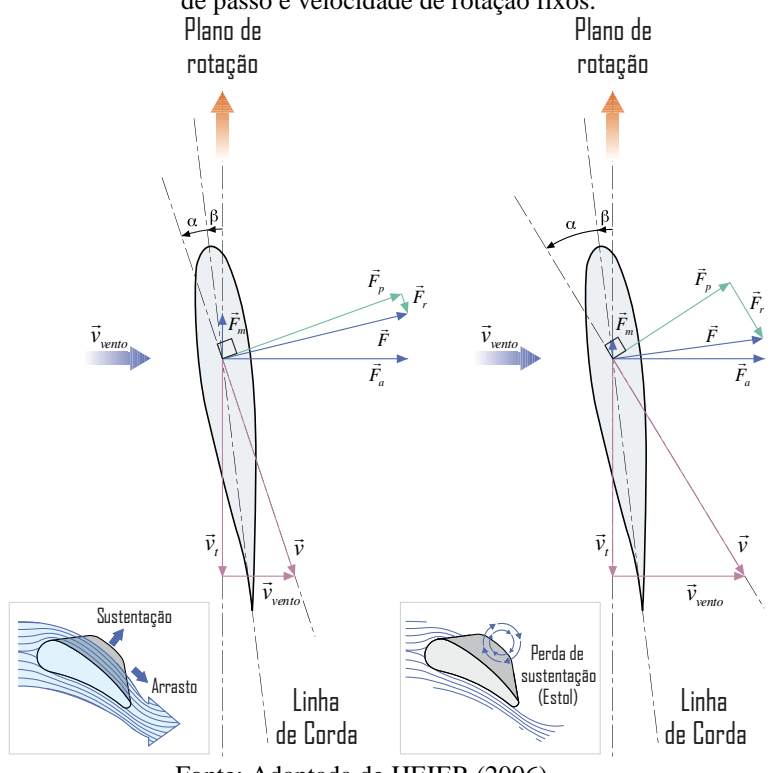


Figura 2.5 - Comportamento aerodinâmico das forças atuantes na pá em operação normal e no estol com ângulo de passo e velocidade de rotação fixos.

Fonte: Adaptada de HEIER (2006).

O controle por estol ativo também é resultado do aumento do ângulo de ataque, mas agora com a variação do ângulo de passo na direção oposta à provocada pelo controle de pitch ou pela variação da velocidade. A primeira opção é alcançada por meio de um mecanismo (geralmente são utilizadas molas) que varia automaticamente o ângulo de passo (negativamente como pode ser visto na Figura 2.6), levando a pá em direção ao plano de rotação, com o aumento da velocidade do vento. Já nas turbinas que operam com velocidade variável, em função da proporcionalidade que a componente  $v_t$  tem com a velocidade angular  $\omega$ , estas forças podem ser controladas assim como a potência mecânica.

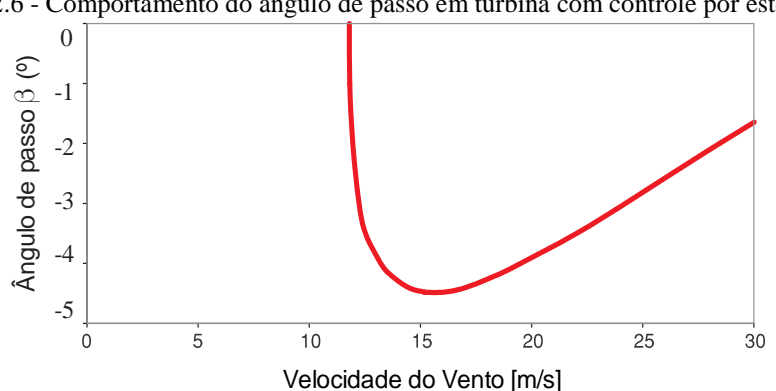


Figura 2.6 - Comportamento do ângulo de passo em turbina com controle por estol ativo.

Fonte: Adaptada de BURTON et al. (2011).

### 2.2 Geradores

WECS podem operar com turbinas de velocidade fixa ou variável. Se a turbina opera com velocidade fixa  $\omega$ , a máxima eficiência (operação com máximo coeficiente de potência  $C_{p,m\acute{a}x}$  e velocidade específica ótima  $\lambda_{\acute{o}timo}$ ) só irá ser alcançada em uma determinada velocidade do vento, o que pode ocorrer esporadicamente.

Para se extrair a máxima potência em todas as velocidades do vento, deve-se sempre operar com a velocidade específica ótima, ou seja, deve-se manter a relação entre a velocidade angular e a velocidade do vento constante:

$$\frac{\omega \cdot R}{v_{vento}} = \lambda_{\text{otimo}} \tag{2.6}$$

Este modo de operação geralmente exige a utilização de um conversor que, embora acarrete perdas (devido aos semicondutores) e aumente o custo da aplicação, viabiliza o maior aproveitamento de energia e garante a qualidade da energia entregue à rede. Apesar de apresentar maior complexidade, esta possibilidade de operação viabiliza a utilização de inúmeras soluções, incluindo variação na topologia do gerador e do conversor.

Embora as máquinas de corrente contínua também possam ser utilizadas como geradores em WECS, por apresentarem baixa densidade de potência (ALENCAR, 2012), são as máquinas de corrente alternada, síncronas e assíncronas que dominam as aplicações.

De modo geral, os geradores assíncronos ou de indução são os mais robustos e simples do ponto de vista mecânico e apresentam como principal desvantagem o fato de consumirem potência reativa devido à corrente de magnetização do estator. São tipos de geradores assíncronos o gerador de indução com gaiola de esquilo (*Squirrel Cage Induction Generator* - SCIG) e o com rotor bobinado (*Wound Rotor Induction Generator* - WRIG). Este último geralmente se apresenta nas aplicações em duas configurações: gerador de indução OptiSlip (*OptiSlip Induction Generator* - OSIG) e gerador de indução duplamente alimentado (*Doubly-fed Induction Generator* - DFIG).

Geralmente, é característica dos WECSs operando com velocidade fixa a utilização de SCIG com conexão direta a rede. Simplicidade e baixo custo são as maiores vantagens deste tipo de configuração, mas o grande problema é a limitação da qualidade de potência, visto que flutuações na velocidade do vento são transferidas, através das flutuações no torque mecânico, à rede e, vice-versa. Além disso, faltas na rede podem causar *stress* mecânico aos componentes da turbina (ACKERMANN, 2005). Neste tipo de sistema, são instalados bancos capacitivos

(processo de autoexcitação) e um *soft starter* para fornecer a potência reativa e limitar a corrente *inrush*, respectivamente. Além disso é necessária a instalação de uma caixa de engrenagem para adequar a diferença de velocidade entre a turbina e o gerador o qual é construído com baixo número de pólos (4 ou 6 pólos para frequências de 50 Hz ou 60 Hz conforme apresentado em YARAMASU et al. (2015)).

Utilizam-se os OSIGs conectando o estator diretamente à rede e controlando a resistência do rotor que modifica a curva característica de torque/velocidade viabilizando a operação com velocidade variável para uma faixa limitada de variação da velocidade do vento (LI; CHEN, 2008). Apesar desta topologia, quando comparada a aplicação com SGIC comentada anteriormente, capturar mais energia do vento, as perdas devido à resistência são maiores.

O DFIG é a topologia mais utilizada em sistemas que operam com velocidade variável (MANAULLAH et al., 2014). Dispensa-se o uso do *soft starter* e do banco capacitivo e, por meio de um conversor bidirecional, pode-se controlar a potência fornecida pelo rotor de modo que este passe a fornecer a energia reativa ao estator e garanta o fator de potência unitário no ponto de conexão com a rede. O uso da caixa de engrenagem continua sendo obrigatório e, atrelado a isto, estão os problemas de custo, peso e manutenção. Manutenção é um ponto crítico principalmente quando se diz respeito a parques eólicos *offshore*.

A maior vantagem desta configuração se deve ao fato do conversor processar apenas 25-30% da energia total mas, com a redução do custo crescente dos dispositivos eletrônicos, a utilização de conversores que processem a energia total passam a ser uma opção atrativa os quais poderão ser utilizados, por exemplo, com os SCIGs, WRSGs e PMSGs (AHUJA; BHUVANESWARI; BALASUBRAMANIAN, 2011).

Os geradores síncronos são máquinas cuja frequência da tensão gerada  $f_g$  é sincronizada com a velocidade de rotação:

$$f_g = \frac{p \cdot \omega_{rpm}}{120} \tag{2.7}$$

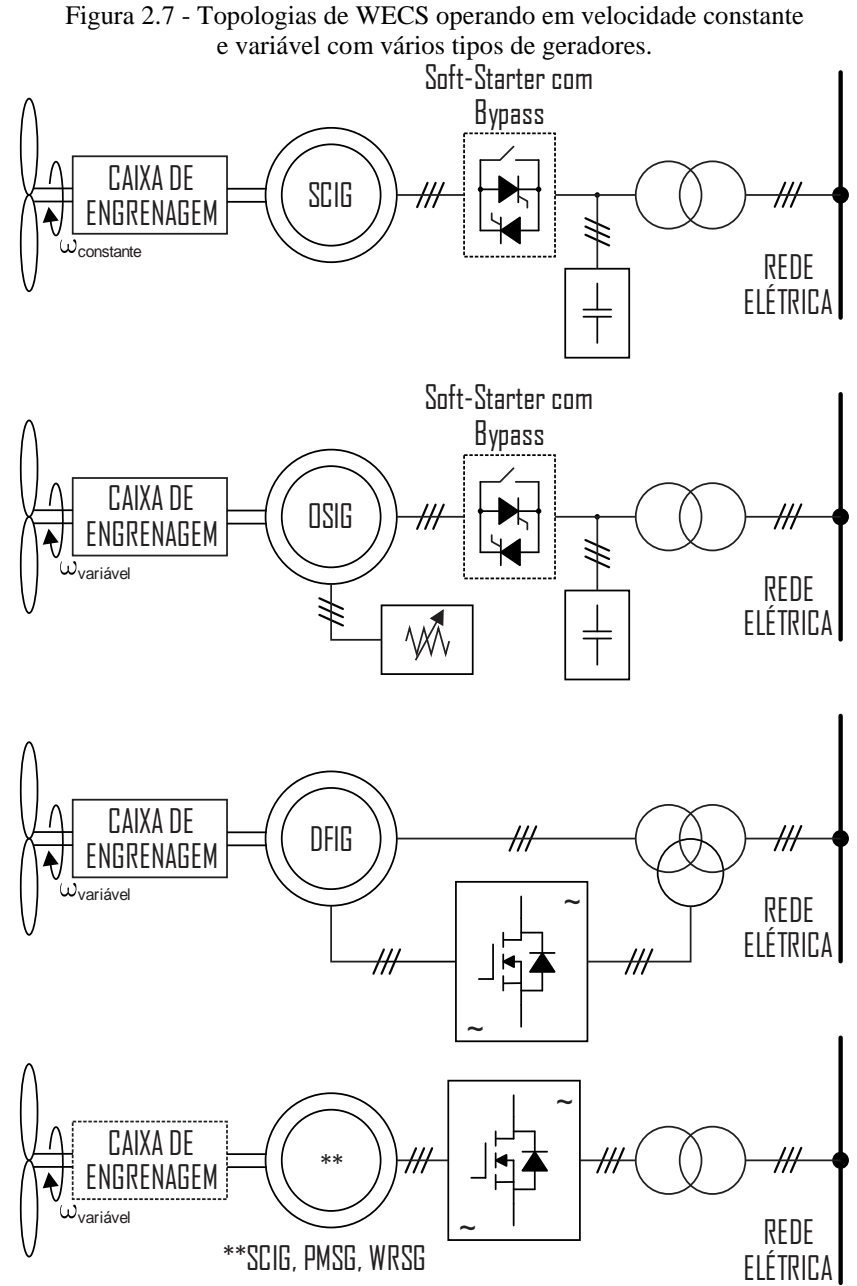
Sendo p o número de pólos,  $\omega_{rpm}$  a velocidade angular de rotação em rpm a qual, em rad/s, é dada por:

$$\omega = \frac{\pi \cdot \omega_{rpm}}{30} \tag{2.8}$$

O campo magnético nos geradores síncronos pode ser criado por um enrolamento de campo ou por imã permanente definindo assim os dois tipos de gerador: *Wound Rotor* 

Synchronous Generator (WRSG) e Permanent Magnet Synchronous Generator (PMSG). Os PMSGs têm se tornado uma tendência, principalmente em aplicações de pequeno porte. Dentre os motivos podem-se citar a redução de custo dos imãs permanentes e a redução de manutenção pois a caixa de engrenagem pode ser dispensada visto que o PMSG pode ser construído com elevado número de pólos. Além disso, possuem peso e tamanho reduzidos, apresentam alta eficiência e confiabilidade (TZE-FUN; LOI LEI, 2007).

Na Figura 2.7 podem ser vistas as estruturas das topologias de WECS comentadas anteriormente.



Fonte: Adaptada de YARAMASU et al. (2015).

#### 2.3 Conversores

O objetivo dos conversores de potência é conceder a operação do WECS com velocidade variável (alcançar níveis de extração de potência máxima) e tornar possível a conexão com a rede. Custo do equipamento e da manutenção, confiabilidade, modularidade, fatores de qualidade (fator de potência, taxas de distorção harmônica, compatibilidade eletromagnética, etc.), eficiência (alcançada com as novas tecnologias de semicondutores, com variações na topologia ou na modulação, etc.) e densidade de potência são apenas alguns fatores que devem ser levados em conta na hora de se propor uma configuração do conversor do WECS.

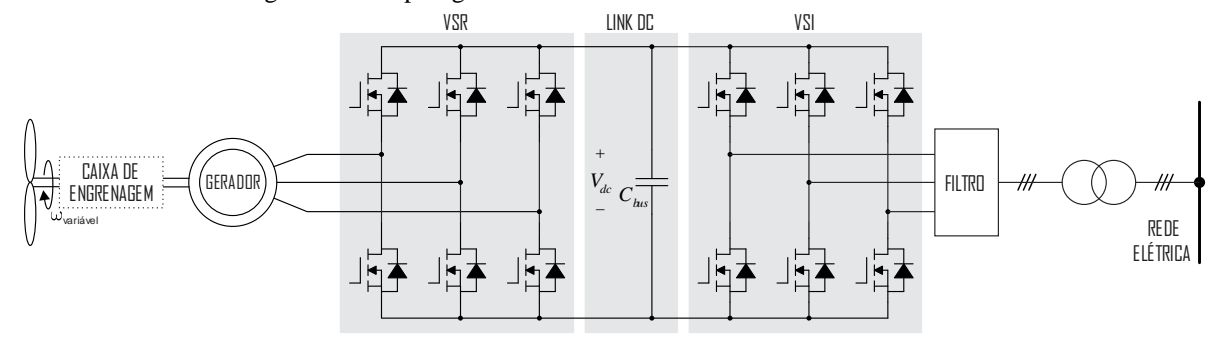
A conversão de potência pode ser direta (quando existe um conversor de estágio único AC-AC) ou indireta (na qual existe um link DC que conecta o conversor presente no lado do gerador ao conversor no lado da rede elétrica). Apesar do link DC agregar volume, custo, possuir baixa vida útil e exigir maior manutenção, é através dele que se realiza o desacoplamento entre o gerador e a rede.

Denominam-se topologias *back-to-back* aquelas nas quais ambos os conversores do lado do gerador e da rede apresentam a mesma topologia. A topologia *back-to-back* que utiliza o conversor fonte de tensão (*Voltage Source Converters* - VSCs) de dois níveis, Figura 2.8, domina 90% do mercado de baixa tensão (< 1kV) (YARAMASU et al., 2015). Nesta topologia, o retificador fonte de tensão (*Voltage Source Rectifier* - VSR) controla o torque e a velocidade do gerador enquanto que o inversor fonte de tensão (*Voltage Source Inverter* - VSI) controla a tensão no link DC e a potência entregue à rede. Estudos apresentam a utilização desta topologia com WRSGs (MALEKIAN et al., 2009), PMSGs (CHINCHILLA; ARNALTES; BURGOS, 2006), SCIGs (MILLER; MULJADI; ZINGER, 1997) e DFIGs (MULLER; DEICKE; DE DONCKER, 2002) (PENA; CLARE; ASHER, 1996).

Os conversores fonte de corrente (*Current Source Converter* - CSC) (Figura 2.9) também podem configurar em topologias *back-to-back*. Segundo QIANG; BIN (2015), esta topologia é considerada a mais promissora para WECS com PMSG de média tensão devido ao seu alto desempenho dinâmico e à tecnologia de drivers com aplicações comprovadas.

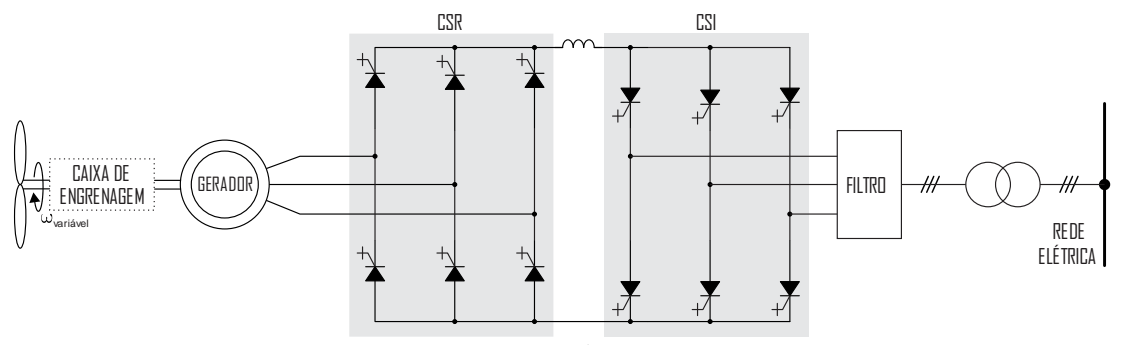
Para potências maiores, pode ser utilizada a topologia *back-to-back* com VSCs em paralelo utilizando o mesmo link DC (Figura 2.10) ou diferentes links DC (Figura 2.11), mas quando a potência aumenta suficientemente, o número de módulos ou conversores em paralelo começa a comprometer o custo e a complexidade do sistema e aponta-se para uma melhor eficiência com conversores de média tensão (entre 1 kV e 35 kV) (YARAMASU; BIN, 2014).

Figura 2.8 - Topologia back-to-back com VSCs utilizada em WECSs.



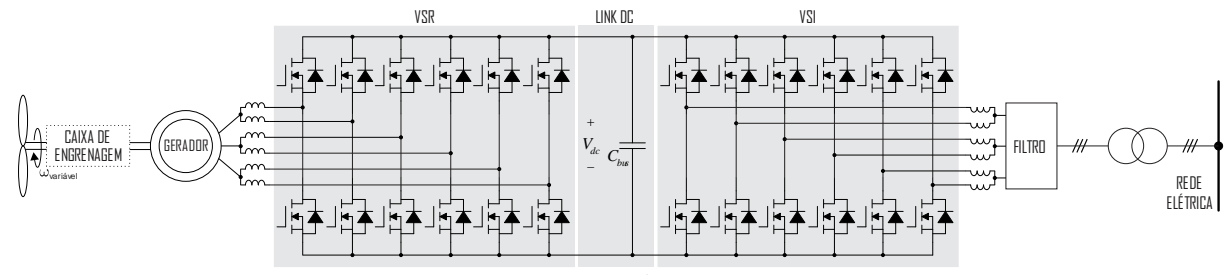
Fonte: Próprio autor.

Figura 2.9 - Topologia back-to-back com CSCs.



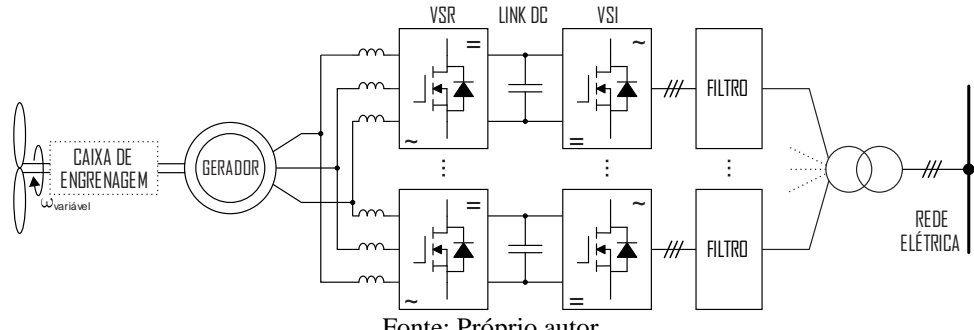
Fonte: Próprio autor.

Figura 2.10 - Topologia back-to-back com VSCs em paralelo e link DC único.



Fonte: Próprio autor.

Figura 2.11 - Topologia back-to-back com VSCs em paralelo e links DC individuais.



Fonte: Próprio autor.

Visto que a potência flui no WECS em sentido único (do gerador para rede) e que o fluxo do rotor dos geradores síncronos é produzido por imãs permanentes nos PMSGs ou por uma excitação independente nos WRSGs, conversores passivos podem ser utilizados do lado do gerador.

Na Figura 2.12 pode ser visto um exemplo de um WECS utilizando um conversor passivo. Nesta topologia, é o estágio intermediário, implementado com o conversor *boost* e inserido entre o retificador e o inversor, que realiza o rastreamento do máximo ponto de potência, ou seja, controla a velocidade da turbina. SHARMA; RASMUSSEN; JENSEN (2012) apresentam um WECS com PMSG, retificador passivo, *boost*, e VSI. VATTUONE et al. (2013) apresentam um WECS com dois retificadores, dois *boost* e um conversor *Neutral Point Clamped* (NPC). YARAMASU; BIN (2011) apresentam um WECS com o retificador passivo, conversor *boost* de 3 níveis e NPC.

RETIFICADOR PASSIVO

BOOST

VSI

ENGRENAGEM

Fonte: Próprio autor.

Figura 2.12 - Topologia de WECS com retificador passivo, boost e VSI.

O inversor fonte de corrente operando em conjunto com um *buck* (estágio intermediário que eleva a corrente no link DC) também pode compor um WECS com um retificador passivo do lado do gerador (Figura 2.13).

RETIFICADOR PASSIVO
BUCK
CSI

FILTRO

Figura 2.13 - Topologia de WECS com retificador passivo, buck e CSI.

Fonte: Adaptada de XIAOTIAN; JINGYA; BIN (2011).

A principal desvantagem destas topologias com conversores passivos do lado do gerador é o fato de que as correntes e tensões no gerador irão conter harmônicas as quais irão

afetar a eficiência da máquina, aumentar o aquecimento devido a perdas no ferro e no cobre nas frequências das harmônicas, causar ondulações de torque e emitir ruídos audíveis (IEEE *Standard* 519/1992).

Visando a melhoria do conteúdo harmônico e o incremento da eficiência do sistema, pode-se eliminar o conversor intermediário DC-DC e utilizar o retificador semi-controlado (OLIVEIRA et al., 2010) apresentado na Figura 2.14. Esta topologia utiliza o mesmo número de semicondutores do VSR, mas é bem mais robusta (não há a possibilidade de curto de braço) e de simples acionamento e controle (todos os interruptores estão conectados ao mesmo terminal emissor). Como desvantagem, apresenta-se o fato de que a correção do fator de potência só se dá no semiciclo positivo de tensão.

RETIFICADOR SEMI-CONTROLADO

LINK DC

VSI

ENGRENAGEM

FILTRO

REDE

ELÉTRICA

Figura 2.14 - Topologia de WECS com retificador semi-controlado e VSI.

Fonte: Adaptada de OLIVEIRA et al. (2010).

Conforme comentado anteriormente, com o aumento da potência dos WECS, aponta-se para uma redução de custo com a produção em média tensão. Na média tensão, podem ser utilizadas as topologias com conversores fonte de corrente e tensão de dois níveis citados anteriormente com semicondutores associados em série ou podem ser utilizadas as topologias com conversores multiníveis dentre os quais estão os conversores grampeados a diodo (*Neutral Point Clamped* - NPC e *Active Neutral Point Clamped* - ANPC), o conversores com capacitor flutuante (*Flying Capacitor* - FC), os conversores cascateados, dentre outros. YARAMASU; BIN (2014) e YAZDANI; IRAVANI (2006) apresentam configurações de WECS de alta potência operando em média tensão com geradores síncronos e conversores com topologia NPC.

# 2.4 WECS proposto

O WECS proposto é composto pela turbina eólica com PMSG; pelo conversor unidirecional totalmente controlado e denominado retificador *boost bridgeless* (estágio de conversão AC-DC); pelo link DC; pelo inversor trifásico ponte completa (estágio de conversão DC-AC); e pelo filtro de conexão com rede elétrica.

Na Figura 2.15, na Tabela 2.1 e nas seções seguintes encontram-se, respectivamente, a topologia, as características elétricas e o detalhamento de cada parte do WECS proposto.

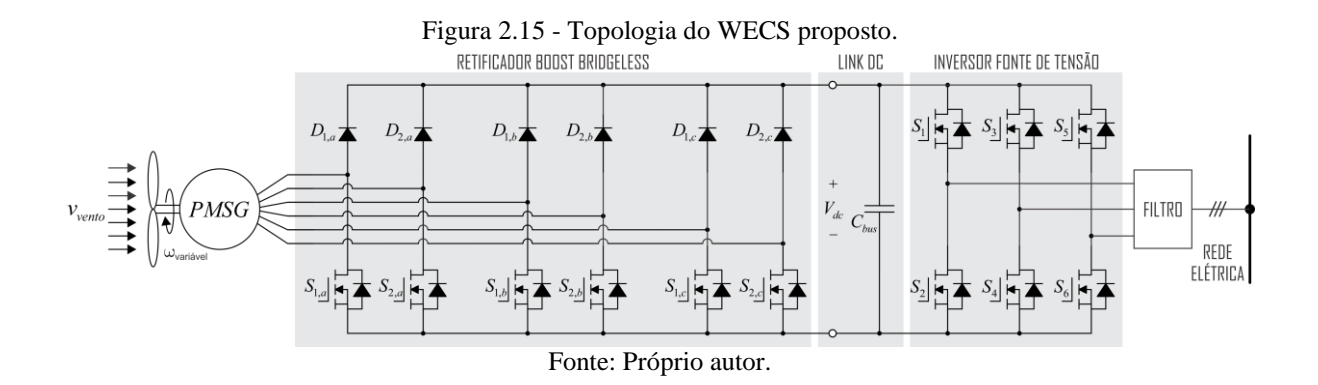


Tabela 2.1 - Características WECS proposto.

6 kW						
700V						
$380~\mathrm{V}_{\mathrm{rms}}$						
60 Hz						
PMSG						
Retificador boost						
bridgeless						
Inversor ponte completa						
fonte de tensão						

FONTE: Próprio autor.

## 2.4.1 Aerogerador utilizado

A turbina eólica utilizada, modelo VERNE555, foi fabricada pela ENERSUD e possui as características presentes na Tabela 2.2.

Esta turbina apresenta o controle por estol ativo desenvolvido por meio de molas conforme pode ser visto na Figura 2.16 cujo princípio de funcionamento foi detalhado anteriormente, Figura 2.6.

Tabela 2.2- Características da Turbina VERNE555.

Diâmetro da Hélice	5,55 m			
Número/tipo de pás	3 pás torcidas (5 aerofólios)			
Proteção contra altas velocidades	Estol ativo			
Potência a 10 m/s	6 kW			
Número de pólos	p = 30			
Topologia do Gerador	PMSG com fluxo axial			
Material do imã permanente	Neodímio-Ferro-Boro			
Configuração elétrica	Open-end winding			
Indutância Síncrona	25 mH			
Resistência do enrolamento	$10~\Omega$			
Constante	$k_{\omega} = 20,488713$			
Peso total	160 kg			
Momento de Inércia	13,8 kg.m²			
Mecanismo de direcionamento	Leme			

FONTE: ENERSUD (2011).



Fonte: ENERSUD (2011).

O aerogerador foi instalado na Universidade Federal do Ceará próximo ao Açude da Agronomia conforme pode ser visto na imagem de satélite presente na Figura 2.17. A torre, a qual foi fabricada pela empresa Zanatta Engenharia Ltda e instalada pela empresa Gram-Eollic, possui altura total de 12 m (Figura 2.18), tem estrutura de aço e possui peso aproximado de 1869 kg.



Figura 2.17 - Imagem de satélite do local da instalação do aerogerador.

Fonte: GOOGLE1 (2015).



Figura 2.18 - Imagem do aerogerador VERNE555 no local de instalação.

Fonte: Fonte: Próprio autor.

Realiza-se a modelagem desta turbina a partir do coeficiente de potência o qual pode ser definido, como apresentado em HEIER (2006), por:

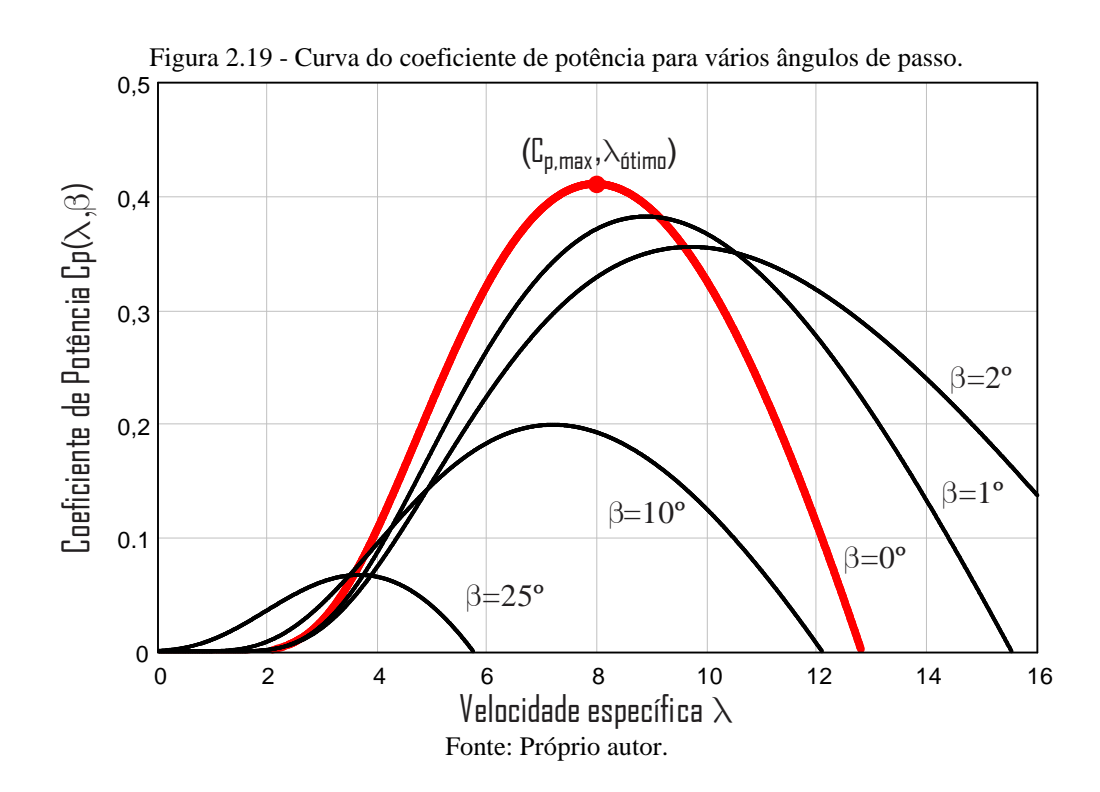
$$C_{p}(\lambda,\beta) = C_{1} \cdot \left(\frac{C_{2}}{\lambda_{1}(\lambda,\beta)} - C_{3} \cdot \beta - C_{4} \cdot \beta^{x} - C_{5}\right) \cdot e^{-\frac{C_{6}}{\lambda_{1}(\lambda,\beta)}}$$
(2.9)

$$\frac{1}{\lambda_{1}(\lambda,\beta)} = \frac{1}{\lambda + 0,08 \cdot \beta} - \frac{0,035}{\beta^{3} + 1}$$
 (2.10)

Sendo os valores de  $C_1$ ,  $C_2$ ,  $C_3$ ,  $C_4$ ,  $C_5$ ,  $C_6$  e x obtidos empiricamente ou através de ensaios para cada tipo de turbina. Para o tipo de turbina utilizada, têm-se os valores apresentados na Tabela 2.3 e na Figura 2.19 podem ser vistas as curvas  $C_p(\lambda,\beta)$  para vários ângulos de passo, ressaltando o ângulo no qual é possível haver a maior extração de energia  $(\beta=0^\circ)$ .

Tabela 2.3 – Coeficientes que determinam a curva do coeficiente de potência.

$C_1$	$C_2$	$C_3$	$C_4$	$C_5$	$C_6$	$\boldsymbol{\mathcal{X}}$	
0,5	116	0,4	0	5	21	1,5	
FONTE: HEIER (2006).							



## 2.4.2 Conversores e estratégias de controle

O circuito de processamento de energia é dividido em dois estágios, conversão indireta como classificado anteriormente.

Visando se ter um conversor robusto e de fácil acionamento e controle (características do retificador semi-controlado apresentado anteriormente), mas com baixa taxa de distorção harmônica (*Total Harmonic Distortion* - THD), fato que pode ser alcançado ao se controlar a corrente nos semiciclos positivo e negativo, opta-se pela utilização do conversor unidirecional totalmente controlado e denominado retificador *boost bridgeless* para representar o estágio AC-DC do WECS proposto.

A versão monofásica deste retificador foi patenteada por Daniel M. Mitchell (Google Patents, 1993) e apresentada em diversos estudos anos depois (ENJETI; MARTINEZ, 1993) (DE SOUZA; BARBI, 1995) (MARTINEZ; ENJETI, 1996). Posteriormente, ALENCAR (2012) propôs um WECS trifásico e utilizou três unidades do retificador citado para montar a topologia trifásica conforme proposto também neste trabalho.

Como pode ser visto na Figura 2.15, por este retificador ser composto por seis braços, utiliza-se o PMSG na configuração *open-end winding*, ou seja, todos os seis terminais do estator são conectados ao conversor.

Para controlar a corrente de entrada deste conversor e alcançar elevado fator de potência, optou-se pela utilização da técnica de autocontrole (*self-control*). Ao contrário das estratégias de controle tradicionais, nas quais uma referência de corrente é gerada a partir da amostragem da tensão e um controlador minimiza o erro entre a corrente lida e a referência, nesta técnica, apresentada por BORGONOVO, D. et al. (2005), é possível obter um fator de potência praticamente unitário com baixa distorção de corrente utilizando apenas um controlador proporcional e sem o uso de sensores de tensão. O valor da amplitude de corrente é determinado pelo algoritmo que controla a potência mecânica extraída do vento conforme será detalhado a seguir. Estas características agregam robustez, simplicidade e redução de custos ao projeto.

O estágio DC-AC é representado por um inversor trifásico ponte completa (*full-bridge*) o qual é responsável pela transferência de potência do link DC para a rede. Modela-se este conversor a partir da transformada de Park (BORGONOVO, DEIVIS, 2001) e controlam-se as correntes de eixo direto e quadratura de modo a garantir a tensão no link DC no valor nominal de 700 V e se transferir para a rede apenas potência ativa com o auxílio de um algoritmo de rastreamento de ângulo de fase.

## 2.4.3 Controle da potência extraída do vento

A estratégia de controle de potência segue o comportamento exposto na Figura 2.20 pela curva em vermelho na qual, em função da velocidade do vento, podem ser demarcadas quatro regiões de operação.

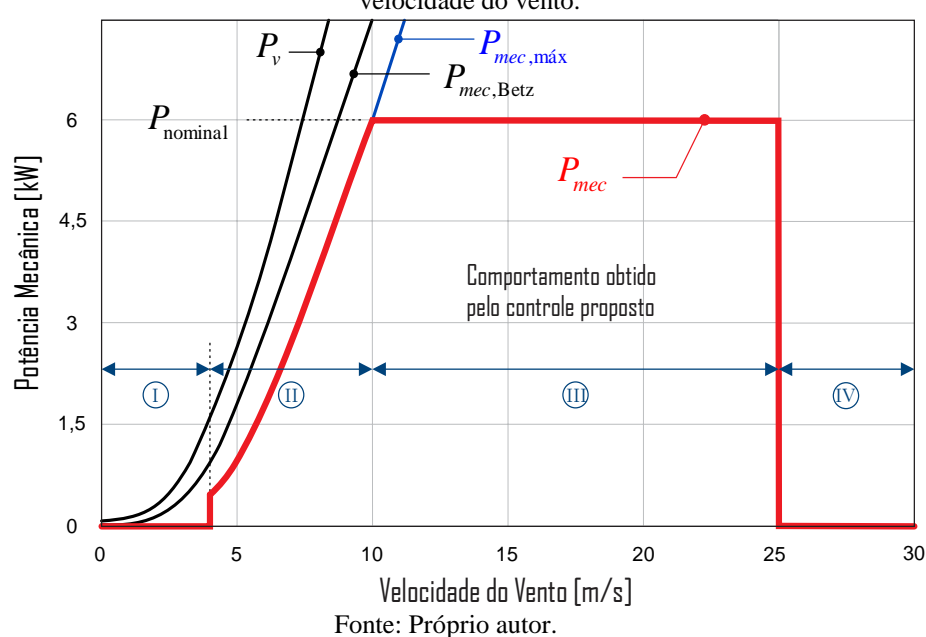


Figura 2.20 - Curva de potência mecânica gerada pela turbina eólica no WECS proposto em função da velocidade do vento.

Devido a limitações da estratégia de controle aplicada no retificador *boost bridgeless* (*self-control*) a qual apresenta instabilidade para baixas cargas (LANGE, 2012), estabelece-se a região de operação I (restrita a velocidades do vendo inferiores a 4 m/s) na qual não há extração de potência do vento, não circula corrente no gerador, não há torque resistente e assim a turbina pode acelerar livremente até atingir a velocidade mínima de operação. Esta perda de energia é baixa devido a região ser caracterizada por baixas velocidades do vento e devido a eficiência de conversão eletromecânica do gerador a imãs permanentes ser menor quanto menor for a velocidade de rotação.

As pás de uma turbina são projetadas para suportar uma determinada velocidade do vento máxima. Logo, com o objetivo de evitar danos mecânicos, para velocidades do vento superiores a um valor máximo, deve-se frenar a turbina. Este comportamento está determinado pela região IV na qual pode ser observado que também não há extração de potência.

Pode ser visto na Figura 2.20 a curva de potência disponível no vento  $P_{\nu}$  assim como a máxima potência teórica que pode ser extraída do vento a qual é determinada pelo coeficiente de Betz:

$$P_{mec \text{ Retz}} = C_{n \text{ Retz}} \cdot P_{v} \tag{2.11}$$

Mas, conforme pode ser verificado na Figura 2.19, o coeficiente de potência máximo apresentado nestas turbinas não alcança o coeficiente de Betz (para  $\beta = 0$ , que é a melhor condição, tem-se aproximadamente  $C_{p,m\acute{a}x} = 0,41$ ), logo a potência máxima que pode ser extraída,  $P_{mec,m\acute{a}x}$ , é inferior a  $P_{mec,Betz}$  conforme pode ser visto na Figura 2.20.

Na região II (velocidades do vento entre 4 m/s e 10 m/s),  $P_{mec,m\acute{a}x}$  é inferior a potência nominal do WECS, logo a potência extraída pelo conversor deve ser a máxima possível:

$$P_{mec} = P_{mec,máx} \tag{2.12}$$

Para tal implementa-se um algoritmo que realiza o rastreamento do máximo ponto de potência (*Maximum Power Point Tracking* - MPPT) conforme apresentado na subseção a seguir.

Na região III (delimitada por velocidades do vento superior a 10 m/s e inferior a 25 m/s), a potência mecânica que pode ser convertida a partir da potência cinética do vento é superior ao valor nominal do WECS. Deste modo, é necessária a atuação de um controle que, ao invés de buscar o máximo ponto de potência, limita esta potência no valor nominal.

Em resumo, o WECS proposto busca a extração de potência seguindo a função:

$$P_{mec} = \begin{cases} 0, & \text{se } 0 \le v_{vento} < 4 \, m/s \\ P_{mec,m\acute{a}x}, & \text{se } 4 \le v_{vento} < 10 \, m/s \\ P_{nominal}, & \text{se } 10 \le v_{vento} < 25 \, m/s \\ 0, & \text{se } v_{vento} \ge 25 \, m/s \end{cases}$$
(2.13)

### 2.4.3.1 Rastreamento do máximo ponto de potência

De modo a alcançar o comportamento apresentado na região II da Figura 2.20, algoritmos de MPPT variam a velocidade angular da turbina  $\omega$  de modo a manter o coeficiente

de potência no seu valor máximo,  $C_{p,máx}$ , e a velocidade específica no valor ótimo,  $\lambda_{\acute{o}timo}$ , para todas as velocidade do vento conforme pode ser visto na curva destacada na Figura 2.21.

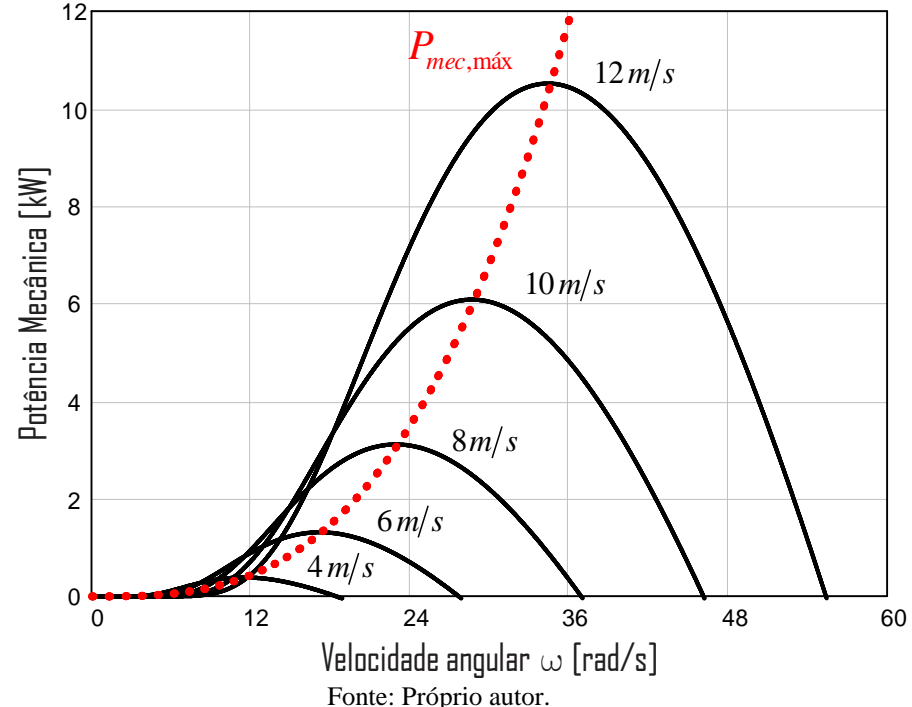


Figura 2.21 - Curvas de potência para várias velocidades do vento e curva almejada pelo MPPT.

A literatura apresenta diversas formas de se implementar o algoritmo de MPPT (SASSO et al., 2002). Optou-se pela utilização da técnica de controle do torque ótimo.

As curvas de torque mecânico imposto pela turbina,  $T_{mec}$ , em função da velocidade angular, estão apresentadas na Figura 2.22 para diversas velocidades do vento. Nesta mesma figura pode ser vista a curva de torque mecânico ótimo imposto pela turbina, a qual deve ser seguida para que o ponto de máxima potência sempre seja alcançado.

O sistema mecânico acoplado (turbina e gerador) pode ser representado pelo sistema da Figura 2.23 e pela equação:

$$T_{mec} - T_g = (J_r + J_g) \cdot \frac{d\omega}{dt}$$
 (2.14)

Sendo  $T_{mec}$  o torque mecânico gerado pelo rotor eólico e  $T_g$  o torque resistente imposto pelo gerador, respectivamente e  $J_r$  e  $J_g$  o momento de inércia da turbina e do gerador, respectivamente.

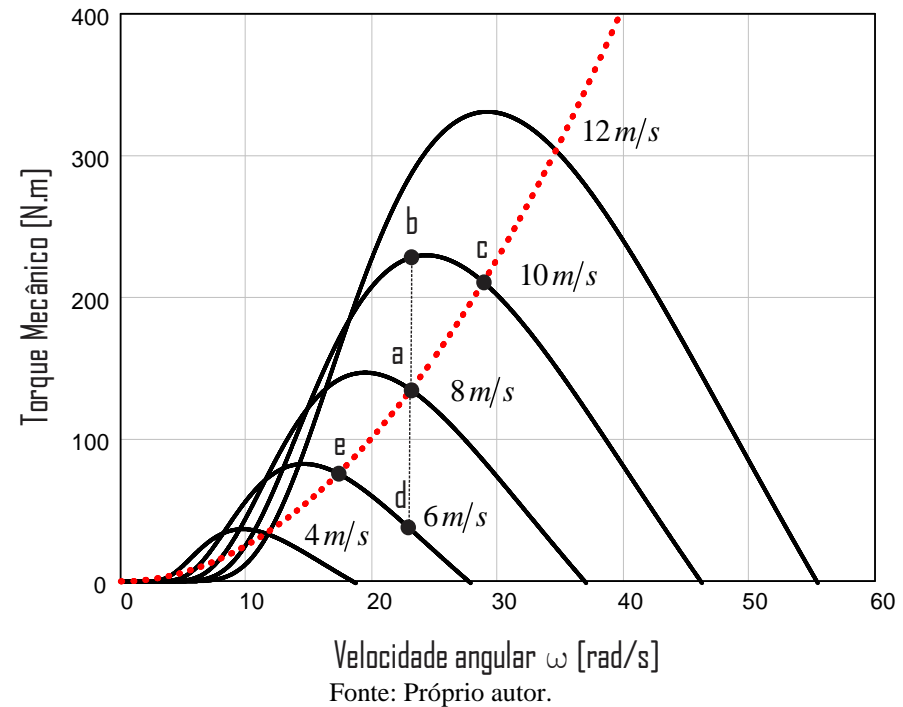
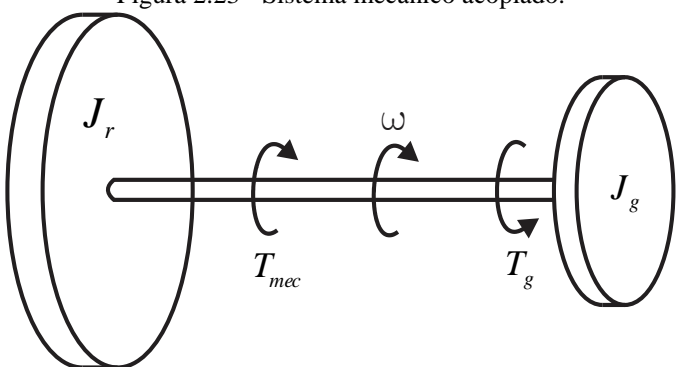


Figura 2.22 - Curvas de torque para várias velocidades do vento e curva almejada pelo MPPT.

Figura 2.23 - Sistema mecânico acoplado.



Como pode ser visto, a variação de velocidade é determinada pela diferença entre os torques. Supondo-se que o vento esteja com velocidade de 8 m/s e o sistema se encontre em regime permanente operando no ponto "a", Figura 2.22, se não há variação da velocidade do vento, os dois torques são mantidos iguais para que não haja mudança da velocidade angular  $\omega$  e o sistema permaneça operando neste ponto "a".

Fonte: Próprio autor.

Se a velocidade do vento aumenta, o torque mecânico imposto pela turbina aumenta, Equação (2.5), e o conjunto passa a operar no ponto "b". Nesta situação, o torque mecânico fica superior ao torque resistente imposto pelo gerador e a velocidade angular começa a incrementar. O torque resistente começa então a aumentar, resultado da atuação do controlador, de modo que, quando o sistema atingir o ponto "c" (ponto de máxima extração de

potência), os dois torques tenham a mesma magnitude e não ocorram mais incrementos de velocidade.

De forma análoga, se a velocidade do vento diminui de 8 m/s para 6 m/s, o torque mecânico diminui instantaneamente fazendo com que o sistema passe a operar no ponto "d". A diferença de torques causa agora um decremento da velocidade e o ponto de operação do sistema começa a se deslocar em direção ao ponto "e". O controle então faz com que o torque resistente vá diminuindo e se iguale ao torque mecânico justamente no ponto "e", novo ponto de regime permanente.

## 2.4.3.2 Limitação da potência mecânica

Conforme comentado anteriormente, existem algumas formas de se limitar a potência produzida pela turbina dentre as quais foram citados o controle por pitch, estol passivo e ativo. Na Figura 2.24 são evidenciadas as diferenças de comportamento entre tais sistemas. Em todos os casos, na região II está operando um algoritmo de MPPT e na região III o sistema se encontra com velocidade angular  $\omega$  constante.

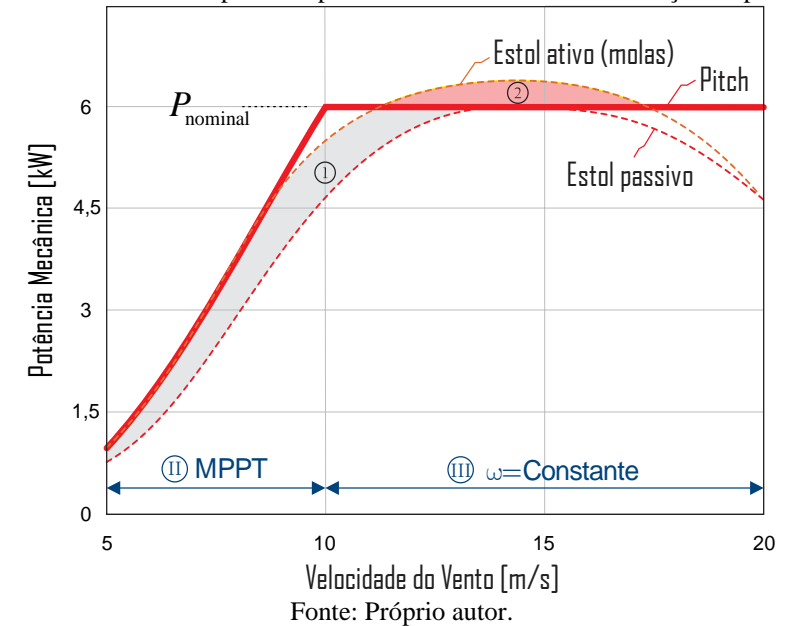


Figura 2.24 - Curvas de potência para diferentes técnicas de limitação de potência.

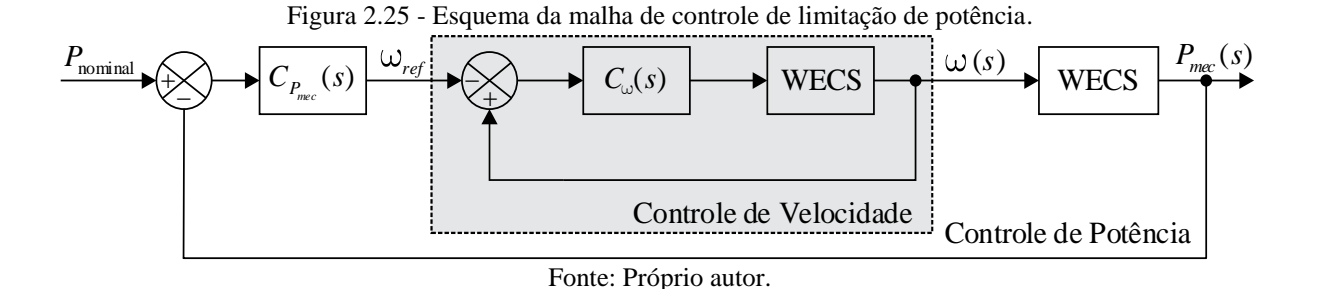
Uma turbina que opera com estol passivo é projetada com um ângulo de passo o qual garanta que a máxima potência fornecida pela turbina seja inferior ao valor nominal desejado de potência. Para a potência nominal desejada, isto só é possível para  $\beta$  constante e

inferior a zero. Desta forma, uma perda de potência (representada pela região 1 na Figura 2.24) é inevitável, uma vez que o melhor aproveitamento de energia é dado para  $\beta = 0$ .

Agregando-se um sistema de estol ativo por molas, por exemplo, pode-se evitar esta perda de potência visto que a turbina pode operar com  $\beta$  nulo na região II e o ângulo  $\beta$  ser alterado negativamente na região III (conforme apresentado na Figura 2.6). Nesta circunstância, no entanto, uma sobrecarga de potência se configura conforme demarcado pela região 2 o que pode comprometer o dispositivo eletrônico que processa a energia o qual é projetado para uma potência máxima igual a  $P_{nominal}$ .

De modo a evitar a perda de potência da região 1 inerente ao controle por estol passivo e o *overshoot* de potência demarcado pela região 2 intrínseco ao controle por estol ativo com molas, poder-se-ia utilizar o controle por *pitch*. Embora esta seja a técnica que apresenta melhor aproveitamento de energia, a maior complexidade de controle e custo (devido à robustez dos atuadores responsáveis pelo posicionamento das pás e à maior necessidade de manutenção) inviabilizam a sua utilização em projetos de pequeno porte.

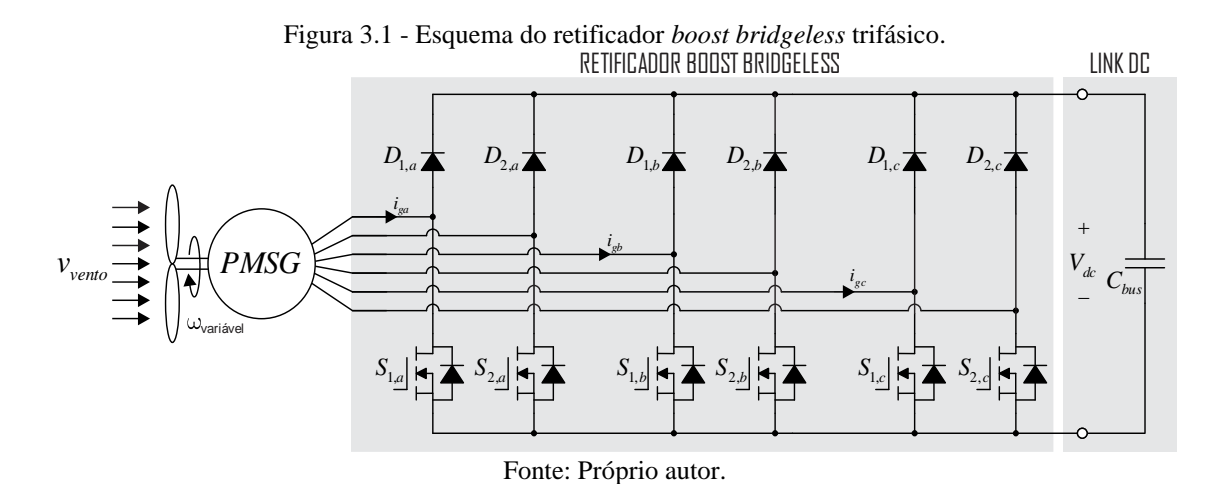
Então se propõe a utilização de um controlador de potência eletrônico que irá atuar na região III em conjunto com o sistema de estol ativo composto por molas presente na turbina VERNE555 utilizada neste projeto. Este controlador, cujo esquema pode ser visto na Figura 2.25, atua modificando a velocidade angular  $\omega$  de modo que a potência extraída seja grampeada no valor nominal garantindo que o sistema proposto opere conforme exposto na Figura 2.20.



Estão presentes no esquema duas malhas de controle. A malha de velocidade angular interna é comandada pelo controlador  $C_{o}(s)$  e sua referência  $\omega_{ref}$  é definida pela malha externa de potência mecânica. Esta malha de potência externa, cuja *performance* é ditada pelo controlador  $C_{Pmec}(s)$ , possui referência fixa e igual a  $P_{nominal}$ , fato que garantirá o comportamento desejado para a região III (grampeamento da potência mecânica).

# 3 ESTÁGIO RETIFICADOR

O estágio AC-DC proposto e composto pelo retificador *bridgeless* trifásico (Figura 3.1), apesar de possuir número elevado de semicondutores, apresenta como principais vantagens: redução de perdas por condução visto que existem apenas dois semicondutores no caminho do fluxo de potência a cada instante; redução de interferências eletromagnéticas (do inglês *Electromagnetic interference* - EMI) em razão de o indutor estar presente no lado da tensão alternada; simplicidade dos circuitos de *drivers* (dispensam proteções de curto de braço, fontes isoladas de alimentação, etc.) uma vez que todos os semicondutores ativos estão conectados no mesmo potencial (terminal *emitter* em comum); simplicidade de controle posto que os semicondutores de cada fase podem operar com o mesmo sinal de comando (comando simétrico).



# 3.1 Etapas de operação e formas de onda

Em virtude da configuração proposta ser do tipo *open-end winding* e o retificador trifásico ser uma composição de três unidades monofásicas, apresenta-se, sem perda de generalidade, o princípio de funcionamento de uma versão monofásica conforme pode ser visto na Figura 3.2.

O circuito equivalente da i-ésima fase gerador é representado por uma fonte de tensão induzida  $E_i(t)$  dependente apenas da velocidade de rotação, uma indutância síncrona  $L_{gi}$  e uma resistência do enrolamento  $R_{gi}$ . Denomina-se  $V_{gi}(t)$  a tensão dada nos terminais do gerador.

O conversor em estudo é unidirecional e a transferência de potência é realizada entre o gerador e o link DC mediante o indutor do gerador. Consideram-se quatro etapas de operação, as quais foram representadas pelos intervalos de tempo  $\Delta t_1$ ,  $\Delta t_2$ ,  $\Delta t_3$  e  $\Delta t_4$ , conforme destacado na Figura 3.3 com as formas de onda e na Figura 3.2 com os circuitos equivalentes correspondentes a cada intervalo.

No intervalo de tempo  $\Delta t_1$ , os sinais de comando  $vg_{S1,i}$  e  $vg_{S2,i}$  são ativos fazendo com que a tensão  $V_{gi}(t)$  seja nula. Como a tensão induzida no gerador  $E_i(t)$  é positiva neste intervalo, a tensão sobre o indutor também o será, fazendo com que este armazene energia, ou seja, uma corrente  $I_{gi}(t)$  positiva e crescente surgem em seus terminais.

No intervalo de tempo  $\Delta t_2$ , os interruptores  $S_{l,i}$  e  $S_{2,i}$  são desabilitados mas, como a corrente não pode sofrer mudanças bruscas devido a presença da indutância, surge um caminho de circulação através do diodo  $D_{l,i}$  e pelo diodo em antiparalelo presente no interruptor  $S_{2,i}$ . Neste instante, a energia armazenada no indutor é transferida para o link DC. Assim a corrente  $I_{gi}(t)$  se mantém positiva mas com derivada negativa, visto que agora a tensão sobre o indutor é dada por  $E_i(t)$ - $V_{dc}$  < 0.

No intervalo de tempo  $\Delta t_3$  novamente ocorrerá o armazenamento de energia no indutor visto que os interruptores  $S_{1,i}$  e  $S_{2,i}$  foram habilitados. No entanto, a tensão induzida no gerador agora é negativa, fazendo com que a corrente  $I_{gi}(t)$  mude de sentido e continue com derivada negativa.

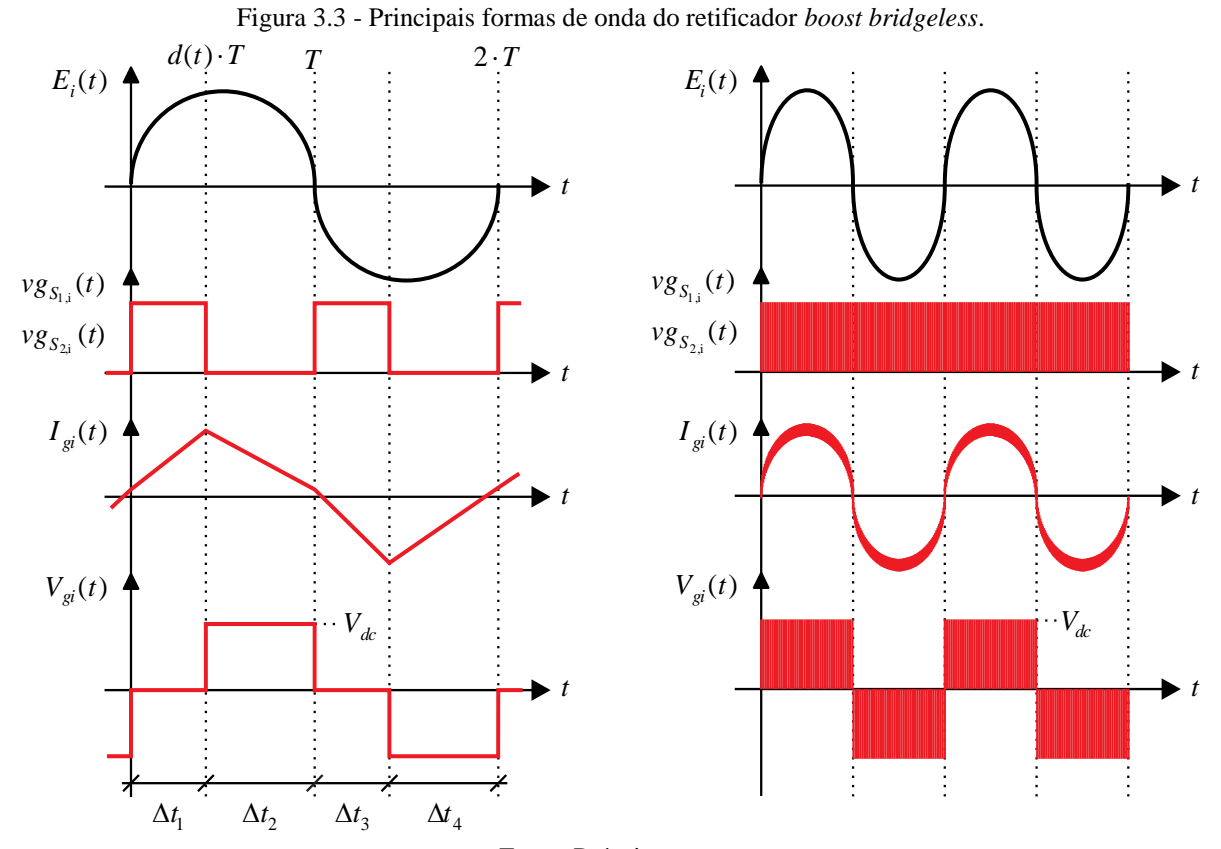
Quando o sinal de comando é novamente desabilitado, intervalo  $\Delta t_4$ , imediatamente entram em condução o diodo  $D_{2,i}$  e o diodo em antiparalelo do interruptor  $S_{1,i}$ , fazendo com que haja transferência da energia ao link DC. A corrente  $I_{gi}(t)$  mantém o sentido do intervalo anterior, mas com derivada positiva visto que a tensão sobre o indutor em conjunto com o resistor passa a ser positiva e igual a  $E_i(t)+V_{dc}$  (embora  $E_i(t)<0$ , a tensão no link DC é sempre maior que o pico da tensão induzida no gerador, visto que o conversor é elevador de tensão).

Na Figura 3.3 estão apresentadas as formas de onda da tensão induzida  $E_i(t)$ , dos sinais de gatilho  $vg_{SI,i}$  e  $vg_{S2,i}$ , da corrente  $I_{gi}(t)$  e da tensão  $V_{gi}(t)$  considerando inicialmente uma frequência de chaveamento muito baixa, para que possam ser visualizados os efeitos dos comandos em função da tensão induzida. Na mesma Figura, podem ser vistas as formas de onda considerando a frequência de chaveamento bem elevada (21 kHz), de modo a se obter uma corrente praticamente idêntica à tensão induzida, ou seja, fator de potência próximo ao unitário e taxa de distorção dentro dos limites pré-estabelecidos por norma.

Intervalo de tempo:  $\Delta t_1$ Intervalo de tempo:  $\Delta t_2$  $D_{
m l,i}$  $V_{gi}(t)$  $V_{gi}(t)$  $V_{dc}$ Intervalo de tempo:  $\Delta t_3$ Intervalo de tempo:  $\Delta t_4$  $D_{2,i}$  $I_{gi}(t)$  $I_{gi}(t)$  $V_{gi}(t)$  $V_{gi}(t)$  $V_{dc}$ Fonte: Próprio autor.

Figura 3.2 - Etapas de operação do retificador boost bridgeless monofásico.





Fonte: Próprio autor.

## 3.2 Modelagem e controle

A estrutura exposta na Figura 3.2 pode ser representada pelo circuito equivalente da Figura 3.4 sendo  $V_{gi}(t)$  uma fonte de tensão controlada cujo valor médio, em um período de chaveamento dado por T, pode ser expresso por:

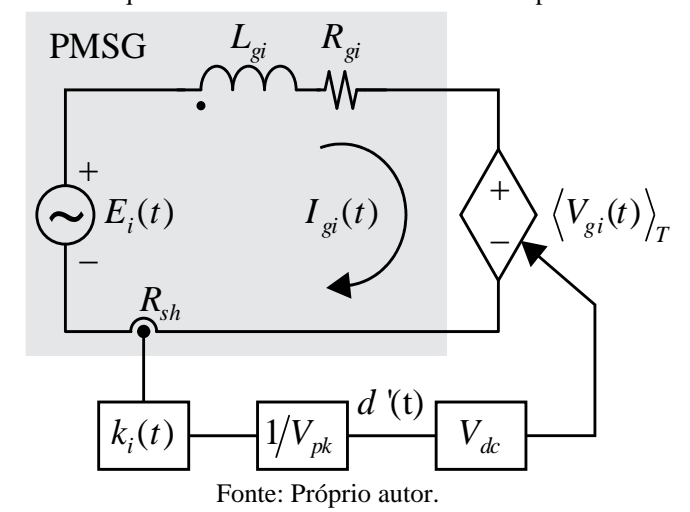
$$\left\langle V_{gi}(t) \right\rangle_{T} = \frac{1}{T} \left[ \int_{0}^{d(t) \cdot T} 0 \cdot dt + \int_{d(t) \cdot T}^{T} V_{dc} \cdot dt \right] = (1 - d(t)) \cdot V_{dc} = d'(t) \cdot V_{dc}, \quad \text{se } \mathbf{E}_{i}(t) \ge 0$$

$$\left\langle V_{gi}(t) \right\rangle_{T} = \frac{1}{T} \left[ \int_{0}^{d(t) \cdot T} 0 \cdot dt + \int_{d(t) \cdot T}^{T} -V_{dc} \cdot dt \right] = (1 - d(t)) \cdot V_{dc} = -d'(t) \cdot V_{dc}, \quad \text{se } \mathbf{E}_{i}(t) < 0$$

$$(3.1)$$

Sendo d(t).T o tempo em que os interruptores permanecem fechados e d'(t).T o complementar ao período de chaveamento.

Figura 3.4 - Circuito equivalente de uma fase do retificador operando com autocontrole.



Controla-se o valor médio  $\langle V_{gi}(t)\rangle_T$  de forma que este esteja em fase com a corrente  $I_{gi}(t)$  para que seja possível obter fator de potência unitário e taxa de distorção de corrente praticamente nula. Desta forma, o conversor está emulando uma carga resistiva para o gerador.

Devido à complexidade e custo de se sensoriar as tensões de entrada para gerar a referência de corrente necessária nas topologias de controle tradicionais, conforme pode ser verificado em ON Semiconductor (2014), optou-se pela técnica de autocontrole da corrente (current self-control).

Faz-se então o valor médio  $\langle V_{gi}(t)\rangle_T$  ser uma imagem da corrente  $I_{gi}(t)$  e sendo  $V_{dc}$  um valor constante, deve-se alterar o sinal modulante d'(t):

$$d'(t) = (k_i \cdot R_{sh} \cdot \text{mod}) \cdot |I_{gi}(t)|$$
(3.2)

Sendo  $R_{sh}$  o ganho do sensor de corrente,  $k_i$  o ganho do controlador proposto pela técnica de autocontrole e mod o ganho do modulador PWM ( $Pulse\ Width\ Modulation$ ) definido como  $I/V_{pk}$  onde  $V_{pk}$  é o valor de pico da portadora.

Modela-se então o circuito completo da Figura 3.4 (desprezando-se a resistência  $R_{gi}$  do enrolamento) no domínio do tempo e da frequência por meio da transformada de Laplace:

$$E_{i}(t) - \left\langle V_{gi}(t) \right\rangle_{T} = L_{gi} \cdot \frac{d}{di} I_{gi}(t) \tag{3.3}$$

$$E_i(\mathbf{s}) - \left\langle V_{gi}(\mathbf{s}) \right\rangle_T = s \cdot L_{gi} \cdot I_{gi}(\mathbf{s}) \tag{3.4}$$

Substitui-se a Equação (3.1) e (3.2) na Equação (3.4) e obtém-se:

$$I_{gi}(s) = \frac{E_i(s)}{s \cdot L_{gi} + k_i \cdot R_{sh} \cdot \text{mod} \cdot V_{dc}}$$
(3.5)

Ou, em regime permanente, em um ponto de máximo:

$$I_{gi,pico} = \frac{E_{i,pico}}{k_i \cdot R_{ch} \cdot \text{mod} \cdot V_{do}}$$
(3.6)

Desta forma, o valor de pico de corrente é definido pelo valor de tensão induzida  $E_i$  e pelo ganho da malha de corrente  $k_i$  visto que as demais variáveis (mod,  $V_{dc}$ ,  $R_{sh}$ ) são constantes.

A partir da Equação (3.2), definem-se os limites do sinal modulante complementar. O valor mínimo é zero o qual se dá quando a corrente é nula, e o valor máximo deve ser alcançado quando o valor de corrente é máximo, ou seja:

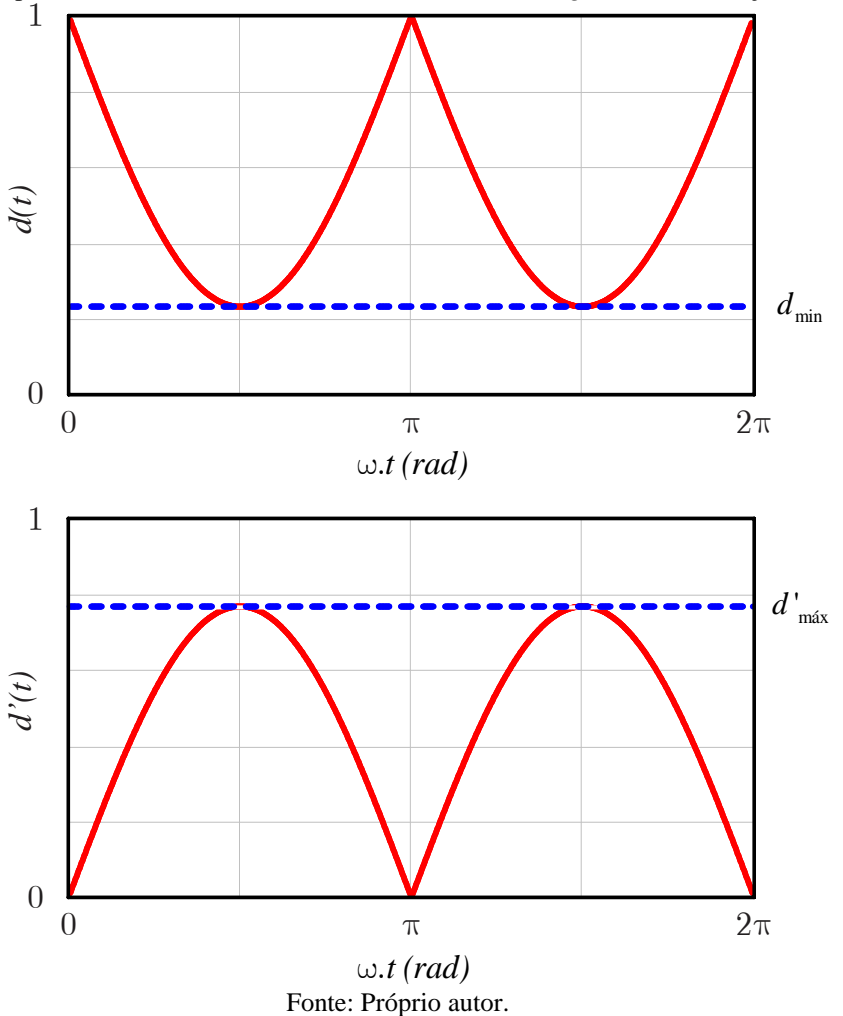
$$d'_{m\acute{a}x} = (k_i \cdot R_{sh} \cdot \text{mod}) \cdot I_{gi,pico} = \frac{E_{i,pico}}{V_{do}}$$
(3.7)

Determinam-se os limites para a função d(t) da mesma forma e encontra-se:

$$d_{\min} = 1 - \frac{E_{i,pico}}{V_{dc}} \tag{3.8}$$

Na Figura 3.5 podem ser vistos os gráficos de ambas as funções para um período da forma de onda da corrente  $I_{gi}(t)$ .

Figura 3.5 - Comportamento da moduladora do retificador boost bridgeless com correção do fator de potência.



# 3.3 Controle da potência processada pelo retificador

Conforme estabelecido pela Equação (3.6), o valor de pico da corrente drenada, e consequentemente a potência processada, dependem do valor de  $k_i$ . Em outras palavras, como o valor da amplitude de corrente é determinado pelo algoritmo que controla a potência mecânica

extraída do vento (conforme apresentado na Figura 2.20), o algoritmo de MPPT irá determinar o valor de  $k_{i(mppt)}$  que fará com que o sistema se comporte conforme apresentado na região II da Figura 2.20 e o algoritmo de limitação de potência irá determinar o valor de  $k_{i(Pnominal)}$  que garantirá que a potência extraída não exceda o valor nominal do conversor. Em resumo:

$$P_{mec} = \begin{cases} P_{mec,m\acute{a}x}, & \text{se } k_i = k_{i(mppt)} \\ P_{\text{nominal}}, & \text{se } k_i = k_{i(P_{\text{nominal}})} \end{cases}$$
(3.9)

### 3.3.1 Malha de MPPT

Na região II, deseja-se que o sistema esteja operando no ponto ótimo ( $C_{p,m\acute{a}x}$  e  $\lambda_{\acute{o}timo}$ ). Ou seja:

$$\frac{\omega \cdot R}{v_{vento}} = \lambda_{\acute{o}timo} \Rightarrow v_{vento} = \frac{\omega \cdot R}{\lambda_{\acute{o}timo}}$$
(3.10)

Assim, a potência mecânica extraída pelo conversor seja igual à potência máxima:

$$P_{mec} = P_{mec,máx} = 0, 5 \cdot \rho \cdot A \cdot v_{vento}^{3} \cdot C_{p,máx}$$
(3.11)

Substituindo-se a Equação (3.10) na Equação (3.11), tem-se:

$$P_{mec} = P_{mec,máx} = 0.5 \cdot \rho \cdot A \cdot \left(\frac{\omega \cdot R}{\lambda_{\acute{o}timo}}\right)^{3} \cdot C_{p,m\acute{a}x} = k_{\acute{o}timo} \cdot \omega^{3}$$
(3.12)

Sendo  $k_{\delta timo}$  uma constante dada por:

$$k_{\text{otimo}} = (0, 5 \cdot \rho \cdot A \cdot R^3 \cdot C_{p, \text{máx}}) \cdot 1 / \lambda_{\text{otimo}}$$
(3.13)

Como pode ser visto, o valor da potência máxima é dependente basicamente da velocidade angular  $\omega$  da turbina a qual é determinada a partir da técnica de controle de torque

ótimo conforme explicado anteriormente, o qual é garantido fazendo-se com que a potência elétrica extraída  $P_{3\Phi}$  seja igual à potência mecânica máxima  $P_{mec,máx}$ .

A potência elétrica trifásica fornecida pelo gerador é dada por:

$$P_{3\phi} = 3 \cdot \left(\frac{E_{i,pico}}{\sqrt{2}}\right) \cdot \left(\frac{I_{gi,pico}}{\sqrt{2}}\right)$$
(3.14)

E a tensão induzida é função da velocidade mecânica:

$$E_{i,pico} = k_{\omega} \cdot \omega \tag{3.15}$$

Onde  $k_{\omega}$  é uma constante característica do gerador.

Substitui-se a Equação (3.15) e (3.6) na (3.14) para encontrar:

$$P_{3\phi} = \left(\frac{3}{2} \cdot \frac{k_{\omega}^2}{R_{sh} \cdot \text{mod} \cdot V_{dc}}\right) \cdot \frac{\omega^2}{k_i}$$
(3.16)

Igualando as Equações (3.12) e (3.16):

$$P_{3\phi} = P_{mec,m\acute{a}x} \Longrightarrow \left(\frac{3}{2} \cdot \frac{k_{\omega}^{2}}{R_{sh} \cdot \text{mod} \cdot V_{dc}}\right) \cdot \frac{\omega^{2}}{k_{i}} = k_{\acute{o}timo} \cdot \omega^{3}$$
(3.17)

Finalmente se encontra a relação entre a velocidade angular e o ganho da malha de autocontrole que irá garantir a extração ótima de potência para velocidades do vento entre 4 m/s e 10 m/s:

$$k_{i(mppt)} = \left(\frac{3}{2} \cdot \frac{k_{\omega}^{2}}{R_{sh} \cdot \text{mod} \cdot V_{dc} \cdot k_{\delta timo}}\right) \cdot \frac{1}{\omega}$$
(3.18)

Neste ponto, fica evidente a principal vantagem do controle proposto: não é necessário utilizar um anemômetro para medir a velocidade do vento e calcular a velocidade angular ótima que levaria o sistema ao ponto ótimo, assim como não há a necessidade de se instalar um sensor de velocidade angular visto que esta pode ser calculada a partir da frequência

elétrica das formas de onda que já são monitoradas (por exemplo, a corrente  $I_{gi}(t)$ ). Por se tratar de um gerador síncrono, tem-se:

$$f_g = \frac{p}{120} \cdot \frac{30}{\pi} \cdot \omega \tag{3.19}$$

E o ganho do autocontrole em termos da frequência:

$$k_{i(mppt)} = \left(\frac{3}{2} \cdot \frac{k_{\omega}^{2}}{R_{sh} \cdot \text{mod} \cdot V_{dc} \cdot k_{otimo}} \cdot \frac{30 \cdot p}{120 \cdot \pi}\right) \cdot \frac{1}{f_{g}}$$
(3.20)

## 3.3.2 Malha de limitação de potência

O controlador eletrônico que irá atuar na região de operação III limitando a potência extraída no valor nominal apresenta o diagrama detalhado presente na Figura 3.6. Nesta representação podem ser vistos: os controladores de velocidade angular  $C_{\omega}(s)$  e de potência mecânica  $C_{Pmec}(s)$ ; os ganhos de realimentação de velocidade  $H_{\omega}$  e de potência  $H_{Pmec}$ ; as funções de transferência que ditam o comportamento do sistema  $\omega(s)/I_{gi,pico}(s)$  e  $P_{mec}(s)/\omega(s)$  a partir das quais serão projetados os controladores; e a relação a partir da qual se determina  $k_{i(Pnominal)}$ .

 $P_{\text{nominal}} \xrightarrow{\text{Pominal}} C_{P_{mec}}(s) \xrightarrow{\text{Controle de Velocidade}} C_{P_{mec}}(s) \xrightarrow{\text{Controle de Potência}} C_{P_{mec}}(s)$   $H_{\omega} \xrightarrow{\text{Controle de Velocidade}} C_{\text{Controle de Potência}} C$ 

Figura 3.6 - Diagrama detalhado da malha de controle de limitação de potência.

A função de transferência que relaciona a velocidade angular  $\omega(s)$  com a corrente  $I_{gi,pico}(s)$  pode ser obtida a partir da equação que define o sistema mecânico acoplado composto pela turbina e pelo gerador:

$$T_{mec} - T_g = \left(J_r + J_g\right) \cdot \frac{d\omega}{dt} \tag{3.21}$$

Considerando o torque imposto pela turbina uma perturbação externa, modela-se o sistema:

$$-T_{g}(s) = \left(J_{r} + J_{g}\right) \cdot s \cdot \omega \tag{3.22}$$

Reescreve-se a equação em função da corrente  $I_{gi}(s)$ :

$$T_{g}(s) = \frac{P_{3\phi}}{\omega(s)} = \frac{1}{\omega(s)} \cdot \left(\frac{3}{2} \cdot k_{\omega} \cdot \omega(s) \cdot I_{gi,pico}(s)\right) = -\left(J_{r} + J_{g}\right) \cdot s \cdot \omega(s)$$
(3.23)

E encontra-se a função de transferência:

$$\frac{\omega(s)}{I_{gi,pico}(s)} = \frac{3 \cdot k_{\omega}}{2 \cdot (J_r + J_g) \cdot s}$$
(3.24)

Esta função de transferência se encontra com sinal invertido em função da alteração da topologia da malha de velocidade. Conforme pode ser visto na Figura 3.6, o sinal de referência é subtraído do sinal de realimentação.

A função de transferência que relaciona a potência mecânica  $P_{mec}(s)$  com a velocidade angular  $\omega(s)$  também pode ser obtida a partir da equação:

$$P_{mec} - P_{3\phi} = \left(J_r + J_g\right) \cdot \frac{d\omega}{dt} \cdot \omega \tag{3.25}$$

Considera-se a potência elétrica uma perturbação externa e linearizam-se as equações em torno de um ponto de operação quiescente dado por  $\omega = \omega_{operação}$ . Encontra-se a equação linearizada para pequenos sinais:

$$\frac{P_{mec}(s)}{\omega(s)} = s \cdot (J_r + J_g) \cdot \omega_{operação}$$
(3.26)

O controlador da malha de potência  $C_{Pmec}(s)$  fornece o valor da velocidade angular  $\omega_{ref}$  que será a referência da malha interna de velocidade. Já o controlador da malha de velocidade  $C_{\omega}(s)$  ditará qual o valor de corrente deve circular no gerador de modo a se ter o torque mecânico imposto pelo gerador suficiente para limitar a potência. Sendo o ganho da malha de autocontrole definido por:

$$k_i = \frac{E_{i,pico}}{I_{gi,pico} \cdot R_{sh} \cdot \text{mod} \cdot V_{dc}}$$
(3.27)

Calcula-se o ganho da malha de autocontrole determinado pelo algoritmo de limitação de potência:

$$k_{i(P_{\text{nominal}})} = \left(\frac{k_{\omega}}{R_{sh} \cdot \text{mod} \cdot V_{dc}}\right) \cdot \frac{\omega}{I_{gi,pico}}$$
(3.28)

# 3.3.3 Transição entre as regiões de operação

Quando o sistema transita saindo da região II em direção à região III, a potência mecânica disponível começa a ser superior à potência nominal. Desta forma, o algoritmo de limitação de potência atua exigindo do sistema uma corrente  $I_{gi,pico}(t)$  que possa garantir um torque resistente maior e evitar o aumento da velocidade angular da turbina. Em outras palavras, como o valor de  $k_i$  é inversamente proporcional ao valor de corrente, o valor de  $k_{i(Pnominal)}$  passa a ser inferior a  $k_{i(mppt)}$ . Logo, o ganho efetivo deve passar a ser o da malha de limitação de potência e assim permanecer durante toda a região III de operação visto que a malha de MPPT está buscando aumentar a velocidade angular, diminuindo o torque, exigindo uma corrente menor e um  $k_{i(mppt)}$  elevado ou superior a  $k_{i(Pnominal)}$ .

Supõe-se agora que o sistema está operando na região III e a velocidade do vento começa a diminuir para valores abaixo de 10 m/s. Quando a potência mecânica disponível se torna inferior à potência nominal, o algoritmo de limitação de potência passa a exigir uma corrente menor, assim como o torque resistente, o que permitiria que a turbina acelerasse. Ou seja, o controle de limitação de potência gera um  $k_{i(Pnominal)}$  muito alto e superior a  $k_{i(mppt)}$ . A partir deste momento, o algoritmo de MPPT deve ser ativado.

Conclui-se então que esta transição pode ser viabilizada através da função de mínimo. Em outras palavras, os dois controles são executados simultaneamente e o  $k_i$  efetivo é dado por:

$$k_i = min(k_{i(mppt)}, k_{i(P_{nominal})})$$
(3.29)

A Figura 3.7 expõe a representação equivalente do controle proposto para a i-ésima fase do sistema. Os controladores digitais calculam os valores de  $k_{i(Pnominal)}$  e  $k_{i(mppt)}$  e a função de mínimo determina qual será o  $k_i$  efetivo. Assim, juntamente com o valor de realimentação de corrente  $I_{gi}(t)$ , caracteriza-se o sinal modulante o qual é comparado com a portadora  $V_{portadora}$  para, por fim, serem obtidos os sinais de gatilho  $vg_{SI,i}$ ,  $vg_{S2,i}$  idênticos (comando simétrico).

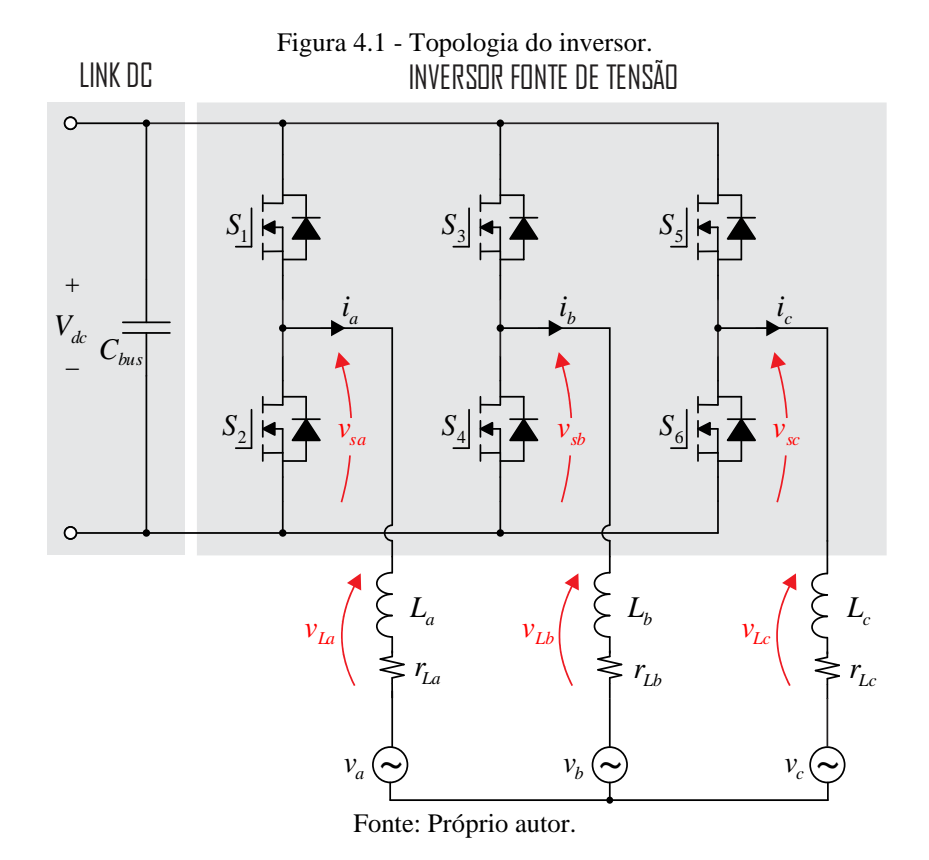
Figura 3.7 – Representação da técnica de autocontrole.  $V_{vento}$   $V_{vento}$ 

Fonte: Próprio autor.

# 4 ESTÁGIO INVERSOR

O estágio DC-AC é composto por um inversor fonte de tensão de dois níveis o qual é responsável por controlar a tensão do link DC e a potência transferida para a rede. Um dos aspectos mais delicados a ser destacado quando se considera o controle desta potência se trata do sincronismo entre as tensões trifásicas impostas pelo barramento da rede e as correntes injetadas pelo conversor.

Para tal, utiliza-se do conceito de *Phase Locked Loop* (PLL) o qual provê técnicas de sincronismo rápidas, precisas, com altos índices de rejeição a distúrbios, presenças de harmônicas, desequilíbrios de tensão, etc.



A Figura 4.1 apresenta a topologia deste estágio no qual estão presentes o inversor composto por seis interruptores ativos  $(S_1 - S_6)$  associados com seus diodos de roda livre em paralelo de modo a viabilizar o fluxo bidirecional de corrente e a capacidade de bloqueio unidirecional de tensão; os indutores de filtro  $(L_a, L_b, e L_c)$  e suas resistências de enrolamento  $(r_{La}, r_{Lb} e r_{Lc})$ ; o barramento DC com o capacitor  $C_{bus}$ ; e a rede elétrica senoidal e equilibrada representadas pelas fontes de tensão  $v_a(t)$ ,  $v_b(t)$  e  $v_c(t)$  as quais são definidas por:

$$\begin{cases} v_a(t) = V_p \cdot sen(\omega \cdot t) \\ v_b(t) = V_p \cdot sen(\omega \cdot t - 120^{\circ}) \\ v_c(t) = V_p \cdot sen(\omega \cdot t + 120^{\circ}) \end{cases}$$
(4.1)

Em que  $V_p$  é o valor de pico da tensão de fase.

# 4.1 Modelagem

Este conversor pode ser representado pelo circuito equivalente presente na Figura 4.2 no qual estão presentes as fontes de tensão  $v_{sa}$ ,  $v_{sb}$  e  $v_{sc}$ , as quais podem ser escritas em termos das funções de modulação  $D_a$ ,  $D_b$  e  $D_c$ :

$$\begin{cases} v_{sa}(t) = D_a(t) \cdot V_{dc} \\ v_{sb}(t) = D_b(t) \cdot V_{dc} \\ v_{sc}(t) = D_c(t) \cdot V_{dc} \end{cases}$$

$$(4.2)$$

Sendo:

$$\begin{split} D_{a}(t) &= \begin{cases} 1, & \text{se } S_{1} = on \\ 0, & \text{se } S_{1} = off \end{cases} \\ D_{b}(t) &= \begin{cases} 1, & \text{se } S_{3} = on \\ 0, & \text{se } S_{3} = off \end{cases} \\ D_{c}(t) &= \begin{cases} 1, & \text{se } S_{5} = on \\ 0, & \text{se } S_{5} = off \end{cases} \end{split}$$

$$(4.3)$$

Figura 4.2 - Circuito equivalente do inversor.  $v_{sa}$   $v_{sa}$   $v_{sb}$   $v_{sc}$   $v_{sc}$   $v_{sc}$   $v_{La}$   $v_{La}$   $v_{La}$   $v_{La}$   $v_{La}$   $v_{Lb}$   $v_{Lc}$   $v_{Lc}$   $v_{Lc}$   $v_{Lc}$   $v_{Lc}$   $v_{Lc}$ 

Fonte: Próprio autor.

Sendo o sistema simétrico e equilibrado, as equações que descrevem o sistema são dadas por, conforme apresentado em (TEODORESCU; LISERRE; RODRÍGUEZ, 2011):

$$\begin{cases} v_{sa}(t) = v_a(t) + \mathbf{r}_{La} \cdot i_a(t) + \mathbf{L}_a \cdot \frac{d}{dt} i_a(t) \\ v_{sb}(t) = v_b(t) + \mathbf{r}_{Lb} \cdot i_b(t) + \mathbf{L}_b \cdot \frac{d}{dt} i_b(t) \\ v_{sc}(t) = v_c(t) + \mathbf{r}_{Lc} \cdot i_c(t) + \mathbf{L}_c \cdot \frac{d}{dt} i_c(t) \end{cases}$$

$$(4.4)$$

Considerando que todas as indutâncias de filtro são iguais ( $L_a=L_b=L_c=L$ ) assim como suas resistências ( $r_{La}=r_{Lb}=r_{Lc}=r_L$ ) e que:

$$\vec{v}_{abc} = \begin{bmatrix} v_a(t) \\ v_b(t) \\ v_c(t) \end{bmatrix}; \quad \vec{i}_{abc} = \begin{bmatrix} i_a(t) \\ i_b(t) \\ i_c(t) \end{bmatrix}; \quad \vec{v}_{s_{abc}} = \begin{bmatrix} v_{sa}(t) \\ v_{sb}(t) \\ v_{sc}(t) \end{bmatrix}$$

$$(4.5)$$

A Equação (4.4) pode ser reescrita como:

$$\vec{v}_{s_{abc}} = L \cdot \frac{d}{dt} \vec{i}_{abc} + r_L \cdot \vec{i}_{abc} + \vec{v}_{abc}$$

$$\tag{4.6}$$

As transformações de Park e Clarke alteram as coordenadas do sistema para um sistema estacionário  $\alpha\beta\theta$  e rotacional  $dq\theta$ , respectivamente, conforme pode ser visto na Figura 4.3.

Fonte: Adaptada de Teodorescu, Liserre, Rodríguez (2011).

A transformação de Clarke é definida matematicamente pela equação:

$$\vec{v}_{\alpha\beta0} = [\mathbf{T}_{\alpha\beta0}] \cdot \vec{v}_{abc}$$

$$\begin{bmatrix} v_{\alpha} \\ v_{\beta} \\ v_{0} \end{bmatrix} = \sqrt{\frac{2}{3}} \cdot \begin{bmatrix} 1 & -1/2 & -1/2 \\ 0 & \sqrt{3}/2 & \sqrt{3}/2 \\ 1/\sqrt{2} & 1/\sqrt{2} & 1/\sqrt{2} \end{bmatrix} \cdot \begin{bmatrix} v_{a} \\ v_{b} \\ v_{c} \end{bmatrix}$$

$$(4.7)$$

E a transformação de Park por:

$$\vec{v}_{dq0} = [\mathbf{T}_{dq0}] \cdot \vec{v}_{\alpha\beta0}$$

$$\begin{bmatrix} v_d \\ v_q \\ v_0 \end{bmatrix} = \begin{bmatrix} \cos\theta & \sin\theta & 0 \\ -\sin\theta & \cos\theta & 0 \\ 0 & 0 & 1 \end{bmatrix} \cdot \begin{bmatrix} v_\alpha \\ v_\beta \\ v_0 \end{bmatrix}$$
(4.8)

Aplicando a transformada de Clarke ao sistema da Equação (4.6), tem-se:

$$\mathbf{T}_{\alpha\beta0}^{-1} \cdot \vec{v}_{s_{\alpha\beta0}} = L \cdot \frac{d}{dt} \left[ \mathbf{T}_{\alpha\beta0}^{-1} \cdot \vec{i}_{\alpha\beta0} \right] + r_L \cdot \left[ \mathbf{T}_{\alpha\beta0}^{-1} \cdot \vec{i}_{\alpha\beta0} \right] + \mathbf{T}_{\alpha\beta0}^{-1} \cdot \vec{v}_{\alpha\beta0}$$
(4.9)

Multiplicam-se ambos os lados da Equação (4.9) por  $T_{\alpha\beta0}$  e se encontra:

$$\vec{v}_{s_{\alpha\beta}} = L \cdot \frac{d}{dt} \vec{i}_{\alpha\beta} + r_L \cdot \vec{i}_{\alpha\beta} + \vec{v}_{\alpha\beta}$$
(4.10)

Por fim, aplica-se a transformada de Park no sistema da Equação (4.10) e encontra-

se:

$$\mathbf{T}_{dq0}^{-1} \cdot \vec{v}_{s_{dq0}} = L \cdot \frac{d}{dt} \left[ \mathbf{T}_{dq0}^{-1} \cdot \vec{i}_{dq0} \right] + r_L \cdot \left[ \mathbf{T}_{dq0}^{-1} \cdot \vec{i}_{dq0} \right] + \mathbf{T}_{dq0}^{-1} \cdot \vec{v}_{dq0}$$
(4.11)

Multiplicam-se ambos os lados da Equação (4.11) por  $\mathbf{T}_{\alpha\beta0}$ :

$$\mathbf{T}_{dq0} \cdot \mathbf{T}_{dq0}^{-1} \cdot \vec{v}_{s_{dq0}} = L \cdot \mathbf{T}_{dq0}^{-1} \cdot \frac{d}{dt} \left[ \mathbf{T}_{dq0}^{-1} \cdot \vec{i}_{dq0} \right] + r_{L} \cdot \left[ \mathbf{T}_{dq0} \cdot \mathbf{T}_{dq0}^{-1} \cdot \vec{i}_{dq0} \right] + \mathbf{T}_{dq0} \cdot \mathbf{T}_{dq0}^{-1} \cdot \vec{v}_{dq0}$$

$$\vec{v}_{s_{dq0}} = L \cdot \mathbf{T}_{dq0} \cdot \left[ \left( \frac{d}{dt} \mathbf{T}_{dq0}^{-1} \right) \cdot \vec{i}_{dq0} + \mathbf{T}_{dq0}^{-1} \cdot \left( \frac{d}{dt} \vec{i}_{dq0} \right) \right] + r_{L} \cdot \vec{i}_{dq0} + \vec{v}_{dq0}$$

$$\vec{v}_{s_{dq0}} = L \cdot \mathbf{T}_{dq0} \cdot \left( \frac{d}{dt} \mathbf{T}_{dq0}^{-1} \right) \cdot \vec{i}_{dq0} + L \cdot \frac{d}{dt} \vec{i}_{dq0} + r_{L} \cdot \vec{i}_{dq0} + \vec{v}_{dq0}$$

$$(4.12)$$

Sendo:

$$\mathbf{T}_{dq0} \cdot \left(\frac{d}{dt} \mathbf{T}_{dq0}^{-1}\right) = \frac{d\theta}{dt} \cdot \begin{bmatrix} 0 & -1 & 0 \\ 1 & 0 & 0 \\ 0 & 0 & 0 \end{bmatrix} = \omega \cdot \begin{bmatrix} 0 & -1 & 0 \\ 1 & 0 & 0 \\ 0 & 0 & 0 \end{bmatrix}$$
(4.13)

Encontra-se:

$$\begin{cases} v_{s_d}(t) = L \cdot \frac{d}{dt} i_d(t) - \omega \cdot L \cdot i_q(t) + r_L \cdot i_d(t) + v_d(t) \\ v_{s_q}(t) = L \cdot \frac{d}{dt} i_q(t) + \omega \cdot L \cdot i_d(t) + r_L \cdot i_q(t) + v_q(t) \end{cases}$$

$$(4.14)$$

Neste ponto, já se despreza a componente de sequência zero visto que se tem um sistema de três fios, ou seja, ela será sempre nula.

As transformações também podem ser aplicadas sobre a Equação (4.2):

$$\begin{cases} v_{s_d}(t) = D_d(t) \cdot V_{dc} \\ v_{s_q}(t) = D_q(t) \cdot V_{dc} \end{cases}$$

$$\tag{4.15}$$

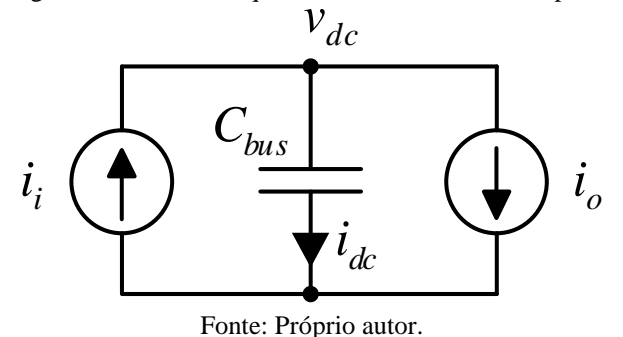
Substituindo a Equação (4.15) na Equação (4.14) e considerando a frequência angular  $\omega$  e as tensões da rede ( $v_d(t)$  e  $v_q(t)$ ) como sendo perturbações externas, encontram-se as funções de transferência que modelam o sistema:

$$\frac{i_d(s)}{D_d(s)} = \frac{i_q(s)}{D_a(s)} = \frac{V_{dc}}{s \cdot L + r_L}$$
(4.16)

Além de controlar a qualidade das correntes injetadas, também é função do conversor garantir a tensão no link DC. Para tal, busca-se a função de transferência que relaciona a corrente injetada com a tensão  $V_{dc}$ .

O conversor completo pode ser modelado a partir do esquema apresentado na Figura 4.4 na qual estão presentes duas fontes de corrente que representam o retificador injetando corrente  $i_i(t)$  no link DC e o inversor drenando corrente  $i_o(t)$  de forma que seja mantida constante a tensão no link DC.

Figura 4.4 - Circuito equivalente do conversor completo.



A corrente no capacitor do link DC é dada por:

$$i_{dc}(t) = i_i(t) - i_o(t) = C_{bus} \cdot \frac{d}{dt} v_{dc}(t)$$
 (4.17)

Considera-se a corrente de entrada  $i_i(t)$  como sendo uma perturbação externa e aplica-se a transformada de Laplace para se obter a função de transferência que relaciona a tensão com a corrente:

$$\frac{v_{dc}(s)}{i_o(s)} = -\frac{1}{s \cdot C_{bus}} \tag{4.18}$$

# 4.2 Estratégia de controle

Sabe-se que a potência de saída do inversor é dada por:

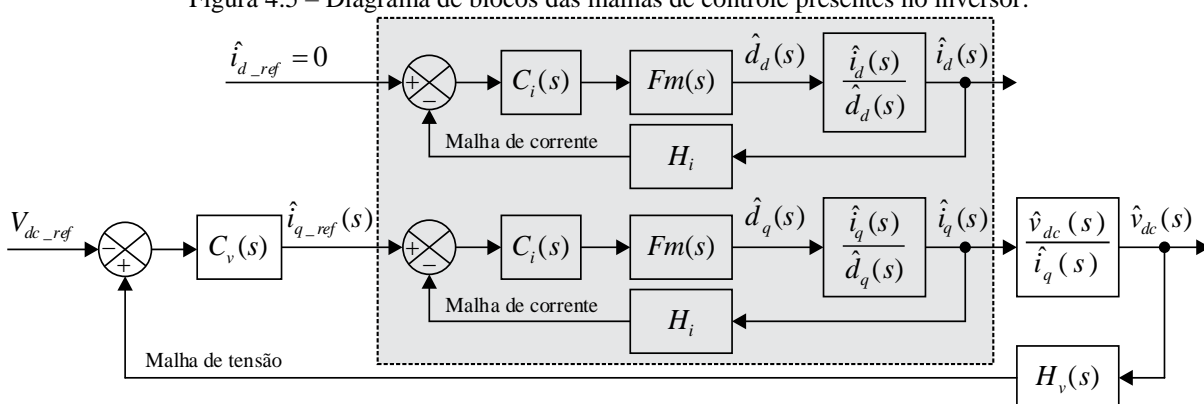
$$\begin{cases}
P = v_q \cdot i_q + v_d \cdot i_d \\
Q = v_q \cdot i_d - v_d \cdot i_q
\end{cases}$$
(4.19)

Ao se aplicar a transformada de Park no sistema definido pela Equação (4.1), simétrico, equilibrado e apenas com componentes de sequência positiva (abc), encontra-se que

 $v_d$ =0. Além disto, deseja-se que o conversor opere com fator de potência unitário, ou seja, a potência reativa entregue à rede elétrica deve ser nula. Para tal, deve-se garantir que  $i_d$ =0.

Na Figura 4.5 encontra-se o diagrama de blocos da estratégia de controle proposta no qual pode ser visto a malha de corrente  $i_d$  com referência nula ( $i_{d\_ref} = 0$ ) e a malha de corrente  $i_q$ , cuja referência dita quanto de potência ativa é entregue à rede, resultando na carga ou descarga do capacitor do link DC. Logo, esta referência de corrente  $i_{q\_ref}$  é determinada pela malha de tensão a qual garante a tensão no link DC igual a  $V_{dc\_ref}$ .

Em outras palavras, quando a tensão no link DC se torna maior que a desejada, o controlador de tensão  $C_v(s)$  atua aumentando a referência de corrente  $i_{q\_ref}(s)$  e aumentando a transferência de potência ativa, fazendo com que o valor  $v_{dc}(s)$  decresça e vice-versa.



Fonte: Próprio autor.

Figura 4.5 – Diagrama de blocos das malhas de controle presentes no inversor.

4.2.1 Esquema de modulação

A Figura 4.6 apresenta a arquitetura do sistema proposto na qual pode-se destacar a necessidade da aplicação da transformada de Park nas correntes  $i_a(t)$ ,  $i_b(t)$  e  $i_c(t)$ , para se obterem as componentes de eixo direto e em quadratura que serão controladas.

Os controladores de corrente  $C_i(s)$  determinam os sinais  $mod_d(s)$  e  $mod_q(s)$  que, ao passarem pela transformada inversa de Park, geram as três moduladoras  $mod_a(t)$ ,  $mod_b(t)$  e  $mod_c(t)$ . A comparação entre estes sinais e a portadora triangular  $V_{port}$  ditam o funcionamento dos seis interruptores do inversor.

Em outras palavras, os controladores determinam quais tensões  $v_{sa}$ ,  $v_{sb}$  e  $v_{sc}$  que, em conjunto com as tensões da rede ( $v_a$ ,  $v_b$  e  $v_c$ ), irão resultar na circulação das correntes  $i_a$ ,  $i_b$  e  $i_c$  desejadas sobre os indutores de filtro obedecendo as equações apresentadas para o circuito equivalente presente na Figura 4.2.

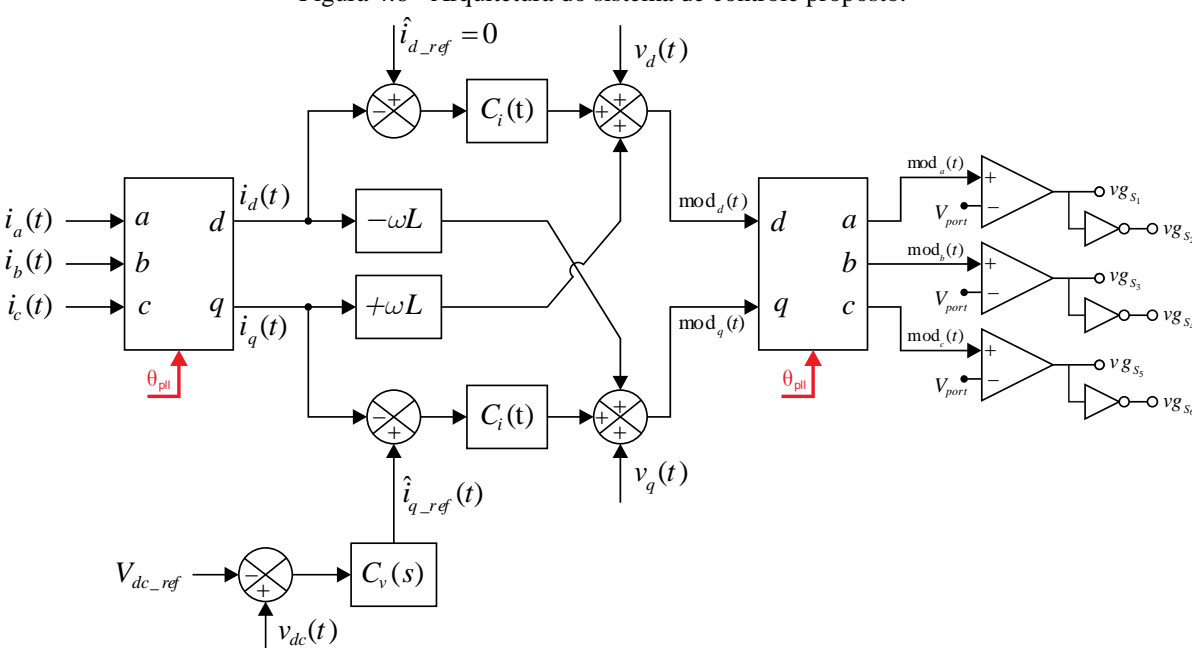


Figura 4.6 - Arquitetura do sistema de controle proposto.

Fonte: Próprio autor.

Na Figura 4.7 podem ser vistas as formas de onda geradas no conversor em função deste esquema de modulação denominado SPWM (*Sinusoidal Pulse-Width Modulation*) (WU, 2006). Estão presentes as três moduladoras, a portadora, as tensões  $v_{sa}$  e  $v_{sb}$  (identificadas como fontes de tensão controladas no circuito equivalente da Figura 4.4) assim como a tensão  $v_{sa}$ - $v_{sb}$  e sua componente fundamental cuja frequência é igual à frequência dos sinais de modulação.

Quando, por exemplo,  $mod_a(t) > V_{port}$ , o interruptor  $S_1$  é ligado e, como os interruptores inferiores são comandados de forma complementar,  $S_2$  é desligado. Neste ponto destaca-se uma desvantagem desta topologia: os dois interruptores do mesmo braço ( $S_1$  e  $S_2$  ou  $S_3$  e  $S_4$  ou  $S_5$  e  $S_6$ ) não podem ser acionados simultaneamente, o que pode ocorrer propositalmente ou em função de ruídos. Para tal, são necessários *drivers* de acionamento mais robustos que inibam esta possível falha a qual pode acarretar na destruição do conversor. Geralmente estes *drivers* possuem lógicas de acionamento que inserem tempo morto entre os comandos dos interruptores superiores e inferiores, além de sinalizarem a ocorrência de falhas.

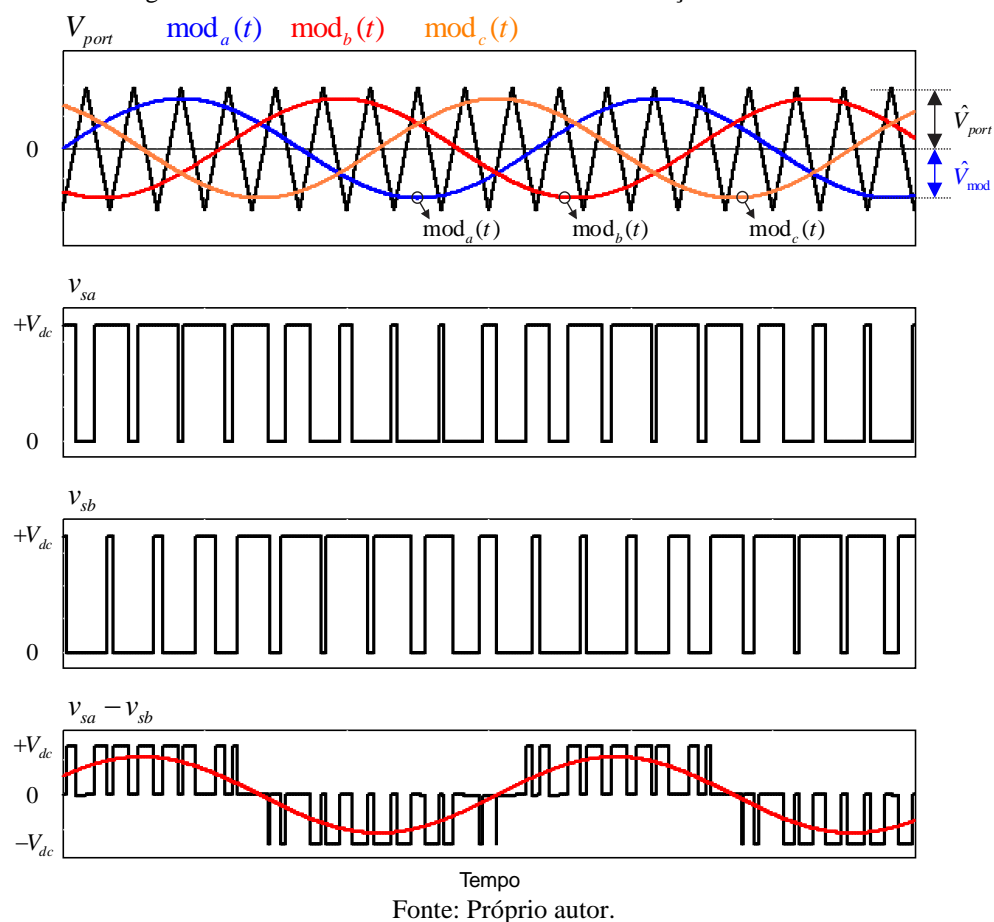


Figura 4.7 - Formas de onda decorrentes da modulação PWM senoidal.

A partir da moduladora  $mod_i(t)$  e da portadora  $V_{port}$  definem-se os índices de modulação de frequência  $m_{f,i}$  e de amplitude  $m_{a,i}$ :

$$m_{a,i} = \frac{\hat{V}_{\text{mod}}}{\hat{V}_{port}} \tag{4.20}$$

$$m_{f,i} = \frac{f_{port}}{f_{mod}} \tag{4.21}$$

Sendo  $f_{port}$  e  $f_{mod}$  as frequências da portadora e moduladora, respectivamente e  $\hat{V}_{port}$  e  $\hat{V}_{mod}$  os valores de pico da portadora e moduladora, respectivamente.

O índice de modulação de frequência deve ser dado por um valor inteiro para que sejam evitadas a geração de componentes harmônicas não características (cuja frequência não é múltiplo de  $f_{port}$ ). Visto que a frequência da portadora é fixa e a da moduladora é igual à frequência da rede elétrica, a qual pode sofrer pequenas variações, torna-se possível a geração dessas componentes indesejáveis mas, se  $m_{f,i}$  possuir valor suficientemente elevado, estas podem ser consideradas irrelevantes.

### 4.2.2 Algoritmo de rastreamento do ângulo de fase

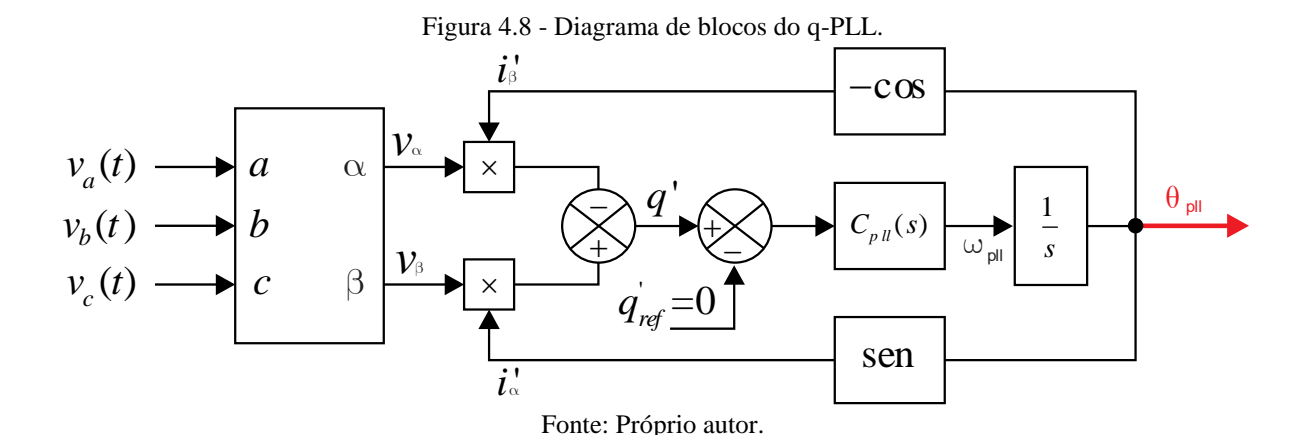
As transformações de Park solicitam o ângulo de fase  $\theta$  e, como se deseja o sincronismo entre as correntes e tensões, um algoritmo de rastreamento de ângulo de fase é designado para realizar tal tarefa.

A literatura dispõe inúmeros métodos de sincronização (TEODORESCU et al., 2011) (GUO; WU; GU, 2011). Optou-se pela utilização do *Quadrature Phase Locked Loop* (q-PLL) conforme exposto em SASSO et al. (2002). Trata-se de um algoritmo de sincronismo baseado na Teoria das potências instantâneas (AKAGI; HIROKAZU; AREDES, 2007) que detecta o ângulo de fase referente à componente de sequência positiva da componente fundamental da tensão de fase  $v_a$ .

A teoria das potências instantâneas (WATANABE; STEPHAN; AREDES, 1993) define, nas coordenadas  $\alpha$ - $\beta$ :

$$\begin{cases}
P = v_{\alpha} \cdot i_{\alpha} + v_{\beta} \cdot i_{\beta} \\
Q = v_{\beta} \cdot i_{\alpha} - v_{\alpha} \cdot i_{\beta}
\end{cases}$$
(4.22)

Assim, conforme apresentado na Figura 4.8, o q-PLL calcula uma potência imaginária instantânea fictícia q' e utiliza-se de um controlador  $C_{pll}(s)$  para fazer com que esta potência seja nula  $(q_{ref}=0)$ . As tensões  $v_{\alpha}$  e  $v_{\beta}$  são determinadas a partir da aplicação da transformada de Clarke sobre as tensões de fase  $v_a$ ,  $v_b$  e  $v_c$  e as correntes fictícias  $i'_{\beta}$  e  $i'_{\alpha}$  são calculadas a partir da realimentação do ângulo de fase estimado. Quando o ângulo estimado se torna igual ao ângulo real  $(\theta_{pll}=\theta)$ ,  $i'_{\beta}$  fica em fase com  $v_{\beta}$  e  $i'_{\alpha}$  fica em fase com  $v_{\alpha}$ , ou seja,  $q'=q_{ref}=0$ .



# 5 PROJETO, SIMULAÇÃO E IMPLEMENTAÇÃO DO WECS

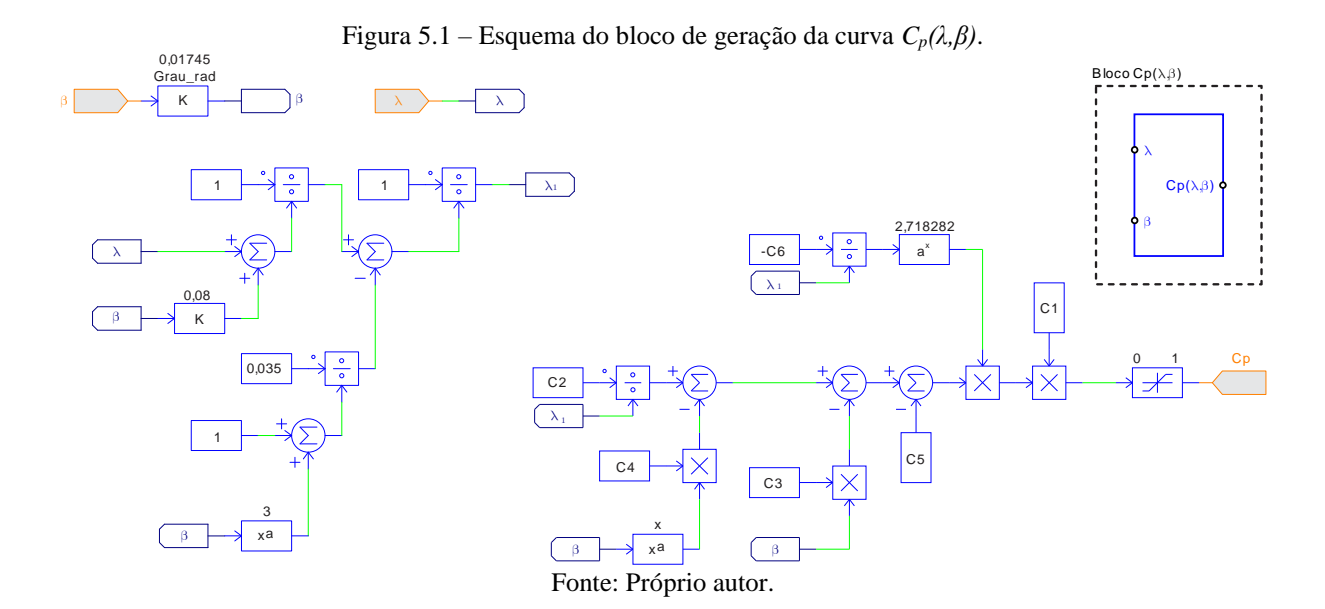
Neste capítulo são apresentados todos os detalhes de desenvolvimento do WECS proposto (modelo de simulação, dimensionamento e escolha de componentes, projeto dos controladores e resultados de simulação).

# 5.1 Modelo de simulação

A partir da modelagem teórica apresentada no Capítulo 2 é possível obter um modelo de simulação do WECS por meio do *software* PSIM<sup>®</sup>. De modo a viabilizar a exposição, cada uma das subseções seguintes contempla uma parte do sistema completo.

# 5.1.1 Modelo de simulação da turbina eólica

Com o intuito de obter um modelo de simulação para a turbina eólica, inicia-se o processo elaborando o bloco genérico que determina o valor do coeficiente de potência  $C_p(\lambda,\beta)$  cujo comportamento é ditado pela Equação (2.9) e (2.10). A Figura 5.1 apresenta a representação interna deste bloco que tem como entradas a velocidade específica e o ângulo de passo, como saída o valor do coeficiente de potência calculado e como parâmetros as variáveis  $C_1$ ,  $C_2$ ,  $C_3$ ,  $C_4$ ,  $C_5$ ,  $C_6$  e x características de cada tipo de turbina.



Adota-se um ângulo de passo nulo ( $\beta$ =0), a partir do qual consegue-se extrair a potência máxima, operar com máximo coeficiente de potência e velocidade específica ótima; atribuem-se valores as variáveis  $C_1$ ,  $C_2$ ,  $C_3$ ,  $C_4$ ,  $C_5$ ,  $C_6$  e x conforme exposto na Tabela 2.3; e obtém-se a curva do coeficiente de potência em função da velocidade específica (Figura 5.2) onde foi destacado o valor do coeficiente de potência máximo ( $C_{p,máx}$  = 0,41) e a velocidade específica ótima ( $\lambda_{ótimo}$  =7,95).

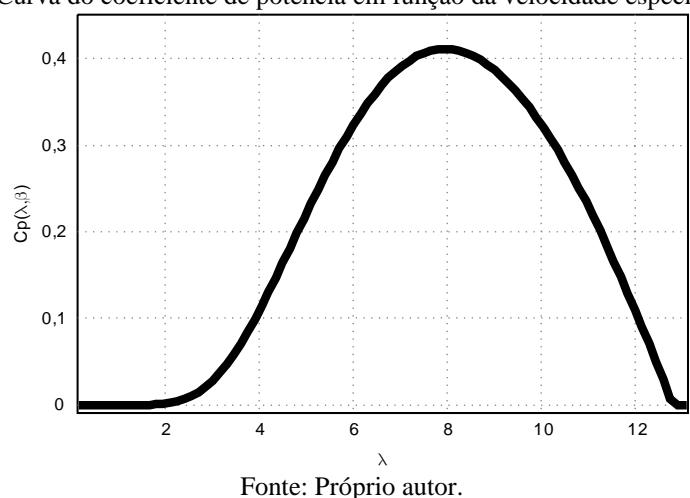


Figura 5.2 - Curva do coeficiente de potência em função da velocidade específica para  $\beta$ =0.

Obtidos os valores de velocidade específica ótima e o coeficiente máximo de potência os quais o sistema de MPPT deve garantir para extrair a máxima potência, calcula-se a constante  $k_{\delta timo}$  conforme definido anteriormente pela Equação (3.13):

$$k_{\text{\'otimo}} = \left(0.5 \cdot \rho \cdot \pi \cdot R^5 \cdot C_{p,m\acute{a}x}\right) \cdot 1/\lambda_{\text{\'otimo}} = 1,032 \cdot 10^3 \tag{5.1}$$

A qual determina o comportamento da potência quando o MPPT está atuando:

$$P_{mec} = P_{mec,máx} = 0, 5 \cdot \rho \cdot A \cdot \left(\frac{\omega \cdot R}{\lambda_{otimo}}\right)^{3} \cdot C_{p,máx} = k_{otimo} \cdot \omega^{3}$$
(5.2)

Dando continuidade ao modelo de simulação (Figura 5.3), a partir do coeficiente de potência, é possível calcular a potência mecânica  $P_{mec}$  convertida a partir da potência eólica e o torque mecânico  $T_{mec}$  imposto pela turbina de acordo com a Equação (2.4) e (2.5), respectivamente. São agora parâmetros de entrada o raio da turbina R, a velocidade do vento

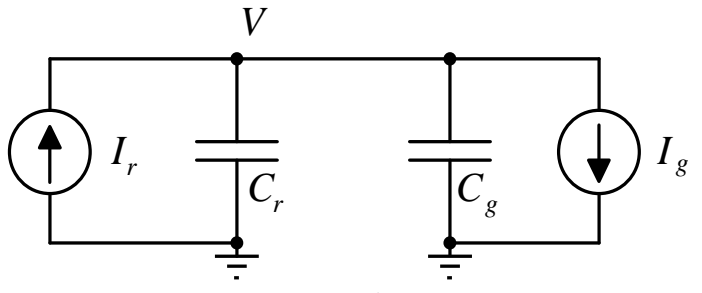
 $v_{vento}$  e o ângulo de passo  $\beta$  (dado como nulo neste projeto). O algoritmo de controle amostra as tensões induzidas para aferir a velocidade angular  $\omega$  da turbina mas, na simulação, a título de verificação, insere-se um sensor de velocidade.

Figura 5.3 - Esquema de simulação que emula turbina eólica.

Fonte: Próprio autor.

A grandeza \* $T_{mec}$  calculada e destacada no esquema representa uma grandeza elétrica, ou seja, a esta não está atrelada nenhum momento de inércia. Logo, foi necessário fazer uma analogia entre o sistema mecânico acoplado apresentado anteriormente na Figura 2.23 com o sistema elétrico presente na Figura 5.4 e representado pela Equação (5.3).

Figura 5.4 - Representação do sistema elétrico que emula o sistema mecânico exposto.



Fonte: Próprio autor.

$$I_r - I_g = \left(C_r + C_g\right) \cdot \frac{dV}{dt} \tag{5.3}$$

Sendo  $I_r$  e  $I_g$  as correntes produzidas pelos circuitos elétricos do rotor eólico e do gerador, respectivamente; e  $C_r$  e  $C_g$  os capacitores que emulam o momento de inércia da turbina e do gerador, respectivamente.

Para tal, utilizou-se de uma resistência de valor unitário e uma fonte de corrente controlada por corrente com ganho unitário para forçar a circulação da corrente  $I_r$  com valor igual a \* $T_{mec}$  que carrega o capacitor cuja capacitância tem o mesmo valor da inércia da turbina.

Após isto, um bloco cuja função é realizar o acoplamento elétrico-mecânico é utilizado para viabilizar a conexão entre o rotor eólico e uma carga mecânica controlada a qual representa o gerador elétrico. Ou seja, o valor de inércia da carga e o torque são dadas por  $J_g$  e  $T_g$ , respectivamente.

De modo a validar o esquema exposto, simulam-se as curvas de potência (Figura 5.5) e torque (Figura 5.6) gerados pela turbina eólica em função da velocidade angular e podese verificar que o comportamento segue a análise teórica presente no Capítulo 2 e os dados nominais (Tabela 2.2) da turbina VERNE555 utilizada. Por exemplo, uma potência de 6 kW pode ser alcançada para ventos de 10 m/s.

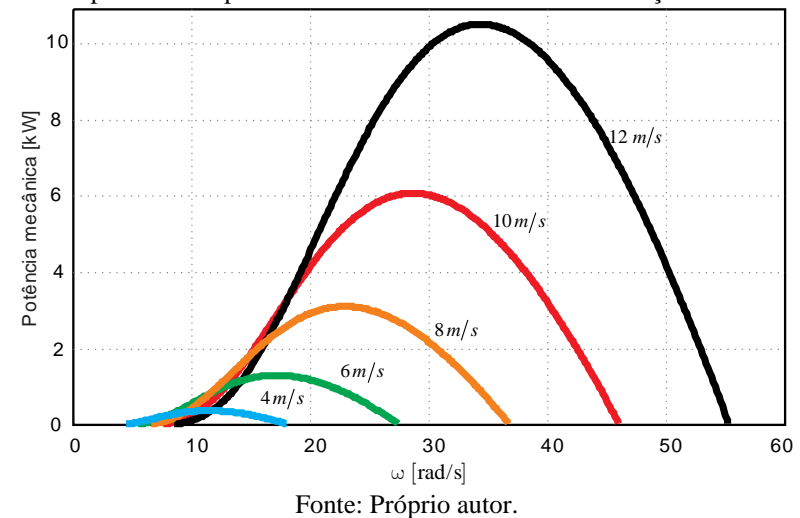
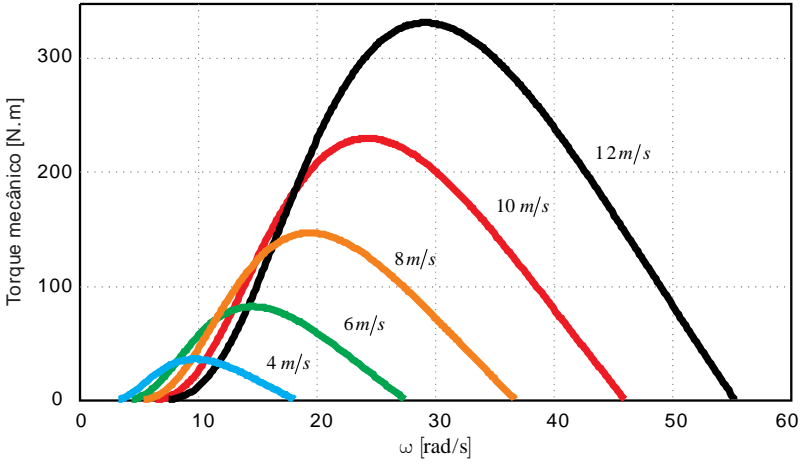


Figura 5.5 - Curvas previstas de potência da turbina VERNE 555 em função da velocidade angular.

Figura 5.6 - Curvas previstas de torque da turbina VERNE 555 em função da velocidade angular.



Fonte: Próprio autor.

### 5.1.2 Modelo de simulação do gerador elétrico

A partir da leitura de velocidade realizada pelo sensor presente no esquema da Figura 5.3, é possível determinar as tensões induzidas  $E_i(t)$  senoidais e equilibradas em cada bobina do gerador (Figura 5.7). A partir da velocidade mecânica, obtém-se a velocidade elétrica a partir da multiplicação pelo metade do número de pólos. Integra-se esta nova velocidade e se obtém o ângulo elétrico das tensões induzidas.

O valor de pico desta tensão  $E_{i,pico}$  é dado pela multiplicação entre a constante característica do gerador  $k_{\omega}$  e a velocidade angular mecânica  $\omega$ .

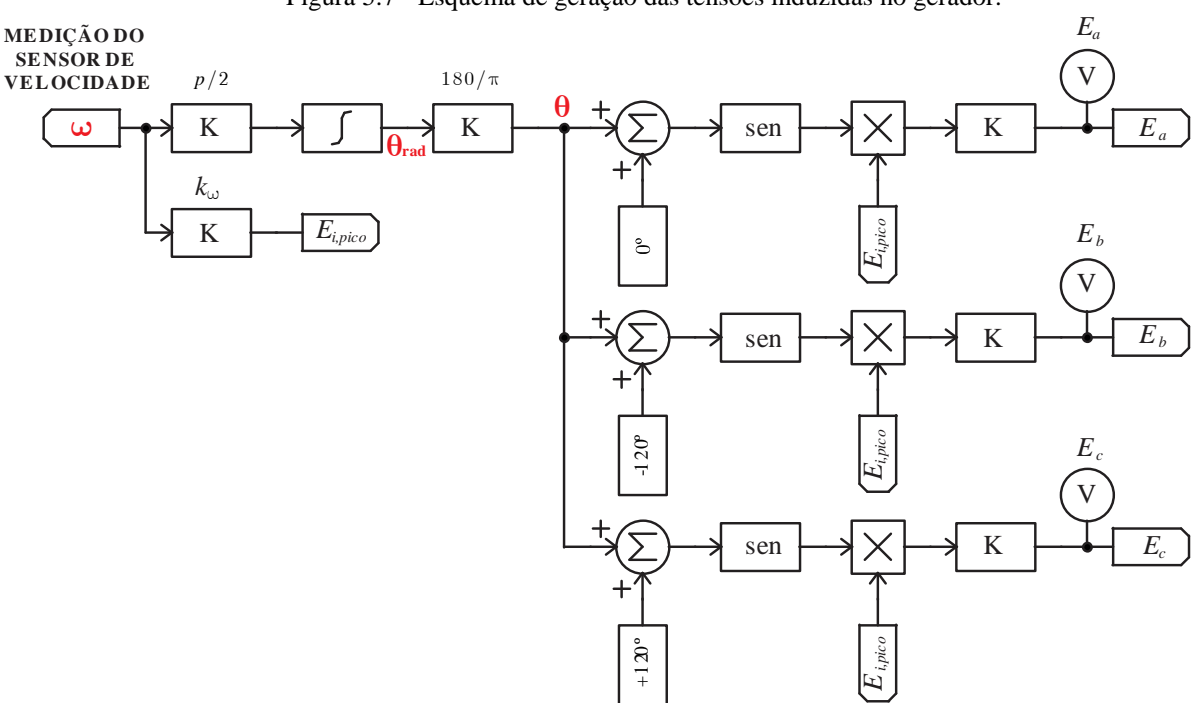


Figura 5.7 - Esquema de geração das tensões induzidas no gerador.

Fonte: Próprio autor.

A Figura 5.8 apresenta o circuito equivalente de cada fase do gerador, ou seja, as fonte de tensões induzidas  $E_i(t)$  calculadas pelo esquema da Figura 5.7 e aplicadas ao circuito equivalente por meio de uma fonte de tensão controlada por tensão; as indutâncias síncronas  $L_{gi}$ ; e as resistências  $R_{gi}$  dos enrolamentos.

Neste mesmo esquema podem ser vistos medidores de potências os quais irão fornecer o valor de potência elétrica de cada fase  $(P_a, P_b \in P_c)$  as quais irão determinar o valor do torque resistente  $T_g$  imposto pelo gerador (Figura 5.9).

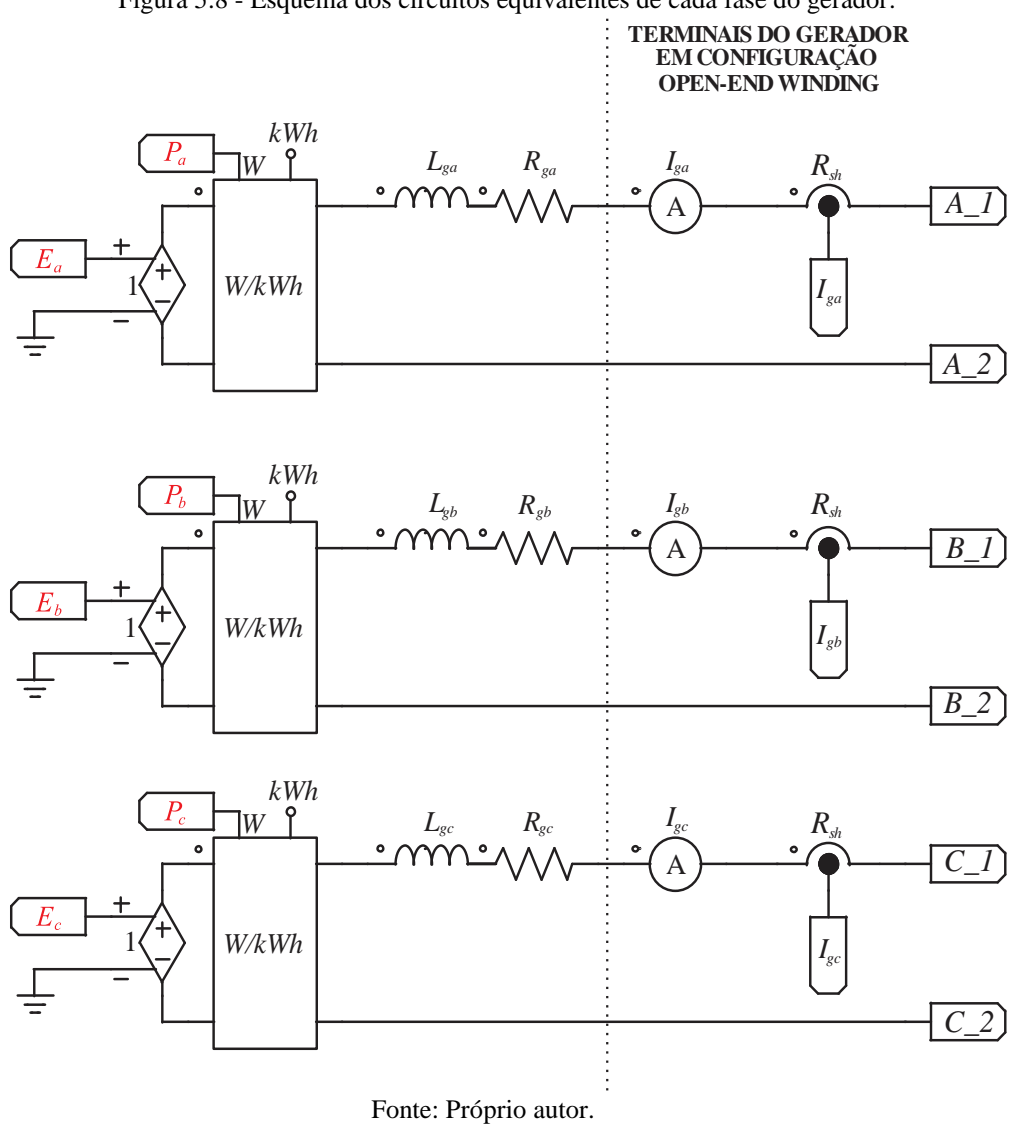
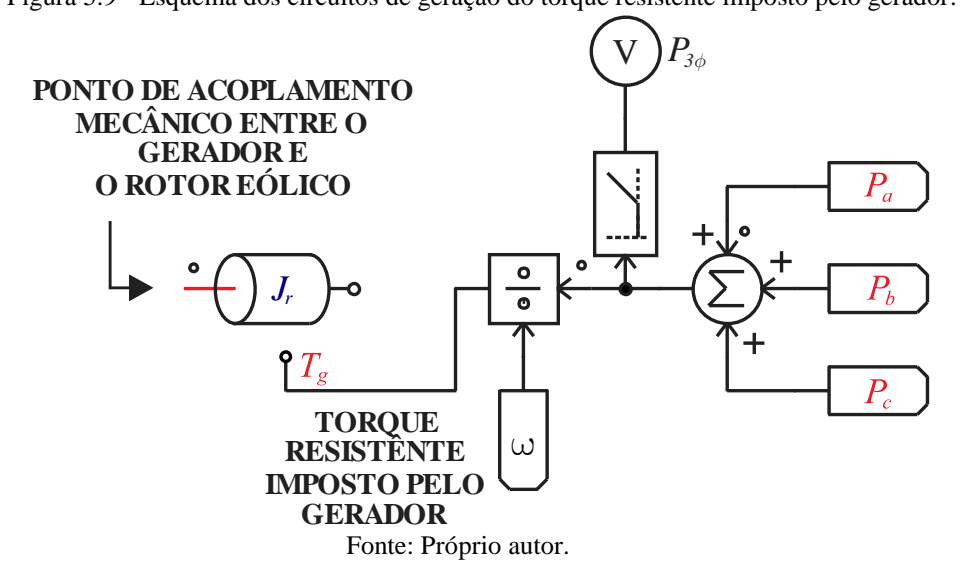


Figura 5.8 - Esquema dos circuitos equivalentes de cada fase do gerador.

Figura 5.9 - Esquema dos circuitos de geração do torque resistente imposto pelo gerador.



### 5.1.3 Modelo de simulação do retificador boost bridgeless

O modelo do retificador consiste no conjunto de semicondutores (diodos e interruptores); no link DC; no bloco de geração dos gatilhos dos semicondutores ativos; nos sensores de leitura de corrente e de tensão; assim como circuitos de filtragem responsáveis por eliminar distorções, interferências, ruídos, etc.

Na Figura 5.10 pode ser visto o conversor propriamente dito, o qual possui 6 braços cada um com ponto central conectado a um terminal do gerador ( $A_1$ ,  $A_2$ ,  $B_1$ ,  $B_2$ ,  $C_1$  e  $C_2$ ) conforme definido pelo modelo do gerador (configuração *open-end winding*) presente na Figura 5.8.

A Figura 5.11 apresenta o esquema no qual pode ser visto um *C block*, o qual emula a lógica de programação presente no microcontrolador. Como pode ser visto, existem blocos de amostragem e quantização que emulam o comportamento do conversor analógico/digital o qual é um driver do microcontrolador. Além disto, estão presentes os blocos de atraso inerentes ao controle digital assim como os comparadores que emulam o comportamento do módulo PWM.

Os sinais que são fornecidos ao conversor A/D do microcontrolador ( $I'_{ga}$ ,  $I'_{gb}$ ,  $I'_{gc}$ ,  $E'_{a}$ ,  $E'_{b}$ ,  $E'_{c}$  e  $V_{dc,r}$ ) advêm de transdutores que ajustam os níveis lógicos de tensão ao intervalo entre 0 e 5 V e são utilizados para realizar o controle do conversor, gerando os sinais modulantes dga, dgb e dgc que definem os sinais de gatilhos após passar pelo módulo PWM.

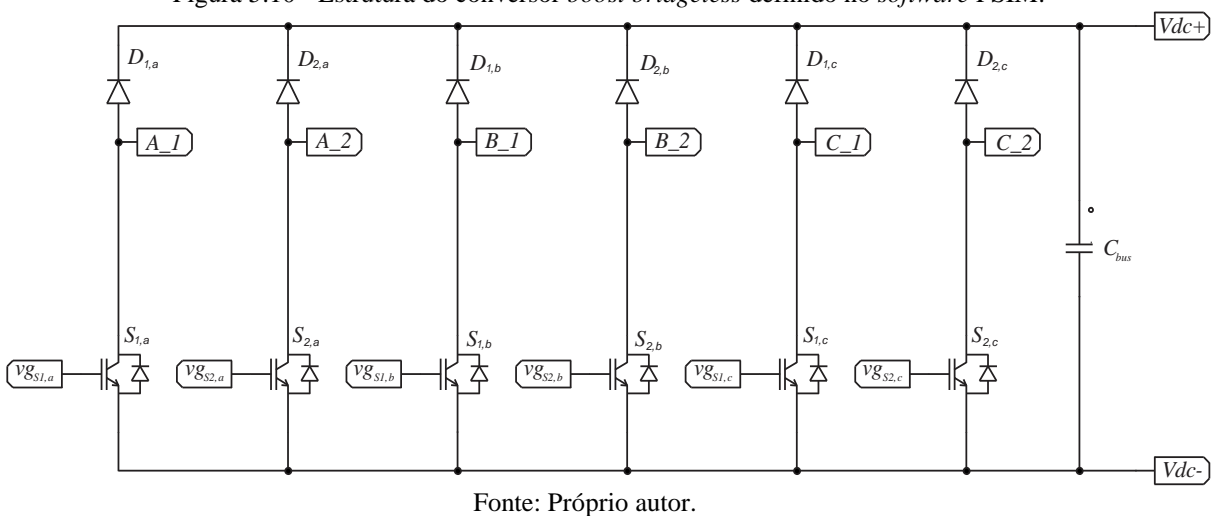


Figura 5.10 - Estrutura do conversor boost bridgeless definido no software PSIM.

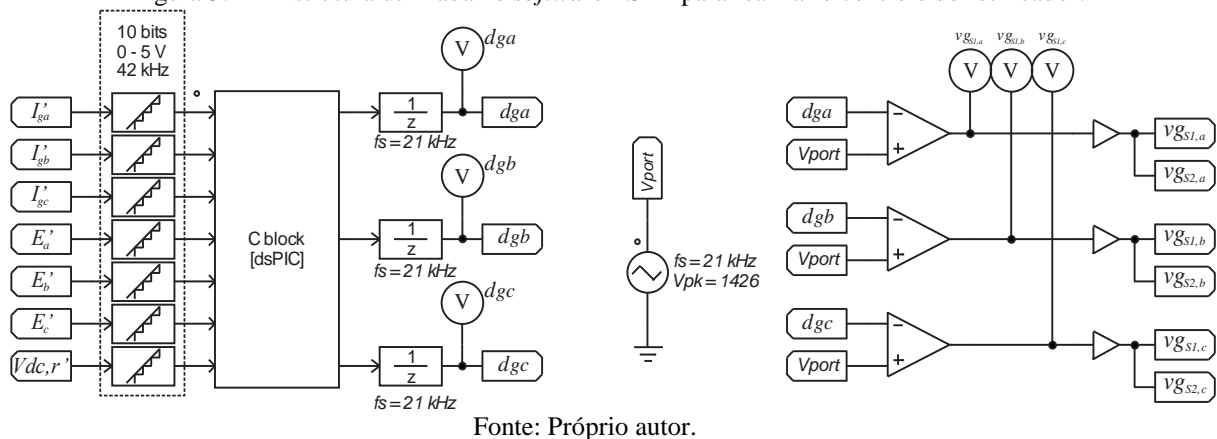
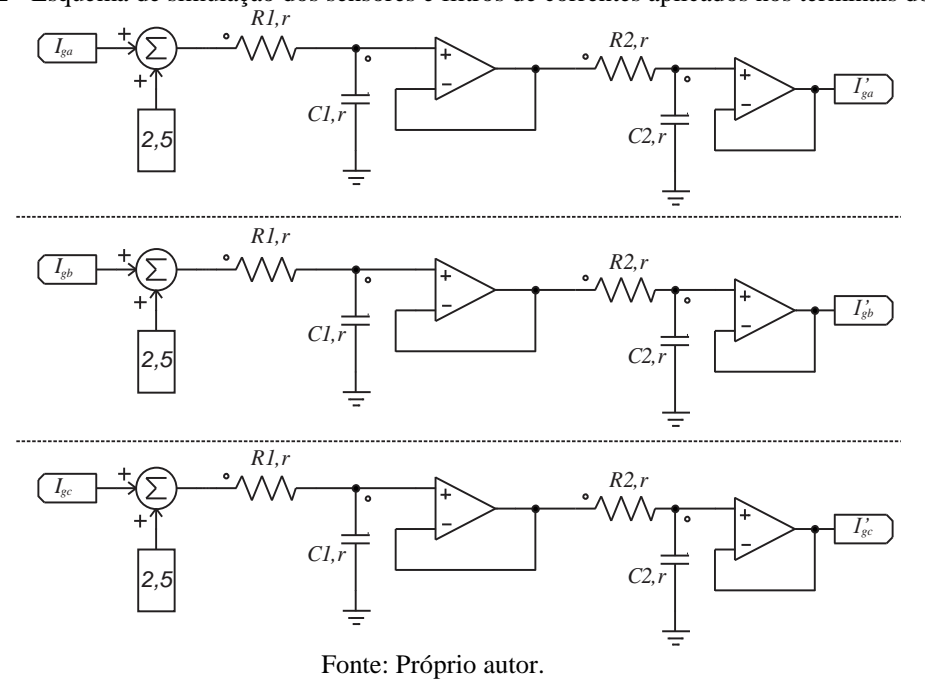


Figura 5.11 - Estrutura utilizada no software PSIM para realizar o controle do retificador.

Nas Figura 5.12, Figura 5.13 e Figura 5.14 estão presentes os esquemas dos sensores e filtros aplicados na aquisição das correntes no gerador, nas tensões nos terminais do gerador e na tensão no barramento DC, respectivamente. O cálculo dos valores dos resistores e capacitores são apresentados na Seção 5.2.1.

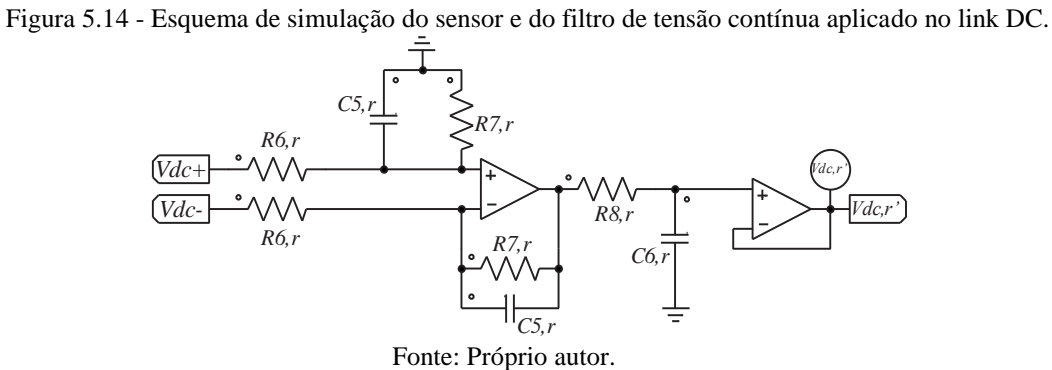
Figura 5.12 - Esquema de simulação dos sensores e filtros de correntes aplicados nos terminais do gerador.



R3,r R3, r R4, r  $\gtrsim$  R5, rR3,r R5, r R3,r R4, r R3, r R5, r R3, r R4, r

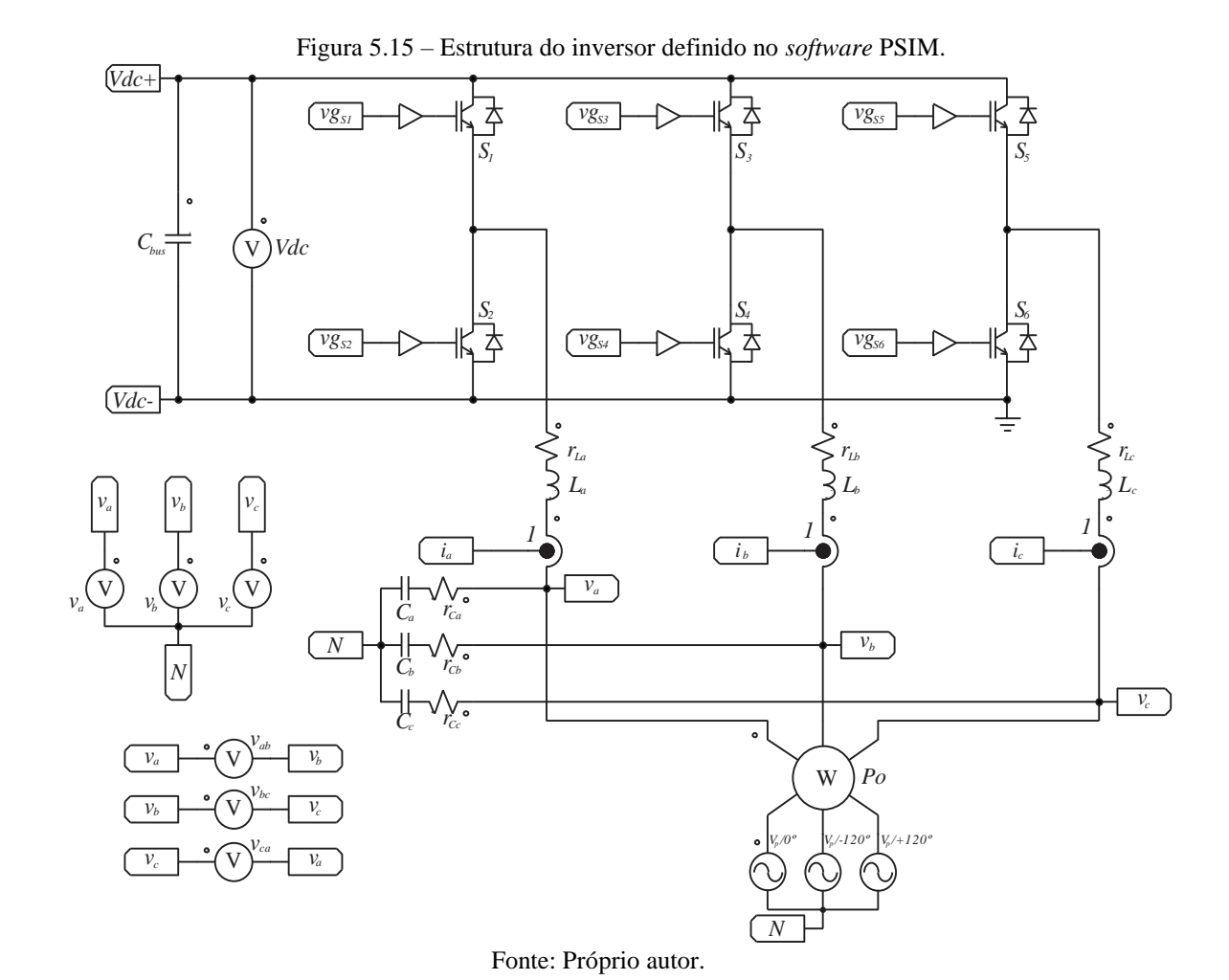
Figura 5.13 - Esquema de simulação dos sensores e filtros de tensão alternada aplicados nos terminais do gerador.

Fonte: Próprio autor.



# 5.1.4 Modelo de simulação do inversor trifásico

O modelo do retificador, Figura 5.15, consiste no conjunto de semicondutores ( $S_1$ ,  $S_2$ , ...,  $S_6$ ); no link DC com o capacitor  $C_{bus}$ ; no bloco de geração dos gatilhos ( $vg_{S1}$ ,  $vg_{S2}$ , ...,  $vg_{S6}$ ); nos sensores de leitura de corrente e de tensão; assim como seus filtros.



Apresentam-se as estruturas dos sensores e dos filtros utilizados para realizar a leitura das correntes, tensão no link DC e tensões alternadas na Figura 5.16, Figura 5.17 e Figura 5.18, respectivamente. O cálculo dos valores dos resistores e capacitores são apresentados na Seção 5.2.1.

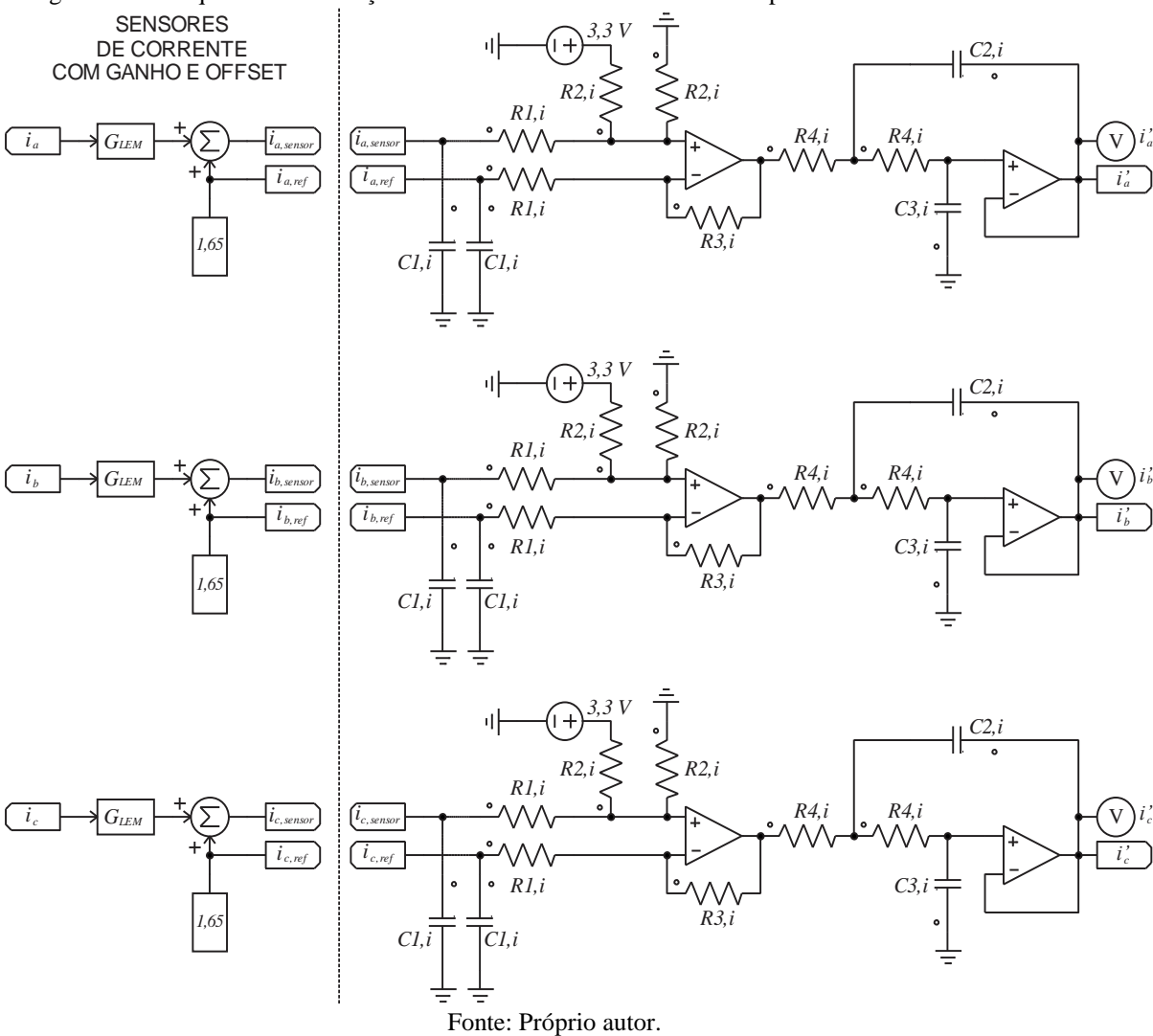
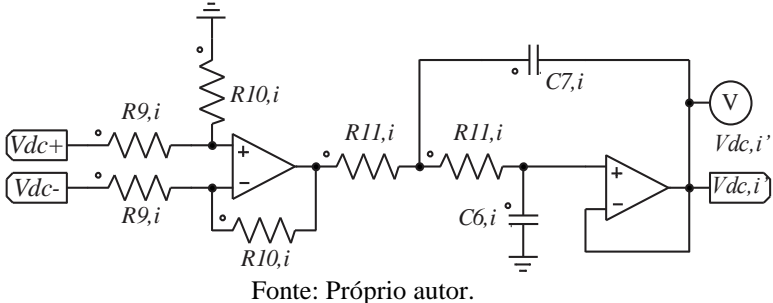


Figura 5.16 - Esquema de simulação dos sensores e filtros de correntes aplicados nos terminais do inversor.

Figura 5.17 - Esquema de simulação do sensor e filtro de tensão contínua aplicado no link DC.

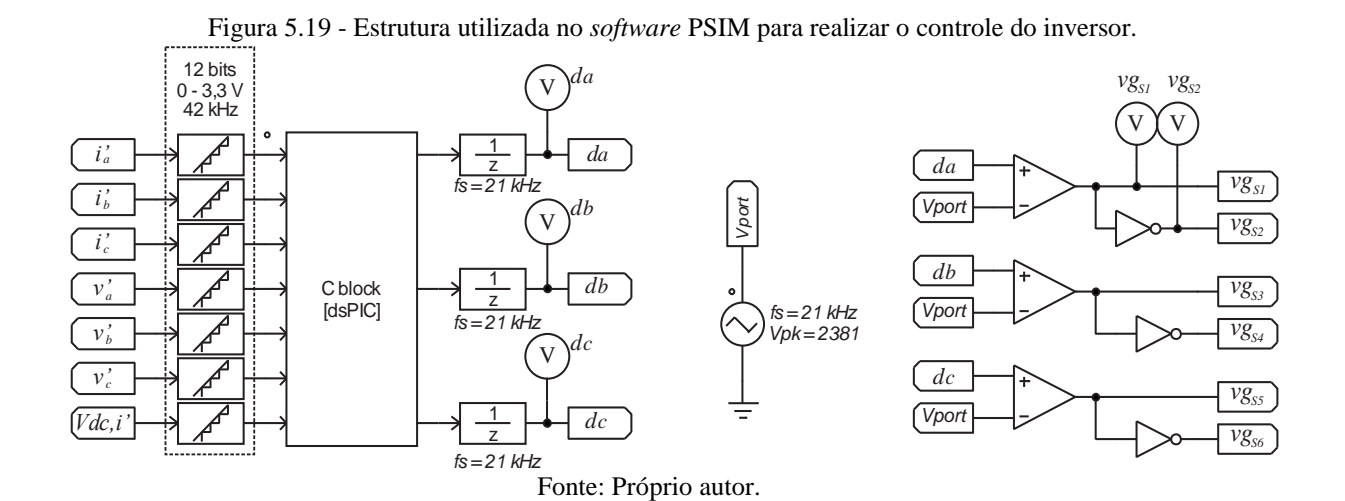


+|C5,i|R6, i R5, i R8,i R5,i R6, i  $(\mathbf{v})v_b$  $\overline{N}$  $v_b$ R5,i R6, i  $\geq_{R6,i}$ R5.i R8, i  $\overline{N}$ R7,i R5,i R6, i

Figura 5.18 - Esquema de simulação dos sensores e filtros de tensão alternada aplicados nos terminais da rede elétrica.

Fonte: Próprio autor.

Assim como o retificador, o inversor é controlado por um microcontrolador representado por um C block (Figura 5.19) o qual lê os sinais dos sensores ( $i'_a$ ,  $i'_b$ ,  $i'_c$ ,  $v'_a$ ,  $v'_b$ ,  $v'_c$  e  $V_{dc,i}$ ) e gera os sinais modulantes da, db e dc que irão definir os sinais de gatilhos após passar pelo módulo PWM.



### 5.2 Dimensionamento e escolha dos componentes do circuito de potência

O dimensionamento do WECS deve ser tal que seus componentes sejam capazes de processar toda a potência extraída do vento.

### 5.2.1 Sensores e filtros de tensão e corrente

Sensores de corrente e tensão são utilizados no WECS além de filtros, cuja função é eliminar possíveis ruídos que dependem da característica do sinal. Cada sensor é dimensionado em função das condições nominais do WECS e cada filtro em função da frequência de corte a qual deve suficiente para rejeitar harmônicos do sinal de entrada, conforme exposto nas subseções seguintes.

# 5.2.1.1 Sensor e filtro de corrente do gerador

A condição de operação nominal do conversor ocorre quando a velocidade do vento é igual a 10 m/s. Nesta situação, o algoritmo de MPPT faz com que a potência  $P_{3\Phi}$  processada pelo conversor seja igual a 6 kW e a velocidade angular da turbina seja igual a 28,6 rad/s (Figura 5.5). Desta forma, a partir da Equação (3.14), pode-se calcular a corrente máxima que irá circular no gerador  $I_{gi,pico}$ :

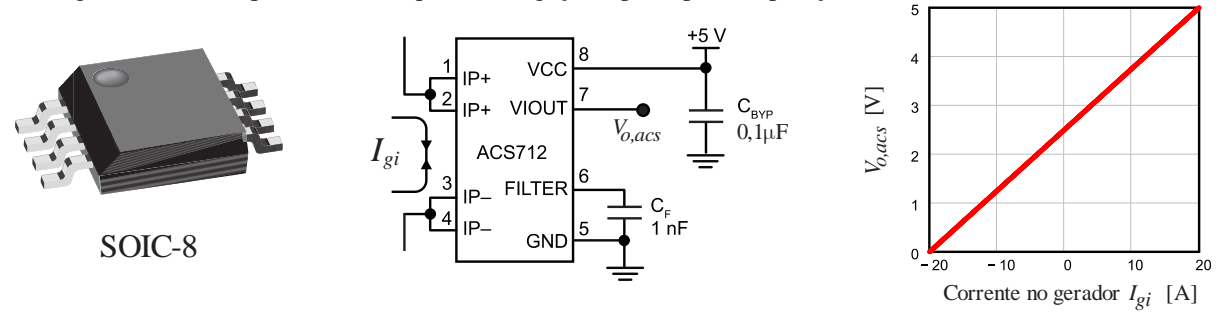
$$P_{3\phi} = 3 \cdot \left(\frac{E_{i,pico}}{\sqrt{2}} \cdot \frac{I_{gi,pico}}{\sqrt{2}}\right) \Rightarrow$$

$$I_{gi,pico} = \frac{2}{3} \cdot \frac{P_{3\phi}}{E_{i,pico}} = \frac{2}{3} \cdot \frac{P_{3\phi}}{k_{\omega} \cdot \omega} = \frac{2}{3} \cdot \frac{6000}{20,489 \cdot 28,649} = 6,8A$$
(5.4)

Optou-se pela utilização do sensor ACS 712 (Figura 5.20), o qual opera com faixa de corrente de  $\pm 20$  A, possui ganho de  $R_{sh}$  de 0,125 e apresenta uma tensão na saída seguindo a equação:

$$V_{o,acs} = I_{gi} \cdot R_{sh} + 2.5 \tag{5.5}$$

Figura 5.20 - Encapsulamento, esquema de ligação e princípio de operação do sensor ACS 712 utilizado.



Fonte: Adaptada de ALLEGRO (2006).

De acordo com o teorema de Shannon, a frequência de amostragem deve ser maior que o dobro da maior frequência contida em um sinal para que este possa ser reproduzido sem erro de *aliasing*. Como não se pode garantir que um sinal não contenha frequências superiores ao limite definido, são necessários filtros passa baixa com frequência de corte menor ou igual à metade da frequência de amostragem (ou frequência de Nyquist) (BUSO; MATTAVELLI, 2006).

Dois filtros passa baixa de primeira ordem são inseridos no caminho de leitura desta corrente conforme apresentado no modelo de simulação (Figura 5.12). Opta-se por alocar a frequência de corte do primeiro filtro na metade da frequência de amostragem e a frequência de corte do segundo em um quarto da frequência de amostragem.

Sendo a frequência de corte de um filtro de primeira ordem dada por:

$$f_c = \frac{1}{2 \cdot \pi \cdot R \cdot C} \tag{5.6}$$

Para uma frequência de amostragem  $f_{amostragem}$  de 42 kHz e R1,r e R2,r ambos igual a  $10 \text{ k}\Omega$ , tem-se:

$$C1, r = \frac{1}{2 \cdot \pi \cdot R1, r \cdot (f_c/2)} = 757,881 \, pF \Rightarrow 680 \, pF$$
 (5.7)

$$C2, r = \frac{1}{2 \cdot \pi \cdot R1, r \cdot (f_c/4)} = 1,516nF \Rightarrow 6,8nF$$
 (5.8)

Por fim, obtém-se uma frequência de corte de 2,32 kHz conforme pode ser visto no diagrama de bode da Figura 2.21.

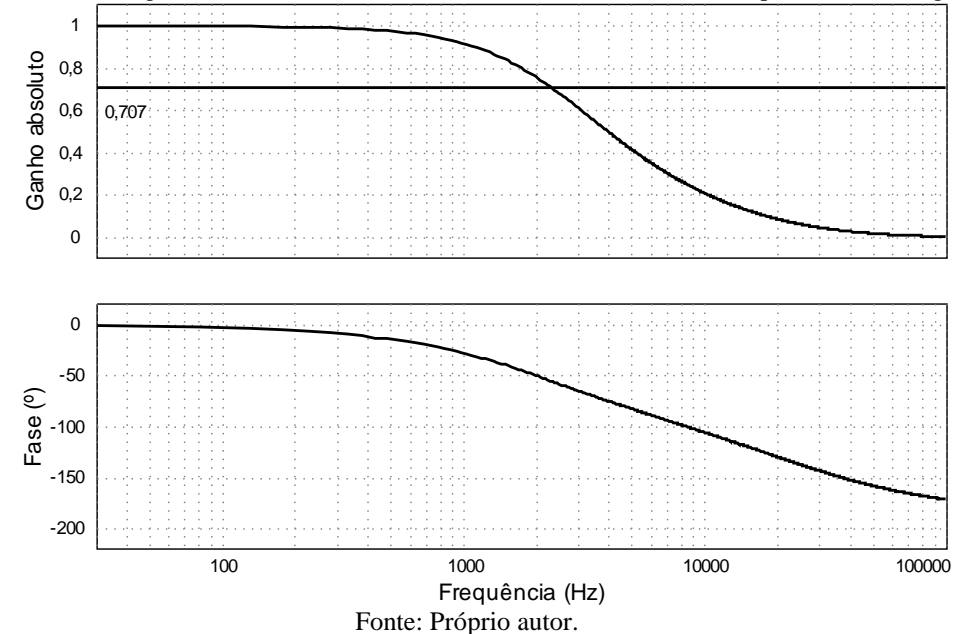


Figura 5.21 - Diagrama de bode do filtro utilizado na leitura das correntes que circulam no gerador.

# 5.2.1.2 Sensor e filtro de tensão alternada do gerador

O sensor utilizado para realizar a leitura das tensões alternadas nos terminais do gerador é do tipo diferencial resistivo, conforme apresentado na Figura 5.13, o qual possui ganho  $G_{sensor,Ei}$  de:

$$G_{sensor,Ei} = \frac{R4, r}{R3, r} \tag{5.9}$$

A saída do sensor é dada por:

$$E_a' = 0.5 \cdot G_{sensor, Ei} \cdot Vi + 2.5$$
 (5.10)

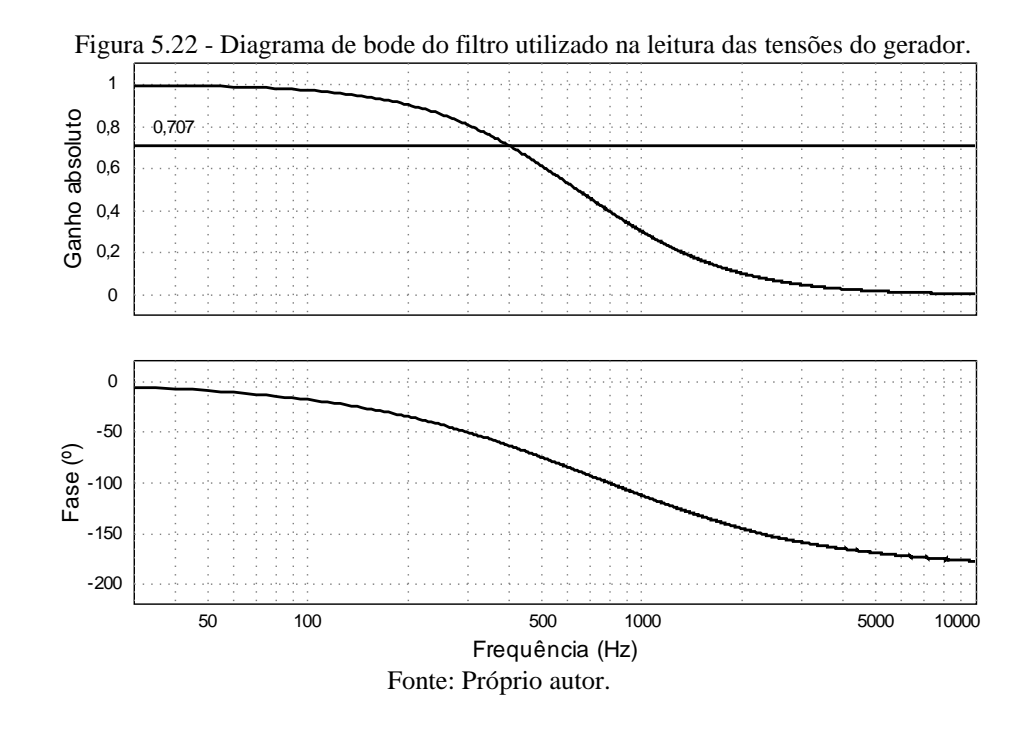
Onde  $V_i$  é a tensão entre os terminais de cada enrolamento do gerador.

Deseja-se ler tensões entre  $\pm 500$  V, e fornecer ao microcontrolador tensões entre 0 e 5V. O ganho desejado deve ser então de 0,01. Adota-se R4,r igual a 10 k $\Omega$  e obtém-se R3,r de 1 M $\Omega$ .

Para extrair desta tensão amostrada a componente de baixa frequência, alocam-se os dois pólos do filtro em 500 Hz. Faz-se R5,r também igual a 10 k $\Omega$  e calculam-se os capacitores:

$$C3, r = C4, r = \frac{1}{2 \cdot \pi \cdot 500 Hz \cdot 10k\Omega} = 31,831 nF \Rightarrow 33nF$$
 (5.11)

Conforme pode ser visto no diagrama de bode da Figura 5.22, a frequência de corte é dada por aproximadamente 400 Hz.



# 5.2.1.3 Sensor e filtro de tensão contínua do link DC do lado do retificador

O sensor de tensão do link DC, responsável por fornecer dados adequados ao microcontrolador dsPIC, também é do tipo resistivo com configuração diferencial conforme apresentado na Figura 5.14.

O ganho  $G_{sensor,Vdc,r}$  é dado por:

$$G_{sensor,Vdc,r} = \frac{R7, r}{R6, r} \tag{5.12}$$

E a saída do sensor é dada por:

$$Vdc, r' = G_{sensor\ Vdc\ r} \cdot Vdc \tag{5.13}$$

Deseja-se ler tensões entre 0 e 800 V, e fornecer ao microcontrolador tensões entre 0 e 5V. O ganho desejado  $G_{sensor,Vdc,r}$  deve ser então de 6,25 m. Adota-se R7, r igual a 10 k $\Omega$  e obtém-se R6,r de 1,6 M $\Omega$  o que é alcançado com uma associação de resistores.

Alocam-se os dois pólos do filtro em 3 kHz. Faz-se R8,r também igual a 10 k $\Omega$  e calculam-se os capacitores:

$$C5, r = C6, r = \frac{1}{2 \cdot \pi \cdot 3000 Hz \cdot 10k\Omega} = 5,305nF \Rightarrow 5,6nF$$
 (5.14)

Conforme pode ser visto no diagrama de bode da Figura 5.23, a frequência de corte desta associação em cascata de dois filtros de primeira ordem é dada por aproximadamente 1,8 kHz.

retificador. 1 Ganho absoluto 0,8 0,6 0,4 0,2 0 0 Fase (°) -150 -200 100 10000 100000 Frequência (Hz) Fonte: Próprio autor.

Figura 5.23 - Diagrama de bode do filtro utilizado na leitura da tensão do link DC e enviada ao controle do

### 5.2.1.4 Sensor e filtro de corrente da rede

Optou-se pela utilização do sensor HO 25-NP/SP33-1000 fabricado pela LEM, o qual foi configurado para ter ganho  $G_{LEM}$  de 0,037 e apresentar na saída uma tensão determinada pela equação:

$$V_{o,LEM} = i_a \cdot G_{LEM} + 1,65 \tag{5.15}$$

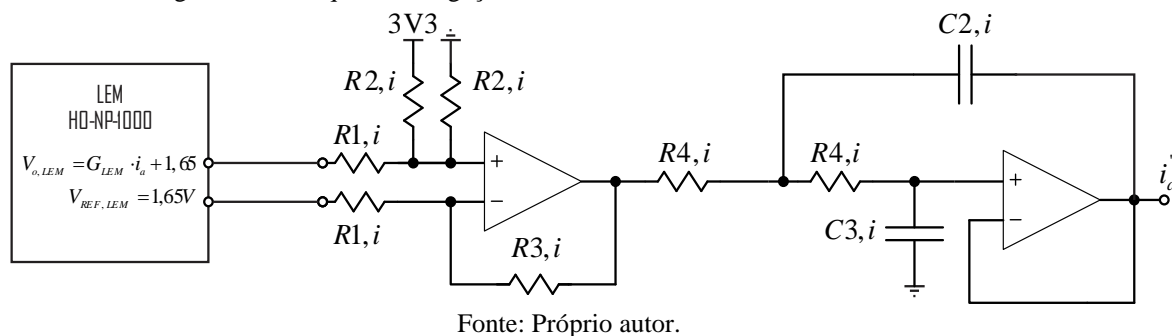
Na Figura 5.24 pode ser visto o circuito completo de leitura das correntes que circulam no inversor, o qual é composto pelo sensor LEM, por um filtro de segunda ordem e por um circuito que irá fornecer um ganho para a corrente, de modo a aumentar a precisão da leitura pelo conversor A/D do microcontrolador. Desta forma, tem-se:

$$\vec{i}_a = (V_{o,LEM} - 1,65) \cdot G_{sensor,ia} + 1,65 = G_{sensor,ia} \cdot G_{LEM} \cdot i_a + 1,65$$
 (5.16)

Onde:

$$G_{sensor,ia} = \frac{R2,i}{R1,i} \tag{5.17}$$

Figura 5.24 - Esquema de ligação do sensor de corrente do inversor com seu filtro.



Na condição nominal, o conversor processa e fornece à rede 6 kW. Sendo o valor de pico da tensão da rede  $V_p$  igual a 311,127, calcula-se a corrente de pico  $I_{a,pico}$  que irá circular nos terminais do inversor:

$$P_{3\phi} = \frac{3}{2} \cdot \frac{V_p}{I_{a,\text{pico}}} \Rightarrow I_{a,\text{pico}} = \frac{2}{3} \cdot \frac{P_{3\phi}}{V_p} = 12,9A$$
 (5.18)

Define-se que a corrente a ser lida deve ser no máximo 20% maior que a corrente da condição nominal, ou seja, aproximadamente 15,47 A e deseja-se que a tensão fornecida ao microcontrolador seja de 3,3 V nesta situação. Para tal, define-se o ganho  $G_{sensor,ia}$  necessário:

$$i_a' = G_{sensor,ia} \cdot G_{LEM} \cdot i_a + 1,65 \Rightarrow G_{sensor,ia} = \frac{i_a' - 1,65}{G_{LEM} \cdot i_a} = \frac{3,3 - 1,65}{0,037 \cdot 15,47} = 2,883$$
 (5.19)

Adota-se R2,i igual a 10 k $\Omega$  assim R3,i pode ser igual a 5,1 k $\Omega$  e pode ser então calculado o valor de R1,i:

$$R1, i = \frac{R3, i}{G_{sensor, ia}} = \frac{5100}{2,883} = 1769 \Rightarrow 1,8k\Omega$$
 (5.20)

Para projetar o filtro de segunda ordem, inicia-se escrevendo a função de transferência do circuito:

$$H_{sensor,ia}(s) = \frac{\frac{1}{R4, i^2 \cdot C2, i \cdot C3, i}}{s^2 + \frac{2}{C2, i \cdot R4, i} \cdot s + \frac{1}{R4, i^2 \cdot C2, i \cdot C3, i}}$$
(5.21)

Esta pode ser associada com a função de transferência de um sistema de segunda ordem em função do fator de amortecimento  $\xi$  e da frequência natural  $\omega_n$ :

$$H_{sensor,ia}(s) = \frac{\omega_n^2}{s^2 + 2 \cdot \xi \cdot \omega_n \cdot s + \omega_n^2}$$
 (5.22)

Assim, tem-se:

$$\omega_n = 2 \cdot \pi \cdot f_c = \frac{1}{R4, i \cdot \sqrt{C2, i \cdot C3, i}}$$
 (5.23)

$$\xi = \sqrt{\frac{C3,i}{C2,i}} \tag{5.24}$$

Deseja-se um fator de amortecimento de 0,707 e uma frequência de corte  $f_c$  de um quarto da frequência de amostragem  $f_{amostragem}$ . Fazendo-se C3,i igual a 1 nF, calcula-se:

$$C2, i = \frac{C3, i}{\xi^2} = 2nF \tag{5.25}$$

$$R4, i = \frac{1}{2 \cdot \pi \cdot f_c \cdot \sqrt{C2, i \cdot C3, i}} = \frac{1}{2 \cdot \pi \cdot \left(f_{amostragem}/4\right) \cdot \sqrt{C2, i \cdot C3, i}} = 10,72k\Omega \qquad (5.26)$$

Ao adotar R4,i igual a 10 k $\Omega$ , o valor da frequência de corte aumenta para aproximadamente 11 kHz, então diminui-se o valor de C2,i para 1 nF e alcança-se  $f_c$  igual a 10,24 kHz, conforme pode ser visto no diagrama de bode presente na Figura 5.25.

inversor. Ganho absoluto 0,8 0,6 0,4 0,2 0 0 -50 Fase (°) -100 -150 -200 100 100000 1000 10000 1e+006 Frequencia (Hz) Fonte: Próprio autor.

Figura 5.25 - Diagrama de bode do filtro de segunda ordem utilizado na leitura das correntes que circulam no inversor

### 5.2.1.5 Sensor e filtro de tensão alternada da rede

O sensor utilizado para realizar a leitura das tensões da rede segue a topologia apresentada na Figura 5.18 o qual é composto por um divisor resistivo seguido por um filtro de segunda ordem.

A saída do sensor é dada por:

$$v_a = 0.5 \cdot G_{sensor, vi} \cdot v_{an} + 1.65$$
 (5.27)

Sendo:

$$G_{sensor,vi} = \frac{R6, i}{R5, i} \tag{5.28}$$

A tensão nominal de fase eficaz da rede é dada por 220  $V_{rms}$ . Considera-se uma variação no valor nominal e deseja-se que o sensor forneça  $v_a$ ' igual a 3,3V quando a tensão da rede for de 250  $V_{rms}$ . Assim, tem-se:

$$v_a = 0.5 \cdot G_{sensor,vi} \cdot v_{an} + 1.65 \Rightarrow G_{sensor,vi} = \frac{3.3 - 1.65}{0.5 \cdot 250 \cdot \sqrt{2}} = 9.334m$$
 (5.29)

Adota-se R6,i igual a 10 k $\Omega$  e calcula-se:

$$R5, i = \frac{R6, i}{G_{sensor, vi}} = 1,071M\Omega \Rightarrow 1,075M\Omega (1M\Omega + 75k\Omega)$$

$$(5.30)$$

Projeta-se o filtro de segunda ordem conforme descrito anteriormente. Tem-se a função de transferência dada por:

$$H_{sensor,va}(s) = \frac{\frac{1}{R8, i^2 \cdot C4, i \cdot C5, i}}{s^2 + \frac{2}{C5, i \cdot R8, i} \cdot s + \frac{1}{R8, i^2 \cdot C4, i \cdot C5, i}}$$
(5.31)

A qual pode ser associada com a função de transferência de um sistema de segunda ordem em função do fator de amortecimento  $\xi$  e da frequência natural  $\omega_n$ :

$$H_{sensor,va}(s) = \frac{\omega_n^2}{s^2 + 2 \cdot \xi \cdot \omega_n \cdot s + \omega_n^2}$$

$$(5.32)$$

$$\omega_n = 2 \cdot \pi \cdot f_c = \frac{1}{R8, i \cdot \sqrt{C4, i \cdot C5, i}}$$

$$\xi = \sqrt{\frac{C4, i}{C5, i}}$$

$$(5.33)$$

 $\bigvee C5,i$ 

Deseja-se uma frequência de corte  $f_c$  de 4,7 kHz e o fator de amortecimento de 0,707. Fazendo-se C4,i igual a 4,7 nF, calcula-se:

$$C5, i = \frac{C4, i}{\xi^2} = 9, 4nF \Rightarrow 8, 2nF$$
 (5.35)

$$R8, i = \frac{1}{2 \cdot \pi \cdot f_c \cdot \sqrt{C4, i \cdot C5, i}} = \frac{1}{2 \cdot \pi \cdot 4700 \cdot \sqrt{C2, i \cdot C3, i}} = 5,095k\Omega \Rightarrow 5,1k\Omega \quad (5.36)$$

Por fim, determina-se R7, i igual a 10 k $\Omega$  visto que esta deve ser o dobro de R8, i.

Conforme pode ser visto no diagrama de bode da Figura 5.26, obtém-se a frequência de corte igual a 4,73 kHz.

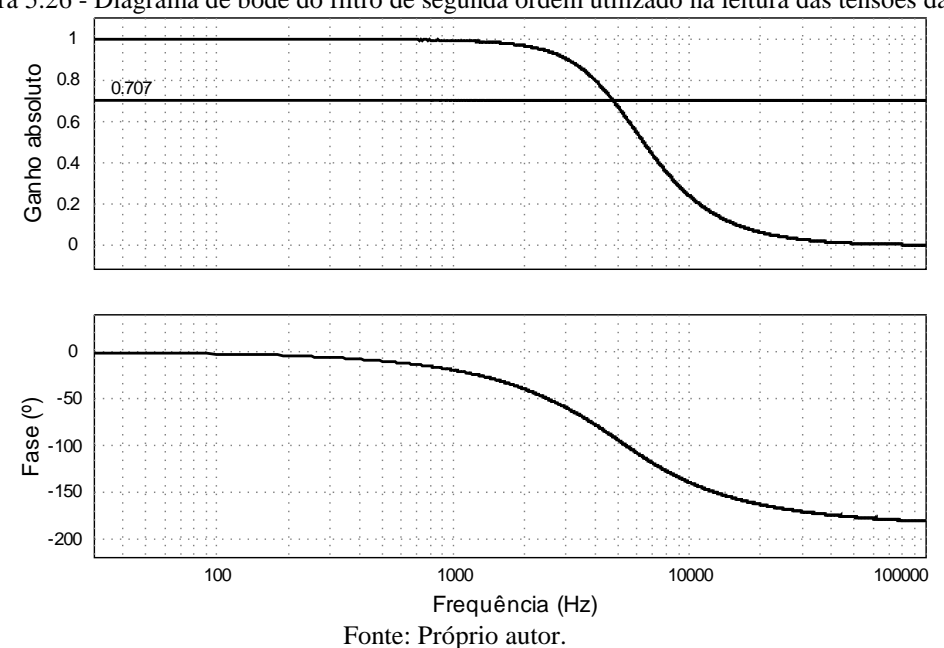


Figura 5.26 - Diagrama de bode do filtro de segunda ordem utilizado na leitura das tensões da rede.

# 5.2.1.6 Sensor e filtro de tensão contínua do link DC do lado do inversor

O sensor utilizado para realizar a leitura das tensões da rede segue a topologia apresentada na Figura 5.17 o qual é composto por um divisor resistivo seguido por um filtro de segunda ordem.

O ganho  $G_{sensor,Vdc,i}$  é dado por:

$$G_{sensor,Vdc,i} = \frac{R10,i}{R9,i} \tag{5.37}$$

E a saída do sensor é dada por:

$$Vdc, i' = G_{sensor, Vdc, i} \cdot Vdc$$
 (5.38)

Deseja-se ler tensões entre 0 e 800 V, e fornecer ao microcontrolador tensões entre 0 e 3,3 V. O ganho desejado  $G_{sensor,Vdc,i}$  deve ser então de 4,125 m. Adota-se R10,i igual a 10 k $\Omega$  e obtém-se R9,i de 800 k $\Omega$ , o que é alcançado com uma associação de resistores.

Projeta-se o filtro de segunda ordem conforme descrito anteriormente:

$$\omega_n = 2 \cdot \pi \cdot f_c = \frac{1}{R11, i \cdot \sqrt{C6, i \cdot C7, i}}$$
(5.39)

$$\xi = \sqrt{\frac{C6, i}{C7, i}} \tag{5.40}$$

Deseja-se uma frequência de corte  $f_c$  de 1,8 kHz e o fator de amortecimento de 0,707. Fazendo-se C6,i igual a 5,6 nF, calcula-se:

$$C7, i = \frac{C6, i}{\xi^2} = 11,197nF \tag{5.41}$$

$$R11, i = \frac{1}{2 \cdot \pi \cdot f_c \cdot \sqrt{C6, i \cdot C7, i}} = \frac{1}{2 \cdot \pi \cdot 1800 \cdot \sqrt{C6, i \cdot C7, i}} = 11,166k\Omega \Rightarrow 10k\Omega \quad (5.42)$$

Ao adotar R11,i igual a 10 k $\Omega$ , o valor da frequência de corte aumenta para aproximadamente 11 kHz, então diminui-se o valor de C7,i para 5,6 nF.

A função de transferência do filtro é dada por:

$$H_{sensor,Vdc,i}(s) = \frac{\omega_n^2}{s^2 + 2 \cdot \xi \cdot \omega_n \cdot s + \omega_n^2}$$

$$H_{sensor,Vdc,i}(s) = \frac{\frac{1}{R11, i^2 \cdot C6, i \cdot C7, i}}{s^2 + \frac{2}{C7, i \cdot R11, i} \cdot s + \frac{1}{R11, i^2 \cdot C6, i \cdot C7, i}}$$
(5.43)

Cujo diagrama de bode pode ser visto na Figura 5.27. Observa-se que a frequência de corte  $f_c$  é de 1,8 kHz.

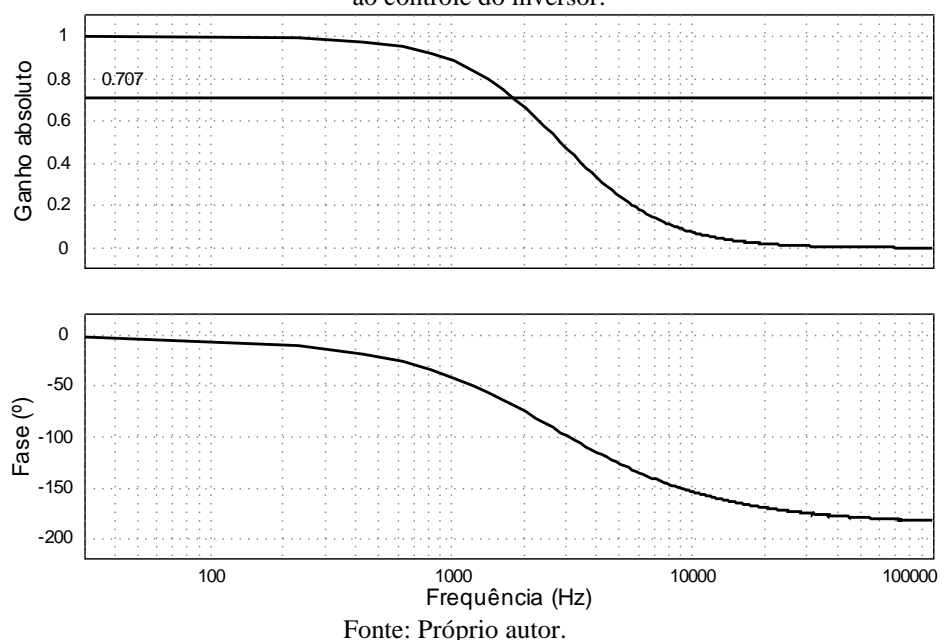


Figura 5.27 - Diagrama de bode do filtro de segunda ordem utilizado na leitura da tensão do link DC e enviada ao controle do inversor.

### 5.2.2 Semicondutores e drivers

No Apêndice A e no Apêndice B são apresentados os cálculos dos esforços de corrente no semicondutores utilizados no retificador e no inversor. Conforme pode ser visto na Tabela A-1 e na Tabela A-2, os valores médio e eficaz das correntes são baixos quando comparados aos valores nominais dos semicondutores que suportam tensão reversa maior ou igual a  $V_{dc}$ .

Optou-se pelo uso do diodo Schottky SiC (*Silicon Carbide*) fabricado pela CREE C4D05120A, o qual suporta tensão reversa de 1200 V e corrente direta de 8 A, para ser utilizado no retificador ( $D_{1,a}$ ,  $D_{2,a}$ ,  $D_{1,b}$ ,  $D_{2,b}$ ,  $D_{1,c}$ ,  $D_{2,c}$ ).

Como interruptores do retificador ( $S_{I,a}$ ,  $S_{2,a}$ ,  $S_{I,b}$ ,  $S_{2,b}$ ,  $S_{1,c}$ ,  $S_{2,c}$ ) foram utilizados semicondutores do tipo IGBT (*Insulated Gate Bipolar Transistor*) IRG4PF50WD fabricados pela *International Rectifier* o qual suporta tensões reversas de 900 V e correntes contínuas de 28 A. Este IGBT (o qual apresenta como benefícios baixas perdas por condução, redução de ruídos e interferências eletromagnéticas) possui um diodo de recuperação ultra rápida suave que suporta correntes contínuas de 16 A.

Em função da vantagem apresentada pelo retificador ao possuir todos os interruptores com terminal emissor comum, não são necessários drivers de acionamento isolados nem com proteções avançadas (não há a possibilidade de curto-circuito de braço, por exemplo). Utilizou-se o driver duplo MC33152 fabricado pela *On Semicondutor*, o qual

apresenta o esquema de ligação interno da Figura 5.28. Os sinais lógicos advém do microcontrolador (níveis lógicos de 0 - 5 V) e gatilham o IGBT com sinais com níveis lógicos de 0 - 15 V (Valor da alimentação do driver).

Na Figura 5.28 também pode ser visto o esquema de ligação entre o driver e o IGBT. São adicionados apenas o resistor de gatilho  $R_{g,r} = 11 \Omega$ , o resistor  $R_{pd,r} = 4.7 k\Omega$ , que garante o bloqueio do interruptor (resistor de *pull-down*), e o diodo zener  $D_{zr}$  em paralelo com os terminais *gate source*.

Para interruptores do inversor ( $S_1$ ,  $S_2$ ,  $S_3$ ,  $S_4$ ,  $S_5$  e  $S_6$ ), utilizaram-se os IGBTs GA35XCP12-247 fabricados pela GeneSic, os quais possuem diodos de roda livre com tecnologia SiC garantindo assim menores perdas por chaveamento. Tanto o IGBT quanto o diodo suportam tensões reversas de até 1200 V e correntes diretas de 35 A.

Fonte: Próprio autor.

Para o acionamento destes IGBTs, utilizou-se do driver duplo fabricado pela SEMIKRON SKHI 22BR (Figura 5.29) o qual apresenta: proteção de curto-circuito garantida através do monitoramento da tensão entre coletor e emissor ( $V_{CE}$ ); bloco de intertravamento entre o IGBT superior e inferior de um braço; isolação por meio de transformadores; proteção contra sub-tensão na alimentação (abaixo de 13 V em função de ser alimentado com 15 V); e saídas que notificam falhas.

Em função da necessidade de sinais lógicos com níveis 0 - 15 V para acionamento deste driver, o *buffer* SN7404 fabricado pela Texas Instruments foi utilizado para adequar os sinais lógicos advindos do microcontrolador (entre 0 - 5 V).

#### Figura 5.29 - Driver SEMIKRON SKHI 22BR.

Fonte: SEMIKRON (2008).

### 5.3 Projeto dos controladores e escolha dos microcontroladores de sinais

Nesta seção é detalhado o princípio de funcionamento das estratégias de controle utilizadas no estágio retificador e inversor assim como quais microcontroladores são designados para executar as tarefas requeridas por tais estratégias.

# 5.3.1 Estágio retificador

Em função da técnica de autocontrole ser mais simples e requerer menor capacidade de processamento, utiliza-se o DSC (*Digital Signal Controller*) dsPIC 30F4011 (Figura 5.30) de 16 bits e cuja velocidade de processamento pode atingir 30 MIPS (*Millions of Instructions Per Second*) fabricado pela Microchip para controlar os interruptores do retificador.

Este microcontrolador possui: 40 pinos (encapsulamento PDIP-40), dentre os quais se encontram os pinos de alimentação (0 - 5 V) e os pinos de I/O (*Input/Output*) com capacidade de fornecimento de até 25 mA; 3 módulos PWMs cada qual configurado para controlar uma fase do retificador; conversor A/D (Analógico/Digital) de 10 bits com 9 canais de entrada, dos quais são utilizados apenas 7 (leitura das três correntes  $I_{ga}$ ,  $I_{gb}$ ,  $I_{gc}$ , das três tensões  $E_a$ ,  $E_b$ ,  $E_c$  e do link DC  $V_{dc}$ ); módulo DSP (*Digital Signal Processor*), que consiste em um multiplicador de 17 bits x 17 bits com acumuladores de 40 bits e com capacidade de execução de instruções em um ciclo de *clock*, o qual será utilizado para viabilizar a execução da técnica de controle proposta.

Figura 5.30 - Microcontrolador dsPIC 30F4011.

Fonte: Microchip (2010).

De acordo com o MPPT utilizado (Equação (3.20)), é necessário aferir a frequência da tensões induzidas no gerador.

Para tal, um *timer* do microcontrolador é programado para gerar uma interrupção a cada  $\Delta$ =12 µs e, a cada vez que ocorre a interrupção, uma variável denominada *aux* sofre um incremento de um (aux = aux + 1).

Paralelamente, as tensões induzidas são lidas pelo conversor A/D com uma taxa de amostragem de 21 kHz e, conforme pode ser visto na Figura 5.31, são gerados os sinais  $ciclo\_a$ ,  $ciclo\_b$  e  $ciclo\_c$  que determinam digitalmente o comportamento das tensões induzidas ( $v_a(t)$ ,  $v_b(t)$  e  $v_c(t)$ ). Conforme vão se apresentando bordas de subida e descida destes sinais, determinam-se as variáveis  $un\_a\_up$ ,  $un\_a\_down$ ,  $un\_b\_up$ ,  $un\_b\_down$ ,  $un\_c\_up$  e  $un\_c\_down$ . Quando, por exemplo, é detectada uma borda de subida no sinal  $ciclo\_a$ , o valor da variável aux é armazenado na variável  $un\_a\_up$  e aux é zerado para que possa iniciar a contagem novamente. Quando é detectada uma borda de descida no sinal  $ciclo\_a$ , o valor da variável aux é armazenado na variável  $un\_a\_down$  e aux é novamente zerada. E assim para as demais fases, ou seja, as variáveis  $un\_a\_up$ ,  $un\_a\_down$ ,  $un\_b\_up$ ,  $un\_b\_down$ ,  $un\_c\_up$  e  $un\_c\_down$  contêm, cada uma, uma fração de unidades do período  $T_g$ , o qual é definido como:

$$T_{g} = \frac{1}{f_{\sigma}} = \Delta \cdot (un\_tempo) \tag{5.44}$$

Sendo:

$$un\_tempo = un\_a\_up + un\_a\_down + ...$$

$$+ un\_b\_up + un\_b\_down + ...$$

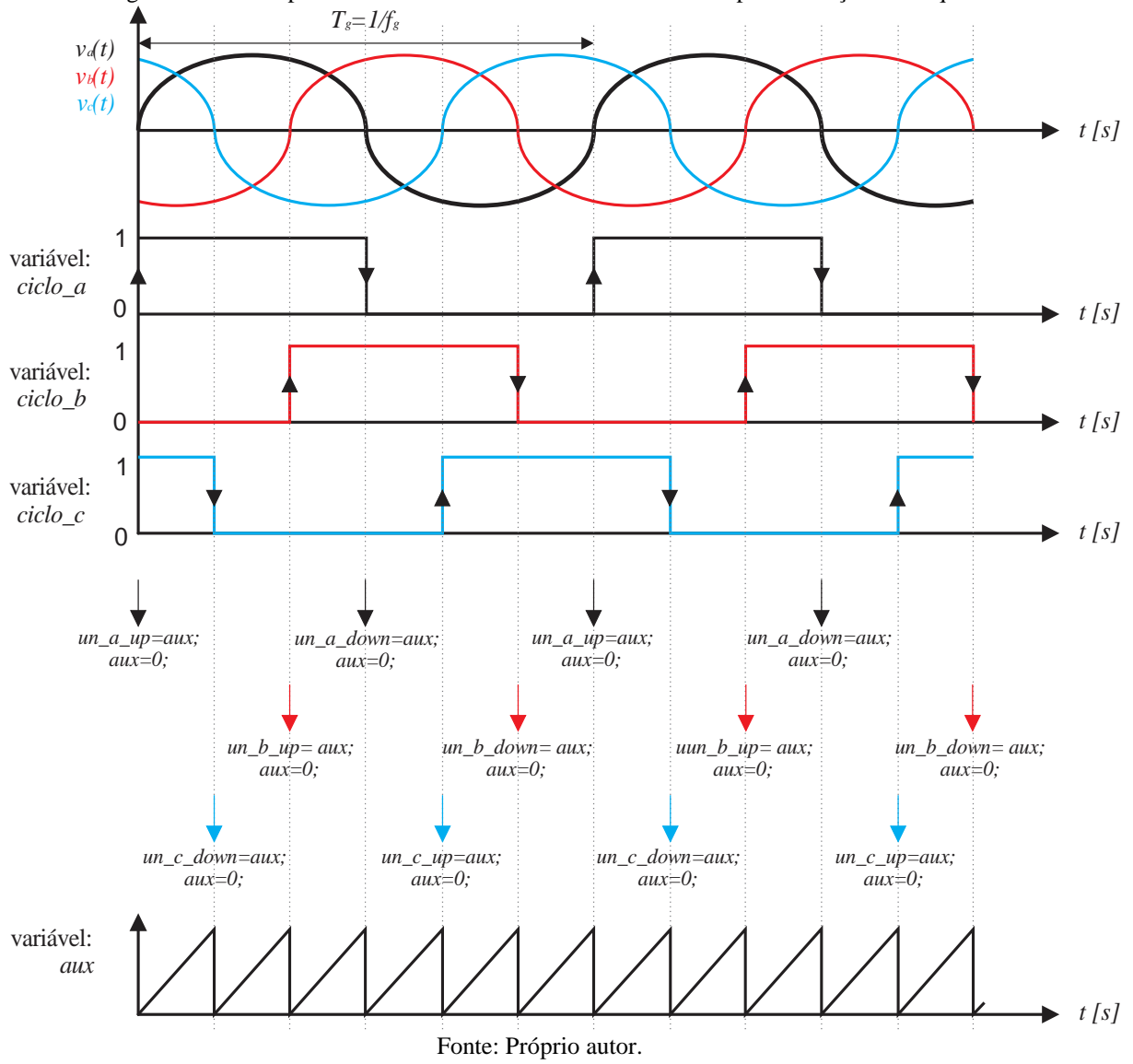
$$+ un\_c\_up + un\_c\_down$$
(5.45)

Assim, reescreve-se a função do autocontrole em termos da variável *un\_tempo*:

$$k_{i(mppt)} = \left(\frac{3 \cdot k_{\omega}^{2} \cdot 30 \cdot p}{2 \cdot R_{sh} \cdot \text{mod} \cdot V_{dc} \cdot k_{\delta timo} \cdot 120 \cdot \pi}\right) \cdot \frac{1}{f_{g}}$$

$$k_{i(mppt)} = \left(\frac{3 \cdot k_{\omega}^{2} \cdot 30 \cdot p \cdot \Delta}{2 \cdot R_{sh} \cdot \text{mod} \cdot V_{dc} \cdot k_{\delta timo} \cdot 120 \cdot \pi}\right) \cdot (un\_tempo)$$
(5.46)

Figura 5.31 - Comportamento das variáveis do dsPIC utilizadas para detecção de frequência.



Calculado o valor de  $k_{i(mppt)}$ , determinam-se os sinais modulantes (dga, dgb e dgc) que, após passar pelo módulo PWM, definem os sinais de gatilho do conversor ( $vg_{SI,a}$ ,  $vg_{S2,a}$ ,  $vg_{S1,b}$ ,  $vg_{S2,b}$ ,  $vg_{S1,c}$ , e  $vg_{S2,c}$ ):

$$dga = k_{i(mppt)} \cdot I'_{ga}(t)_{retificado}$$

$$dga = k_{i(mppt)} \cdot \left(I_{ga_{AD_{retificado}}} / H_{A/D}\right)$$

$$dga = \left(\frac{3 \cdot k_{\omega}^{2} \cdot 30 \cdot p \cdot \Delta}{2 \cdot R_{sh} \cdot \left(1 / V_{pk}\right) \cdot V_{dc} \cdot k_{\acute{o}timo} \cdot 120 \cdot \pi \cdot H_{A/D}}\right) \cdot (un\_tempo) \cdot I_{ga_{AD_{retificado}}}$$
(5.47)

Como pode ser visto, o sinal modulante é definido em função da variável  $I_{gaAD}$ , a qual é igual a  $I'_{ga}(t).H_{A/D}$ . O ganho do conversor A/D  $H_{A/D}$  é definido de acordo com a quantidade de bits disponível no módulo de conversão e faixa de tensão o qual é capaz de converter:

$$H_{A/D} = \frac{2^{10bits} - 1}{5V} = \frac{1023}{5} \tag{5.48}$$

Calcula-se o valor de pico da portadora utilizada no dsPIC,  $V_{pk}$ , em função da frequência do PWM desejada  $f_{PWM}$ , da frequência de operação do microcontrolador  $f_{cy}$  e do divisor de frequência interno do módulo PWM *prescaler* (MICROCHIP, 2010):

$$PxPTPER = \frac{f_{cy}}{f_{PWM} \cdot prescaler \cdot 2} - 1 = \frac{30MHz}{21kHz \cdot 1 \cdot 2} - 1 = 713$$

$$V_{pk} = 2 \cdot PxPTPER = 1426$$
(5.49)

Substituindo-se os valores das variáveis na Equação (5.47), encontra-se a Equação (5.50) final que é executada pelo microcontrolador a qual é responsável por garantir a máxima transferência de potência utilizando a técnica de autocontrole:

$$\begin{split} dga &= 0,005881924 \cdot (un\_tempo) \cdot I_{ga_{AD_{retificado}}} \\ dgb &= 0,005881924 \cdot (un\_tempo) \cdot I_{gb_{AD_{retificado}}} \\ dgc &= 0,005881924 \cdot (un\_tempo) \cdot I_{gc_{AD_{retificado}}} \end{split} \tag{5.50}$$

### 5.3.2 Estágio inversor

O controle do inversor é realizado pelo DSP TMS320F28377S-PZP de 16 bits e cuja velocidade de processamento pode atingir 200 MIPS fabricado pela Texas Instruments.

Este microprocessador possui: 100 pinos dentre os quais se encontram os pinos de alimentação (0 - 3,3 V) e os 41 pinos de I/O; conversor A/D, que pode ser configurado para operar com resolução de 12 ou 16 bits e com capacidade de 3,5 MSPS (Million Sample Per Second) ou 1,1 MSPS quando configurado para 12 ou 16 bits, respectivamente; 15 módulos PWM; CPU (Central Processing Unit) com FPU (Floating Point Unit); e um bloco programável TMU (Trigonometric Math Unit) que garante a execução mais eficiente das operações aritméticas e trigonométricas.

A utilização deste DSP se dá por intermédio de um kit de desenvolvimento LAUNCHXL-F28377S (Figura 5.32) também produzido pela Texas Instruments, cujo esquema de ligação pode ser verificado na Figura 5.33.



Figura 5.32 - Kit de desenvolvimento LAUNCHXL-F28377S.

Fonte: Próprio autor.

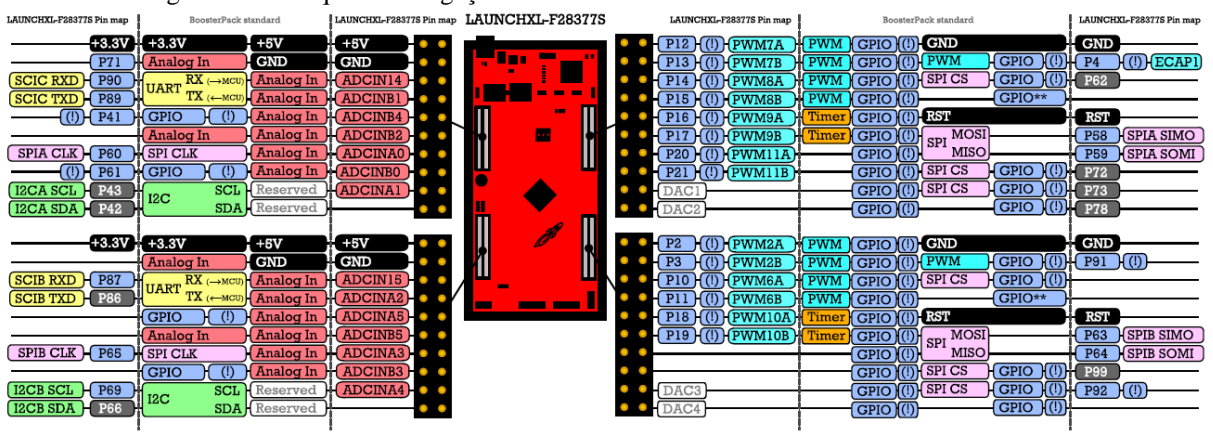


Figura 5.33 - Esquema de ligação do kit de desenvolvimento LAUNCHXL-F28377S.

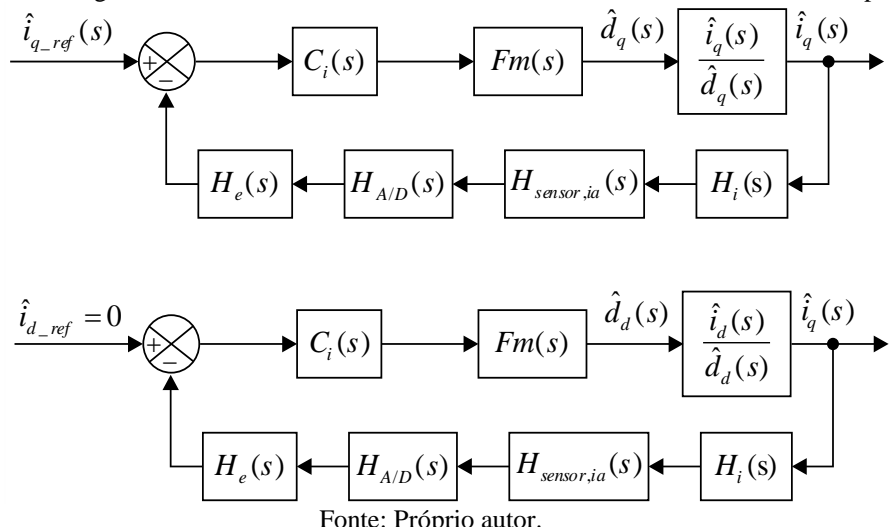
Fonte: Texas Instruments (2015).

Este microcontrolador realiza o controle das correntes de eixo direto  $i_d(s)$  e em quadratura  $i_q(s)$  e da tensão no link DC  $v_{dc}(s)$ , cujo projeto dos controladores serão apresentados a seguir.

# 5.3.2.1 Projeto do controlador de corrente

A Figura 5.34 apresenta o diagrama de blocos do sistema de controle das correntes  $i_d(s)$  e  $i_q(s)$ . Como pode ser visto, o mesmo controlador  $C_i(s)$  é utilizado nos dois *loops* de controle, consequência do fato das funções de transferências  $i_q(s)/d_q(s)$  e  $i_d(s)/d_d(s)$  serem iguais.

Figura 5.34 - Diagrama de blocos do sistema realimentado com malha de corrente no tempo contínuo.



A função de transferência da planta depende da tensão no link DC ( $V_{dc} = 700 \text{ V}$ ) e do valor das indutâncias de filtro (L = 2mH):

$$C_i(s) = \frac{\hat{i}_q(s)}{\hat{d}_q(s)} = \frac{V_{dc}}{s \cdot L + r_L}$$
 (5.51)

A função do filtro de corrente:

$$H_{sensor,ia}(s) = \frac{\frac{1}{R4, i^2 \cdot C2, i \cdot C3, i}}{s^2 + \frac{2}{C2, i \cdot R4, i} \cdot s + \frac{1}{R4, i^2 \cdot C2, i \cdot C3, i}}$$
(5.52)

Sendo C2,i e C3,i iguais a 1 nF e R4,i igual a 10 k $\Omega$  conforme dimensionado na Seção 5.2.1.4.

A função de amostragem  $H_e(s)$ , que modela o efeito da comutação na malha de corrente, é dada por (TOFOLI; PEREIRA; PAULA, 2014):

$$H_e(s) = 1 + \frac{s}{\omega_z \cdot Q_z} + \frac{s^2}{\omega_z^2}$$
 (5.53)

Sendo:

$$\omega_z = \pi \cdot f_s \tag{5.54}$$

$$Q_z = -\frac{2}{\pi} \tag{5.55}$$

E a frequência de chaveamento  $f_s$  de 21 kHz.

Optou-se por projetar o controlador considerando correntes com valores reais. Ou seja:

$$H_i(s) = H_{A/D}(s) = 1$$
 (5.56)

O mesmo é feito com a função de transferência do modulador  $F_m(s)$  (desconsiderase o ganho do módulo PWM):

$$F_m(s) = \frac{1}{V_{nk}} = \frac{1}{3,3V} \tag{5.57}$$

Determinadas as funções de transferência, calcula-se a função de transferência de laço aberto sem compensador de corrente, cujo lugar das raízes pode ser verificado na Figura 5.35:

$$FTLA_{sci}(s) = F_m(s) \cdot H_e(s) \cdot H_i(s) \cdot H_{A/D}(s) \cdot H_{sensor,ia}(s) \cdot \frac{\hat{i}_q(s)}{\hat{d}_q(s)}$$
(5.58)

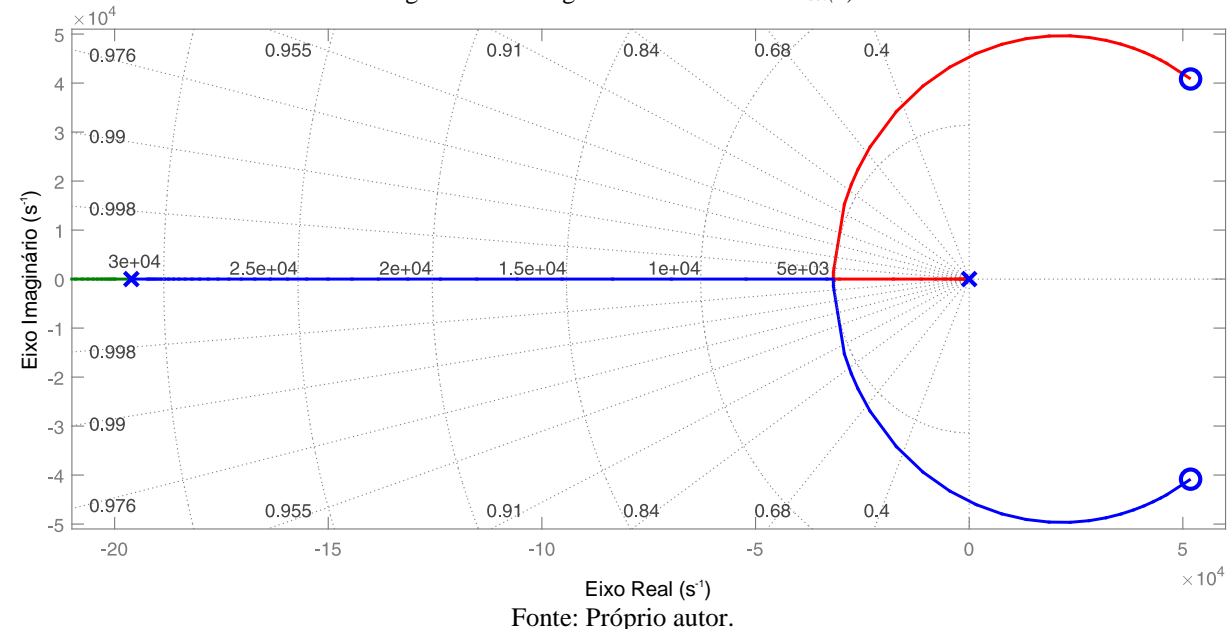


Figura 5.35 – Lugar das raízes de *FTLA<sub>sci</sub>(s)*.

Escolhe-se uma frequência de cruzamento elevada o suficiente para se ter uma boa resposta transitória e baixa o suficiente para evitar a instabilidade sub-harmônica e ruídos de amplificação. Geralmente, adota-se menor que um quarto da frequência de chaveamento e, para este projeto, adotou-se um sétimo:

$$f_{ci} = \frac{1}{7} \cdot f_s = 3kHz \tag{5.59}$$

Quanto à margem de fase, a literatura recomenda mantê-la entre 45° e 90° (BARBI, 2007). Deseja-se uma margem de fase *MF* de 60°. Então com o auxílio do *software* MATLAB, projeta-se um controlador do tipo PI (Proporcional Integral):

$$C_i(s) = k_p + \frac{k_p}{T_i \cdot s} = k_p + \frac{k_i}{s} = 0,1755 + \frac{57,8815}{s}$$
 (5.60)

Assim, tem-se a função de transferência de laço aberto com compensador de corrente  $FTLA_{cci}(s)$  dada por:

$$FTLA_{cci}(s) = C_i(s) \cdot F_m(s) \cdot H_e(s) \cdot H_i(s) \cdot H_{A/D}(s) \cdot H_{sensor,ia}(s) \cdot \frac{\hat{i}_q(s)}{\hat{d}_q(s)}$$
(5.61)

Na Figura 5.36 pode ser conferido o lugar das raízes da *FTLA<sub>cci</sub>(s)* e na Figura 5.37 estão presentes os diagramas de bode da função de transferência de laço aberto com e sem o compensador de corrente projetado. Observa-se que a frequência de cruzamento está localizada em 3 kHz e a margem de fase alcançada foi de 52,1°.

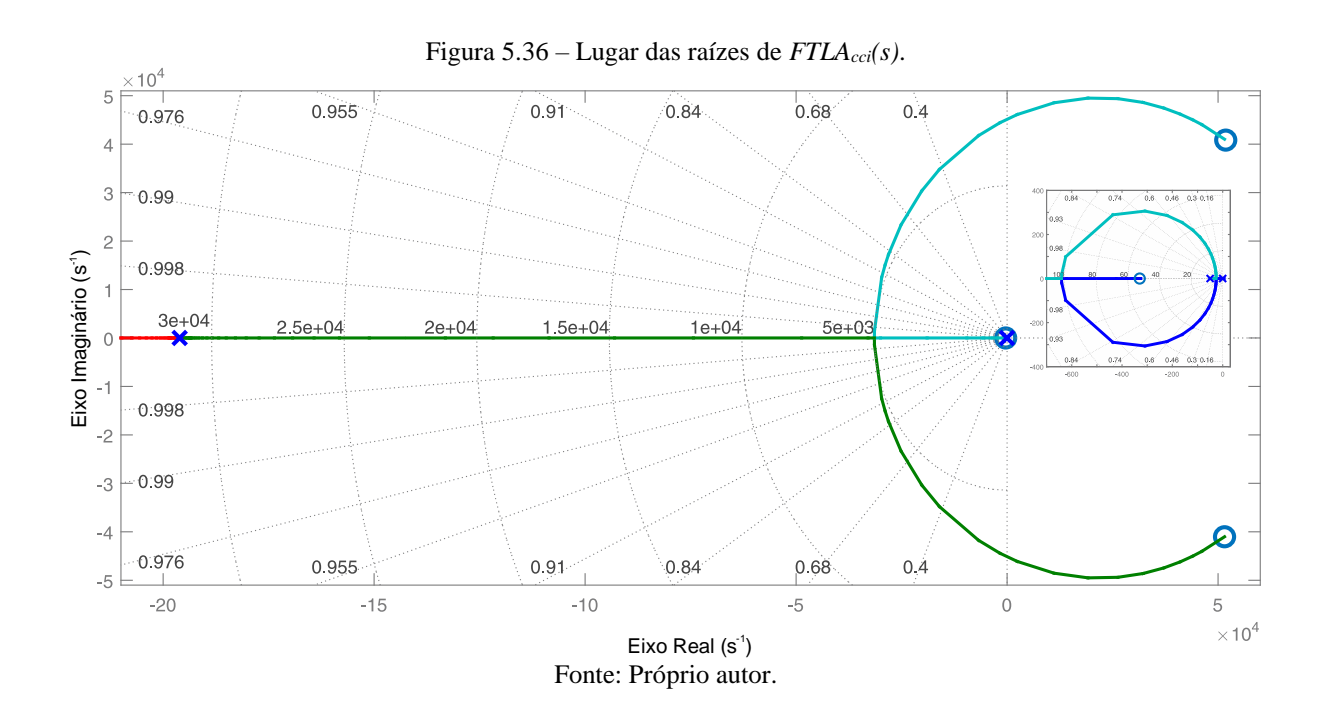


Figura 5.37 - Diagrama de bode das funções de transferência de laço aberto sem e com compensador de corrente. 100 FTLAcci(s) 80 Ganho (dB) 60  $\overrightarrow{FTLAsci}(s)$ 40 20 System: FTLAcci Frequency (Hz): 3e+003 -20 Magnitude (dB): 0 FTLAsci(s) -90 FTLAcci(s) MF=52,1227° Fase (°) -360 100 10<sup>5</sup> 10 10 10 10 10 Frequência (Hz) Fonte: Próprio autor.

O sistema é amostrado com o dobro da frequência de chaveamento. Logo, tem-se:

$$T_{amostragem} = \frac{1}{f_{amostragem}} = \frac{1}{2 \cdot f_s} = \frac{1}{2 \cdot 21kHz}$$
 (5.62)

A partir da qual será feita a discretização do controlador de corrente  $C_i(s)$  utilizando o método *Forward Euler* (BUSO; MATTAVELLI, 2006):

$$C_{i}(s) = k_{p} + \frac{k_{i}}{s} = 0,1755 + \frac{57,8815}{s}$$

$$C_{i}(z) = k_{p} + \frac{k_{i}}{\left(\frac{z-1}{T_{amostragem}}\right)} = \frac{0,1755 \cdot z - 0,1741}{z-1}$$
(5.63)

Por fim, a partir da Equação (5.63), são obtidas as equações diferenças que serão utilizadas no microcontrolador:

$$u(k) = u(k-1) + 0.1755 \cdot e(k) - 0.1741 \cdot e(k-1)$$
(5.64)

Onde u(k) e u(k-1) são as ações de controle atual e anterior, respectivamente, e e(k) e e(k-1) são os erros atual e anterior, respectivamente, no tempo  $t = k.T_{amostragem}$ .

#### 5.3.2.2 Projeto do controlador de tensão

A Figura 5.38 apresenta o diagrama de blocos do sistema de controle, que define qual o valor de corrente  $i_{q\_ref}(s)$  deve circular no inversor de modo a se ter a tensão do link DC igual ao valor de referência.

A função de transferência da planta depende apenas da capacitância no link DC ( $C_{bus} = 1 \ mF$ ):

$$C_{v}(s) = \frac{\hat{v}_{dc}(s)}{\hat{i}_{a}(s)} = \frac{1}{s \cdot C_{bus}}$$
 (5.65)

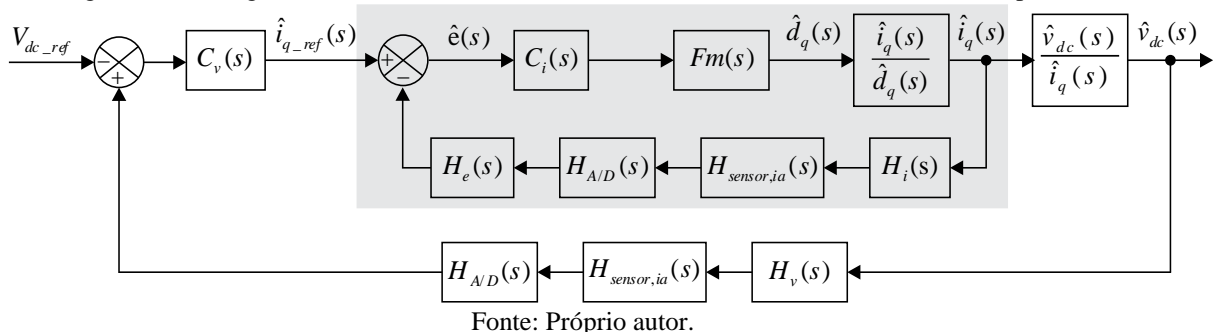


Figura 5.38 - Diagrama de blocos do sistema realimentado com malha de corrente no tempo contínuo.

O sinal de negativo da função de transferência foi retirado e foi invertida a lógica no diagrama de blocos: o valor de referência de tensão é subtraído do valor realimentado. Facilitar o projeto do controlador é o motivo da inversão, que não altera o princípio de funcionamento do sistema (quando a tensão no barramento está maior que o valor de referência, o erro é positivo e a ação de controle atua aumentando o valor de  $i_{q\_ref}(s)$ , ou seja, a tensão começa a diminuir).

A função do filtro de tensão é dada por:

$$H_{sensor,Vdc,i}(s) = \frac{\frac{1}{R11,i^2 \cdot C6, i \cdot C7, i}}{s^2 + \frac{2}{C7, i \cdot R11, i} \cdot s + \frac{1}{R11,i^2 \cdot C6, i \cdot C7, i}}$$
(5.66)

Sendo C6,i e C7,i iguais a 5,6 nF e R11,i igual a 10 k $\Omega$  conforme dimensionado na Seção 5.2.1.6.

A função de transferência do sensor resistivo de tensão é dada por:

$$H_{v}(s) = G_{sensor, Vdc, i} = \frac{R10, i}{R9 \ i}$$
 (5.67)

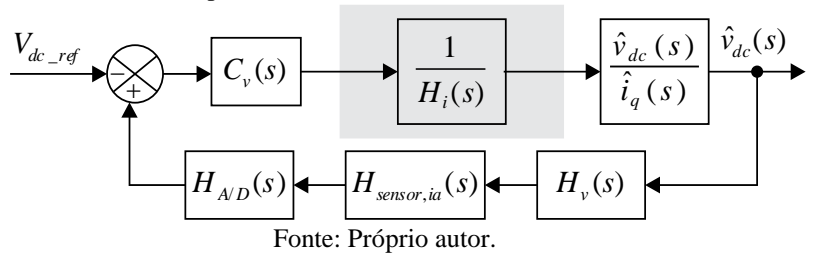
Sendo R10,i igual a  $10 \text{ k}\Omega$  e R9,i igual a  $800 \text{ k}\Omega$ .

A função de transferência do módulo A/D é dada por:

$$H_{A/D} = \frac{2^{12bits} - 1}{3.3V} = \frac{4095}{3.3} \tag{5.68}$$

A frequência de cruzamento do sistema de controle da malha externa (tensão) deve ser baixa para evitar distorções na corrente, além de que a frequência de cruzamento da malha interna (corrente) deve ser alta para desacoplar as duas malhas de controle e assim ter o sistema representado pelo diagrama de blocos da Figura 5.39. Conforme pode ser visto, a malha de corrente é aproximada por um ganho dado por  $1/H_i(s)$ .

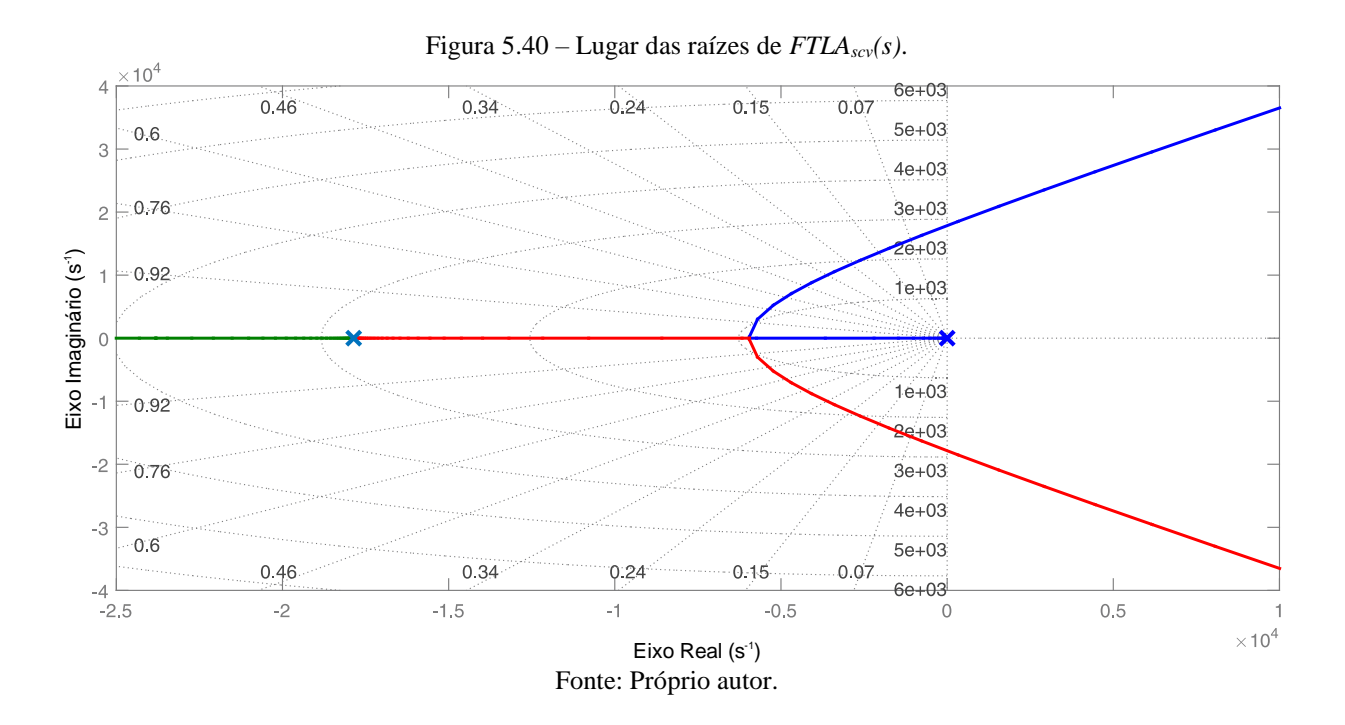
Figura 5.39 - Diagrama de blocos simplificado do sistema realimentado com malha de tensão no tempo contínuo.



Para o sistema exposto, tem-se a função de transferência de laço aberto sem compensador de tensão, cujo lugar das raízes pode ser conferido na Figura 5.40:

$$FTLA_{scv}(s) = \frac{1}{H_{i}(s)} \cdot H_{v}(s) \cdot H_{A/D}(s) \cdot H_{sensor,ia}(s) \cdot \frac{\hat{v}_{dc}(s)}{\hat{i}_{a}(s)}$$

$$(5.69)$$



Em função do comentário exposto anteriormente, escolhe-se a frequência de cruzamento:

$$f_{cv} = 12Hz \tag{5.70}$$

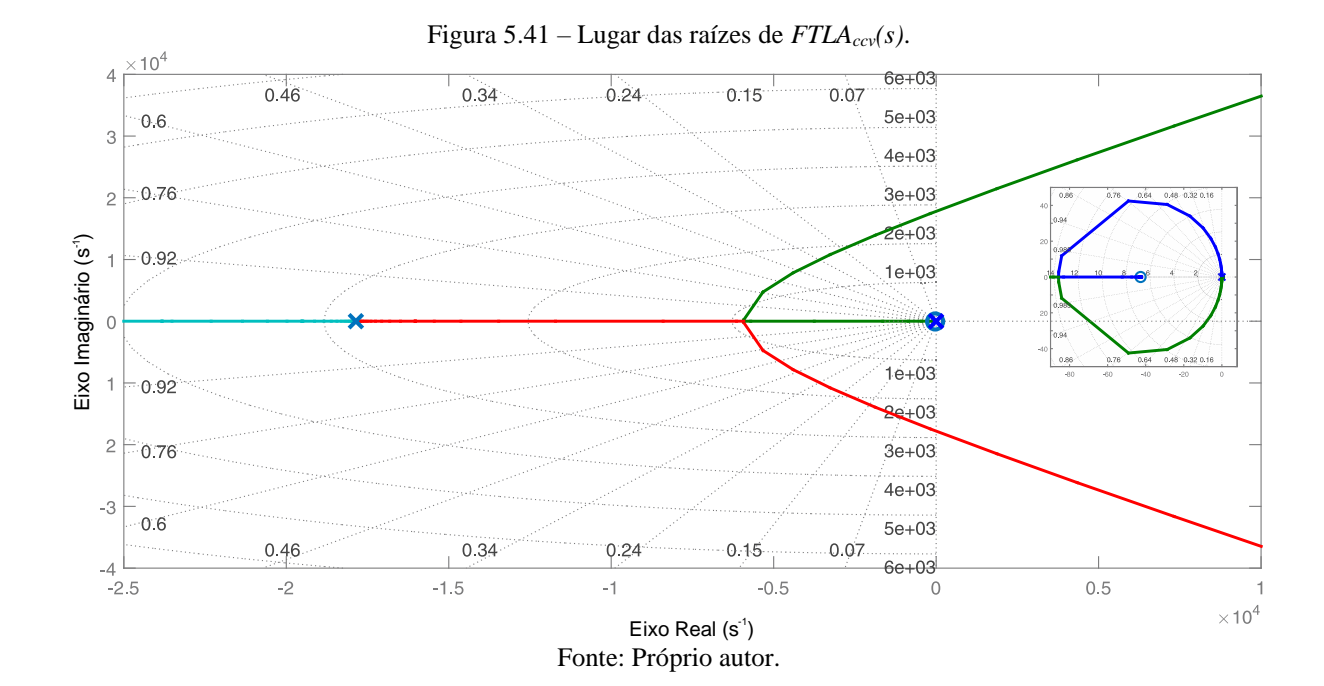
E novamente uma margem de fase *MF* de 60°. Então, com o auxílio do *software* MATLAB, projeta-se o controlador do tipo PI (Proporcional Integral):

$$C_{v}(s) = k_{p} + \frac{k_{p}}{T_{i} \cdot s} = k_{p} + \frac{k_{i}}{s} = 0.0128 + \frac{0.5472}{s}$$
 (5.71)

A função de transferência de laço aberto com compensador de tensão  $FTLA_{ccv}(s)$  é dada por:

$$FTLA_{ccv}(s) = C_{v}(s) \cdot FTLA_{scv}(s) = \frac{1}{H_{i}(s)} \cdot H_{v}(s) \cdot H_{A/D}(s) \cdot H_{sensor,ia}(s) \cdot \frac{\hat{v}_{dc}(s)}{\hat{i}_{a}(s)}$$
(5.72)

Na Figura 5.41 pode ser conferido o lugar das raízes de  $FTLA_{ccv}(s)$  e na Figura 5.42 estão presentes os diagramas de bode da função de transferência de laço aberto com e sem o compensador de tensão projetado. Observa-se que a frequência de cruzamento está localizada em 12 Hz e a margem de fase alcançada foi de  $60^{\circ}$ .



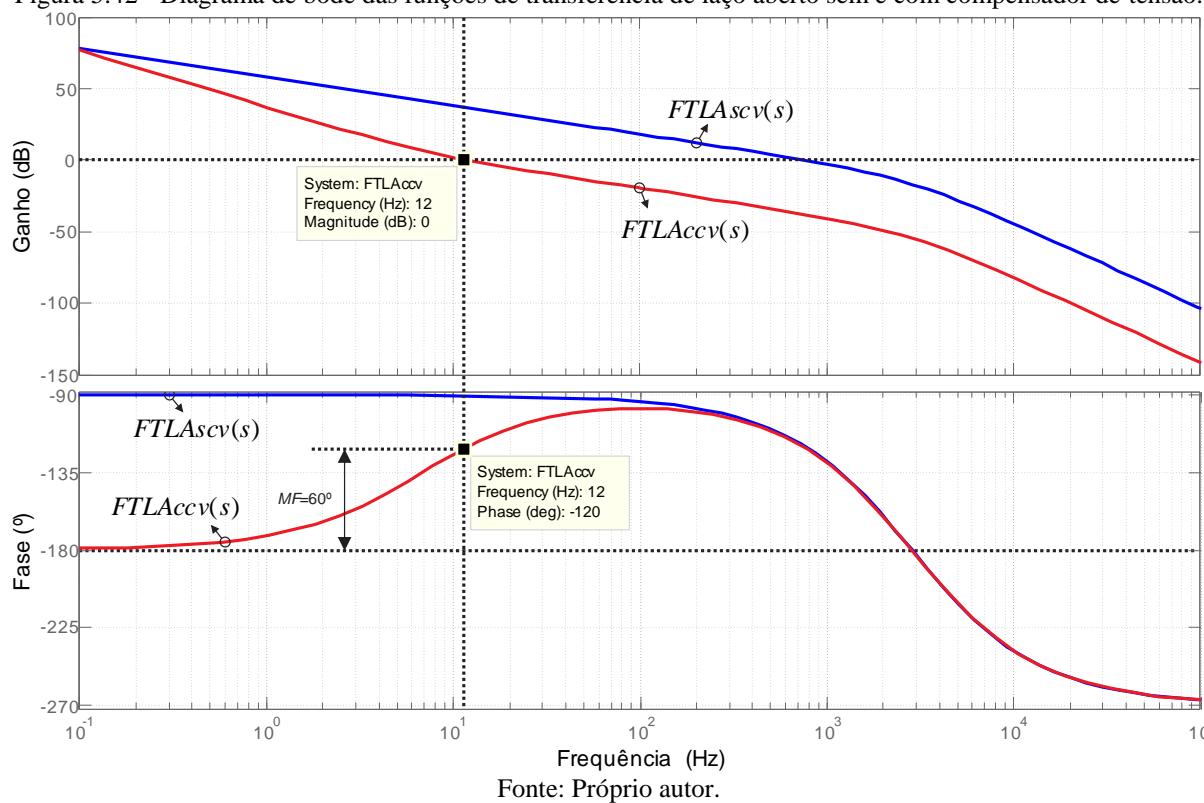


Figura 5.42 - Diagrama de bode das funções de transferência de laço aberto sem e com compensador de tensão.

O filtro utilizado na leitura desta tensão foi sintonizado com uma frequência de corte de 1,8kHz. A fim de não violar o teorema de Shannon (BUSO; MATTAVELLI, 2006), deve-se adotar uma frequência de amostragem maior ou igual ao dobro da frequência de corte deste filtro:

$$f_{amostragem} = 4, 2kHz \Rightarrow T_{amostragem} = \frac{1}{f_{amostragem}} = \frac{1}{4, 2kHz}$$
 (5.73)

Utiliza-se do método de *Forward Euler* (BUSO; MATTAVELLI, 2006) e discretiza-se o controlador de tensão  $C_v(s)$ :

$$C_{v}(s) = k_{p} + \frac{k_{i}}{s} = 0,0128 + \frac{0,5472}{s}$$

$$C_{i}(z) = k_{p} + \frac{k_{i}}{\left(\frac{z - 1}{T_{amostragem}}\right)} = \frac{0,012818 \cdot z - 0,012688}{z - 1}$$
(5.74)

Por fim, a partir da Equação (5.74), são obtidas as equações diferenças que serão utilizadas no microcontrolador:

$$u(k) = u(k-1) + 0.012818 \cdot e(k) - 0.012688 \cdot e(k-1)$$
(5.75)

Onde u(k) e u(k-1) são as ações de controle atual e anterior, respectivamente, e e(k) e e(k-1) são os erros atual e anterior, respectivamente, no tempo  $t = k.T_{amostragem}$ .

#### 5.4 Resultados de Simulação

Simula-se o algoritmo de MPPT obedecendo a lei de controle apresentada pela Equação (5.50). De acordo com a Figura 5.5 (curva característica da turbina utilizada), para se ter máxima extração de potência em velocidades de vento iguais a 6 m/s, o controle deve impor uma corrente no gerador (ou seja, um torque resistente) tal que a velocidade da turbina passe a ser de 17,2 rad/s com potência mecânica extraída máxima de 1312 W. Para ventos de 8 m/s, a velocidade deve ser de 22,9 rad/s e a potência de 3111 W e para ventos de 10 m/s, uma velocidade angular de 28,6 rad/s.

Conforme pode ser visto na Figura 5.43, a qual apresenta a resposta do MPPT para vários degraus na velocidade do vento, há o rastreamento de máxima potência, visto que os valores são praticamente idênticos aos pontos de máxima destacados anteriormente e o coeficiente de potência segue se mantendo no seu valor máximo de 0,41.

Quando a velocidade do vento aumenta, o torque imposto pela turbina se torna maior que o torque resistente imposto pelo gerador, o que acarreta um aumento na velocidade angular da turbina. O algoritmo atua de modo a aumentar o torque resistente até o novo ponto de equilíbrio, quando a velocidade para de aumentar. Este aumento de torque se dá com o aumento da corrente no gerador, o que pode ser evidenciado na Figura 5.44, na qual foi dado destaque ao momento (t = 4s) em que houve degrau na velocidade do vento de 8 m/s para 10 m/s. O valor de pico da corrente que antes era de 4,28 A passa a ser de 6,63 A e o valor de tensão aumenta de 342,5 V<sub>rms</sub> para 431,7 V<sub>rms</sub>, devido à característica do gerador ( $E_{i,pico}=k_{o}$ ,  $\omega$ ). Com este aumento nos valores da corrente e da tensão, a potência elétrica processada pelo conversor aumenta de 2,83 kW para 5,80 kW. Como pode ser visto, estes valores são inferiores ao valor de potência mecânica em função das perdas nos enrolamentos do gerador, os quais possuem resistência de 10  $\Omega$ . Na condição nominal (ventos de 10 m/s) a THD de corrente alcançada é de 1,65% e o fator de potência de 0,997.

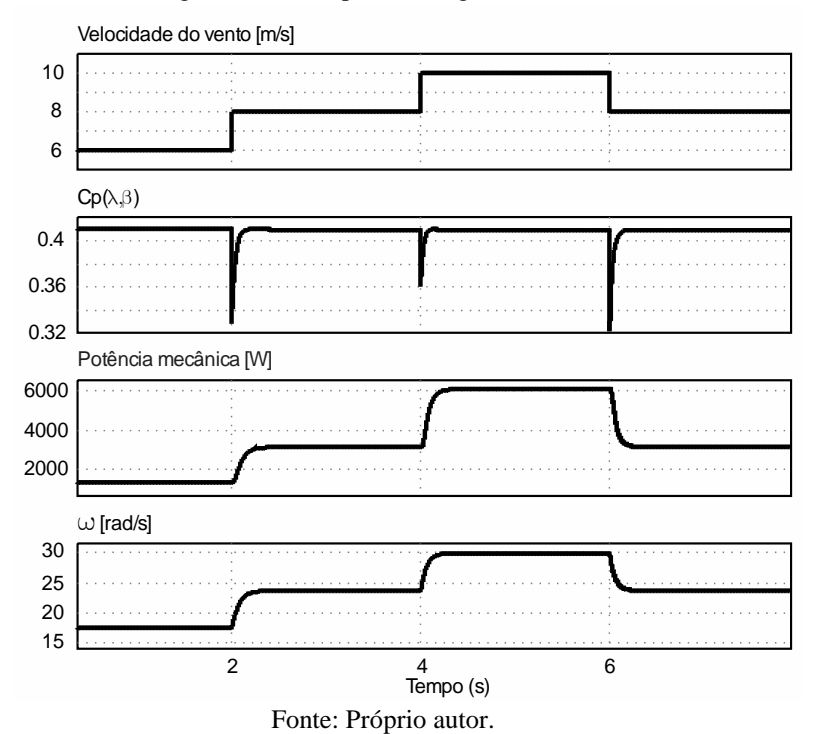
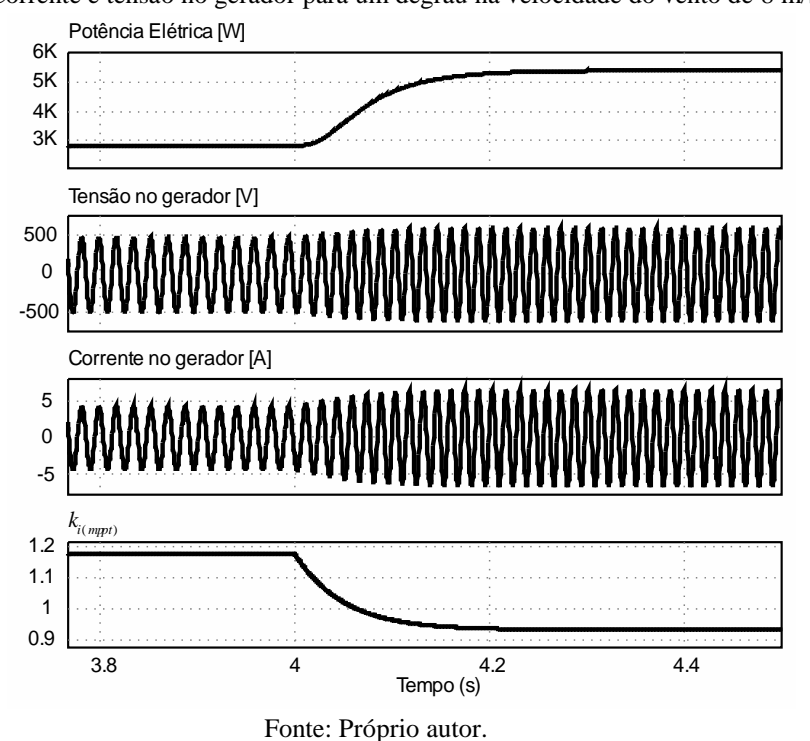


Figura 5.43 - Resposta do algoritmo de MPPT.

Figura 5.44 - Corrente e tensão no gerador para um degrau na velocidade do vento de 8 m/s para 10 m/s.



Para velocidades do vento superiores a 10 m/s, o rastreamento do máximo ponto de potência é desabilitado e o algoritmo de limitação da potência mecânica é ativado. A topologia

de controle utilizada para grampear a potência no valor nominal (Figura 2.25) possui uma malha

de velocidade interna, a qual foi validada aplicando-se uma referência fixa de 29 rad/s e um

degrau na velocidade do vento de 10 m/s para 12 m/s. A regulação é realizada com um *overshoot* praticamente desprezível, Figura 5.45.

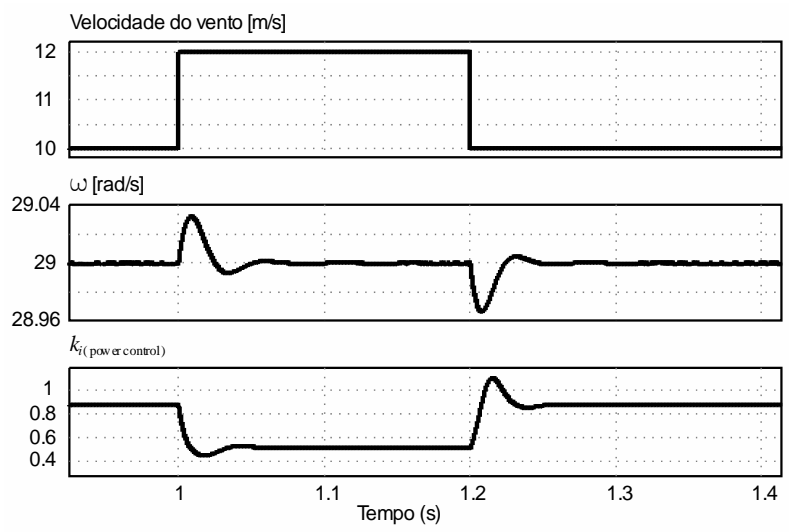


Figura 5.45 - Resposta dinâmica da malha de velocidade angular.

Fonte: Próprio autor.

Projeta-se a malha de potência e adota-se um valor de referência de 7 kW visto que, devido à perda de potência nos enrolamentos do gerador, é fornecido ao conversor aproximadamente 6 kW (valor de potência máximo para a qual foi projetado). Na Figura 5.46, confere-se a resposta desta malha de potência para um degrau de 20 m/s para 25 m/s (valores extremos de velocidade do vento para os quais jamais deveria haver rastreamento de máximo ponto de potência) e a potência mecânica é regulada em 7 kW, assim como a potência elétrica em 6 kW.

Deve-se ressaltar que o *overshoot* em destaque é desviado, na prática, por um circuito de proteção denominado *crowbar* presente no link DC, o qual consiste de um conjunto de resistências com alta densidade de dissipação de energia.

Com o propósito de apresentar a transição entre o algoritmo de rastreamento de máximo ponto de potência e o algoritmo de limitação de potência, fez-se uma simulação, Figura 5.47, com um perfil de vento mais abrangente. É possível observar qual valor de  $k_i$  ( $k_{i(mppt)}$ ) or  $k_{i(Pnominal)}$ ) está definindo a operação do sistema.

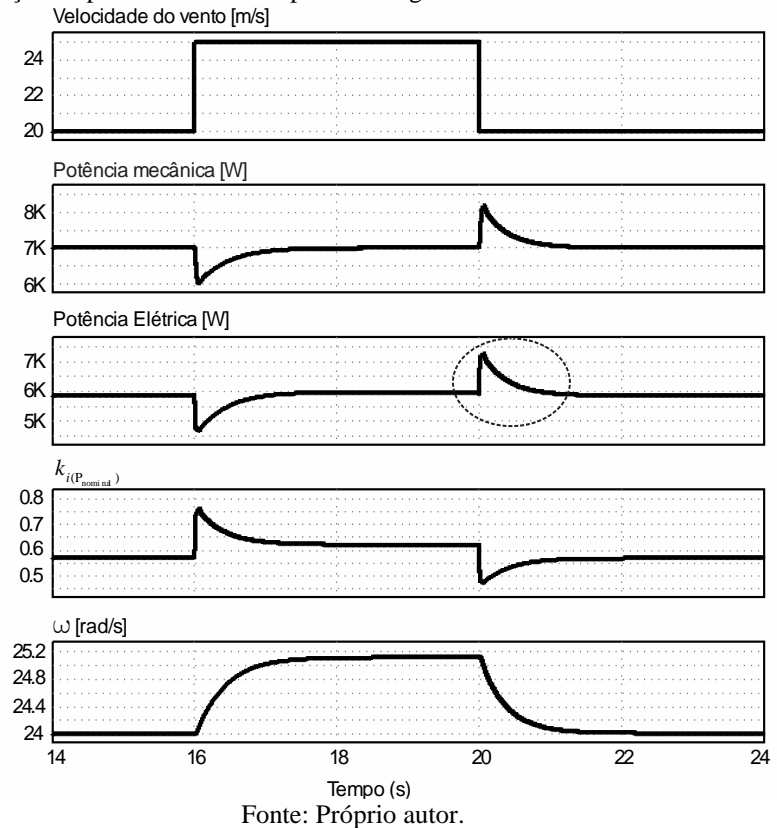
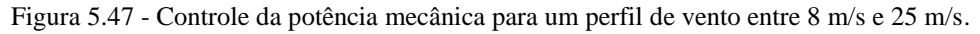
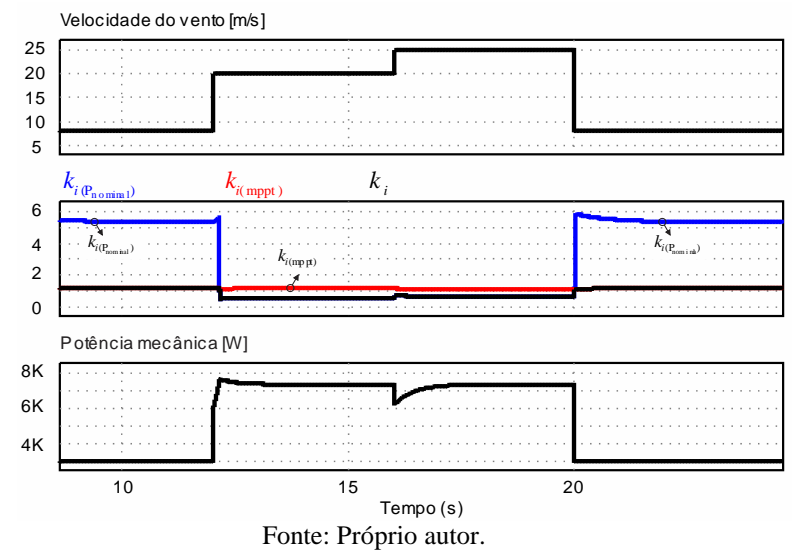


Figura 5.46 - Limitação da potência mecânica para um degrau na velocidade do vento de 20 m/s para 25 m/s.





Enquanto a velocidade do vento permanece igual a 8 m/s,  $k_i = k_{i(mppt)}$  e quando a velocidade do vento aumenta para 20 m/s,  $k_i$  passa a ser igual a  $k_{i(Pnominal)}$ . Isto ocorre devido ao fato da malha de limitação de potência passar a exigir do conversor um alto valor de corrente de forma a impor um torque resistente que inviabilize o aumento da velocidade angular da

turbina. Um alto valor de corrente implica em baixo valor de  $k_{i(Pnominal)}$  fazendo com que  $k_{i(Pnominal)} < k_{i(mppt)}$  e assim  $k_i = k_{i(Pnominal)}$ .

Quando a velocidade do vento diminui ao ponto da potência mecânica máxima que pode ser extraída ser inferior a potência de 7 kW, a malha de limitação de potência continua tentando manter a regulação e tenta reduzir o torque resistente do gerador para que a turbina assim possa aumentar a velocidade angular e a potência extraída. Diminuir o torque resistente é equivalente a drenar correntes menores, assim  $k_{i(Pnominal)}$  se eleva e passa a ser maior que  $k_{i(mppt)}$ , ou seja,  $k_i = k_{i(mppt)}$  e o algoritmo de rastreamento de potência dita o comportamento do sistema.

Apresentados os resultados experimentais do estágio AC-DC, passa a ser dado o foco ao inversor para o qual inicia-se simulando a malha de corrente cujo controlador foi projetado anteriormente. Na Figura 5.48, pode ser visto o comportamento dinâmico da malha de corrente para um degrau de referência na corrente de eixo em quadratura de  $I_{q\_ref} = 12.8A$  para  $I_{q\_ref} = -12.8A$  em t = 1s. Durante toda a simulação,  $I_{d\_ref} = 0$ , em outras palavras, sendo a tensão de fase da rede  $v_a = 220 \ V_{rms}$ , deseja-se injetar na rede uma potência ativa de 6 kW para t < 1s e absorver da rede a mesma potência para t > 1s.

Na condição nominal, alcançou-se um fator de potência de 0,999, uma THD de corrente de 4,4% e de 1,68% antes e depois do filtro de conexão com a rede, Figura 5.49.

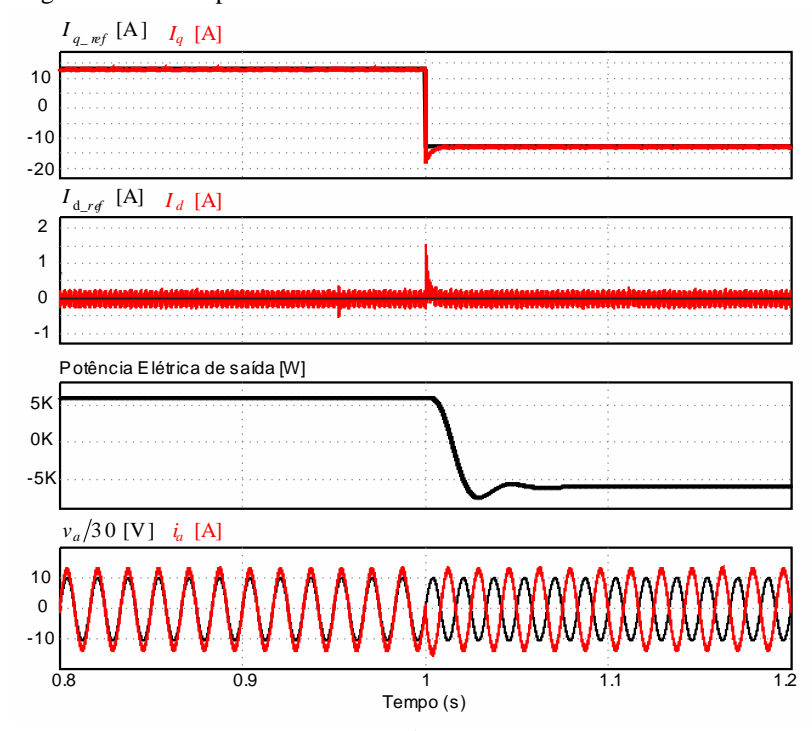


Figura 5.48 - Comportamento dinâmico da malha de corrente do inversor.

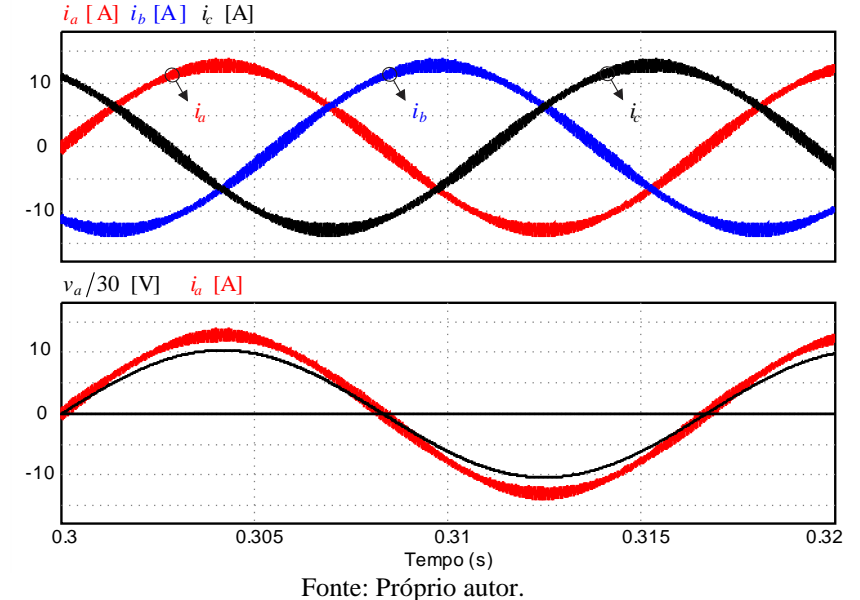


Figura 5.49 - Detalhe das correntes no inversor para uma potência de saída de 6 kW.

Validada a malha de corrente, implementa-se a malha de tensão com o controlador

projetado e simula-se o sistema completo, ou seja, aplicam-se degraus na velocidade do vento para se ter degraus de potência no link DC e a malha de tensão deve atuar garantindo o nível de tensão desejado de 700 V (Figura 5.50).

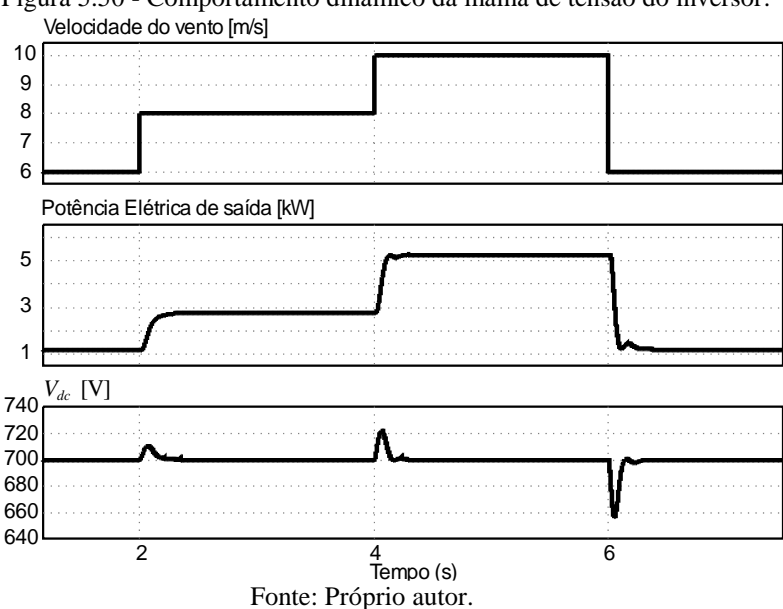


Figura 5.50 - Comportamento dinâmico da malha de tensão do inversor.

O maior *overshoot/undershoot* apresentado em *t*=6*s* quando a velocidade do vento passa de 10 m/s para 6 m/s e o link DC sofre um afundamento de 6%. Nesta situação, a potência injetada na rede passa de 5,24 kW para 1,13 kW.

Por fim, apresenta-se a *performance* do algoritmo de sincronismo, q-PLL. A Figura 5.51 expõe as formas de onda da tensão de fase da rede e o ângulo de fase detectado pelo algoritmo para uma situação de regime permanente com  $v_a = 220 \text{ V}_{rms}$  e f = 60 Hz. Uma defasagem de aproximadamente 72 µs (decorrente do atraso dos filtros e do processamento digital) existe entre o valor exato e obtido de  $\theta_{pll}$ .

 $v_a/40 \text{ [V]} \quad \theta_{\text{pli}} \text{ [rad]}$  0 -5  $v_a/40$   $v_a/40$  1.66 1.67 1.68 1.69 1.7 1.69

Figura 5.51 - Comportamento do q-PLL em regime permanente para f = 60 Hz.

Fonte: Próprio autor.

Na Figura 5.52 pode ser visto o comportamento dinâmico para um degrau na frequência de 40 Hz para 80 Hz. Pode-se concluir que a resposta do algoritmo é plausível com os resultados encontrados anteriormente (fator de potência de 0,999, por exemplo).

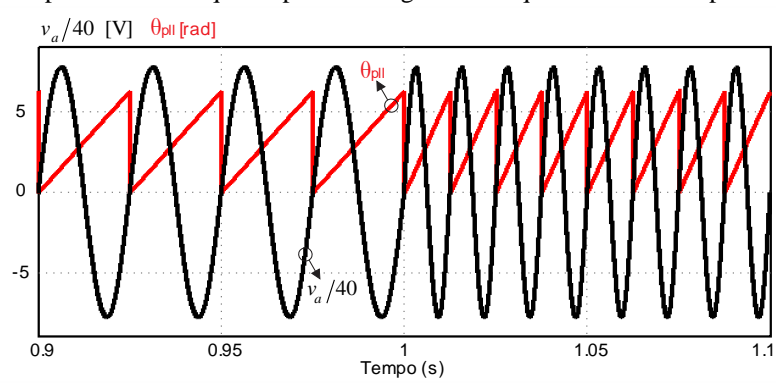


Figura 5.52 - Comportamento do q-PLL para um degrau de frequência de 40 Hz para 80 Hz em t = 1s.

# 6 PROTÓTIPO E RESULTADOS EXPERIMENTAIS

Conforme projetado, apresenta-se o protótipo final (Figura 6.1), para o qual são apresentados os resultados experimentais.

Conforme pode ser visto na Figura 6.2, foram demarcadas as principais partes da planta (placas do inversor, retificador, dos controles, da fonte auxiliar de alimentação e os filtros indutivos) a qual ocupa uma área de 0,25 m² (50 x 50 cm).

Ressalta-se que boa parte desta área é utilizada pelo circuito de acionamento e proteção composto por disjuntores, fusíveis, contator, botoeiras e sinalizador inserida no ponto de conexão com a rede.

Não está incluso na imagem do protótipo o emulador do PMSG. Este emulador é concebido por uma fonte de tensão alternada controlada, um transformador isolado e indutâncias cujo valor é da ordem de grandeza da indutância síncrona do PMSG da turbina VERNE555.

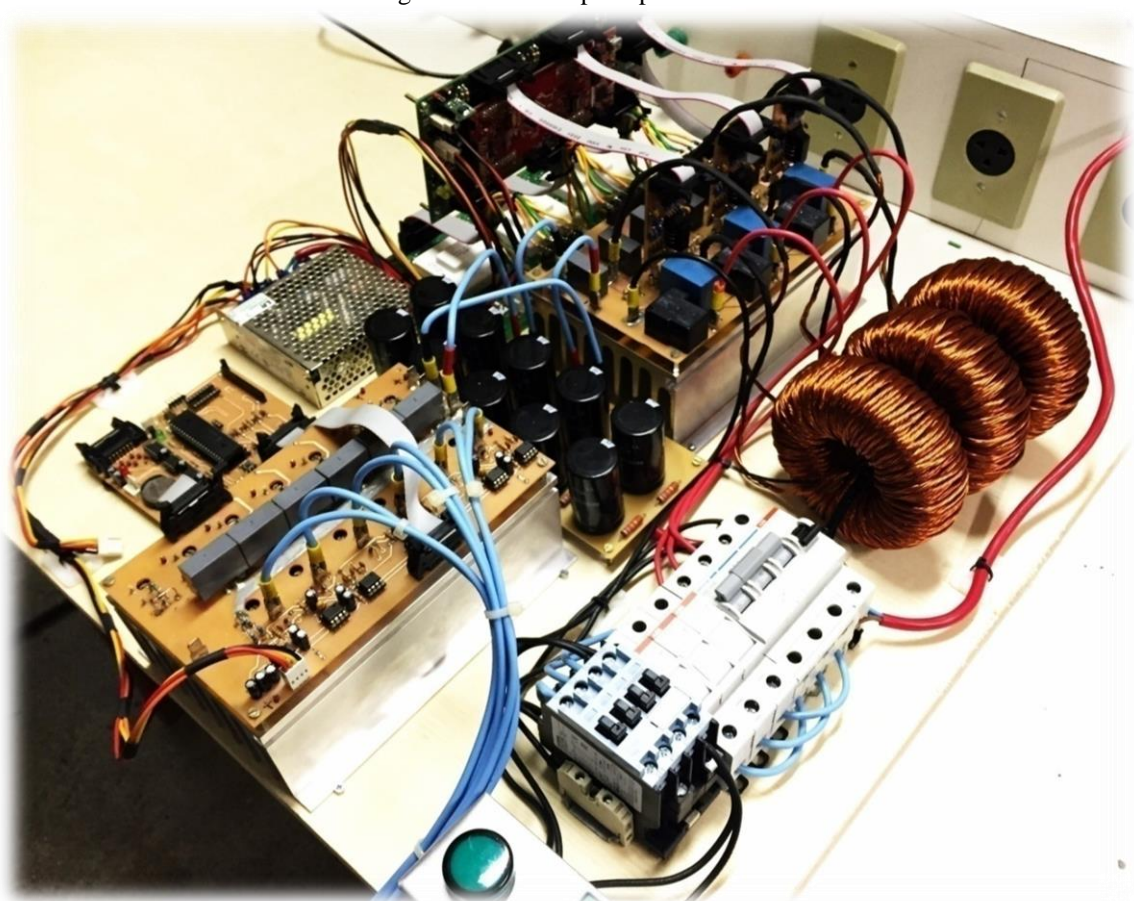


Figura 6.1 - Protótipo experimental.

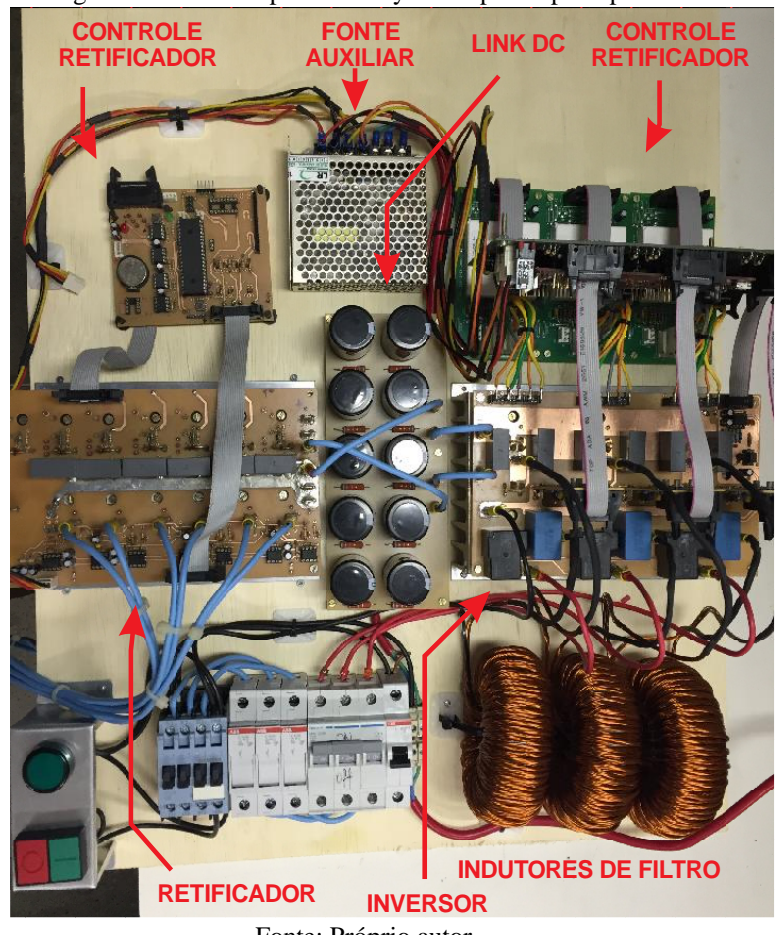
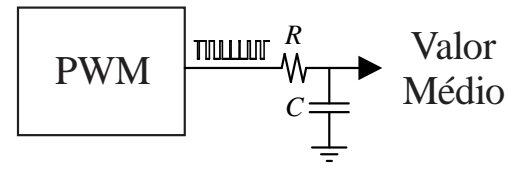


Figura 6.2 - Vista superior do layout do protótipo experimental.

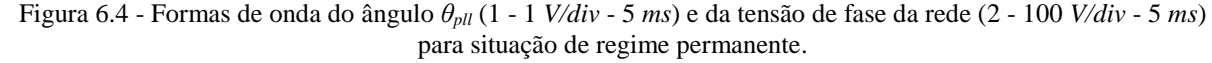
Fonte: Próprio autor.

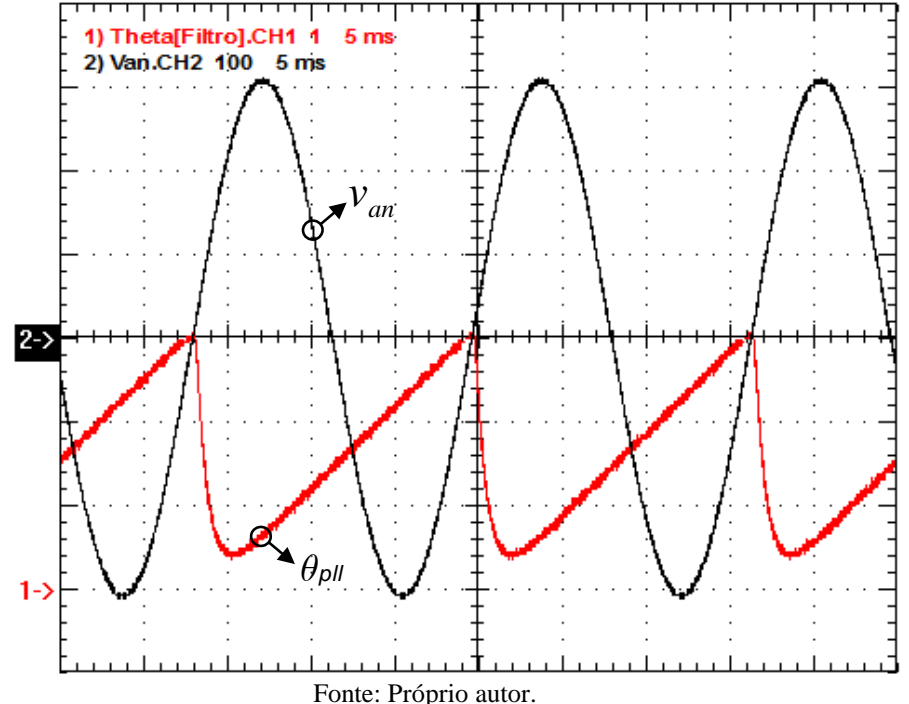
Inicia-se a apresentação dos resultados experimentais expondo a resposta do algoritmo de sincronismo (q-PLL) proposto. Para se ter acesso ao valor da variável digital  $\theta_{pll}$ utiliza-se de um módulo PWM extra e faz-se com que o valor da razão cíclica seja igual a  $\theta_{pll}$ . Externamente ao microcontrolador coleta-se então o valor médio deste sinal PWM através de um filtro RC (Figura 6.3). E assim é feito toda vez que se deseja conferir o comportamento de alguma variável calculada e utilizada internamente no controle. Escolhe-se o resistor R de 2,7  $k\Omega$  e o capacitor C de 100 nF, conferindo assim um filtro com frequência de corte de aproximadamente 590 Hz.

Figura 6.3 – Estrutura do filtro utilizado na leitura de valores médios.



Na Figura 6.4 encontram-se as formas de onda da tensão de fase da rede e a forma de onda que representa o valor do ângulo  $\theta_{pll}$  após ser filtrado. O sistema encontra-se em regime permanente e com condição nominal (tensão de fase de 220  $V_{rms}$  e frequência de 60 Hz). Conforme pode ser verificado, o resultado é satisfatório e verossímil com os resultados de simulação. O pequeno atraso entre a forma de onda do ângulo e da tensão é inerente ao filtro utilizado para fazer esta conversão D/A (Digital/Analógica) com filtro RC, aos filtros nas leituras de tensão e ao tempo de processamento digital.

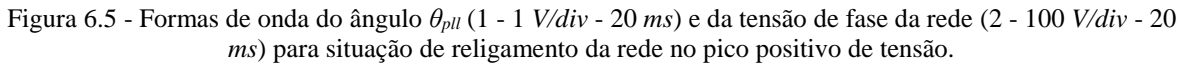


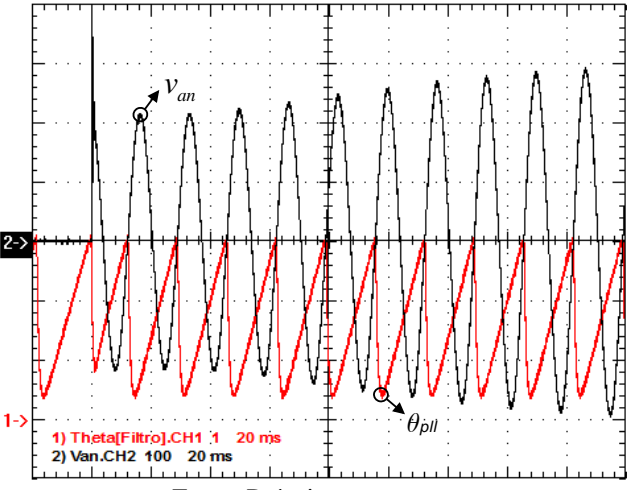


A Figura 6.5 apresenta uma situação de perda e retorno da conexão com a rede, a fim de se verificar em quantos ciclos de rede o algoritmo alcança sua condição de erro nulo. Buscou-se coletar situações nas quais o tempo de ligamento coincidia com valor de pico positivo ou negativo da rede, ou seja, situação na qual o erro é máximo ( $\pi/2$  rad).

A Figura 6.6 apresenta a mesma situação para menos que três períodos da rede. Pode-se concluir que em aproximadamente um ciclo de rede o erro já se torna bem próximo a nulo.

Logo após, aplicou-se um degrau de frequência de 45 Hz para 85 Hz (limitações da fonte controlada utilizada nos ensaios) cujo resultado pode ser conferido na Figura 6.7.





Fonte: Próprio autor.

Figura 6.6 - Formas de onda do ângulo  $\theta_{pll}$  (1 - 1 V/div - 5 ms) e da tensão de fase da rede (2 - 100 V/div - 5 ms) para situação de religamento da rede no pico negativo de tensão.

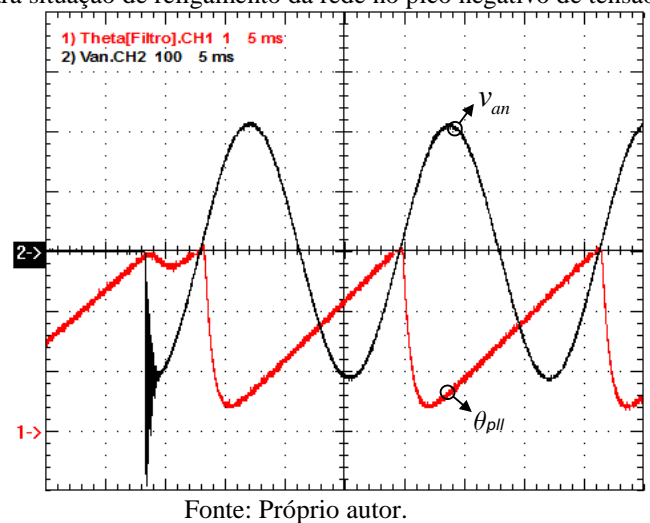
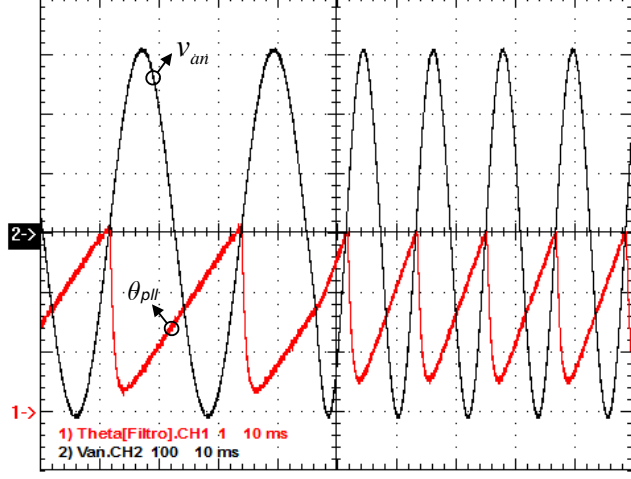
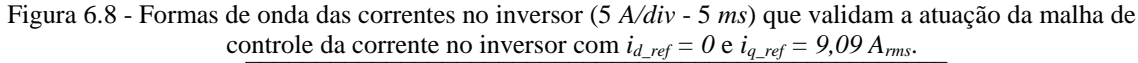
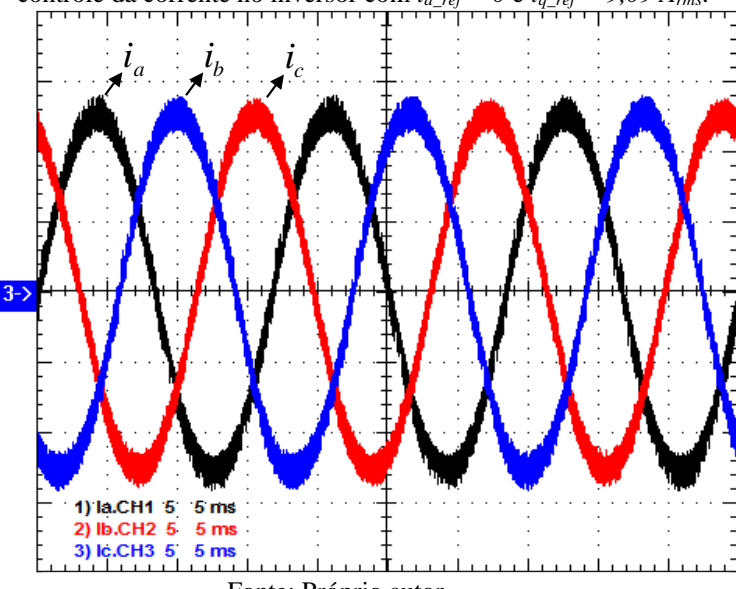


Figura 6.7 - Formas de onda do ângulo  $\theta_{pll}$  (1 - 1 V/div - 10 ms) e da tensão de fase da rede (2 - 100 V/div - 10 ms) para situação de degrau na frequência de 45 Hz para 85 Hz.



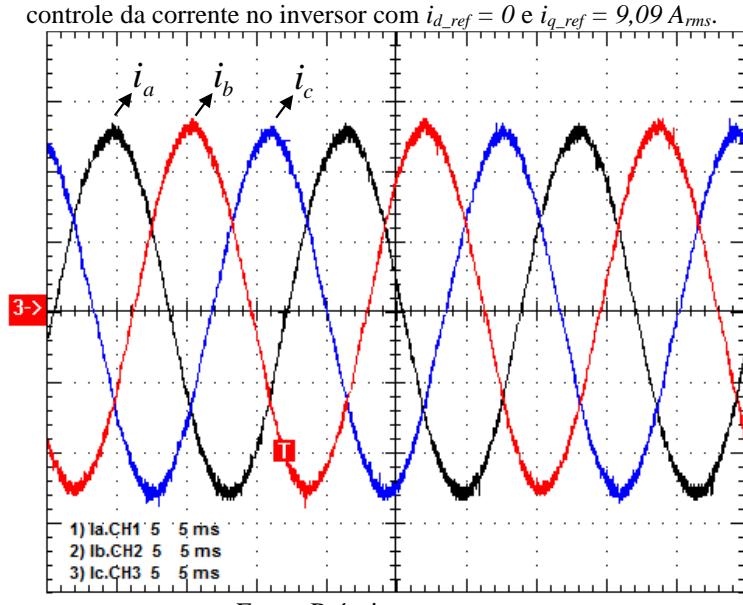
Estando o algoritmo de sincronismo operando satisfatoriamente, inicia-se a apresentação dos resultados experimentais do inversor validando a malha de corrente, a qual foi configurada com  $i_{d\_ref} = 0$  e  $i_{q\_ref} = 9.09 \, A_{rms}$ . Nas Figura 6.8 e Figura 6.9, podem ser vistas as formas de onda das correntes antes e após o filtro, respectivamente. Alcançou-se THD de aproximadamente 1,639% no ponto de conexão com a rede.



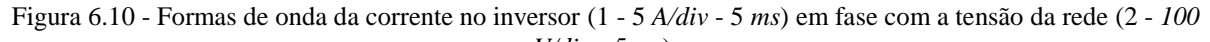


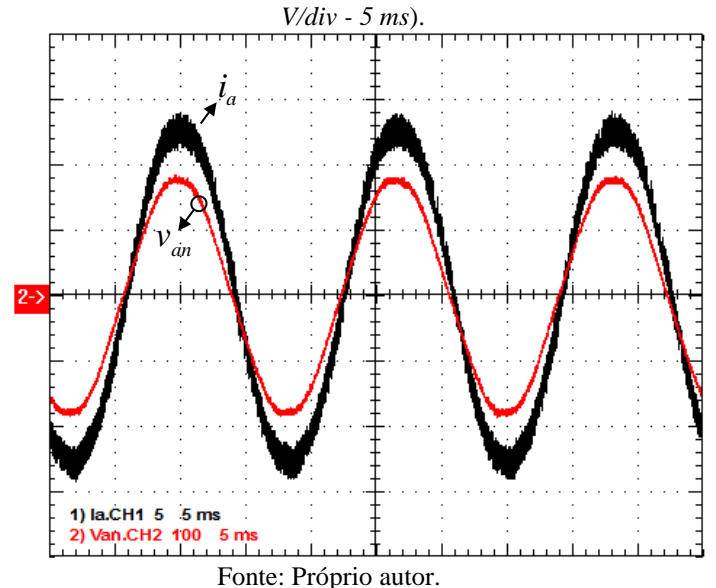
Fonte: Próprio autor.

Figura 6.9 - Formas de onda das correntes injetadas na rede (5 A/div - 5 ms) que validam a atuação da malha de



Na Figura 6.10 pode ser vista a forma de onda da tensão da rede (127  $V_{rms}$ ) em fase com a corrente controlada, apresentando fator de potência de 0,994 para uma potência de aproximadamente 3,4 kW.

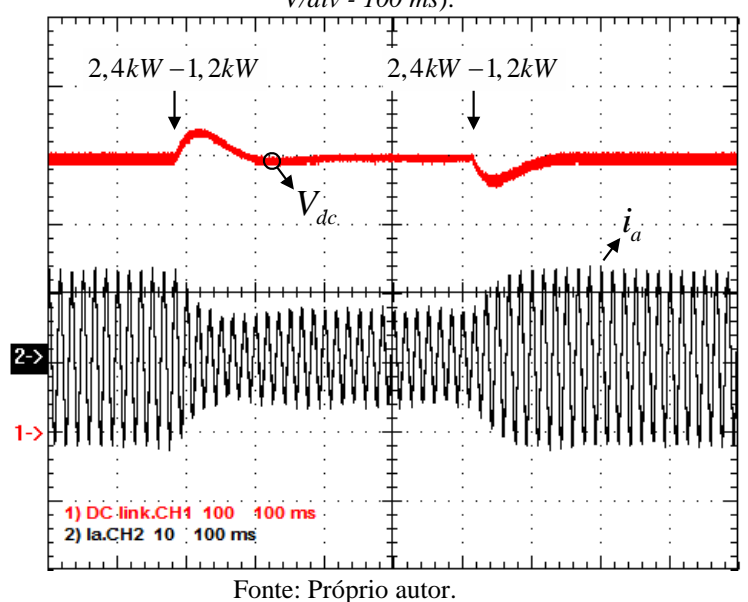




Posteriormente, valida-se a malha de tensão do inversor com  $V_{dc\_ref} = 400~V$ . Na Figura 6.11 pode ser vista a resposta dinâmica do sistema ao se aplicar um degrau de potência de 2,4 kW para 1,2 kW em t = 180~ms e de 1,2 kW para 2,4 kW em t = 620~ms. Conforme pode

Figura 6.11 - Formas de onda da corrente no inversor (1 - 10 A/div - 100 ms) e da tensão no link DC (2 - 100 V/div - 100 ms).

ser visto, o tempo de resposta é de aproximadamente 120 ms e o overshoot inferior a 10%.



O resultado da atuação da estratégia de autocontrole pode ser conferida na Figura 6.12, na qual podem ser vistas as correntes que circulam no gerador com valor de 5 Arms e um THD de 2,6%.

Podem ser vistas a tensão induzida no gerador  $E_a$  e a corrente  $I_{ga}$  praticamente em fase na Figura 6.13. Obteve-se um fator de potência de 0,942. Nesta situação, tem-se correntes de 5 A<sub>rms</sub> e tensão de 220 V<sub>rms</sub>, ou seja, uma potência de entrada de aproximadamente 3,3 kW.

1) lga.CH1 5 5 ms 2) lgb.CH2 5 5 ms CH3 5

Figura 6.12 - Formas de onda das correntes no gerador (5 A/div - 5 ms) que validam a estratégia de autocontrole.

Fonte: Próprio autor.

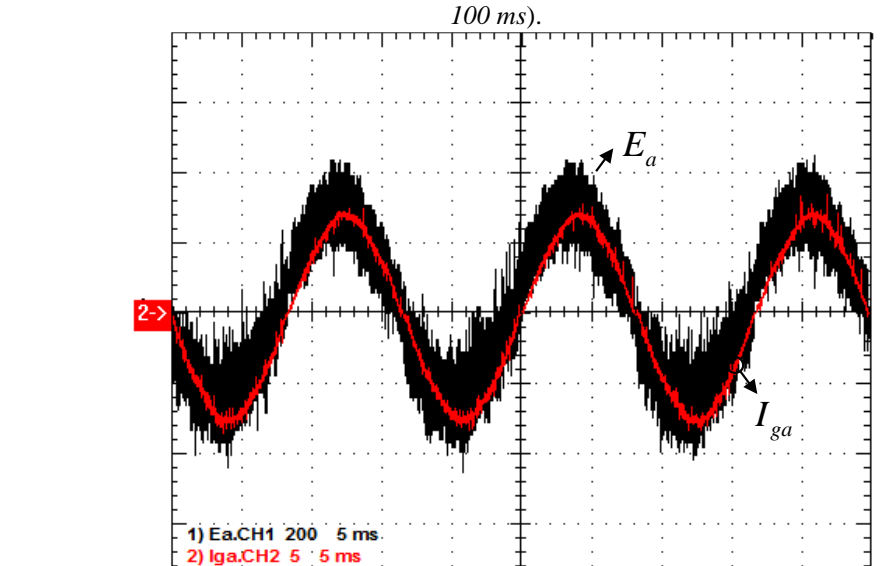


Figura 6.13 - Formas de onda da tensão induzida (1 - 200 V/div - 5 ms) e da corrente no gerador (1 - 10 A/div -

Para a condição preliminar de  $V_{dc\_ref} = 400V$ , levantaram-se as curvas de rendimento do sistema (Figura 6.14). Verifica-se que o rendimento do retificador é sempre maior que o do inversor em conforme com os valores calculados (os componentes do inversor apresentam perdas por comutação bem maiores). Mesmo para esta condição, a qual está bem distante das condições nominais dos interruptores (os quais possuem capacidade de bloqueio de tensão de 900/1200 V), o rendimento global apresenta-se satisfatório, superior a 90%.

Seguindo a mesma metodologia apresentada no Apêndice A e no Apêndice B, foram calculados os rendimentos para a condição de  $V_{dc} = 400 \text{ V}$  e  $P_{3\phi} = 3 \text{ kW}$ . O rendimento teórico obtido para o inversor foi de 94,55%, o qual se encontra bem próximo aos valores obtidos na prática (Figura 6.14). Já o rendimento teórico obtido para o retificador foi de 97,96% e na prática, em contrapartida, alcançou-se rendimento máximo de 95,54%.

Espera-se que, ao aumentar a tensão do link DC para 700 V e a potência para 6 kW, os rendimentos obtidos continuem estando bem próximos aos valores calculados e apresentados no Apêndice A e Apêndice B: 96,94% para o inversor e 98,67% para o retificador.

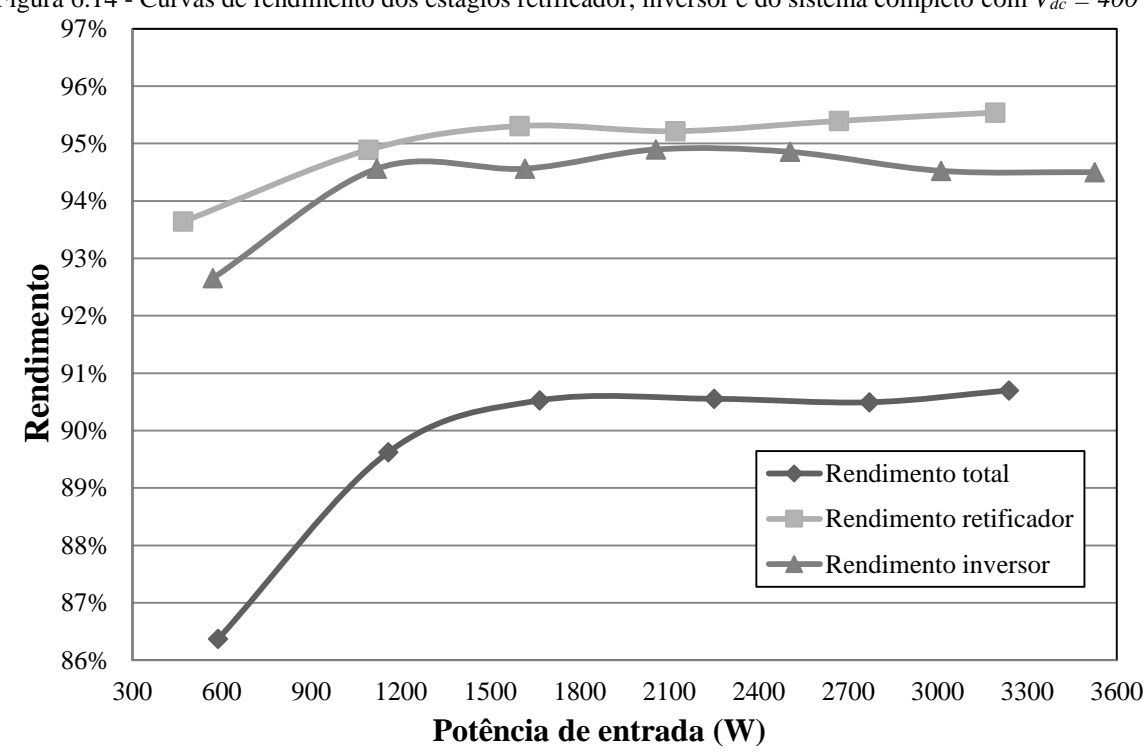


Figura 6.14 - Curvas de rendimento dos estágios retificador, inversor e do sistema completo com  $V_{dc} = 400 \ V$ .

# CONCLUSÃO

Em função do potencial eólico abundante do Brasil, da expansão da geração de energia elétrica a partir de fontes renováveis e do crescimento da geração distribuída, desenvolveu-se neste trabalho um sistema de capaz de converter a energia cinética dos ventos em energia elétrica e injetá-la na rede.

Utilizou-se um gerador síncrono de imã permanente, que tem se tornado uma tendência em função das suas características vantajosas (não possuem escovas, podem ser construídos com elevado número de pólos, dispensam a necessidade da caixa de engrenagens, possuem volume e peso reduzido, dentre outras). Este gerador opera com velocidade variável ditada pelo algoritmo de rastreamento de máximo ponto de potência ou pelo algoritmo de limitação de potência (habilitado quando a potência cinética disponível é superior ao valor de potência máxima que o conversor foi projetado para processar, 6 kW).

Designou-se um conversor de dois estágios para processar esta energia. O retificador *boost bridgeless* trifásico absorve a energia fornecida pelo gerador e injeta no link DC. A técnica de autocontrole (com a qual é possível se alcançar um fator de potência praticamente unitário e baixas distorções de corrente com apenas um controlador proporcional e sem o uso de sensores de tensão) foi escolhida para controlar as correntes que circulam no gerador. Uma outra vantagem apresentada pela topologia idealizada é a possibilidade de serem usados drivers simples em função de todos os semicondutores estarem conectados ao mesmo terminal emissor.

O estágio de conversão DC-AC é compreendido por um inversor fonte de tensão ponte completa trifásico largamente utilizado na indústria, o qual apresenta a vantagem de possuir menor quantidade de semicondutores que o retificador, ao passo que requer drivers mais robustos que possuam proteção contra curtos de braço. Além de serem mais caros que os utilizados no retificador, nestes drivers existem blocos de *dead-time* que acarretam maior distorção nas formas de onda.

Um filtro de saída de ordem elevada é necessário para reduzir o *ripple* nas correntes do inversor e cumprir com exigências normativas de componentes harmônicas (ao contrário do retificador que se utiliza da indutância síncrona elevada do gerador). Este fato acarreta em perdas adicionais ou aumenta a complexidade do controle.

O sistema completo foi projetado e simulado para potências de até 6 kW e resultados satisfatórios foram alcançados. A taxa de distorção de corrente no retificador foi de

1,65% e fator de potência de 0,997. Para o inversor, um fator de potência praticamente unitário (0,999), resultado de um controle baseado na teoria das potências instantâneas operando em conjunto com um algoritmo de sincronismo (q-PLL), e uma taxa de distorção de corrente de 1,68% foram concebidos.

Por meio de testes experimentais para potências de até 3,4 kW, validou-se o princípio de funcionamento do conversor proposto. Alcançaram-se taxa de distorção harmônica de corrente de 1,639%, fator de potência de 0,994 e rendimento de 94,55% no estágio inversor e taxa de distorção de corrente de 2,6%, fator de potência de 0,942 e rendimento de 95,54% no estágio retificador. O conversor completo apresentou rendimento superior a 90%.

Conclui-se que o sistema exposto está em conforme com os objetivos apresentados inicialmente: robusto (não existe a possibilidade de curto de braço no retificador, por exemplo); eficiente (rendimentos satisfatórios acima de 90% foram alcançados); de simples implementação (a técnica de autocontrole é designada por um controlador proporcional, a técnica de MPPT utilizada é do tipo torque ótimo, dentre outros) e de baixo custo (não são necessários anemômetros para aferir a velocidade do vento, nem de sensores de tensão para realizar controle das correntes no gerador, e nem sensor de velocidade no eixo do gerador para processar o algoritmo de MPPT).

Como propostas de trabalhos futuros essenciais, citam-se o ensaio do sistema completo (considerando a turbina eólica instalada) e a implementação das proteções (anti-ilhamento, curto-circuito, subfrequência, sobrefrequência, etc.) no ponto de conexão com a rede, exigidas por norma.

Ao longo do desenvolvimento do protótipo, algumas possíveis melhorias no WECS proposto se mostraram evidentes mas, em função do tempo, não se fez possível a execução.

A possibilidade de se utilizar o mesmo microprocessador utilizado no inversor no retificador é um exemplo. O DSP utilizado apresenta um conversor A/D com melhor resolução, possui maior capacidade de processamento (200 MIPS, bem superior aos 30 MIPS do dsPIC), e garante execução mais eficiente das operações aritméticas e trigonométricas (em função da existência da FPU e TMU).

A otimização do desempenho da resposta do sistema pode ser alcançada ao serem considerados os sinais de *feedforward* nas malhas de controle, ou serem utilizados outros tipos de controladores (atraso de fase adaptativo, por exemplo, em vez de autocontrole, para se alcançar maior margem de estabilidade no estágio AC-DC, e assim, proporcionar melhor aproveitamento de energia em velocidades do vento inferiores a 4 m/s).

#### REFERÊNCIAS

ABB. **Technical Application Papers No.13**: Wind power plants. Bergamo, 2011. Disponível em<sup>2</sup>

<a href="https://www192.abb.com/LVPCanada/Catalogues/Segment%20Information/Wind/Tech%20">https://www192.abb.com/LVPCanada/Catalogues/Segment%20Information/Wind/Tech%20</a> Paper%20Wind.pdf>. Acesso em: 29 set. 2015.

ACKERMANN, T. **Wind Power in Power systems**. Stockholm: John Wiley & Sons, Ltd, 2005. ISBN 0-470-85508-8.

Agência Nacional de Energia Elétrica. **Micro e Minigeração Distribuída**: Sistema de Compensação de Energia Elétrica. Brasília, 2014. Disponível em: <a href="http://www.aneel.gov.br/biblioteca/downloads/livros/caderno-tematico-microeminigeracao.pdf">http://www.aneel.gov.br/biblioteca/downloads/livros/caderno-tematico-microeminigeracao.pdf</a>>. Acesso em: 23 set. 2015.

Agência Nacional de Energia Elétrica. **Procedimentos de Distribuição de Energia Elétrica no Sistema Elétrico Nacional - PRODIST**: Módulo 3 - Acesso ao Sistema de Distribuição. São Paulo, 2012. Disponível em: <a href="http://www.aneel.gov.br/arquivos/pdf/modulo3\_revisao\_5.pdf">http://www.aneel.gov.br/arquivos/pdf/modulo3\_revisao\_5.pdf</a>. Acesso em: 23 set. 2015.

AHUJA, H.; BHUVANESWARI, G.; BALASUBRAMANIAN, R. Performance comparison of DFIG and PMSG based WECS. In: Renewable Power Generation (RPG 2011), IET Conference on, 2011, Edinburgh. **Conference Publications...** Edinburgh: IET, 6-8 Set. 2011. p. 1-6.

AKAGI, H.; HIROKAZU, E.; AREDES, M. Instantaneous Power Theory and Applications to Power Conditioning. New Jersey: John Wiley & Sons, 2007. ISBN 978-0-470-10761-4.

ALENCAR, C. E. D. **Estudo e desenvolvimento experimental de um sistema eólico interligado à rede elétrica**. 2012. 120 f. Tese (Doutorado em Engenharia Elétrica). Departamento de Engenharia Elétrica, Universidade Federal do Ceará, Fortaleza, 2012.

Allegro MicroSystems. ACS712 - Fully Integrated, Hall Effect-Based Linear Current Sensor with 2.1 kVRMS Voltage Isolation and a Low-Resistance Current Conductor. Massachusets, 2006. Disponível em: <a href="http://www.allegromicro.com/en/Products/Current-Sensor-ICs/Zero-To-Fifty-Amp-Integrated-Conductor-Sensor-ICs/ACS712.aspx">http://www.allegromicro.com/en/Products/Current-Sensor-ICs/Zero-To-Fifty-Amp-Integrated-Conductor-Sensor-ICs/ACS712.aspx</a>. Acesso em: 27 out. 2015.

ANAYA-LARA, O. et al. **Wind Energy Generation Modelling and Control**. Chichester: John Wiley & Sons Ltd, 2009. ISBN 978-0-470-71433-1.

Associação Brasileira de Energia Eólica. **Boletim de Dados**: Setembro/2015. São Paulo, 2015. Disponível em: <a href="http://abeeolica.org.br/pdf/Boletim-de-Dados-ABEEolica-Setembro-2015-Publico.pdf">http://abeeolica.org.br/pdf/Boletim-de-Dados-ABEEolica-Setembro-2015-Publico.pdf</a>>. Acesso em: 23 set. 2015.

Banco Nacional do Desenvolvimento. **Regras para o credenciamento e financiamento de aerogeradores**. Rio de Janeiro, 2012. Disponível em:

<a href="http://www.bndes.gov.br/SiteBNDES/export/sites/default/bndes\_pt/Galerias/Arquivos/produtos/download/credenciamento\_aerogeradores\_anexo1.pdf">http://www.bndes.gov.br/SiteBNDES/export/sites/default/bndes\_pt/Galerias/Arquivos/produtos/download/credenciamento\_aerogeradores\_anexo1.pdf</a>>. Acesso em: 23 set. 2015.

BARBI, I. **Eletrônica de potência: projeto de fontes chaveadas**. 2. ed. Florianópolis: Ed. do Autor, 2007.

BORGONOVO, D. Modelagem e Controle de Retificadores PWM Trifásicos empregando a transformação de Park. 2001. 175 f. Dissertação (Mestrado em Engenharia Elétrica). Departamento de Engenharia Elétrica, Universidade Federal de Santa Catarina, Florianópolis, 2001.

BORGONOVO, D. et al. A Self-Controlled Power Factor Correction Single-Phase Boost Pre-Regulator. In: Power Electronics Specialists Conference, 2005. PESC '05. IEEE 36th, 2005, Recife. **Conference Publications...** Recife: IEEE, 16-16 Jun. 2005. p. 2351-2357.

BURTON, T. et al. **Wind Energy Handbook**. 2. ed. Chichester: John Wiley & Sons Ltd, 2011. ISBN 978-0-470-69975-1.

BUSO, S.; MATTAVELLI, P. **Digital Control in Power Electronics**. 2. ed. United States: Morgan & Claypool Publishers, 2006.

CHINCHILLA, M.; ARNALTES, S.; BURGOS, J. C. Control of permanent-magnet generators applied to variable-speed wind-energy systems connected to the grid. **Energy Conversion, IEEE Transactions on,** v. 21, n. 1, p. 130-135, 2006. ISSN 0885-8969.

COELCE. **Norma Técnica NT-010/2012 R-00**: Conexão de Micro e Minigeração Distribuída ao Sistema Elétrico da Coelce. Fortaleza, 2012. Disponível em: <a href="https://www.coelce.com.br/media/77439/nt-010\_r-00\_copianaocontrolada.pdf">https://www.coelce.com.br/media/77439/nt-010\_r-00\_copianaocontrolada.pdf</a>. Acesso em: 23 set. 2015.

Conselho Nacional de Política Fazendária. **Convênio ICMS 101/97**. Rio de Janeiro, 1997. Disponível em: <a href="http://www1.fazenda.gov.br/confaz/confaz/convenios/icms/1997/CV101\_97.htm">http://www1.fazenda.gov.br/confaz/confaz/convenios/icms/1997/CV101\_97.htm</a>. Acesso em: 23 set. 2015.

DE SOUZA, A. F.; BARBI, I. A new ZVS-PWM unity power factor rectifier with reduced conduction losses. **Power Electronics, IEEE Transactions on,** v. 10, n. 6, p. 746-752, 1995. ISSN 0885-8993.

DROFENIK, U.; KOLAR, J. W. A General scheme for calculating switching and conduction-losses of power semiconductors in numerical circuit simulations of power electronic systems. In: International Power Eletronics Conference, IPEC, 2005, Niigata, Japan. Conference Publications... Niigata, Japan: IEEE, 04-08 Apr. 2005. p. 1-7.

Empresa de Pesquisa Energética. **Leilão de Energia Reserva - Eólica**. Brasília, 2009. Disponível em: <a href="http://www.epe.gov.br/imprensa/PressReleases/20091214\_1.pdf">http://www.epe.gov.br/imprensa/PressReleases/20091214\_1.pdf</a>. Acesso em: 23 set. 2015.

Empresa de Pesquisa Energética. **Plano Decenal de Expansão de Energia 2024**. Brasília, 2015. Disponível em: <a href="http://www.epe.gov.br/PDEE/PDE%202024.pdf">http://www.epe.gov.br/PDEE/PDE%202024.pdf</a>. Acesso em: 23 set. 2015.

ENERSUD. **Turbina Eólica Verne 555**. Rio de Janeiro, 2011. Disponível em: <a href="http://enersud1.hospedagemdesites.ws/?page\_id=147">http://enersud1.hospedagemdesites.ws/?page\_id=147</a>>. Acesso em: 05 out. 2015.

ENJETI, P. N.; MARTINEZ, R. A high performance single phase AC to DC rectifier with input power factor correction. In: Applied Power Electronics Conference and Exposition, 1993. APEC '93. Conference Proceedings 1993., Eighth Annual, 1993, San Diego, CA. **Conference Publications...** San Diego, CA: IEEE, 7-11 Mar. 1993. p. 190-195.

Global Wind Energy Council. **Global Statistics**. Brussels, 2014. Disponível em: <a href="http://www.gwec.net/global-figures/graphs/">http://www.gwec.net/global-figures/graphs/</a>. Acesso em: 23 set. 2015.

Global Wind Energy Council. **Global Statistics**. Brussels, 2015. Disponível em: <a href="http://www.gwec.net/global-figures/graphs/">http://www.gwec.net/global-figures/graphs/</a>. Acesso em: 19 mar. 2016.

Google. **Google Maps**. 2015. Disponível em: <a href="https://www.google.com.br/maps/@-3.7416066,-38.5730876,740m/data=!3m1!1e3?hl=pt-BR">https://www.google.com.br/maps/@-3.7416066,-38.5730876,740m/data=!3m1!1e3?hl=pt-BR</a>. Acesso em: 05 out. 2015.

Google Patents. Daniel M. Mitchell. **AC-DC Converter having an improved power factor**. US4412277 A, 3 set. 1982, 25 out. 1983. Disponível em: <a href="http://www.google.com/patents/US4412277">http://www.google.com/patents/US4412277</a>>. Acesso em: 08 out. 2015.

GUO, X.-Q.; WU, W.-Y.; GU, H.-R. Phase locked loop and synchronization methods for grid-interfaced converters: a review. **Przegląd Elektrotechniczny**, v. 87, n. 4, p. 182-187, 2011. ISSN 0033-2097.

HEIER, S. Grid Integration of Wind Energy Conversion Systems. 2. ed. Chichester: John Wiley & Sons Ltd, 2006.

Institute of Electrical and Electronic Engineers. **IEEE 1547**: Standard for Interconnecting Distributed Resources with Electric Power Systems. New York, 2003. Acesso em: 5 set. 2015.

Institute of Electrical and Electronic Engineers. **IEEE 519**: IEEE Recommended Practices and Requirements for Harmonic Control in Electrical Power Systems. New York, 1992. Acesso em: 7 out. 2015.

International Electrotechnical Commission. **IEC 61000-3-2 Electromagnetic Compatibility** (**EMC**): Part 3-2: Limits - Limits for harmonic current emissions (equipment input current ≤ 16 A per phase). New York, 2014. Acesso em: 5 set. 2015.

LANGE, A. D. B. **Retificador PFC monofásico PWM bridgeless três-níveis de alto desempenho**. 2012. 190 f. Dissertação (Mestrado em Engenharia Elétrica). Departamento de Engenharia Elétrica, Universidade Federal de Santa Catarina, Florianópolis, 2012.

LEÃO, R. N. A. **Inversor multinível híbrido simétrico trifásico de cinco níveis baseado nas topologias half-bridge e ANPC**. 2013. 145 f. Tese (Doutorado em Engenharia Elétrica). Departamento de Engenharia Elétrica, Universidade Federal do Ceará, Fortaleza, 2013.

LI, H.; CHEN, Z. Overview of different wind generator systems and their comparisons. **Renewable Power Generation, IET,** v. 2, n. 2, p. 123-138, 2008. ISSN 1752-1416.

MALEKIAN, K. et al. Detailed modeling of wind power plants incorporating variable-speed Synchronous Generator. In: Electrical Power & Energy Conference (EPEC), 2009 IEEE, 2009, Montreal, QC. Conference Publications... Montreal, QC: IEEE, 22-23 Oct. 2009. p. 1-6.

MANAULLAH et al. Performance comparison of DFIG and SCIG based wind energy conversion systems. In: Computational Intelligence on Power, Energy and Controls with their impact on Humanity (CIPECH), 2014 Innovative Applications of, 2014, Ghaziabad. **Conference Publications...** Ghaziabad: IEEE, 28-29 Nov. 2014. p. 285-290.

MARTINEZ, R.; ENJETI, P. N. A high-performance single-phase rectifier with input power factor correction. **Power Electronics, IEEE Transactions on,** v. 11, n. 2, p. 311-317, 1996. ISSN 0885-8993.

Microchip. dsPIC30F4011/4012 Data Sheet - High-Performance, 16-Bit Digital Signal Controllers. United States, 2010. Disponível em: <a href="http://ww1.microchip.com/downloads/en/devicedoc/70135C.pdf">http://ww1.microchip.com/downloads/en/devicedoc/70135C.pdf</a>. Acesso em: 11 jan. 2015.

MILLER, A.; MULJADI, E.; ZINGER, D. S. A variable speed wind turbine power control. **Energy Conversion, IEEE Transactions on,** v. 12, n. 2, p. 181-186, 1997. ISSN 0885-8969.

Ministério de Minas e Energia. **O PROINFA**: Programa de Incentivo às Fontes Alternativas de Energia Elétrica. Brasília, 2004. Disponível em: <a href="http://www.mme.gov.br/programas/proinfa/">http://www.mme.gov.br/programas/proinfa/</a>>. Acesso em: 23 set. 2015.

Ministério de Minas e Energia. **Energia Eólica no Brasil e Mundo**. Brasília, 2014. Disponível em:

<a href="http://www.mme.gov.br/documents/10584/1256600/Folder+Energia+Eolica.pdf/b1a3e78c-7920-4ae5-b6e8-7ba1798c5961">http://www.mme.gov.br/documents/10584/1256600/Folder+Energia+Eolica.pdf/b1a3e78c-7920-4ae5-b6e8-7ba1798c5961</a>. Acesso em: 23 set. 2015.

Ministério do Meio Ambiente. **Resolução Nº 462, de 24 de Julho de 2014**. Brasília, 2014. Disponível em: <<u>http://www.mma.gov.br/port/conama/res/res14/Resol462.pdf></u>. Acesso em: 23 set. 2015.

MULLER, S.; DEICKE, M.; DE DONCKER, R. W. Doubly fed induction generator systems for wind turbines. **Industry Applications Magazine, IEEE**, v. 8, n. 3, p. 26-33, 2002. ISSN 1077-2618.

OLIVEIRA, D. S. et al. A Three-Phase High-Frequency Semicontrolled Rectifier for PM WECS. **Power Electronics, IEEE Transactions on,** v. 25, n. 3, p. 677-685, 2010. ISSN 0885-8993.

ON Semiconductor. **Power Factor Correction (PFC) Handbook**. Colorado, 2014. Disponível em: <a href="http://www.onsemi.com/pub\_link/Collateral/HBD853-D.PDF">http://www.onsemi.com/pub\_link/Collateral/HBD853-D.PDF</a>. Acesso em: 27 out. 2015.

- PENA, R.; CLARE, J. C.; ASHER, G. M. Doubly fed induction generator using back-to-back PWM converters and its application to variable-speed wind-energy generation. **Electric Power Applications, IEE Proceedings -,** v. 143, n. 3, p. 231-241, 1996. ISSN 1350-2352.
- PINTO, M. **Fundamentos de energia eólica**. Rio de Janeiro: LTC, 2013. ISBN 978-85-216-2160-7.
- QIANG, W.; BIN, W. Analysis and comparison of current-source-converter-based medium-voltage PMSG wind energy conversion systems. In: Power Electronics for Distributed Generation Systems (PEDG), 2015 IEEE 6th International Symposium on, 2015, Aachen. **Conference Publications...** Aachen: IEEE, 22-25 Jun. 2015. p. 1-6.
- SASSO, E. M. et al. Investigação dos modelos de circuitos de sincronismo trifásicos baseados na teoria das potências real e imaginária instantâneas (p-PLL e q-PLL). In: XIV Congresso Brasileiro de Automática, 2002, Natal. **Conference Publications...** Natal, 02-04 Set. 2002. p. 480-485.
- SEMIKRON. **SKHI 22 A/B (R) Driver Data Sheet**. 2008. Disponível em: <a href="http://www.semikron.com/dl/service-support/downloads/download/semikron-datasheet-skhi-22-a-b-r-15012521">http://www.semikron.com/dl/service-support/downloads/download/semikron-datasheet-skhi-22-a-b-r-15012521</a>. Acesso em: 13 nov. 2015.
- SHARMA, R.; RASMUSSEN, T. W.; JENSEN, B. B. Application of a synchronous generator with a boost converter in wind turbines: an experimental overview. **Renewable Power Generation, IET,** v. 6, n. 6, p. 414-423, 2012. ISSN 1752-1416.
- TEODORESCU, R.; LISERRE, M.; RODRÍGUEZ, P. Grid converters for photovoltaic and wind power systems. New Delhi: John Wiley & Sons, 2011. ISBN 978-0-470-05751-3.

Texas Instruments. **TMS320F2837xS Delfino Microcontrollers**. Dallas, 2015. Disponível em: <a href="http://www.ti.com/lit/ds/symlink/tms320f28377s.pdf">http://www.ti.com/lit/ds/symlink/tms320f28377s.pdf</a>>. Acesso em: 15 jun. 2015.

- TOFOLI, F. L.; PEREIRA, D. D. C.; PAULA, W. J. D. Proposta de aplicação da teoria de sistemas de controle no ensino de eletrônica de potência em cursos de graduação. In: Congresso Brasileiro de Educação em Engenharia (COBENGE), 2014, Juiz de Fora. **Publicações em Congresso...** Juiz de Fora: ABENGE, 16-19 Set. 2014. p. 12.
- TZE-FUN, C.; LOI LEI, L. Permanent-Magnet Machines for Distributed Power Generation: A Review. In: Power Engineering Society General Meeting, 2007. IEEE, 2007, Tampa. **Conference Publications...** Tampa: IEEE, 24-28 Jun. 2007. p. 1-6.
- VATTUONE, L. et al. Open-end-winding PMSG for wind energy conversion system with dual boost NPC converter. In: Industrial Technology (ICIT), 2013 IEEE International Conference on, 2013, Cape Town. **Conference Publications...** Cape Town: IEEE, 25-28 Fev. 2013. p. 1763-1768.
- WATANABE, E. H.; STEPHAN, R. M.; AREDES, M. New concepts of instantaneous active and reactive powers in electrical systems with generic loads. **Power Delivery, IEEE Transactions on,** v. 8, n. 2, p. 697-703, 1993. ISSN 0885-8977.
- WU, B. **High-Power Converters and AC Drives**. New Jersey: John Wiley & Sons Ltd, 2006.

XIAOTIAN, T.; JINGYA, D.; BIN, W. A novel converter configuration for wind applications using PWM CSI with diode rectifier and buck converter. In: Electric Machines & Drives Conference (IEMDC), 2011 IEEE International, 2011, Niagara Falls, ON. **Conference Publications...** Niagara Falls, ON: IEEE, 15-18 Mai. 2011. p. 359-364.

YARAMASU, V.; BIN, W. Three-level boost converter based medium voltage megawatt PMSG wind energy conversion systems. In: Energy Conversion Congress and Exposition (ECCE), 2011 IEEE, 2011, Phoenix, AZ. **Conference Publications...** Phoenix, AZ: IEEE, 17-22 Set. 2011. p. 561-567.

\_\_\_\_\_. Predictive Control of a Three-Level Boost Converter and an NPC Inverter for High-Power PMSG-Based Medium Voltage Wind Energy Conversion Systems. **Power Electronics, IEEE Transactions on,** v. 29, n. 10, p. 5308-5322, 2014. ISSN 0885-8993.

YARAMASU, V. et al. High-power wind energy conversion systems: State-of-the-art and emerging technologies. **Proceedings of the IEEE**, v. 103, n. 5, p. 740-788, 2015. ISSN 0018-9219.

YAZDANI, A.; IRAVANI, R. A neutral-point clamped converter system for direct-drive variable-speed wind power unit. **Energy Conversion, IEEE Transactions on,** v. 21, n. 2, p. 596-607, 2006. ISSN 0885-8969.

# APÊNDICE A - ESTUDO DE PERDAS NO RETIFICADOR

Inicia-se o estudo de perdas no retificador calculando os esforços de corrente nos semicondutores o quais são dependentes das funções de modulação (funções que determinam o comportamento matemático da corrente ao longo de um intervalo de tempo)  $\delta_{Dxy}(\theta)$  para os diodos,  $\delta_{Sxy}(\theta)$  para os interruptores e  $\delta_{Sxy\_D}(\theta)$  para os diodos em antiparalelo com os interruptores sendo x=1,2 e y=a,b,c os identificadores dos semicondutores. Assim, determinam-se os esforços de corrente de acordo com as equações para os interruptores:

$$I_{Sxy_{MED}} = \frac{1}{2\pi} \int_{0}^{2\pi} \delta_{Sxy}(\theta) \cdot i_{Sxy}(\theta) \cdot d\theta$$
 (A.1)

$$I_{Sxy_{RMS}} = \sqrt{\frac{1}{2\pi} \int_{0}^{2\pi} \delta_{Sxy}(\theta) \cdot i_{Sxy}(\theta)^{2} \cdot d\theta}$$
 (A.2)

E seus diodos:

$$I_{Sxy\_D_{MED}} = \frac{1}{2\pi} \int_{0}^{2\pi} \delta_{Sxy\_D}(\theta) \cdot i_{Sxy\_D}(\theta) \cdot d\theta$$
 (A.3)

$$I_{Sxy\_D_{RMS}} = \sqrt{\frac{1}{2\pi}} \int_{0}^{2\pi} \delta_{Sxy\_D}(\theta) \cdot i_{Sxy\_D}(\theta)^{2} \cdot d\theta$$
 (A.4)

Assim como para os diodos  $D_{x,y}$ :

$$I_{Dxy_{MED}} = \frac{1}{2\pi} \int_{0}^{2\pi} \delta_{Dxy}(\theta) \cdot i_{Dxy}(\theta) \cdot d\theta$$
 (A.5)

$$I_{Dxy_{RMS}} = \sqrt{\frac{1}{2\pi} \int_{0}^{2\pi} \delta_{Dxy}(\theta) \cdot i_{Dxy}(\theta)^{2} \cdot d\theta}$$
 (A.6)

Definem-se as funções de modulação que regem o funcionamento do conversor  $\delta'_{ga}(\theta), \, \delta'_{gb}(\theta), \, \delta'_{gc}(\theta)$ :

$$\delta'_{ga}(\theta) = m_{a,r} \cdot \left| sen(\theta - \phi_{2,r}) \right|$$

$$\delta'_{gb}(\theta) = m_{a,r} \cdot \left| sen(\theta - \frac{2\pi}{3} - \phi_{2,r}) \right|$$

$$\delta'_{gc}(\theta) = m_{a,r} \cdot \left| sen(\theta + \frac{2\pi}{3} - \phi_{2,r}) \right|$$
(A.7)

Sendo  $\Phi_{2,r}$  o ângulo de atraso existente entre a moduladora e a tensão induzida nos terminais do gerador e  $m_{a,r}$  o índice de modulação em amplitude dado por:

$$m_{a,r} = \frac{E_i \cdot \sqrt{2} - R_{gi} \cdot I_{gi,pico}}{V_{dc}} \tag{A.8}$$

Da mesma forma, definem-se as funções das correntes que circulam em cada fase do gerador:

$$\begin{split} i_{ga}(\theta) &= I_{gi,pico} \cdot sen(\theta - \phi_{l,r}) \\ i_{gb}(\theta) &= I_{gi,pico} \cdot sen(\theta - \frac{2\pi}{3} - \phi_{l,r}) \\ i_{gc}(\theta) &= I_{gi,pico} \cdot sen(\theta + \frac{2\pi}{3} - \phi_{l,r}) \end{split} \tag{A.9}$$

Sendo  $\Phi_{I,r}$  o ângulo de atraso existente entre a tensão induzida nos terminais do gerador e a corrente que circula neste (ou seja, o fator de potência), o qual poderia facilmente ser desprezado em função do seu valor muito próximo ao valor nulo (fator de potência unitário).

Analisando o princípio de funcionamento do conversor pode-se então determinar as funções de comutação e de corrente para os diodos da fase a:

$$\delta_{D1,a}(\theta) = \left\{ \delta'_{ga}(\theta) \quad \text{se} \quad \phi_{1,r} \le \theta \le \phi_{1,r} + \pi \right.$$

$$i_{D1,a}(\theta) = \left\{ i_{ga}(\theta) \quad \text{se} \quad \phi_{1,r} \le \theta \le \phi_{1,r} + \pi \right.$$
(A.10)

$$\delta_{D2,a}(\theta) = \begin{cases} \delta'_{ga}(\theta) & \text{se } 0 \le \theta \le \phi_{1,r} \\ \delta'_{ga}(\theta) & \text{se } \phi_{1,r} + \pi \le \theta \le 2\pi \end{cases}$$

$$i_{D2,a}(\theta) = \begin{cases} -i_{ga}(\theta) & \text{se } 0 \le \theta \le \phi_{1,r} \\ -i_{ga}(\theta) & \text{se } \phi_{1,r} + \pi \le \theta \le 2\pi \end{cases}$$
(A.11)

Para os interruptores da fase a:

$$\delta_{S1,a}(\theta) = \begin{cases} 1 - \delta'_{ga}(\theta) & \text{se } \phi_{1,r} \le \theta \le \phi_{1,r} + \pi \\ i_{S1,a}(\theta) = \begin{cases} i_{ga}(\theta) & \text{se } \phi_{1,r} \le \theta \le \phi_{1,r} + \pi \end{cases}$$
(A.12)

$$\delta_{S2,a}(\theta) = \begin{cases} 1 - \delta'_{ga}(\theta) & \text{se } 0 \le \theta \le \phi_{l,r} \\ 1 - \delta'_{ga}(\theta) & \text{se } \phi_{l,r} + \pi \le \theta \le 2\pi \end{cases}$$

$$i_{S2,a}(\theta) = \begin{cases} -i_{ga}(\theta) & \text{se } 0 \le \theta \le \phi_{l,r} \\ -i_{ga}(\theta) & \text{se } \phi_{l,r} + \pi \le \theta \le 2\pi \end{cases}$$

$$(A.13)$$

Para os diodos intrínsecos aos interruptores da fase a:

$$\delta_{S1,a\_D}(\theta) = \begin{cases} 1 & \text{se } 0 \le \theta \le \phi_{1,r} \\ 1 & \text{se } \phi_{1,r} + \pi \le \theta \le 2\pi \end{cases}$$

$$i_{S1,a\_D}(\theta) = \begin{cases} -i_{ga}(\theta) & \text{se } 0 \le \theta \le \phi_{1,r} \\ -i_{ga}(\theta) & \text{se } \phi_{1,r} + \pi \le \theta \le 2\pi \end{cases}$$
(A.14)

$$\delta_{S2,a_{-}D}(\theta) = \begin{cases} 1 & \text{se } \phi_{1,r} \le \theta \le \pi + \phi_{1,r} \\ i_{S2,a_{-}D}(\theta) = \begin{cases} i_{ga}(\theta) & \text{se } \phi_{1,r} \le \theta \le \pi + \phi_{1,r} \end{cases}$$
(A.15)

Considerando os parâmetros:

$$P_{3\phi} = 6kW$$
 $E_{i,pico} = 586,989V$ 
 $V_{dc} = 700V$ 
 $R_{gi} = 1,3\Omega$ 
 $L_{gi} = 10mH$ 
 $I_{gi,pico} = 6,8A$ 
(A.16)

Encontra-se:

$$m_{a,r} = 0.8259$$
  
 $\phi_{1,r} = 0.04rad$  (A.17)  
 $\phi_{2,r} = 0.053rad$ 

Calculam-se então os esforços de correntes para esta condição e comparam-se com os resultados de simulação, ambos presentes na Tabela A-1.

condição nominal.				
	Corrente Média (A)		Corrente Eficaz (A)	
	Calculado	Simulado	Calculado	Simulado
$D_{l,a}$	2,853	2,858	1,407	1,409
$D_{12a}$	2,853	2,858	1,407	1,408
$S_{1,a}$	1,863	1,867	0,762	0,761
$S_{2,a}$	1,863	1,867	0,762	0,761
$S_{1,a\_D}$	3,407	3,414	2,169	2,170
$S_{2,a\_D}$	3,407	3,414	2,169	2,170
FONTE: Próprio autor.				

Tabela A-1 - Valores simulados e calculados dos esforços de corrente dos semicondutores do retificador para a

Calculados os esforços de corrente, podem ser definidos os semicondutores a serem utilizados e, a partir de informações dos fabricantes, calcular as perdas por condução e comutação.

São dadas as equações que determinam as perdas por condução nos interruptores e nos diodos respectivamente, conforme exposto por LEÃO (2013):

$$P_{Sxy_{COND}} = v_{TO} \cdot I_{Sxy_{MED}} + r_{TO} \cdot \left(I_{Sxy_{RMS}}\right)^2 \tag{A.18}$$

$$P_{Dxy_{COND}} = v_D \cdot I_{Dxy_{MED}} + r_D \cdot \left(I_{Dxy_{RMS}}\right)^2 \tag{A.19}$$

Optou-se pela utilização do diodo SiC C4D05120A fabricado pela CREE, para o qual o fornecedor oferece as funções, em função da temperatura de junção  $T_j$  escolhida para ser de 100 °C:

$$v_D = 0.96 + (-1.22 \cdot 10^{-3} \cdot T_i) = 0.96 + (-1.22 \cdot 10^{-3} \cdot 100^{\circ}) = 0.838V$$
 (A.20)

$$r_D = 0.08 + (8.5 \cdot 10^{-4} \cdot T_i) = 0.08 + (8.5 \cdot 10^{-4} \cdot 100^{\circ}) = 0.165\Omega$$
 (A.21)

Calculam-se as perdas por condução nestes diodos:

$$P_{D1,a_{COND}} = v_D \cdot I_{D1,a_{MED}} + r_D \cdot \left(I_{D1,a_{RMS}}\right)^2 = 2,522W$$
(A.22)

$$P_{D2,a_{COND}} = v_D \cdot I_{D2,a_{MED}} + r_D \cdot \left(I_{D2,a_{RMS}}\right)^2 = 2,522W$$
 (A.23)

Os interruptores utilizados no retificador são do tipo IGBT (*Insulated-Gate Bipolar Transistor*) referência IRG4PF50WD fabricado pela IR, para o qual são fornecidas as curvas presentes nas Figura A-1 e Figura A-2.

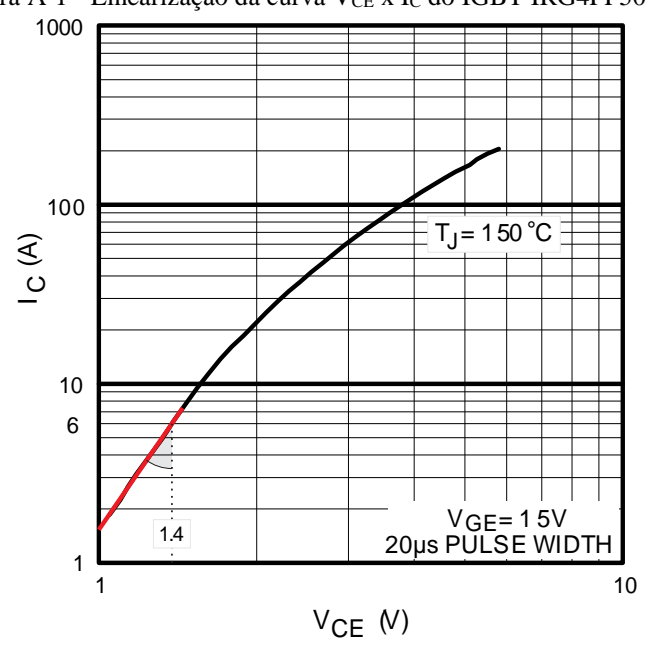


Figura A-1 - Linearização da curva  $V_{\text{CE}}$  x  $I_{\text{C}}$  do IGBT IRG4PF50WD.

Fonte: Próprio autor.

Linearizando a curva da Figura A-1, encontra-se:

$$r_{TO} = \frac{1,4-1}{6-1.8} = 0,095\Omega \tag{A.24}$$

A partir da equação da reta linearizada, encontra-se o valor de  $v_{TO}$  a partir dos pontos  $I_C$ =6 A e  $V_{CE}$  = 1,4 V:

$$V_{CE} = r_{TO} \cdot I_C + v_{TO}$$
  

$$v_{TO} = 1, 4 - 0,095 \cdot 6 = 0,83V$$
(A.25)

E calculam-se as perdas por condução:

$$P_{S1,a_{COND}} = v_{TO} \cdot I_{S1,a_{MED}} + r_{TO} \cdot \left(I_{S1,a_{RMS}}\right)^2 = 0,963W$$
 (A.26)

$$P_{S2,a_{COND}} = v_{TO} \cdot I_{S2,a_{MED}} + r_{TO} \cdot \left(I_{S2,a_{RMS}}\right)^2 = 0,963W$$
(A.27)

Linearizando a curva da Figura A-2, encontra-se:

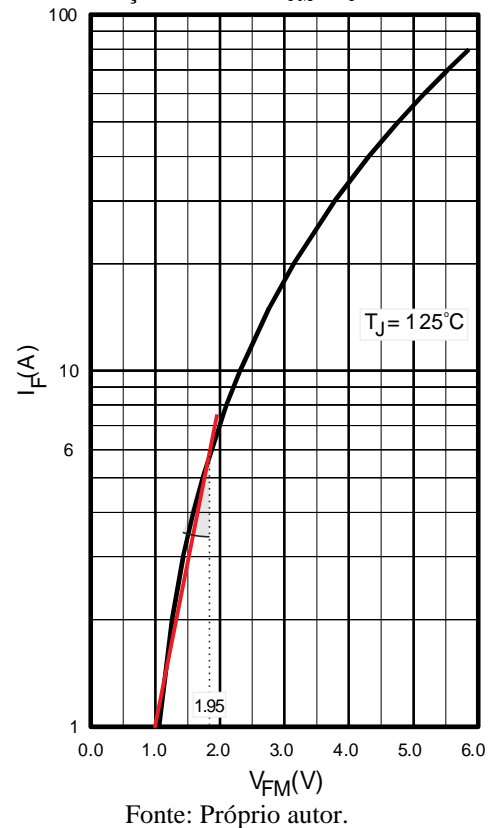
$$r_D = \frac{1,95 - 1}{8 - 1} = 0,136\Omega \tag{A.28}$$

A partir da equação da reta linearizada, encontra-se o valor de  $v_D$  a partir dos pontos  $I_F$ =6 A e  $V_{FM}$  = 1,95 V:

$$V_{FM} = r_D \cdot I_F + v_D$$

$$v_D = 1,95 - 0,136 \cdot 6 = 1,136V$$
(A.29)

Figura A-2 - Linearização da curva  $V_{\text{FM}}$  x  $I_{\text{F}}$  do IGBT IRG4PF50WD.



E calculam-se as perdas por condução nos diodos intrínsecos dos IGBTs:

$$P_{S1,a_{-}D_{COND}} = v_D \cdot I_{S1,a_{-}D_{MED}} + r_D \cdot \left(I_{S1,a_{-}D_{RMS}}\right)^2 = 4,039W$$
(A.30)

$$P_{S2,a_{-}D_{COND}} = v_D \cdot I_{D2,a_{-}D_{MED}} + r_D \cdot \left(I_{S2,a_{-}D_{RMS}}\right)^2 = 4,039W$$
(A.31)

O retificador trifásico totaliza então em perdas por condução:

$$P_{COND,r} = 3 \cdot \left( P_{D1,a_{COND}} + P_{D2,a_{COND}} + P_{S1,a_{COND}} + P_{S2,a_{COND}} + P_{S1,a_{DCOND}} + P_{S2,a_{DCOND}} \right)$$

$$P_{COND,r} = 45,141W$$
(A.32)

Para calcular as perdas por comutação, aproximam-se as curvas de energia dissipada durante o ligamento e o desligamento do interruptor por polinômios de segunda ordem (DROFENIK; KOLAR, 2005) segundo as expressões:

$$W_{Sxy_{ON}} = k_{o_{ON}} + k_{1_{ON}} \cdot i_{Sxy}(\theta) + k_{2_{ON}} \cdot i_{Sxy}(\theta)^{2}$$
(A.33)

$$W_{Sxy_{OFF}} = k_{o_{OFF}} + k_{1_{OFF}} \cdot i_{Sxy}(\theta) + k_{2_{OFF}} \cdot i_{Sxy}(\theta)^{2}$$
(A.34)

E calculam-se as perdas:

$$P_{Sxy_{ON}} = \frac{1}{2\pi} \cdot \int_{0}^{2\pi} f_s \cdot W_{Sxy_{ON}}(\theta) d\theta$$
 (A.35)

$$P_{Sxy_{OFF}} = \frac{1}{2\pi} \cdot \int_{0}^{2\pi} f_s \cdot W_{Sxy_{OFF}}(\theta) d\theta$$
 (A.36)

Conforme pode ser visto na Figura A-3, o fabricante fornece o gráfico das perdas totais por chaveamento. Aproxima-se esta curva por um polinômio de segunda ordem por meio do método dos mínimos quadrados e obtém-se:

$$k_o = -1,7006 \cdot 10^{-4}$$
  
 $k_1 = +1,8330 \cdot 10^{-4}$  (A.37)  
 $k_2 = +1,8247 \cdot 10^{-6}$ 

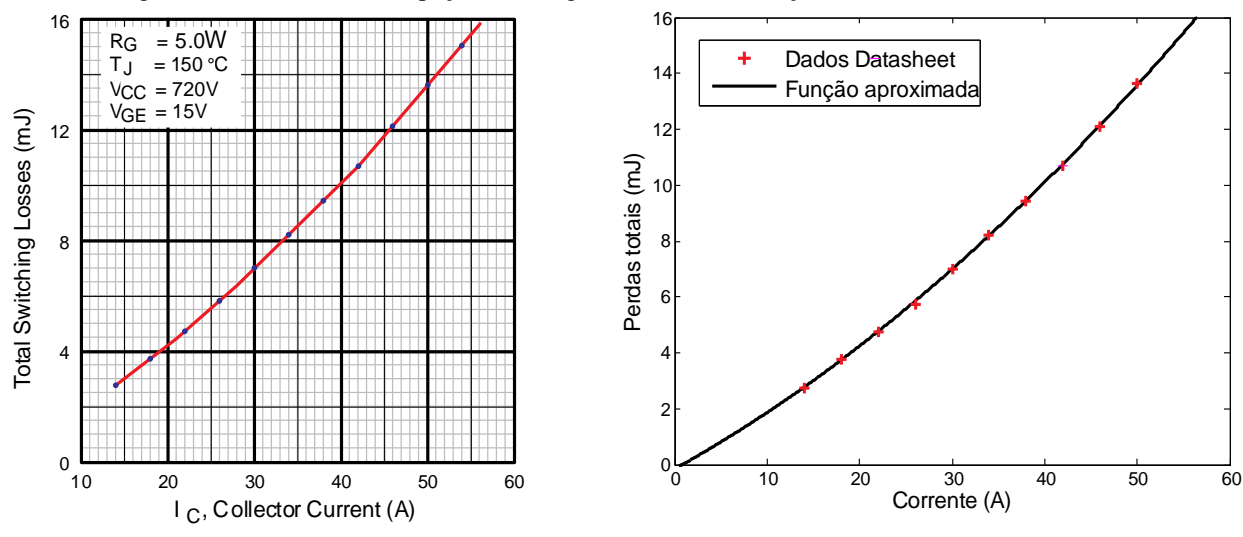


Figura A-3 - Curvas da dissipação de energia durante a comutação do IGBT IRG4PF50WD.

E calcula-se:

$$P_{S1,a_{COM}} = 1,063 \cdot \frac{V_{dc}}{720} \cdot \left[ \frac{1}{2\pi} \cdot \int_{0}^{2\pi} f_s \cdot \left( k_o + k_1 \cdot i_{S1,a}(\theta) + k_2 \cdot i_{S1,a}(\theta)^2 \right) d\theta \right] = 5,396W \quad (A.38)$$

$$P_{S2,a_{COM}} = 1,063 \cdot \frac{V_{dc}}{720} \cdot \left[ \frac{1}{2\pi} \cdot \int_{0}^{2\pi} f_{s} \cdot \left( k_{o} + k_{1} \cdot i_{S2,a}(\theta) + k_{2} \cdot i_{S2,a}(\theta)^{2} \right) d\theta \right] = 5,396W \quad (A.39)$$

Sendo 1,063 um fator de ajuste fornecido pelo fabricante, visto que a resistência de gatilho utilizada é de 11  $\Omega$  ao invés de 5  $\Omega$ , valor para o qual foi fornecida a curva de perdas. Outro fator de ajuste é inserido ( $V_{dc}/720$ ) de modo a adequar a tensão reversa que ao interruptor está submetido.

Desconsideram-se as perdas por comutação nos diodos  $D_{xy}$  por serem SiC assim como nos diodos intrínsecos ao IGBT em função de não haver interrupção de corrente sob tensão. Assim, têm-se as perdas totais por comutação no retificador:

$$P_{COM,r} = 3 \cdot (P_{S1,a_{COM}} + P_{S2,a_{COM}}) = 32,378W$$
 (A.40)

Por fim, calculam-se as perdas totais:

$$Perdas_{retificador} = P_{COM,r} + P_{CON,r} = 77,519W$$
 (A.41)

E o rendimento do retificador na condição nominal:

$$\eta_{r} = \frac{P_{out}}{P_{in}} = \frac{P_{3\phi} - R_{gi} \cdot I_{gi,pico}^{2} - Perdas_{retificador}}{P_{3\phi} - R_{gi} \cdot I_{gi,pico}^{2}} \cdot 100\% = 98,668\%$$
(A.42)

## APÊNDICE B - ESTUDO DE PERDAS NO INVERSOR

O estudo de perdas para o inversor segue o mesmo roteiro apresentado para o retificador anteriormente. Inicia-se definindo as funções de modulação que regem o comportamento do conversor (função que determina o valor médio das razões cíclicas em um período de chaveamento)  $\delta_a(\theta)$ ,  $\delta_b(\theta)$ ,  $\delta_c(\theta)$ :

$$\delta_{a}(\theta) = \frac{m_{a,i} \cdot sen(\theta + \phi_{2,i}) + 1}{2}$$

$$\delta_{b}(\theta) = \frac{m_{a,i} \cdot sen(\theta - \frac{2\pi}{3} + \phi_{2,i}) + 1}{2}$$

$$\delta_{c}(\theta) = \frac{m_{a,i} \cdot sen(\theta + \frac{2\pi}{3} + \phi_{2,i}) + 1}{2}$$
(B.1)

Sendo  $\Phi_{2,i}$  o ângulo de atraso existente entre a moduladora e a tensão da rede e  $m_{a,i}$  o índice de modulação em amplitude, conforme definido anteriormente.

Da mesma forma, definem-se as funções das correntes que circulam em cada fase do inversor:

$$\begin{split} i_{a}(\theta) &= I_{pico} \cdot sen(\theta + \phi_{l,i}) \\ i_{b}(\theta) &= I_{pico} \cdot sen(\theta - \frac{2\pi}{3} + \phi_{l,i}) \\ i_{c}(\theta) &= I_{pico} \cdot sen(\theta + \frac{2\pi}{3} + \phi_{l,i}) \end{split} \tag{B.2}$$

Sendo  $\Phi_{I,i}$  o ângulo de atraso existente entre a tensão de fase da rede e a corrente (ou seja, o fator de potência), o qual poderia facilmente ser desprezado em função do seu valor muito próximo ao valor nulo (fator de potência unitário).

São  $\delta_x(\theta)$  as funções de modulação de cada interruptor do inversor, assim como  $\delta_{Sx\_D}(\theta)$  as funções de modulação para cada diodo em antiparalelo presente em cada interruptor sendo x = 1, 2, 3..., 6.

Novamente em função da simetria, analisa-se apenas um braço do inversor e encontram-se:

$$\delta_{S1}(\theta) = \begin{cases} \delta_a(\theta) & \text{se } 0 \le \theta \le \pi - \phi_{l,i} \\ \delta_a(\theta) & \text{se } 2\pi - \phi_{l,i} \le \theta \le 2\pi \end{cases}$$

$$i_{S1}(\theta) = \begin{cases} i_a(\theta) & \text{se } 0 \le \theta \le \pi - \phi_{l,i} \\ i_a(\theta) & \text{se } 2\pi - \phi_{l,i} \le \theta \le 2\pi \end{cases}$$
(B.3)

$$\delta_{S1_{-D}}(\theta) = \left\{ \delta_a(\theta) \quad \text{se} \quad \pi - \phi_{l,i} \le \theta \le 2\pi - \phi_{l,i} \right.$$

$$i_{S1_{-D}}(\theta) = \left\{ -i_a(\theta) \quad \text{se} \quad \pi - \phi_{l,i} \le \theta \le 2\pi - \phi_{l,i} \right.$$
(B.4)

$$\begin{split} & \delta_{S2}(\theta) = \left\{1 - \delta_a(\theta) \quad \text{se} \quad \pi - \phi_{l,i} \le \theta \le 2\pi - \phi_{l,i} \\ & i_{S2}(\theta) = \left\{-i_a(\theta) \quad \text{se} \quad \pi - \phi_{l,i} \le \theta \le 2\pi - \phi_{l,i} \right. \end{split} \tag{B.5}$$

$$\delta_{S2_{-}D}(\theta) = \begin{cases} 1 - \delta_{a}(\theta) & \text{se} \quad 0 \le \theta \le \pi - \phi_{l,i} \\ 1 - \delta_{a}(\theta) & \text{se} \quad 2\pi - \phi_{l,i} \le \theta \le 2\pi \end{cases}$$

$$i_{S2_{-}D}(\theta) = \begin{cases} i_{a}(\theta) & \text{se} \quad 0 \le \theta \le \pi - \phi_{l,i} \\ i_{a}(\theta) & \text{se} \quad 2\pi - \phi_{l,i} \le \theta \le 2\pi \end{cases}$$
(B.6)

Considerando os parâmetros:

$$P_{3\phi} = 6kW$$
  
 $V_p = 311,127V$   
 $V_{dc} = 700V$   
 $r_{La} = r_{Lb} = r_{Lc} = 100m\Omega$   
 $L_a = L_b = L_c = 2mH$   
 $I_{pico} = 12,856A$  (B.7)

Encontra-se:

$$m_{a,i} = 0.944$$
  
 $\phi_{l,i} = 0.046 rad$  (B.8)  
 $\phi_{2,i} = 0.03 rad$ 

Assim, determinam-se os esforços de corrente de acordo com as equações, para os interruptores:

$$I_{Sx_{MED}} = \frac{1}{2\pi} \int_{0}^{2\pi} \delta_{Sx}(\theta) \cdot i_{Sx}(\theta) \cdot d\theta$$
 (B.9)

$$I_{Sx_{RMS}} = \sqrt{\frac{1}{2\pi} \int_{0}^{2\pi} \delta_{Sx}(\theta) \cdot i_{Sx}(\theta)^{2} \cdot d\theta}$$
 (B.10)

E seus diodos:

$$I_{Sx\_D_{MED}} = \frac{1}{2\pi} \int_{0}^{2\pi} \delta_{Sx\_D}(\theta) \cdot i_{Sx\_D}(\theta) \cdot d\theta$$
 (B.11)

$$I_{Sx\_D_{RMS}} = \sqrt{\frac{1}{2\pi} \int_{0}^{2\pi} \delta_{Sx\_D}(\theta) \cdot i_{Sx\_D}(\theta)^2 \cdot d\theta}$$
 (B.12)

E comparam-se com os resultados de simulação, ambos presentes na Tabela B-1.

Tabela B-1 - Valores simulados e calculados dos esforços de corrente dos semicondutores do inversor para a condição nominal.

	Corrente Média (A)		Corrente Eficaz (A)	
	Calculado	Simulado	Calculado	Simulado
$S_{I}$	3,563	3,481	6,101	6,033
$S_{I\_D}$	0,529	0,610	2,026	2,232
$S_2$	3,563	3,483	6,101	6,033
$S_{2\_D}$	0,529	0,611	2,026	2,235

FONTE: Próprio autor.

Optou-se pela utilização do interruptor do tipo IGBT com diodo SiC do fabricante GeneSiC referência GA35XCP12-247, cuja curva de queda de tensão instantânea em função da corrente direta instantânea é dada pela Figura B-1, a qual é linearizada para serem calculadas as perdas por condução.

$$r_{TO} = \frac{2 - 0.8}{12 - 0} = 0.1\Omega \tag{B.13}$$

A partir da equação da reta linearizada, encontra-se o valor de  $v_{TO}$  a partir dos pontos  $I_C=12~A~e~V_{CE}=2~V$ :

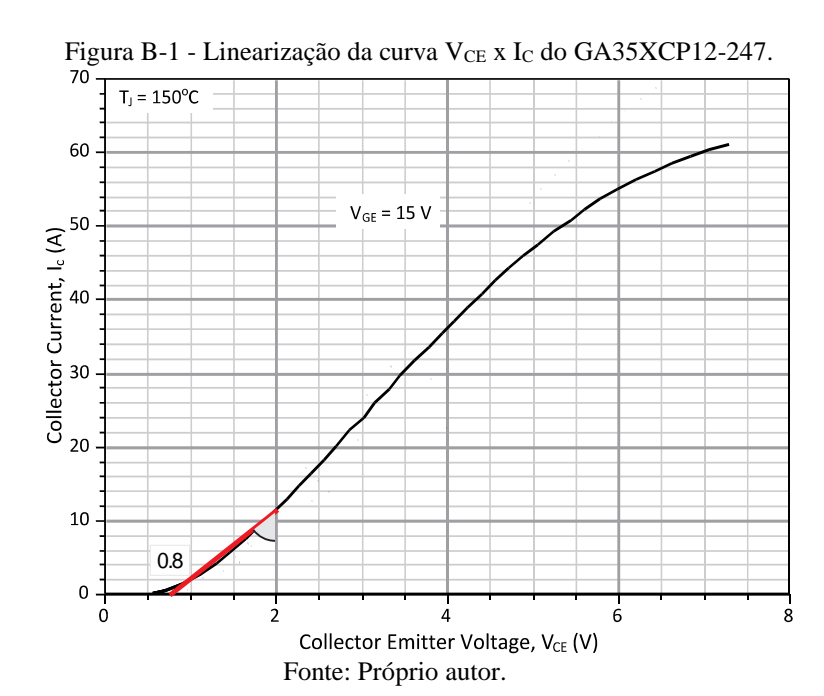
$$V_{CE} = r_{TO} \cdot I_C + v_{TO}$$

$$v_{TO} = 2 - 0.1 \cdot 12 = 0.8V$$
(B.14)

E calculam-se as perdas por condução:

$$P_{S1_{COND}} = v_{TO} \cdot I_{S1_{MED}} + r_{TO} \cdot \left(I_{S1_{RMS}}\right)^2 = 6,573W$$
 (B.15)

$$P_{S2_{COND}} = v_{TO} \cdot I_{S2_{MED}} + r_{TO} \cdot \left(I_{S2_{RMS}}\right)^2 = 6,573W$$
 (B.16)



O mesmo processo é realizado para se calcular as perdas por condução nos diodos intrínsecos dos interruptores cuja, curva que relaciona a queda de tensão instantânea com a corrente instantânea é dada pela Figura B-2 para qual se obtém, a partir da linearização:

$$r_D = \frac{2 - 0.9}{14 - 0} = 0.079\Omega \tag{B.17}$$

A partir da equação da reta linearizada, encontra-se o valor de  $v_D$  a partir dos pontos  $I_F = 14 \text{ A e } V_{FM} = 2 \text{ V}$ :

$$V_{FM} = r_D \cdot I_F + v_D$$

$$v_D = 2 - 0.079 \cdot 14 = 0.9V$$
(B.18)

E calculam-se as perdas por condução:

$$P_{S1_{-}D_{COND}} = v_D \cdot I_{S1_{-}D_{MED}} + r_D \cdot \left(I_{S1_{-}D_{RMS}}\right)^2 = 0,798W$$
(B.19)

$$P_{S2\_D_{COND}} = v_D \cdot I_{D2\_D_{MED}} + r_D \cdot \left(I_{S2\_D_{RMS}}\right)^2 = 0,798W$$
(B.20)

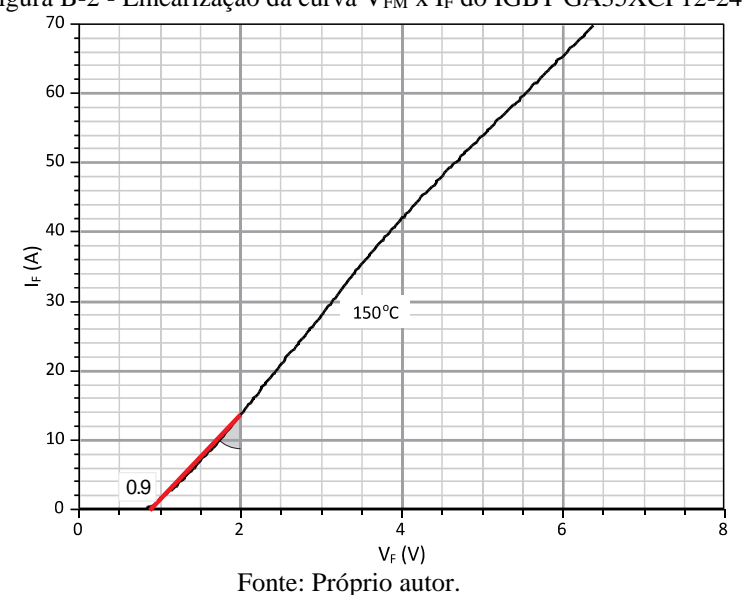
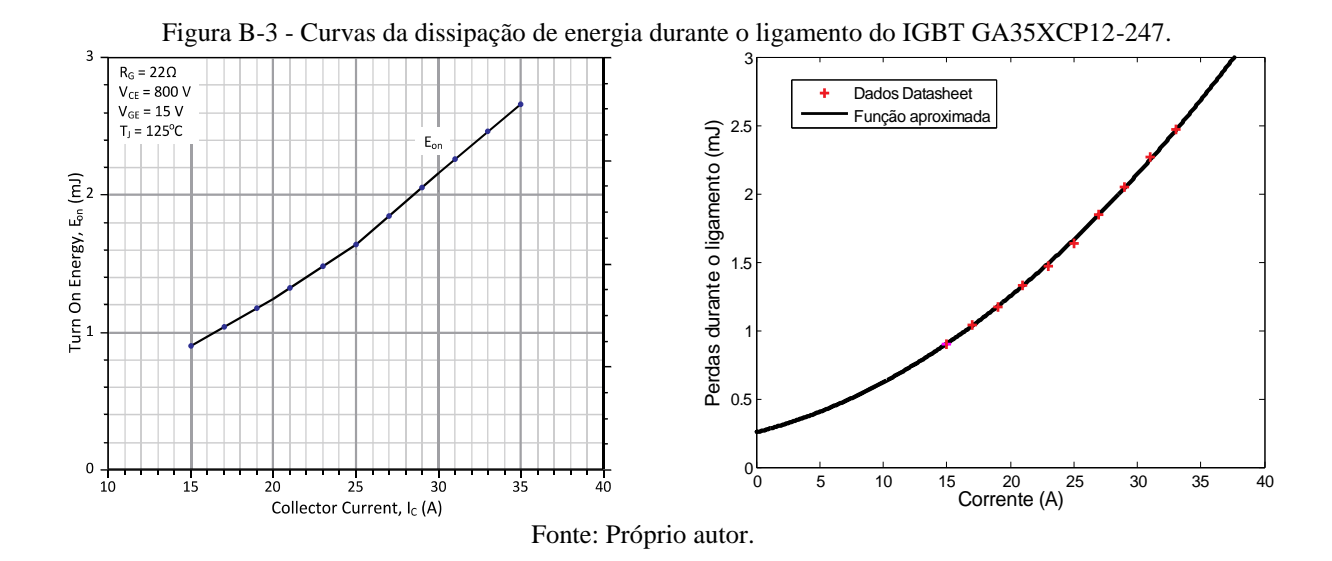


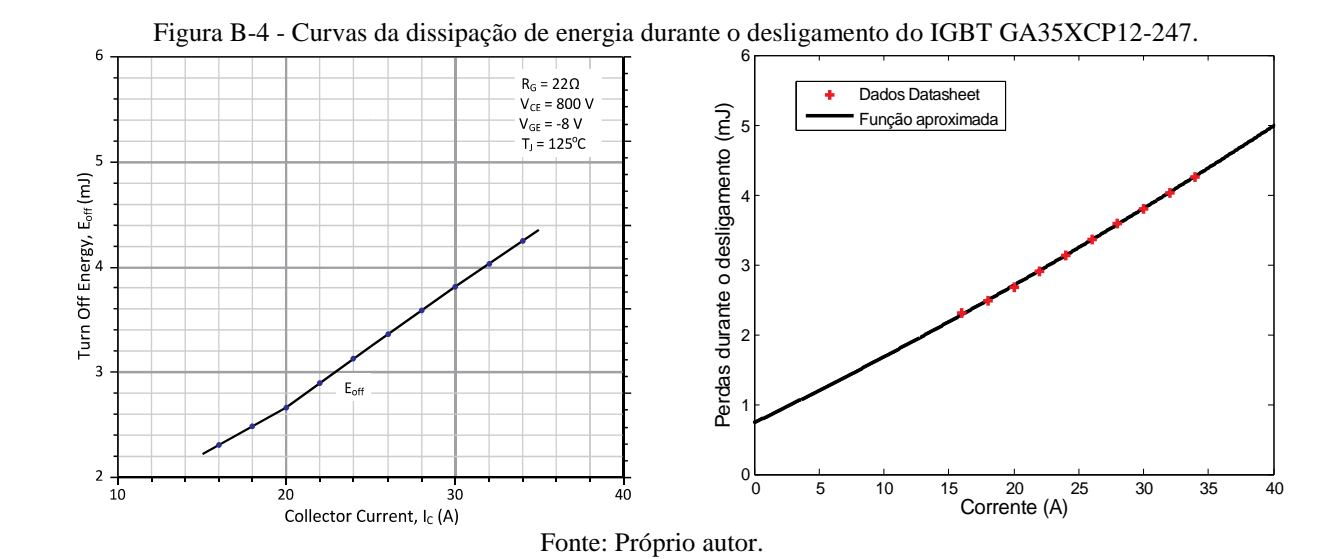
Figura B-2 - Linearização da curva V<sub>FM</sub> x I<sub>F</sub> do IGBT GA35XCP12-247.

O inversor trifásico totaliza então em perdas por condução:

$$P_{COND,i} = 3 \cdot \left( P_{S1_{COND}} + P_{S2_{COND}} + P_{S1_{DCOND}} + P_{S2_{DCOND}} \right) = 44,226W$$
 (B.21)

Calculam-se as perdas por condução aproximando-se as curvas de energia dissipada durante o ligamento e o desligamento do interruptor por polinômios de segunda ordem. Para o IGBT GA35XCP12-247 tem-se as curvas reais e aproximadas presentes nas Figura B-3 e Figura B-4.





A partir da linearização obtêm-se:

$$\begin{split} k_{o_{ON}} &= +2,5372 \cdot 10^{-4} \\ k_{1_{ON}} &= +2,3252 \cdot 10^{-5} \\ k_{2_{ON}} &= +1,3191 \cdot 10^{-6} \end{split} \tag{B.22}$$

$$\begin{split} k_{o_{OFF}} &= +7,3118\cdot 10^{-4} \\ k_{1_{OFF}} &= +9,0448\cdot 10^{-5} \\ k_{2_{OFF}} &= +3,9394\cdot 10^{-7} \end{split} \tag{B.23}$$

Obtêm-se as funções de perdas para os interruptores:

$$W_{S1_{ON}} = k_{o_{ON}} + k_{1_{ON}} \cdot i_{S1}(\theta) + k_{2_{ON}} \cdot i_{S1}(\theta)^{2}$$
(B.24)

$$W_{S1_{OFF}} = k_{o_{OFF}} + k_{1_{OFF}} \cdot i_{S1}(\theta) + k_{2_{OFF}} \cdot i_{S1}(\theta)^{2}$$
(B.25)

$$W_{S2_{ON}} = k_{o_{ON}} + k_{1_{ON}} \cdot i_{S2}(\theta) + k_{2_{ON}} \cdot i_{S2}(\theta)^2$$
(B.26)

$$W_{S2_{OFF}} = k_{o_{OFF}} + k_{1_{OFF}} \cdot i_{S2}(\theta) + k_{2_{OFF}} \cdot i_{S2}(\theta)^{2}$$
(B.27)

E calculam-se as perdas:

$$P_{S1_{ON}} = \frac{1}{2\pi} \cdot \int_{0}^{2\pi} f_s \cdot W_{S1_{ON}}(\theta) d\theta = 4,235W$$
 (B.28)

$$P_{S1_{OFF}} = \frac{1}{2\pi} \cdot \int_{0}^{2\pi} f_s \cdot W_{S1_{OFF}}(\theta) d\theta = 11,735W$$
 (B.29)

$$P_{S2_{ON}} = \frac{1}{2\pi} \cdot \int_{0}^{2\pi} f_s \cdot W_{S2_{ON}}(\theta) d\theta = 4,235W$$
 (B.30)

$$P_{S2_{OFF}} = \frac{1}{2\pi} \cdot \int_{0}^{2\pi} f_s \cdot W_{S2_{OFF}}(\theta) d\theta = 11,735W$$
 (B.31)

Desconsideram-se as perdas por comutação nos diodos intrínsecos por serem SiC. Assim, tem-se as perdas totais por comutação no retificador:

$$P_{COM,i} = 3 \cdot \left( P_{S1_{ON}} + P_{S1_{OFF}} + P_{S2_{ON}} + P_{S2_{OFF}} \right) = 95,82W$$
 (B.32)

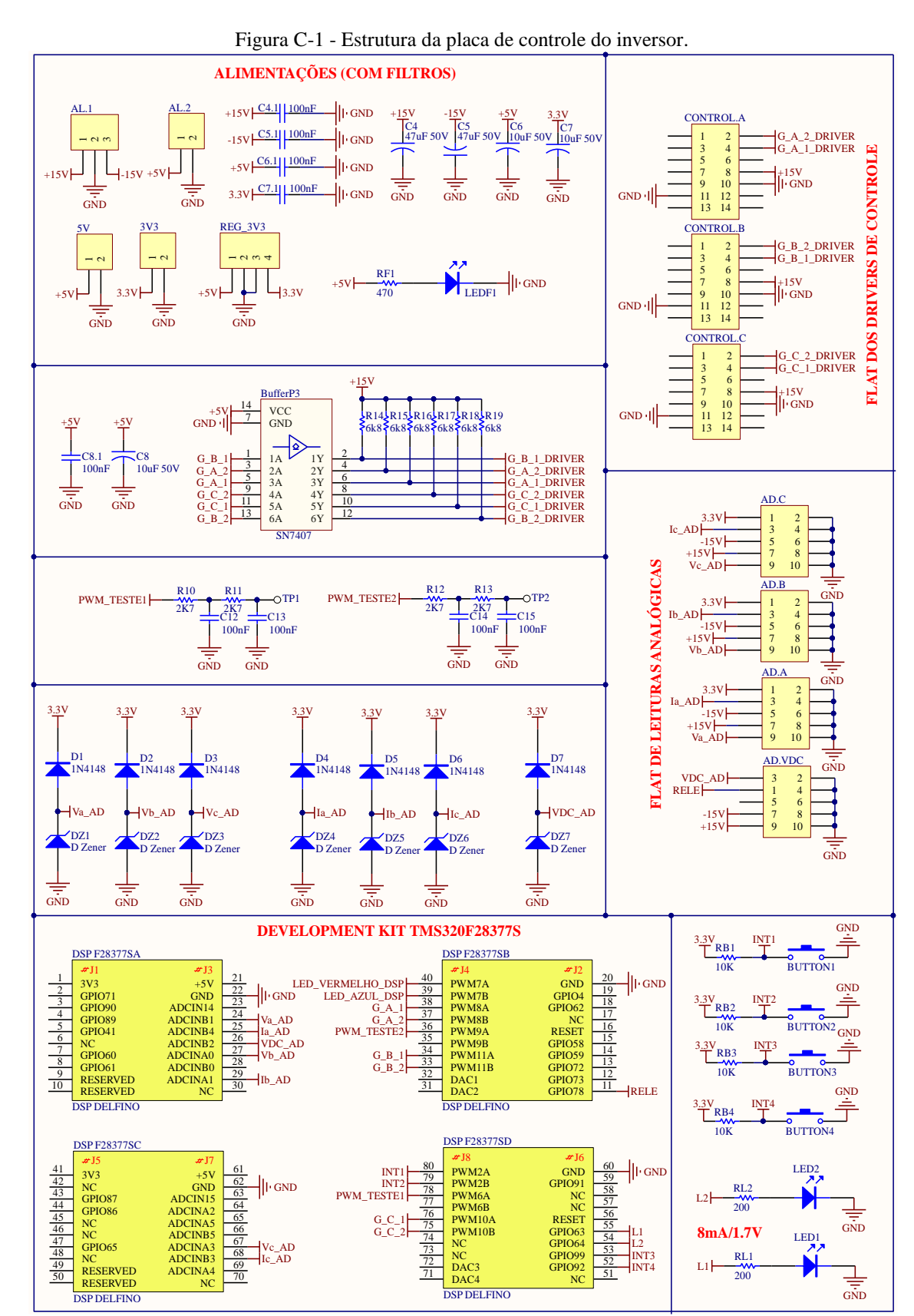
Por fim, calculam-se as perdas totais:

$$Perdas_{inversor} = P_{COM,i} + P_{CON,i} = 140,046W$$
 (B.33)

E o rendimento do retificador na condição nominal:

$$\eta_i = \frac{P_{out}}{P_{in}} = \frac{P_{3\phi}}{P_{3\phi} + r_L \cdot I_{pico}^2 + Perdas_{inversor}} \cdot 100\% = 96,936\%$$
 (B.34)

## APÊNDICE C - DESENVOLVIMENTO DO PROTÓTIPO EXPERIMENTAL



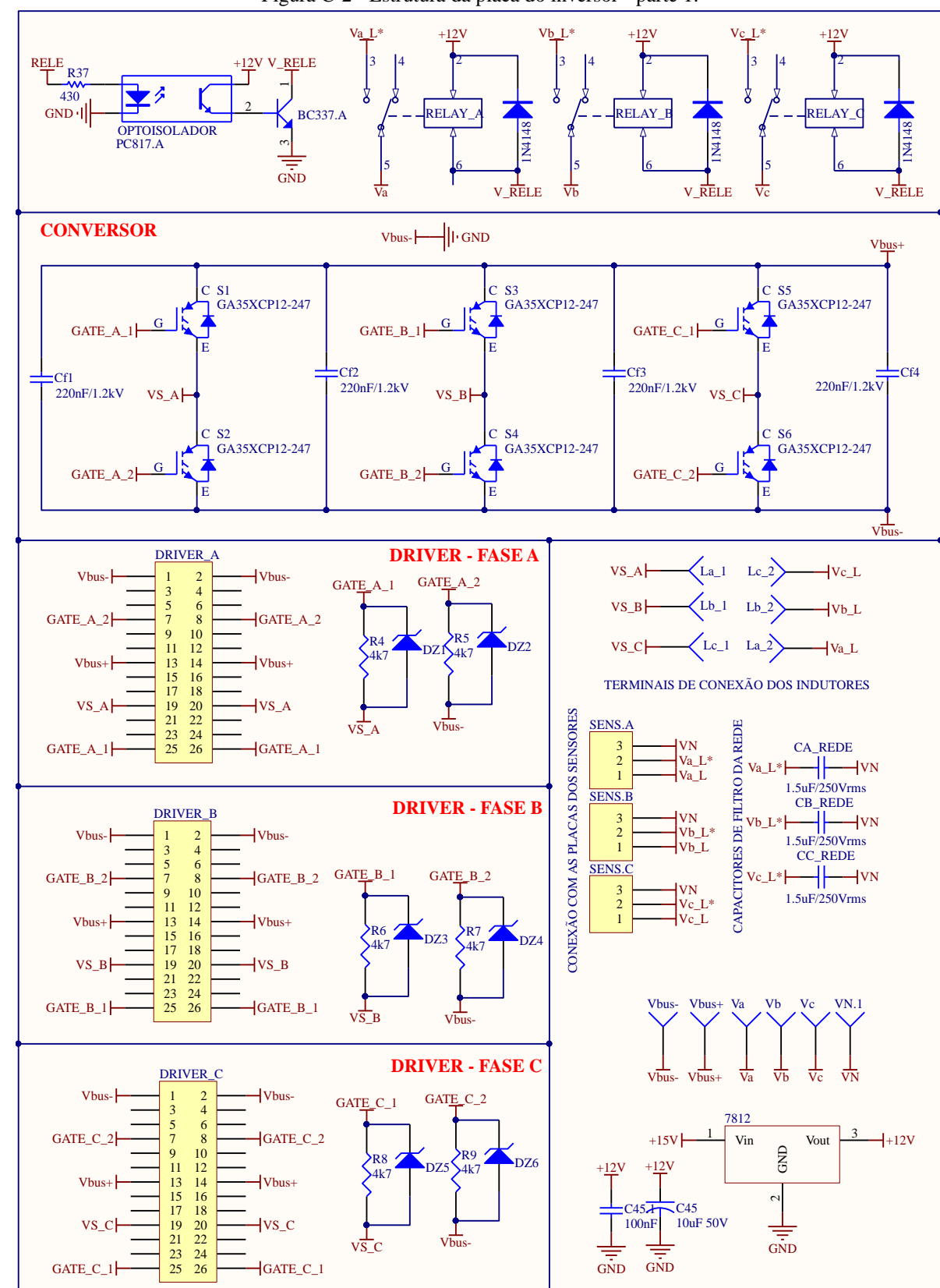


Figura C-2 - Estrutura da placa do inversor - parte 1.

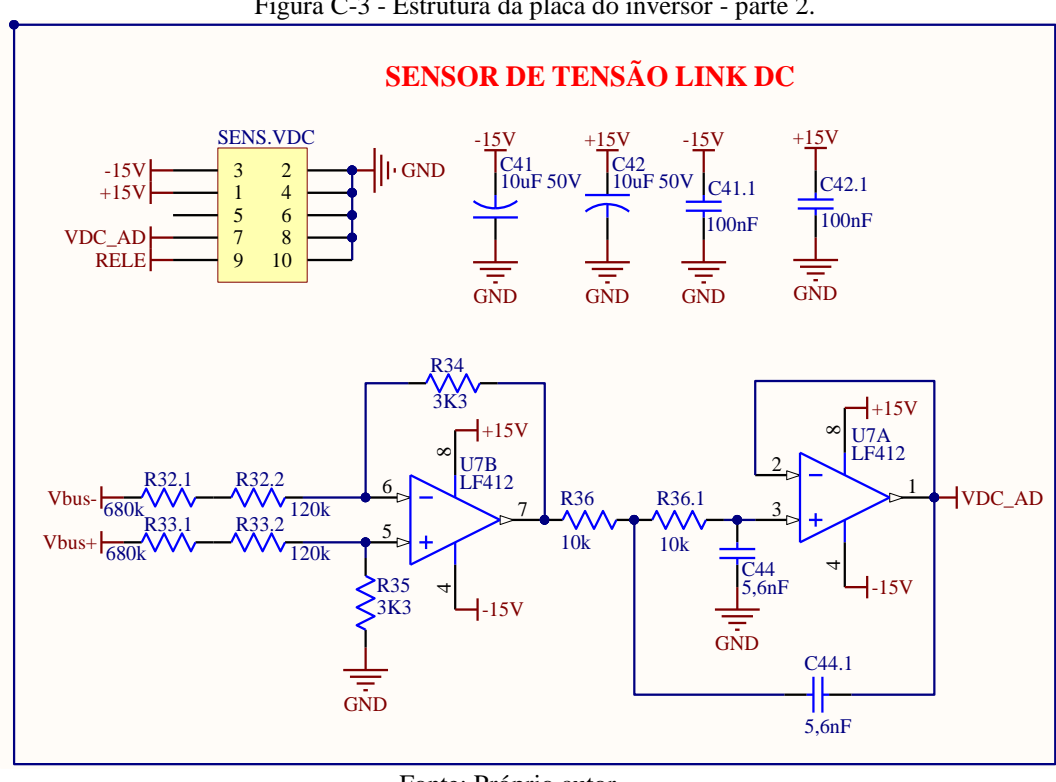


Figura C-3 - Estrutura da placa do inversor - parte 2.

SENSOR DE CORRENTE R11.1 GND LEM.A 5k1 +<u>15</u>V +15V Vout U.AA Vref OCD STB U.AD LF347BN C13 1nF LF347BN LEM HO-NP-1000 -15V 10K GND -15V GND SENSOR DE TENSÃO **⊣**+15V U.AB LF347B1 LF347BN 10k =L<sub>-15V</sub> R17 C33.1 GND 8,2nF CONEXÃO COM O INVERSOR FLAT DE INTERFACE COM A PLACA DE CONTROLE C8.1 C9.1 C10.1 - I GND 100nF 100nF 10uF 50V GND GND GND

Figura C-4 - Estrutura dos sensores de corrente e tensão do inversor.

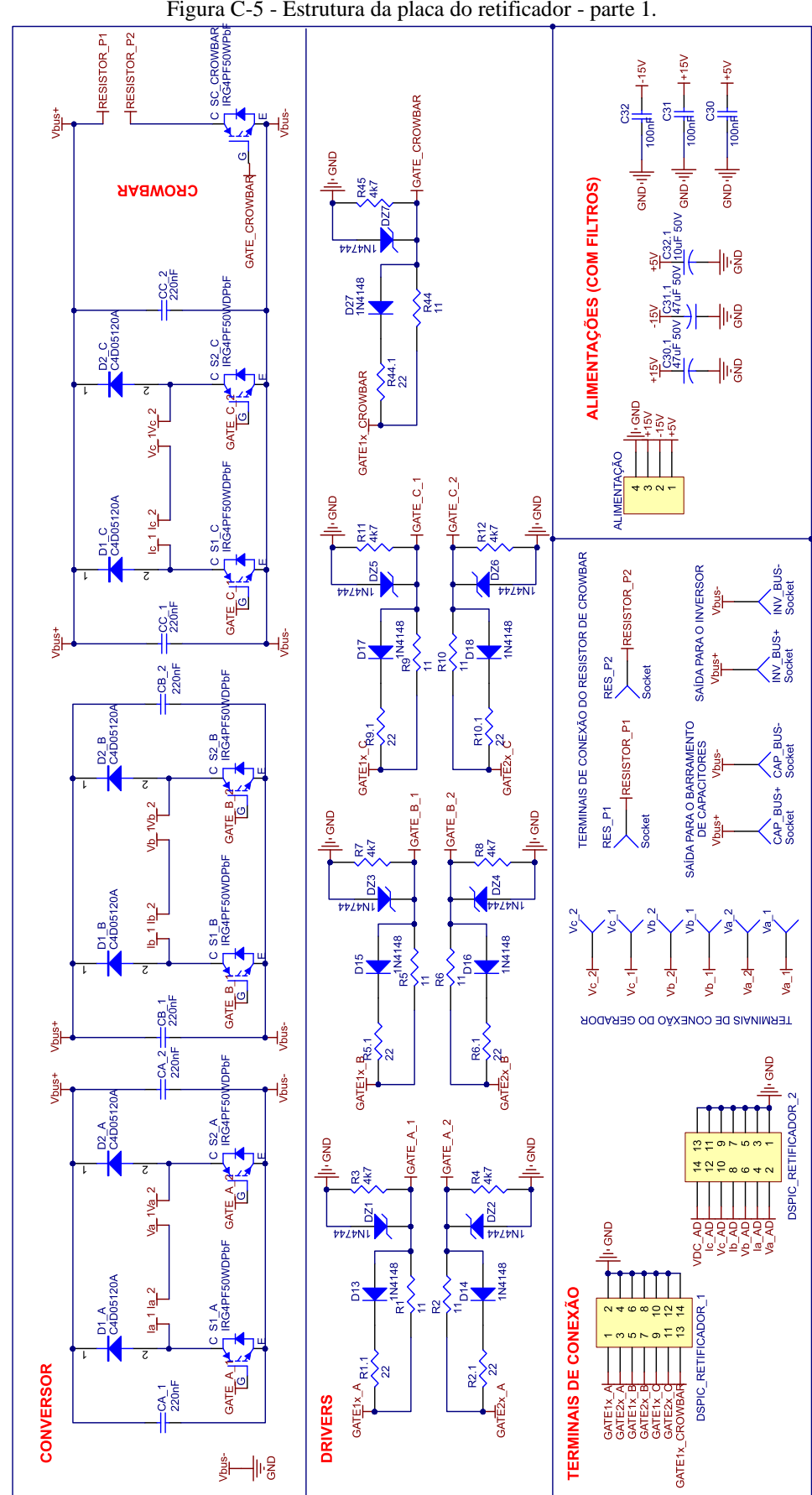


Figura C-5 - Estrutura da placa do retificador - parte 1.

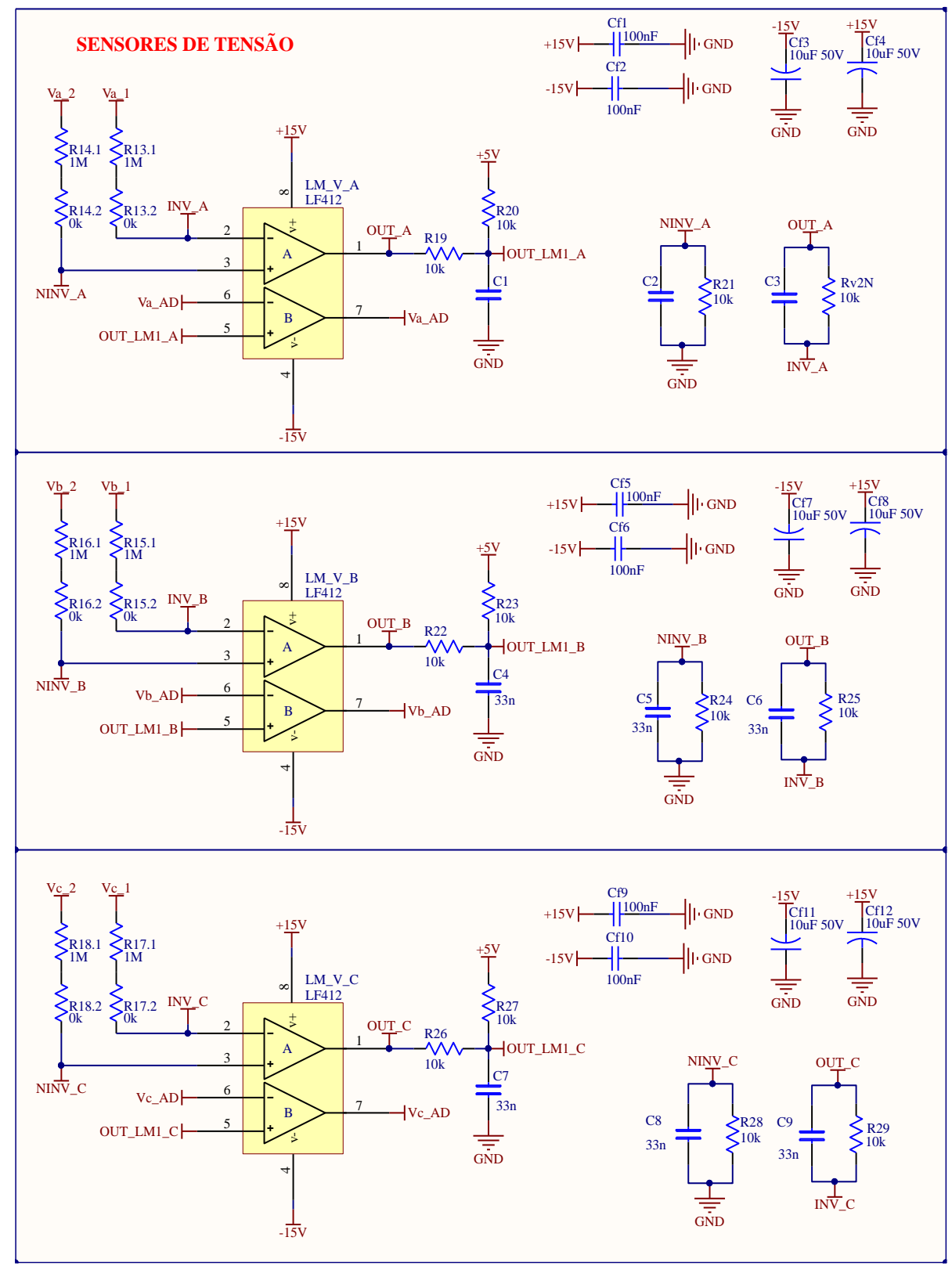


Figura C-6 - Estrutura do retificador - parte 2.

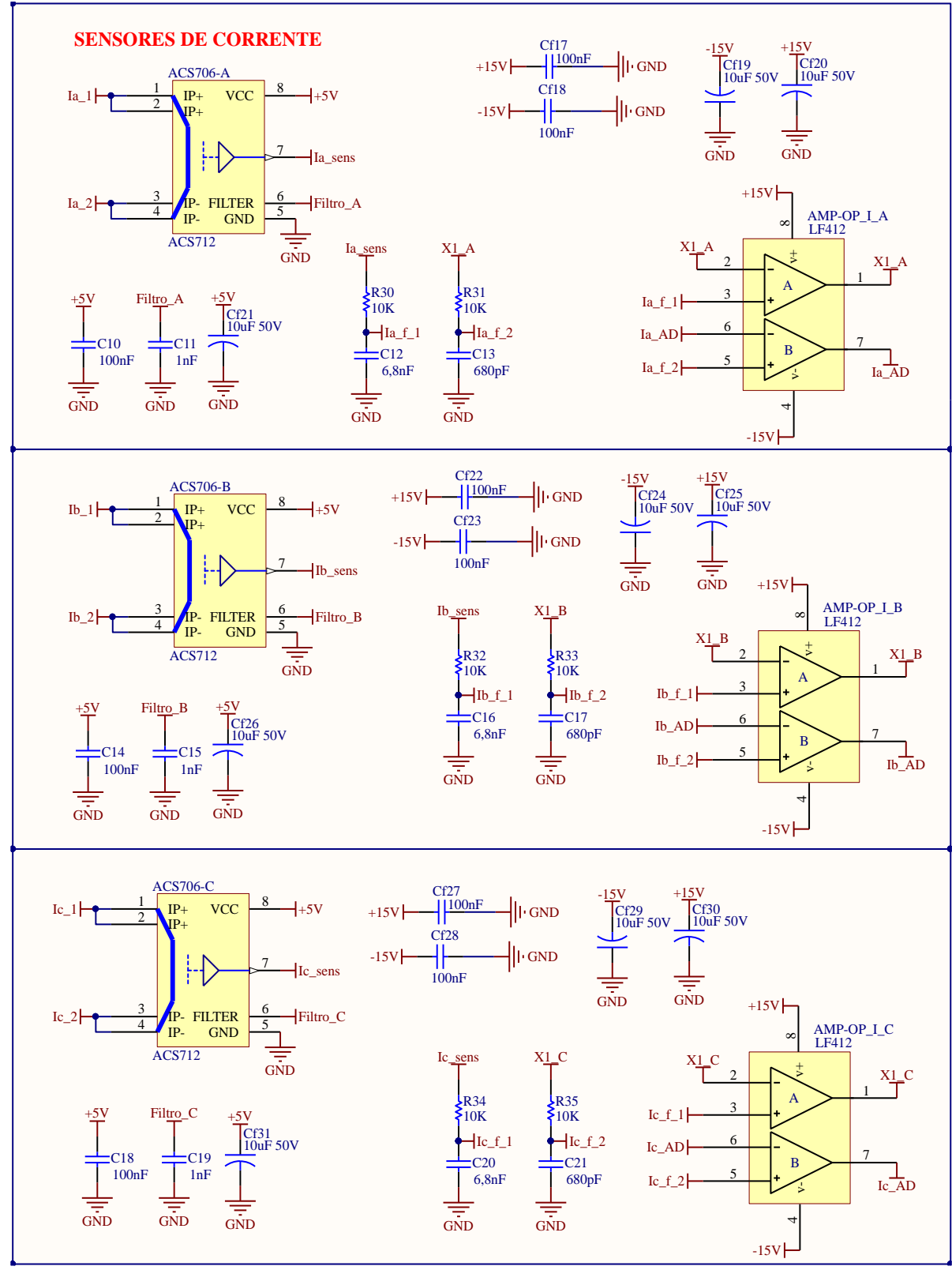
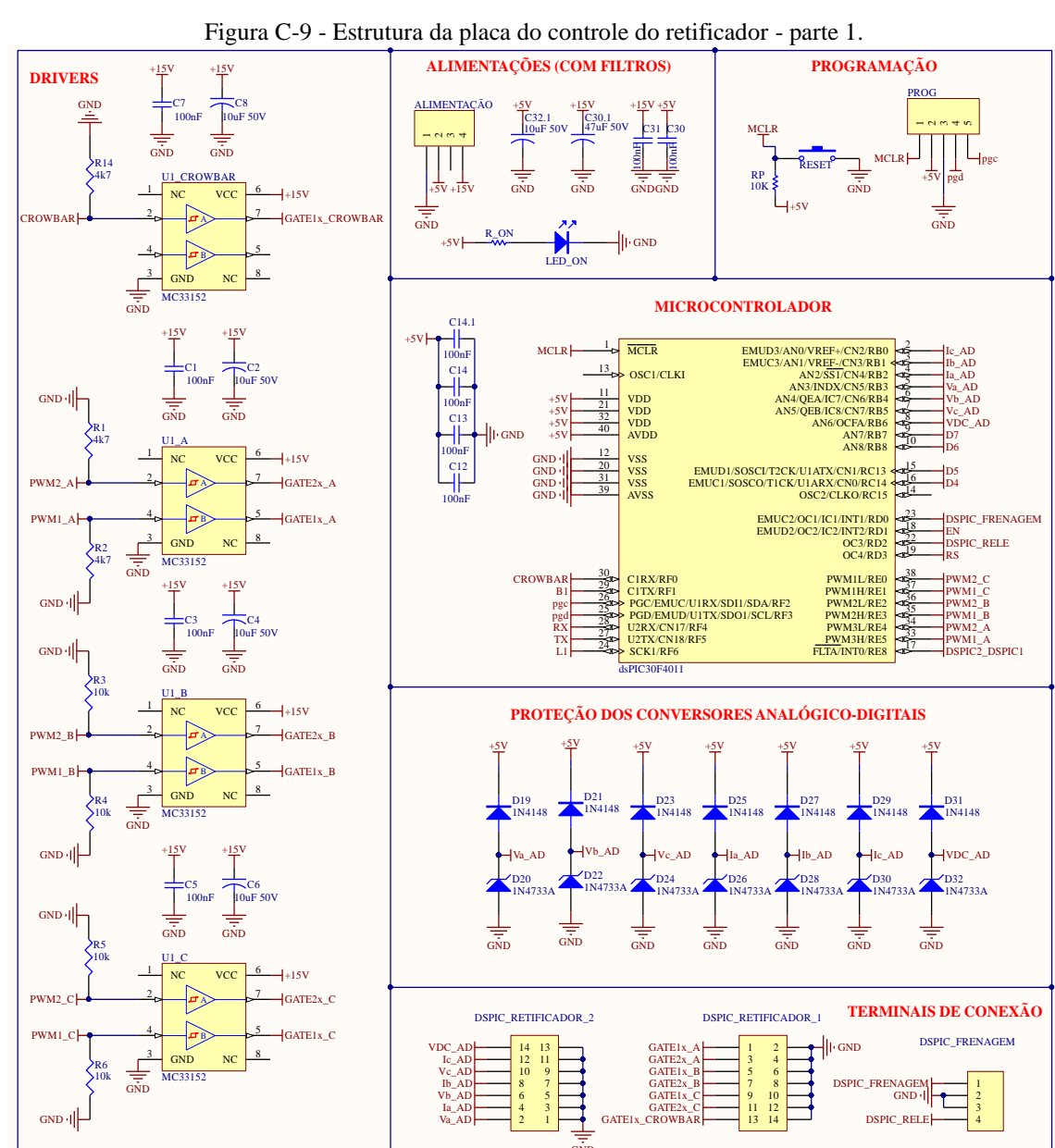


Figura C-7 - Estrutura do retificador - parte 3.

Figura C-8 - Estrutura do retificador - parte 4.



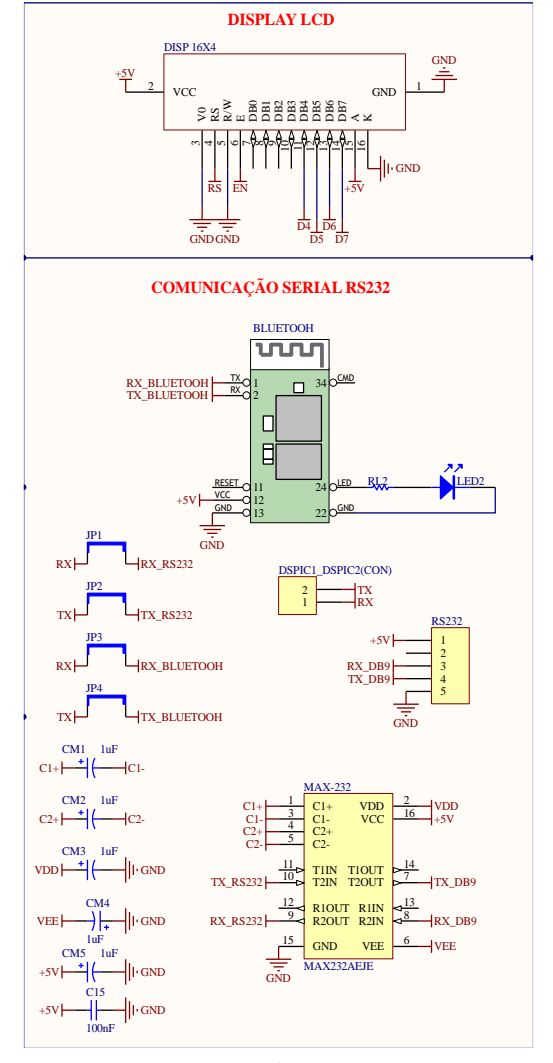


Figura C-10 - Estrutura da placa do controle do retificador - parte 2.

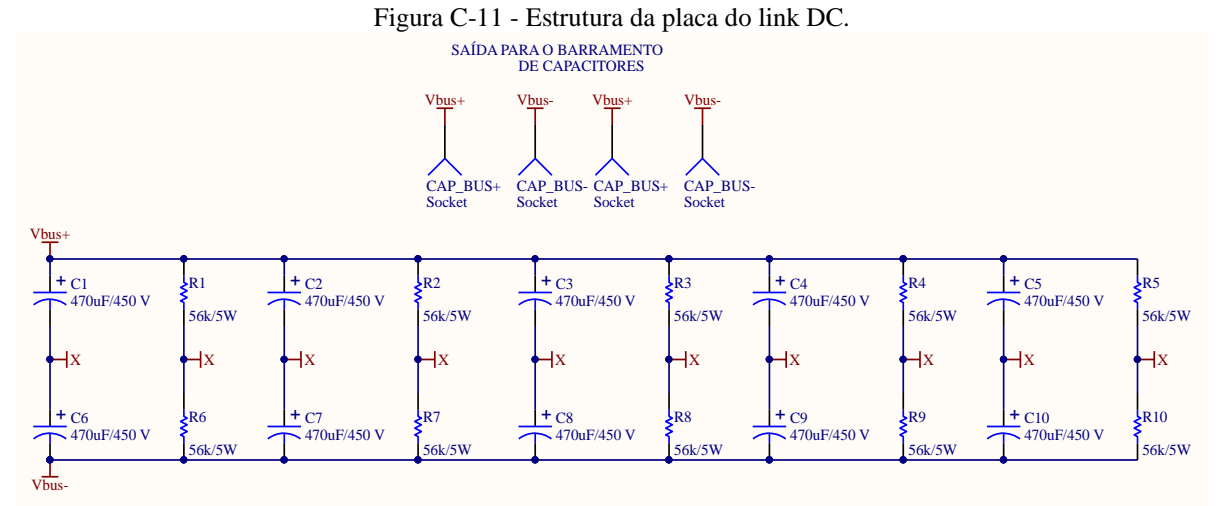


Figura C-12 - Layout da placa de controle do inversor.

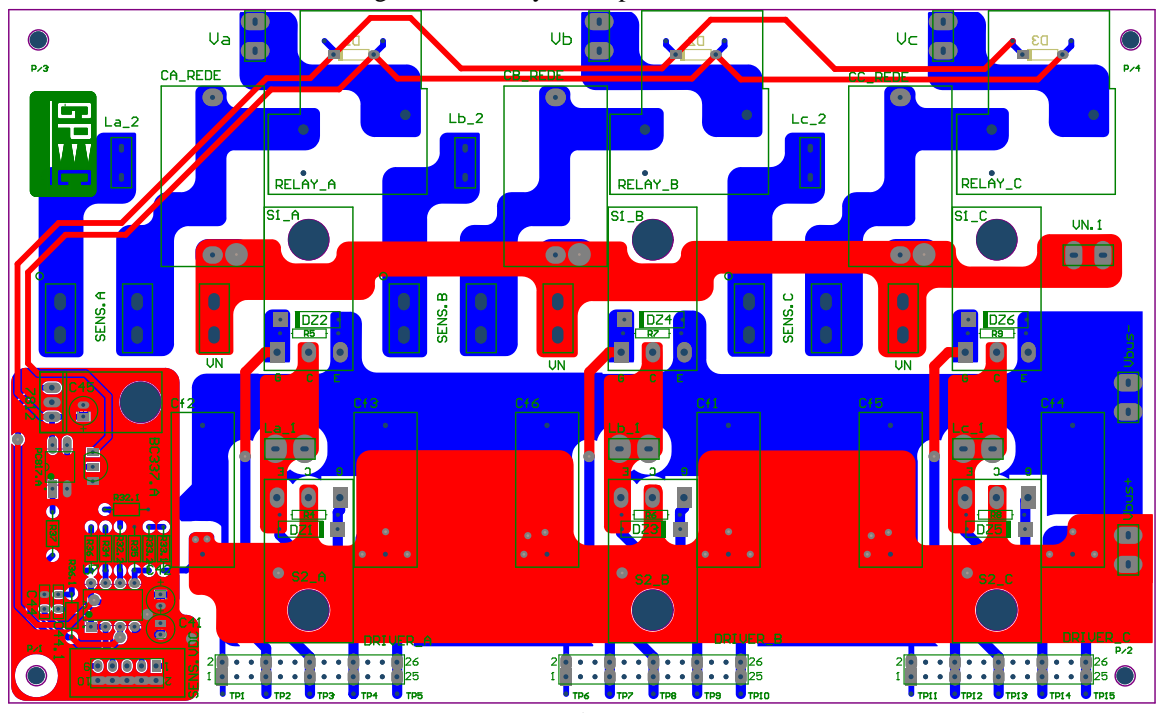


Figura C-13 - Layout da placa do inversor.

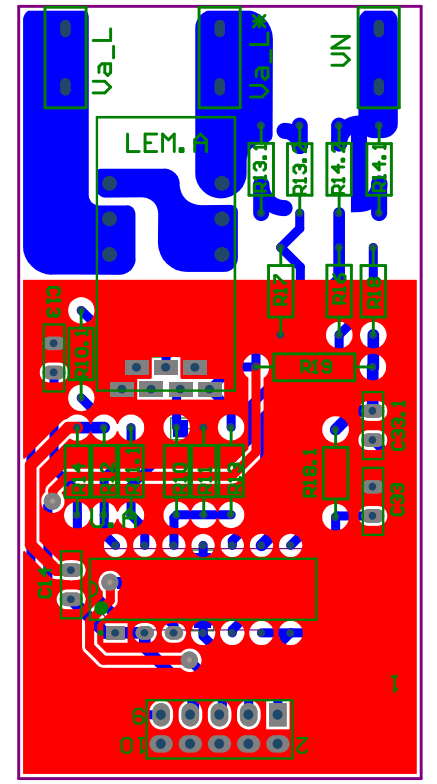


Figura C-14 - Layout das placas dos sensores do inversor.

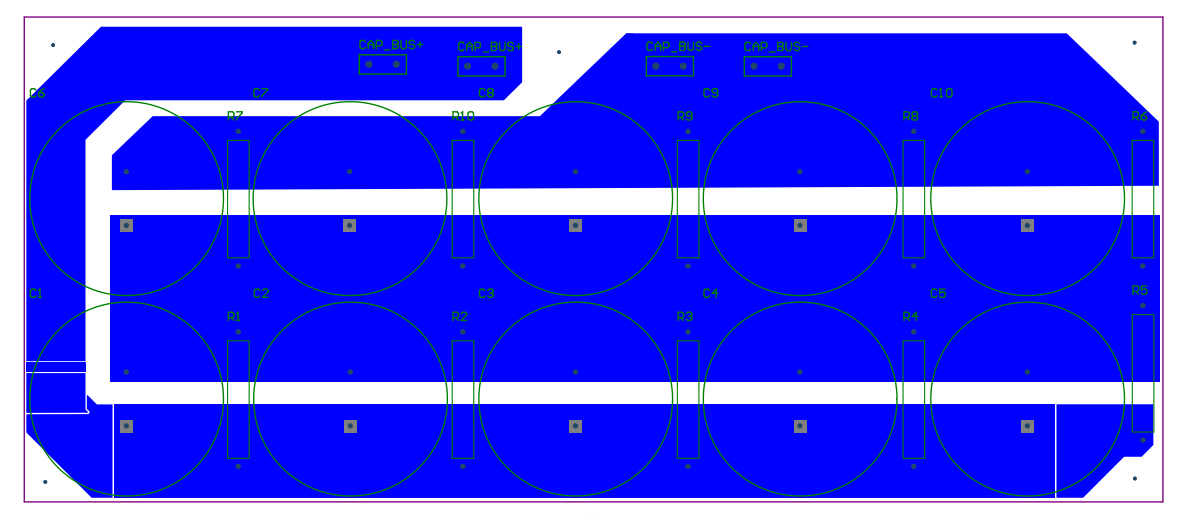


Figura C-15 - Layout da placa do link DC.

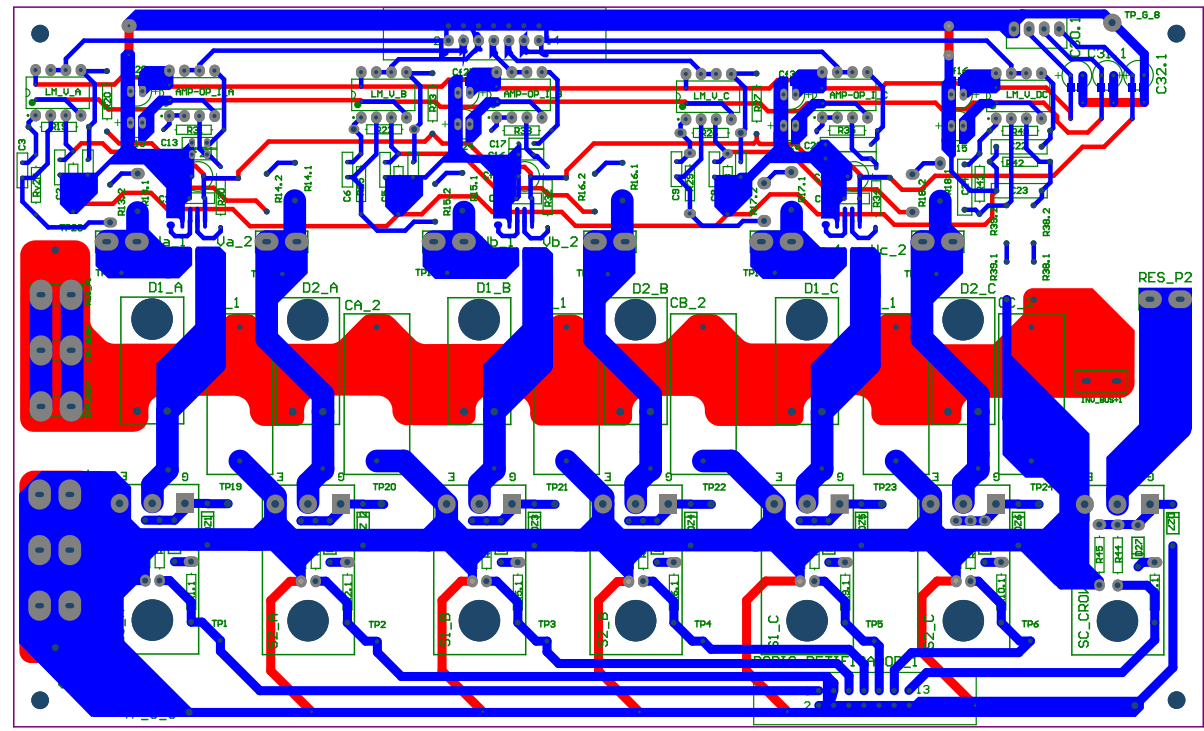


Figura C-16 - Estrutura da placa do retificador.

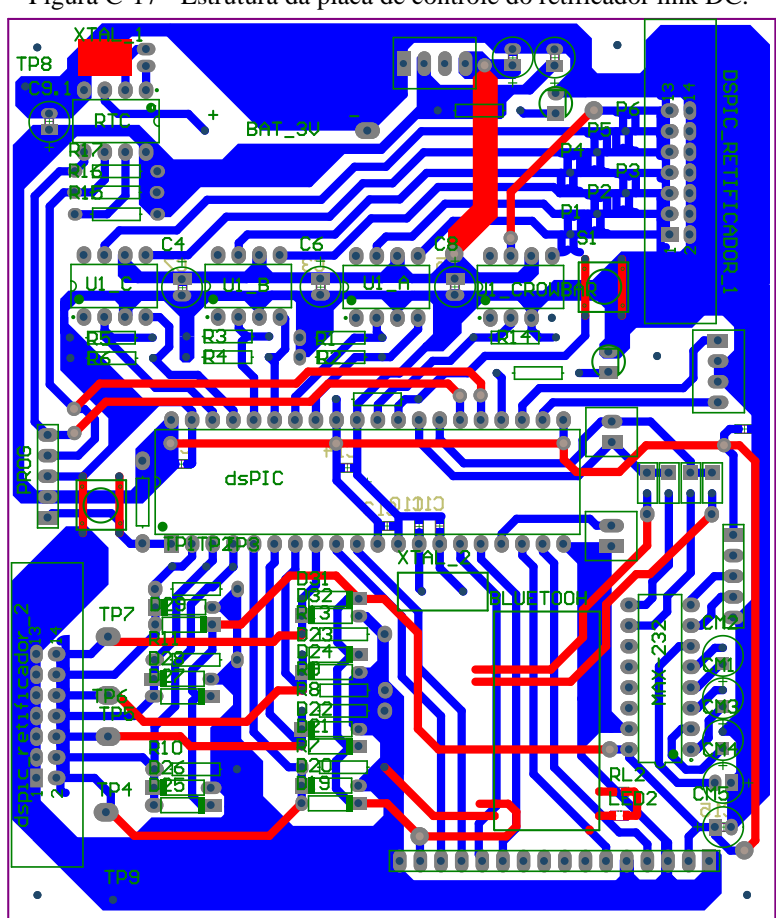


Figura C-17 - Estrutura da placa de controle do retificador link DC.

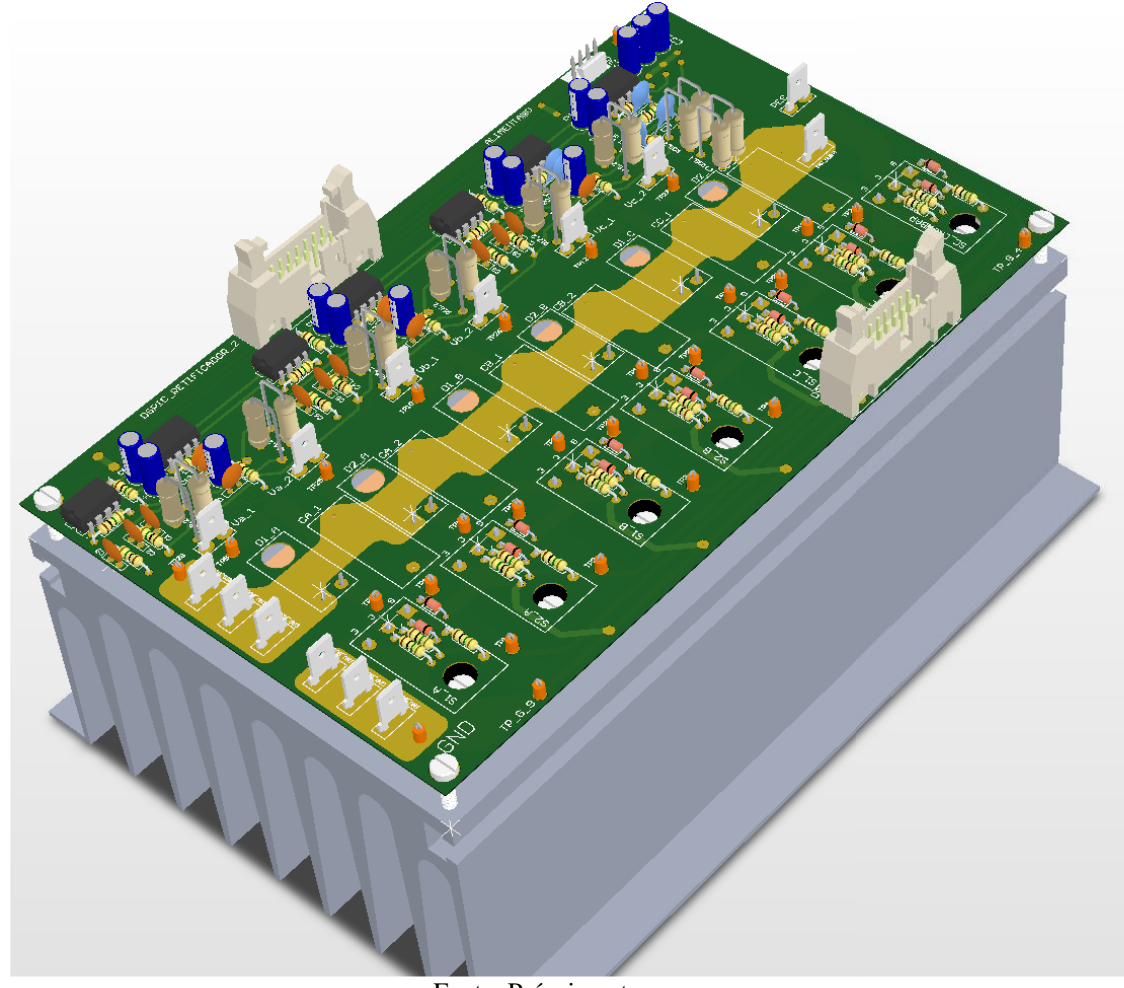


Figura C-18 - Visualização 3D da placa do retificador.

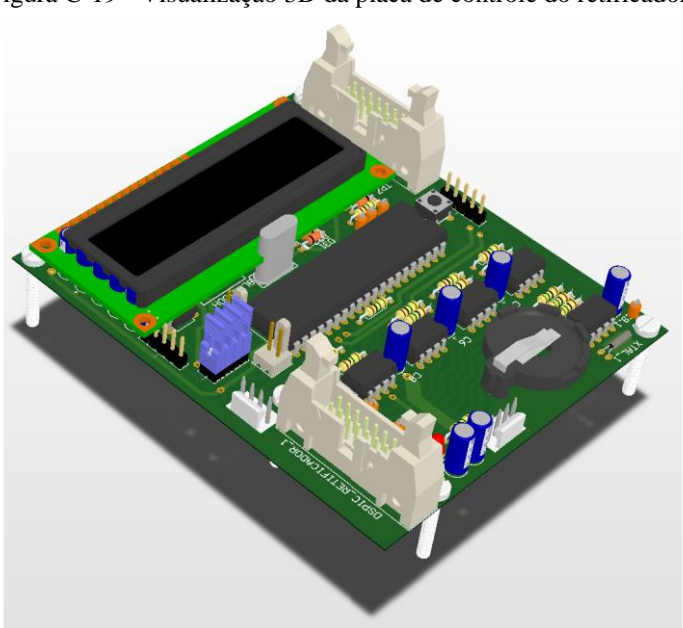


Figura C-19 - Visualização 3D da placa de controle do retificador.

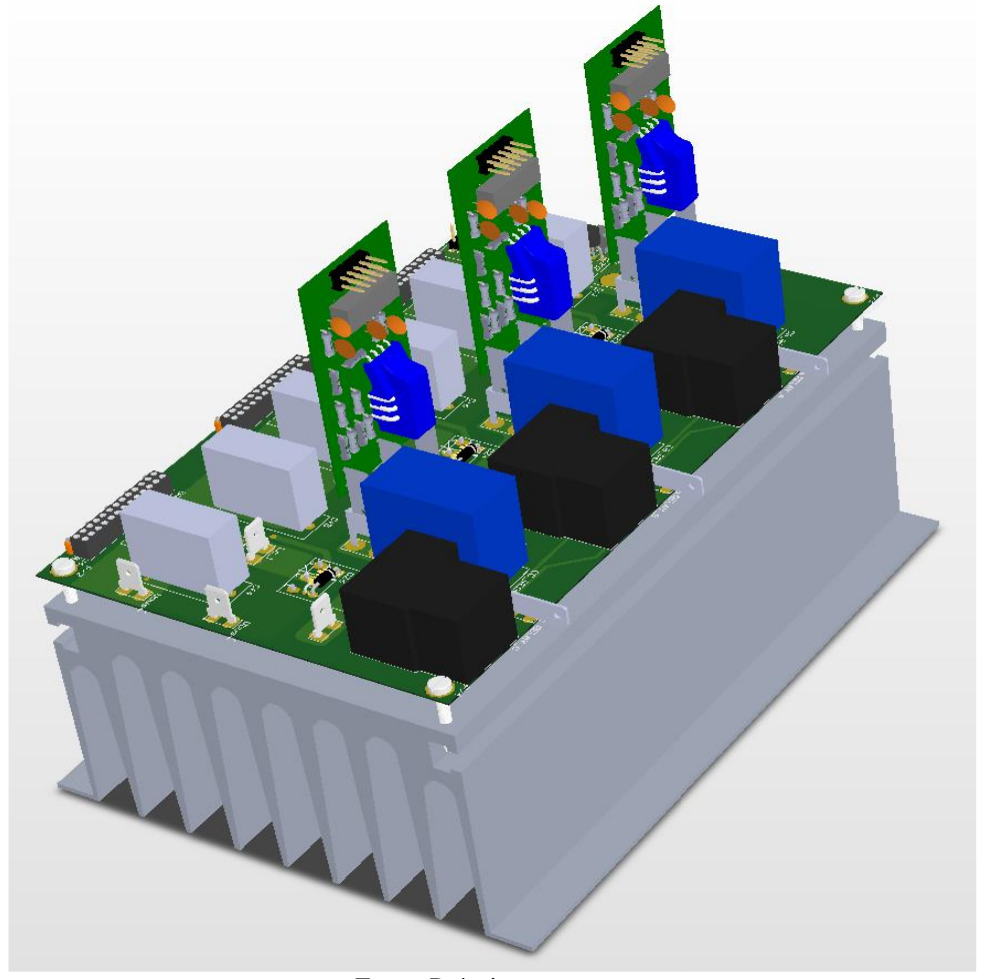


Figura C-20 - Visualização 3D da placa do inversor.

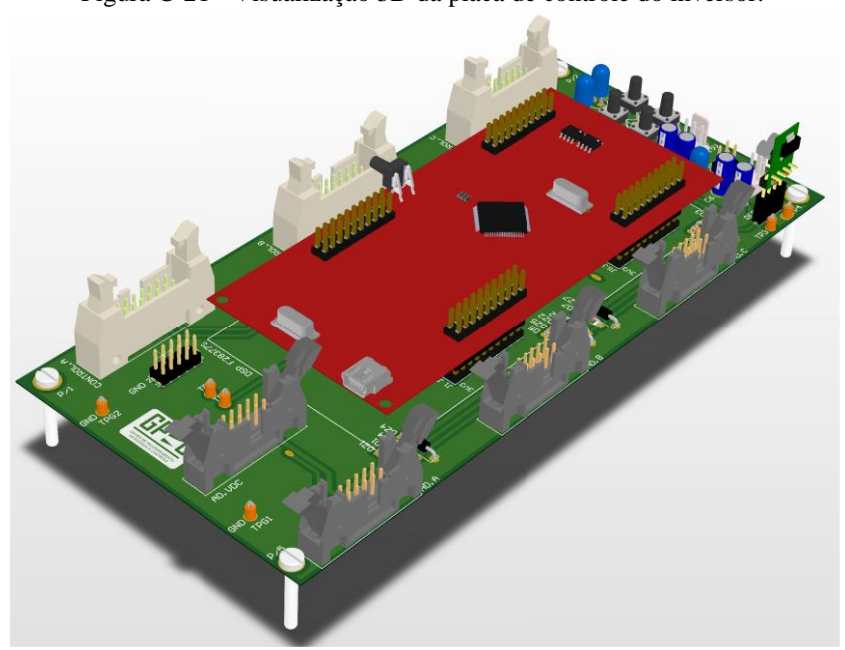


Figura C-21 - Visualização 3D da placa de controle do inversor.

Tigura C-22 - Visuanzação 3D da piaca dos sensores.

Figura C-22 - Visualização 3D da placa dos sensores.

Figura C-23 - Visualização 3D da placa do link DC.

